



## INFORME FINAL TECNICO Y DE DIFUSIÓN

### I. ANTECEDENTES GENERALES

**CODIGO:** BID-PI-C-2001-1-A-013

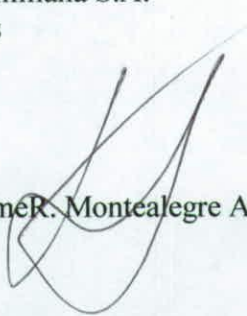
**NOMBRE DEL PROYECTO:**

Elaboración de un sistema confiable para la detección y caracterización de virus y fitoplasmas que afectan la vid.

**REGIONES DE EJECUCIÓN:** IV, V, VI, VII y Región Metropolitana

**AGENTE EJECUTOR:** Universidad de Chile  
Facultad de Ciencias Agronómicas

**AGENTES ASOCIADOS:**  
Viña Santa Rita S.A.  
Viñedos Emiliana S.A.  
Univiveros

**COORDINADOR DEL PROYECTO:**  Jaime R. Montealegre A.

**PERIODO DE EJECUCIÓN:** Desde 15 de diciembre de 2001  
Hasta 30 de noviembre de 2007

<b>USO INTERNO FIA</b>	
<b>FECHA RECEPCIÓN</b>	



## **II. RESUMEN**

De acuerdo a los objetivos planteados y a la metodología utilizada se ha logrado desarrollar todas las actividades contempladas en el proyecto.

Ha sido posible poner a punto las técnicas de detección de virus (ELISA y RT-PCR) y fitoplasmas (Nested-PCR) en vid, malezas e insectos; lo que significa disponer de herramientas muy valiosas a utilizar en apoyo al desarrollo del sector vitivinícola en Chile.

La prospección realizada en viñedos y parrones de la IV, V, VI, VII y Región Metropolitana, ha evidenciado que la presencia de virus y fitoplasmas en las vides chilenas es importante. Además se han caracterizado insectos *Auchenorrhyncha* probable vectores de fitoplasmas en vid y encontrado malezas asociadas a viñedos que funcionarían como reservorio de esto mismos patógenos.

Con los trabajos realizados se ha contribuido al mayor conocimiento, en Chile, de las enfermedades producidas por virus y fitoplasmas en la vid, además se ha dado respuestas a algunos de los problemas que el cultivo presenta y que son causa de preocupación para los productores.

El desarrollo de este proyecto, ha permitido la interacción con la comunidad involucrada en la producción de vides y en el ámbito exportador, además participar en varios congresos nacionales e internacionales dando a conocer los avances y logros alcanzados a lo largo del proyecto y con ello realizar trabajos en conjunto con investigadores de diferentes instituciones nacionales y extranjeras.

Creemos que los resultados del proyecto contribuirán al desarrollo del "Sistema de certificación de la vid" en Chile.

### **III. INFORME TÉCNICO**

#### **1. OBJETIVOS DEL PROYECTO**

##### **Objetivo General**

Desarrollar un sistema basado en técnicas moleculares (serología y amplificación génica) orientado al diagnóstico y caracterización de los principales virus y fitoplasmas que afectan la vid y determinar presencia de fitoplasmas en insectos y plantas reservorio.

##### **Objetivos Específicos**

1. Recolectar suelo y material vegetal procedentes de vides de las Regiones VII, VI, IV, V y Metropolitana, para establecer la situación fitosanitaria actual de la vid en Chile.
2. Desarrollar un sistema de diagnóstico confiable y rápido para vid, utilizando técnicas moleculares (serología y amplificación génica) para detectar virus y fitoplasmas.
3. Caracterizar genéticamente tres patógenos (virus y/o fitoplasmas) más importantes encontrados en vides chilenas.
4. Establecer un protocolo sensible y específico para los cuatro patógenos (virus y fitoplasmas) más importantes detectados en el presente estudio, evaluado técnica y económicamente, orientado a la detección en plantas asintomáticas.
5. Determinar langostinos infectados por fitoplasmas.
6. Determinar plantas infectadas por fitoplasmas asociadas al cultivo de la vid.
7. Difundir los resultados obtenidos en el proyecto.

Todos los objetivos específicos planteados en el proyecto se han cumplido plenamente, permitiendo así el logro del objetivo general.

En el siguiente cuadro 1, se cuantifican los resultados obtenidos por objetivo específico y por actividad.

**Cuadro 1**

Objetivo Especif. N°	Actividad N°	Descripción	Resultados programados	Resultados obtenidos	Fecha Término
1	1.1	Recolección de material vegetal IV Región	135 muestras de planta	63 muestras de planta	30.09.03
1	1.2	Recolección de material vegetal V y Región Metropolitana	135 muestras de planta	215 muestras de plantas	30.09.03
1	1.3	Recolección de material vegetal VI y VII Regiones	135 muestras de planta	152 muestras de planta	30.09.03
1	1.4	Almacenaje y mantenimiento del material colectado	270 plantas	270 plantas	15.12.05
1	1.5	Determinación de poblaciones de nemátodos fitófagos vectores de virus <i>Xiphinema index</i> y <i>X. americanum</i> en los suelos recolectados.	135 muestras de suelo	135 muestras de suelo	31.12.03
2	2.1	Desarrollo protocolo ELISA para los siguientes virus en vides: GFLV, ToRSV, ArMV, GVA, GVB, SLRSV, GLRaV-1, 2, 3, GFkV	10 virus	10 virus	31.12.02
2	2.2	Desarrollo protocolo ELISA para los siguientes virus en nemátodos: GFLV, ToRSV	2 virus	2 virus	30.04.04
2	2.3	Desarrollo protocolo de PCR para virus y fitoplasmas, en vides: GFLV, ToRSV, ArMV, GVA, GVB, SLRSV, GLRaV-1, 2, 3, GFkV, Grapevine rupestris stem pitting associated virus (GRSPaV), y Fitoplasmas del amarillamiento de la vid	11 virus y fitoplasmas	12 virus y fitoplasmas	30.07.04
3	3.1	Amplificación génica de patógenos de vid.	12	12	30.09.05
3	3.2	Secuenciación génica	12	12	30.09.05
3	3.3	Comparación de secuencias	2 virus y 1 fitoplasmas	2 virus y 4 fitoplasmas	30.09.05
3	3.4	Bloque de plantas infectadas con patógenos caracterizados	2 virus y 1 fitoplasmas	2 virus y 2 fitoplasmas	31.10.05
4	4.1	Determinación de costo, sensibilidad, especificidad de cada técnica y mejor época de muestreo para el diagnóstico de los 4 patógenos más importantes detectados en el estudio.	Un estudio realizado	Un estudio realizado	30.09.05
5	5.1	Recolección de langostinos.	450 insectos	509 insectos	30.11.07
5	5.2	Separación de langostinos según característica morfológicas.	14 grupos	18 grupos	30.09.07
5	5.3	Análisis para fitoplasmas en langostinos.	400 análisis	438 análisis	30.11.07
5	5.4	Caracterización de langostinos y fitoplasmas encontrados en ellos.	-Langostinos: 3 familias y 3 subfamilias; -Fitoplasmas: 4 especies.	-Langostinos: 3 familias y 5 subfamilias; -Fitoplasmas: 5 especies.	30.11.07

6	6.1	Recolección de plantas asociadas a las vides.	70 plantas	89 plantas	31.08.07
6	6.2	Separación de plantas asociadas a las vides, según características morfológicas.	18 grupos	26 grupos	30.09.07
6	6.3	Análisis para fitoplasmas en plantas asociadas a las vides.	70 análisis	89 análisis	31.10.07
6	6.4	Caracterización de plantas asociadas a vides y fitoplasmas encontrados en ellas.	-Plantas: 18 especies; -Fitoplasmas: 3 especies.	-Plantas: 19 especies; -Fitoplasmas: 3 especies.	30.11.07
7	7.1	Charlas técnicas	3 charlas	3 charlas	07.05.04
7	7.2	Día de Campo	2 días de campo	2 días de campo	27.01.04
7	7.3	Seminario Internacional	1 seminario	1 seminario	06.04.05
7	7.4	Participación a congresos nacionales e internacionales con presentación de trabajos	12 trabajos	19 trabajos	17.11.05
7	7.5	Presentación de trabajos para publicaciones en revistas internacionales	5 trabajos	8 trabajos	30.11.05
7	7.6	Presentación de trabajos para publicaciones en revistas nacionales	2 trabajos	2 trabajos más 6 resúmenes de presentaciones a congresos	30.04.05

## **2. METODOLOGÍA DEL PROYECTO**

### **Para la realización de las actividades 1.1, 1.2, 1.3 y 1.5**

#### *Recolección de material vegetal*

Se recolectaron muestras de plantas de vides de variedades de uva de vino y de mesa y se guardaron en bolsas de polietileno rotulándolas con el mismo número asignado a la planta de origen. Las bolsas se pusieron en un refrigerador portátil para el transportarlas a refrigeración. Una vez en el laboratorio las bolsas y fueron almacenadas a 4° C. Las plantas se marcaron utilizando una etiqueta plastificada que indica el número de muestra.

La metodología de muestreo consistió en recolectar todos los sectores de la planta. Para la detección de virus se recolectaron sarmientos lignificados de aproximadamente 50 cm de largo. Para los fitoplasmas se recolectaron preferencialmente las hojas.

#### *Recolección de suelo*

Se realizó utilizando un barreno de 2,5 cm de diámetro o una pala, extrayendo suelo más raicillas de la temporada o de la temporada anterior, las cuales se mezclaron obteniendo finalmente una muestra compuesta de 1-3 kg de suelo.

El suelo se mantuvo una semana a temperatura ambiente en el Laboratorio, luego de lo cual se realizó el proceso de extracción. Para ello se utilizó el método de tamizado de suelos seguido por un período de 48 horas en un embudo Baermann. La extracción se realizó en forma diferenciada, utilizando tamices de 120 mallas/pulgada para la separación de los nemátodos de mayor tamaño, como los del género *Xiphinema*.

### **Para la realización de la actividad 1.4**

Después de 25 días en frío se procedió al enraizamiento de las estacas lignificadas de vid. Para aumentar el área de potencial crecimiento de raíces, se realizó un rayado de la corteza de las estacas. Luego se sumergieron en una solución de ácido indol butírico a una concentración de 1.750 ppm, para luego depositarlas en vasos plásticos con 200 ml de sustrato de perlita y turba en relación 2:1. Estos vasos plásticos se pusieron en "cama caliente" a 20°C. La humedad del sustrato se mantuvo mediante riegos con agua potable dos veces por semana.

En estas condiciones el material fue mantenido alrededor de 20 días, momento en el cual las estacas enraizadas fueron trasladadas a bolsas plásticas de 500 ml de capacidad que contenían un sustrato formado por suelo agrícola, tierra de hoja y arena en relación 1:1:1.

### **Para la realización de la actividad 1.5**

La identificación se realizó usando una lupa estereoscópica, contando los nemátodos *Xiphinema index* y *X. americanum* s.l. extraídos de 250 ml de suelo.

### **Para la realización de la actividad 2.1**

Se desarrollaron los protocolos propuestos por la empresa Agritest Italia, que se anexaron en el Informe de Avance Técnico N° 1.

### **Para la realización de la actividad 2.2**

Se utilizaron muestras de nematodos extraídos de suelos donde se desarrollaban plantas que resultaron positivas a GFLV y ToRSV. En este último caso, no habiendo encontrado vides infectadas con el virus, para realizar el trabajo se utilizaron nemátodos obtenidos desde suelo con ciruelos positivos a ToRSV.

La extracción del virus desde nematodos se efectuó moliéndolos en el mismo tampón de extracción ELISA utilizado para el tejido vegetal. Los pasos siguientes correspondieron a los mismos seguidos para el protocolo de DAS-ELISA aplicado a tejido vegetal.

### **Para la realización de la actividad 2.3**

Los protocolos de extracción de ácidos nucleicos y para la ejecución de RT-PCR para la detección de virus y de Nested-PCR para los fitoplasmas se adjuntaron en el anexo del Informe de Avance Técnico N° 2.

### **Para la realización de las actividades 3.1, 3.2 y 3.3**

Para la purificación de amplificadores de virus y fitoplasmas se utiliza el sistema comercial de Gibco-BRL (Cat. 11458). Este describe la adición al fragmento de DNA en solución acuosa, de una solución compuesta por hidrocloreuro de guanidina concentrada, EDTA, Tris-HCl e isopropanol, con las concentraciones protegidas, la mezcla es centrifugada sobre un tubo con filtro a 12.000 x g por un minuto. Sobre este filtro es agregada una segunda solución compuesta por NaCl, EDTA, y Tris-HCl y es vuelto a centrifugar bajo las mismas condiciones. Después el DNA es disuelto en 30 a 50µl H<sub>2</sub>O a 60 °C por 1 minuto sobre el centro del filtro y centrifugado por 2 min a 12.000 g.

El eluido obtenido se liga al vector comercial pGEM-T, usándose 50 ng de vector (1 ml), 3 unidades de T4 DNA ligasa, adicionando tampón a concentraciones finales de 30 mM Tris-HCl (pH 7,8), 10 mM MgCl<sub>2</sub>, 10 mM DTT, 0,5 mM ATP (1 ml), completando la reacción con el producto de PCR a un volumen final de 10 ml. La reacción se incubó a 16 °C por 16 horas.

Para la clonación se procede a la transformación de bacterias *E. coli* DH5 $\alpha$ , por electroporación, usando el Electroporador BIO-RAD modelo Gene Pulser<sup>tm</sup> en las siguientes condiciones: 200  $\Omega$  de resistencia, 2,5 kV de caída de potencial y 25  $\mu$ F de conductancia; usando cubetas especiales de la misma marca mantenidas a 4  $^{\circ}$ C con la mezcla de 1  $\mu$ l de ligación, y 40  $\mu$ l de bacteria electro-competente preparadas con antelación y mantenidas a -80  $^{\circ}$ C. Luego de ser sometidas a la carga eléctrica las células son vueltas a 4  $^{\circ}$ C por aproximadamente 1 minuto y posteriormente estabilizadas en 1ml de medio de crecimiento SOC (triptona 20g/l, levadura 5 g/l NaCl 0,5 g/l, glucosa 3,6g/l, KCl 180 mg/l y MgCl<sub>2</sub> 0,95g/l) a 37  $^{\circ}$ C con una agitación de 225 rpm durante 1 hora en tubos de 50 ml. Pasado este tiempo se siembran entre 50-250  $\mu$ l de este medio en placas de Petri con LB agar IPTG Xgal más antibiótico Carbenicilina a 100  $\mu$ g/ml, para la selección de los clones positivos por medio de antibiótico y coloración de colonias. Las placas se incuban a 37  $^{\circ}$ C entre 12 y 18 horas.

A las colonias blancas obtenidas se les realizan pruebas de PCR directo, para ello se pica las colonias con una punta estéril o un mondadientes de forma individual, la punta es lavada en 10 $\mu$ l de H<sub>2</sub>O estéril, y vuelta a lavar en 1 ml de medio de crecimiento Luria-Bertani (LB), para usarlo como respaldo de la línea celular. La mezcla de reacción esta compuesta por: 1-2 unidades Taq-DNA polimerasa, 2,5 mM de MgCl<sub>2</sub>, 5  $\mu$ mol M13FOR y 5  $\mu$ mol M13REV, 1 mM de dNTPs, 50 mM KCl y 10 mM Tris-HCl (pH 8,4) hasta un volumen final de 30  $\mu$ l, incluyendo los 10  $\mu$ l de bacteria. El perfil térmico aplicado fue de 5 minutos a 95  $^{\circ}$ C seguido de 40 ciclos de: desnaturalización a 94  $^{\circ}$ C por 1 min., "annealing" a 55  $^{\circ}$ C por 1 min. y elongación por 1 min. a 72  $^{\circ}$ C, finalmente se aplicó un escalón de 7 min. a 72  $^{\circ}$ C, quedando las reacciones de amplificación listas para su análisis por electroforesis, en gel de agarosa al 1 % teñido con Bromuro de Etidio.

A los clones positivos se les realiza una mini preparación plasmidial, se parte de bacterias frescas crecidas hasta O.D. 1 (600 nm), aproximado, en su defecto un cultivo crecido por toda la noche. Se precipitan entre 1 ml y 5 ml de cultivo por 5 minutos en una centrifuga de sobremesa a 10.000 rpm, se desecha el sobrenadante y el sedimento es resuspendido en 100  $\mu$ l de una solución compuesta por 50 mM de glucosa, 25 mM de Tris-HCl y 10 mM EDTA a pH 8,0 preferentemente a 4  $^{\circ}$ C, se homogeneiza la solución tras lo cual se procede a lisar las células con 200  $\mu$ l de una solución básica compuesta por 0,2 N NaOH y 1 % SDS preparada en el momento, se mezclan suavemente la solución hasta que esta sea transparente, posteriormente se agrega 150  $\mu$ l de una tercera solución compuesta de 60 % v/v 5M acetato de potasio, 11,5 % v/v de ácido acético glacial, se mezcla suavemente hasta que se forma un precipitado blanco. La mezcla final es centrifugada a 10.000 rpm por 5 minutos a 4  $^{\circ}$ C, el sobrenadante es traspasado a un tubo limpio, en donde se le agrega un volumen igual de fenol:cloroformo:alcohol isoamílico (24:23:1) (450 $\mu$ l aproximado), la solución es vuelta a centrifugar por 5 minutos a 10.000 rpm, y se toma con una micropipeta la fase acuosa superior (esta etapa se repite en dos oportunidades para el caso del *Agrobacterium tumefaciens*), la que es traspasada a otro tubo estéril en el que se le agregan un décimo de una solución de Acetato de Amonio 10 M (40  $\mu$ l), seguido de dos volúmenes de etanol 100 % a -20  $^{\circ}$ C (880  $\mu$ l), la mezcla es dejada por 30 minutos a -20  $^{\circ}$ C tras lo cual es precipitada por 15 min. a 15.000 rpm a 4  $^{\circ}$ C, el sedimento se seca con mucho cuidado y se le agregan 1 ml de etanol 70 % a -20  $^{\circ}$ C y es vuelto a centrifugar por 5 minutos a 15.000rpm, el sedimento final es secado y posteriormente resuspendido en 50  $\mu$ l de H<sub>2</sub>O

estéril con 0,1 mg/ml de RNAsa. Y posteriormente observado en un gel de agarosa teñido con Bromuro de etidio.

Una vez comprobada la integridad del plasmidio se procede a realizar una digestión con la enzima de restricción *EcoR* I bajo las condiciones indicadas por el fabricante, para observar el tamaño del amplificado clonado. Finalmente las muestras se envían a secuenciar por secuenciación automática.

Las secuencias obtenidas a partir de los productos de amplificación de los aislados presentes en Chile han sido alineadas en GenBank para poder determinar el porcentaje de similitud con aquellas presentes en el banco de datos. El resultado de la alineación entrega informaciones sobre eventuales diferencias genéticas existentes entre los aislados de virus y fitoplasmas caracterizados en diferentes países.

#### **Para la realización de la actividad 3.4**

Se enraizaron y almacenaron, según la metodología anteriormente detallada, las muestras desde la cual se obtuvieron los patógenos que han sido caracterizados genéticamente.

#### **Para la realización de la actividad 4.1**

##### *Costo de las técnicas de detección*

Para cada técnica se consideraron los siguientes ítems de costos: reactivos, personal técnico, uso de infraestructuras (que incluye gastos básicos y mantenimiento equipos), gastos de administración.

Este ejercicio se hizo para las técnicas ELISA y RT-PCR (detección de virus) y Nested-PCR (detección de fitoplasmas), que se desarrollaron en el marco del presente proyecto.

##### *Especificidad y sensibilidad de las técnicas de detección*

Se determinó la sensibilidad y especificidad de las técnicas ELISA y RT-PCR para la detección de seis virus: *Grapevine fanleaf virus* (GFLV), *Grapevine leafroll-associated virus 1* (GLRaV-1), *Grapevine leafroll-associated virus 2* (GLRaV-2), *Grapevine leafroll-associated virus 3* (GLRaV-3), *Grapevine virus A* (GVA) y *Grapevine fleck virus* (GFkV).

El ensayo de especificidad se realizó para probar que las técnicas ELISA y RT-PCR no desarrollan reacciones cruzadas entre diferentes virus, generando así resultados “falsos positivos”. Tanto con ELISA como con RT-PCR, se utilizó floema de sarmientos lignificados de plantas de vid cuyo código es especificado en el cuadro 2. Los kits ELISA utilizados son de la empresa Agritest, Italia y los protocolos de análisis se presentaron en el informe N° 1. Para la RT-PCR se utilizaron los partidores y protocolos de análisis presentados en los informes N° 2 (para GLRaV-2 y GVA), 3 (para GFkV), 4 (para GFLV y GLRaV-3) y 5 (para GLRaV-1).

Debido a la dificultad de poder encontrar muestras a infección simple se utilizaron en mayoría aquellas con infección mixta.

En cada ensayo, con el cual se evaluó la especificidad de ambas técnicas de detección para un determinado virus, se utilizaron de una a cinco distintas muestras (repeticiones) infectadas con cada uno de los otros 5 virus (Cuadro 3). Se utilizaron siempre tres controles negativos (tampón de extracción, tejido fresco y liofilizado de vides sanas) y dos positivos (tejido fresco y liofilizado de vides infectadas).

Las muestras usadas para los ensayos antes descritos, se analizaron previamente para confirmar el estado sanitario.

**Cuadro 2. Muestras utilizadas para los ensayos de especificidad.**

Código muestra	Virus presentes en la muestra
70	GFLV
203	GLRaV-1, GVA, GFkV
205	GLRaV-1, GVA, GFLV
206	GLRaV-1, GVA, GFkV
257	GLRaV-1, GVA
289	GLRaV-3
308	GLRaV-1, GVA, GFLV
341	GLRaV-3
368	GVA, GFkV, GFLV
374	GLRaV-3
1118	GLRaV-1, GLRaV-2
1157	GLRaV-2, GFkV
1517	GFLV
2280	GLRaV-2, GLRaV-3, GFkV
2300	GLRaV-2, GLRaV-3, GVA
2303	GLRaV-2, GLRaV-3, GVA, GFLV
2336	GFLV
2339	GFkV
2340	GLRaV-2, GLRaV-3

**Cuadro 3. Virus objetos de los ensayos de especificidad y muestras utilizadas para la realización de los mismos.**

Virus objeto del ensayo	Código de las muestras utilizadas en cada ensayo (muestras no infectadas con el virus objeto del ensayo)
GFLV	203, 206, 257, 289, 1118, 2280, 2300, 2340
GLRaV-1	70, 368, 1157, 1517, 2280, 2300, 2303, 2340
GLRaV-2	203, 205, 289, 308, 341, 368, 374, 2336, 2339
GLRaV-3	70, 203, 205, 206, 1118, 1157, 2336
GVA	70, 289, 341, 1118, 1157, 1517, 2280, 2336, 2339, 2340
GFkV	205, 257, 289, 308, 2280, 2303, 2340

La finalidad del ensayo de sensibilidad ha sido determinar el umbral de detección de las técnicas ELISA y RT-PCR, para los mismos seis virus mencionados anteriormente. El tipo de material vegetal, kits ELISA, partidores y protocolos son los mismos que se utilizaron para el ensayo de especificidad.

Tanto en ELISA como en RT-PCR se utilizaron las mismas tres muestras para cada virus considerado (Cuadro 4). Solo para los ensayos con ELISA se utilizó además una muestra de tejido liofilizado infectado.

Se disminuyó la concentración del antígeno viral presente en el extracto de material vegetal infectado, utilizando el extracto de una muestra sana. De esta forma se prepararon las siguientes diluciones (cantidades de partes de infectado/cantidades de partes total) utilizadas en los ensayos: 1/1 (solo tejido infectado), 1/5, 1/10, 1/15, 1/20, 1/30, 1/40 y 1/50. Solo para RT-PCR se utilizaron también las diluciones 1/100, 1/200, 1/300 y 1/500.

Previamente, con el fin de decidir como realizar las diluciones, se comparó la modalidad de dilución de los extractos (como explicado anteriormente) con una dilución realizada mediante mezcla de floema infectado con sano.

**Cuadro 4. Virus objetos de los ensayos de sensibilidad y muestras utilizadas para la realización de los mismos.**

<b>Virus objeto del ensayo</b>	<b>Código de las muestras utilizadas en cada ensayo (muestras infectadas con el virus objeto del ensayo)</b>
GFLV	2336, 2337, 2359
GLRaV-1	203, 206, 2357
GLRaV-2	2356, 2476, 2484
GLRaV-3	2360, 2483, 2482
GVA	203, 2361, 2482
GFkV	203, 2482, 2484

#### *Mejor época de muestreo*

Este ensayo partió en septiembre de 2003 y terminó en agosto de 2004. Los análisis se realizaron mensualmente sobre material vegetal recolectado en la última semana de cada mes.

Los órganos de las plantas analizados difirieron según la época de muestreo. Se recolectaron y analizaron en cada mes todos los órganos presentes en las plantas consideradas para la prueba. En particular se han analizados brotes, pecíolos de hojas, hojas y floema de sarmientos lignificados, siendo este último el único material vegetal disponible desde mayo hasta agosto.

Para el ensayo se consideraron los siguientes virus: GFLV, GLRaV-3, GVA y GFkV, utilizando para la detección las técnicas ELISA y RT-PCR en tres repeticiones (tres plantas) por cada virus.

Las mayoría de las muestras utilizadas presenta una infección viral mixta, por lo tanto previamente se determinó la especificidad tanto de ELISA como de RT-PCR para descartar

la posibilidad de reacciones cruzadas y la generación de resultados “falsos positivos” con ambas técnicas.

Las muestras se recolectaron de plantas que se encuentran en viñedos y parrones de la Región Metropolitana.

#### **Para la realización de la actividad 5.1**

La recolección de insectos se realizó en predios de diferentes localidades de la V, VI, VII y Región Metropolitana.

Para la captura se utilizó principalmente la red entomológicas, se separaron los insectos en tubos de ensayo y se trasladaron al laboratorio en hielo. Algunos insectos han sido capturados utilizando trampas entomológicas con pegamento.

La mayoría de estos insectos han sido fotografiados con lupa y sucesivamente puestos en alcohol absoluto para su caracterización y análisis fitoplasmológicos.

#### **Para la realización de la actividad 5.2**

Los insectos se fotografiaron con lupa y se separaron en grupos según las características morfológicas observadas. Dentro de cada grupo, se separaron las hembras de los machos, enviando algunos de estos últimos al entomólogo Alberto Alma de la Universidad de Turín en Italia, para realizar la clasificación. Los individuos de cada grupo que quedaron en Chile se analizaron para detectar la presencia de fitoplasmas.

Se caracterizaron solamente aquellos insectos que han dado resultados positivos a los análisis para fitoplasmas.

#### **Para la realización de la actividad 5.3**

Para la detección de fitoplasmas, el método de extracción de DNA desde insectos que se ha desarrollado es similar al que se utiliza para material vegetal (véase informe N° 2). Aunque en este caso se tuvo que reducir proporcionalmente las cantidades de reactivos y tampones para poder realizar el trabajo en microtubos de 2,2 ml.

Para análisis de fitoplasmas se utilizó la técnica de Nested-PCR, según el protocolo que se informó anteriormente.

#### **Para la realización de la actividad 5.4**

##### *Caracterización de langostinos*

Se realiza a través de la observación de los órganos genitales de los insectos machos a través de una clave de identificación simplificada relativa a los hemípteros *Auchenorrhyncha*, que ha sido elaborada por el Dr. Alberto Alma.

#### *Caracterización de fitoplasmas encontrados en langostinos*

Para la caracterización de los fitoplasmas se utilizaron la técnica de restricción enzimática (RFLP) y, en algunos casos, el análisis de las secuencias nucleotídicas, cuyos protocolos han sido informados anteriormente.

#### **Para la realización de la actividad 6.1**

La recolección de plantas asociadas a viñedos y/o alrededor de los mismos, se realizó en predios de diferentes localidades de la V, VI, VII y Región Metropolitana. Las herbáceas fueron exclusivamente malezas y han sido recolectadas por entero. Mientras de las leñosas se han recolectados estacas con hojas.

#### **Para la realización de la actividad 6.2**

Las plantas asociadas a viñedos y/o alrededor de los mismos, han sido fotografiadas y separadas en grupos según características morfológicas observadas.

#### **Para la realización de la actividad 6.3**

Para la detección de fitoplasmas, el método de extracción de DNA desde plantas asociadas a viñedos es idéntico al que se usa para la vid (véase informe N° 2). Para análisis de fitoplasmas se utilizó la técnica de Nested-PCR, según el protocolo que se informó anteriormente.

#### **Para la realización de la actividad 6.4**

##### *Caracterización de malezas*

Las malezas encontradas en los viñedos se han clasificado con la ayuda de los siguientes manuales:

Viggiani P. y Angelini R. 1998 Erbe spontanee e infestanti: tecniche di riconoscimento di graminacee. Edagricole, Italia;

Viggiani P. 1998 Erbe spontanee e infestanti: tecniche di riconoscimento di dicotiledoni. Edagricole, Italia.

Juan Ormeño Núñez (2005) Malezas de huertos frutales y vides: biología y control. Colección de libros INIA, N° 17.

Para la definitiva caracterización de las malezas, ha sido muy importante el apoyo brindado, en estos últimos meses de proyecto, por la profesora Verónica Díaz de la Facultad de Ciencias Agronómicas de la Universidad de Chile, experta en reconocimiento y control de malezas asociadas a cultivo agrario.

### *Caracterización de fitoplasmas encontrados en plantas asociadas a viñedos*

Para la caracterización de los fitoplasmas se utilizaron la técnica de restricción enzimática (RFLP) y, en algunos casos, el análisis de las secuencias nucleotídicas, cuyos protocolos han sido informados anteriormente.

## **3. ACTIVIDADES DEL PROYECTO**

Las actividades del proyecto se detallaron en el cuadro 1. En el mismo cuadro aparece también una cuantificación de los resultados obtenidos sobre los programados, donde aparece claro que no hay discrepancias entre las actividades programadas y las efectivamente realizadas.

## **4. RESULTADOS DEL PROYECTO**

### **Actividades 1.1, 1.2, 1.3 y 1.5**

#### *Recolección de material vegetal*

Se marcaron 63 plantas en la IV región, 142 en la V, 118 en la VI, 34 en la VII y 73 en la región metropolitana (RM), por un total de 430.

El cuadro con los detalles de este muestreo se encuentra en el Informe Técnico de Avance N° 4.

#### *Recolección de suelo*

Se recolectó suelo principalmente desde los predios donde se detectó GFLV para averiguar la correlación con el vector *Xiphinema index*.

En la IV región se recolectaron 34 muestras de suelo, 39 en la V, 9 en VI, 16 en la VII y 37 en la RM, por un total de 135.

Los detalles se encuentran en los Informe Técnicos de Avance N° 1, 2, 3, 4 y 5.

#### Actividad 1.4

Se almacenaron y mantuvieron en condiciones controladas 270 plantas de las 430 marcadas. En general se trató de mantener aquellas que resultaron positivas para virus y fitoplasmas de modo de poder disponer de una colección de plantas infectadas.

#### Actividad 1.5

En el cuadro 5 se detallan los resultados nematológicos obtenidos de las 135 muestras de suelo recolectadas.

**Cuadro 5. Resultados análisis suelos**

Predio (Variedad – Región)	Resultado ELISA en plantas		Cantidad de nematodo en 250 cm <sup>3</sup> de suelo	
	GFLV	ToRSV	<i>Xiphinema</i> Index	<i>Xiphinema</i> . <i>Americanum</i> s.l.
Chardonnay – V	Neg.	Neg.	0	175
Chardonnay – V	Neg.	Neg.	0	400
Chardonnay – V	Neg.	Neg.	0	1500
Chardonnay – V	Neg.	Neg.	45	0
Thompson – V	Neg.	Neg.	50	75
C.Sauvignon – RM	Neg.	Neg.	15	46
C.Sauvignon – RM	Neg.	Neg.	5	30
C.Sauvignon – RM	Neg.	Neg.	10	198
Carmenere – RM	Neg.	Neg.	100	70
C.Sauvignon – RM	Pos.	Neg.	8	25
C.Sauvignon – RM	Pos.	Neg.	10	40
Sauvignon B.- V	Neg.	Neg.	0	18
Chardonnay – V	Pos.	Neg.	0	55
C.Sauvignon -RM	Pos.	Neg.	0	45
Carmenere –RM	Pos.	Neg.	0	30
Carmenere –RM	Pos.	Neg.	10	85
Thompson –V	Pos.	Neg.	10	5
Thompson –V	Pos.	Neg.	90	85
Crimson –IV	Pos.	Neg.	220	35
Pisquera –IV	Pos.	Neg.	90	75
Red Globe –IV	Pos.	Neg.	290	45
Flame –IV	Pos.	Neg.	115	35
Thompson –IV	Pos.	Neg.	210	145
Merlot –VII	Neg.	Neg.	0	35

Thompson –VI	<b>Pos.</b>	Neg.	55	80
Pinot Noir -V	<b>Pos.</b>	Neg.	0	45
C.Sauvignon – RM	<b>Pos.</b>	Neg.	90	0
C.Sauvignon - RM	<b>Pos.</b>	Neg.	40	0
Carmenere.- RM	<b>Pos.</b>	Neg.	90	0
Carmenere – RM	<b>Pos.</b>	Neg.	20	0
Thompson - V	<b>Pos.</b>	Neg.	120	10
Crimson – V	<b>Pos.</b>	Neg.	80	10
Thompson – V	<b>Pos.</b>	Neg.	105	30
Thompson –V	<b>Pos.</b>	Neg.	45	15
Merlot –VII	Neg.	Neg.	0	10
Syrah – VII	Neg.	Neg.	20	120
Syrah – VII	<b>Pos.</b>	Neg.	0	0
Thompson –VI	<b>Pos.</b>	Neg.	40	0
Petit Syrah – RM	<b>Pos.</b>	Neg.	0	35
C.Sauvignon – RM	Neg.	Neg.	30	10
C.Sauvignon – RM	Neg.	Neg.	90	35
C.Sauvignon – RM	Neg.	Neg.	900	10
Chardonnay – V	Neg.	Neg.	35	0
Chardonnay – V	Neg.	Neg.	10	0
Chardonnay – V	Neg.	Neg.	60	0
Chardonnay – V	Neg.	Neg.	10	0
Chardonnay – V	Neg.	Neg.	0	65
Chardonnay – V	Neg.	Neg.	0	95
Chardonnay – V	Neg.	Neg.	0	120
Chardonnay – V	Neg.	Neg.	0	30
Chardonnay – V	Neg.	Neg.	0	75
Chardonnay – V	Neg.	Neg.	0	200
Thompson – V	Neg.	Neg.	80	0
Petit Syrah – RM	Neg.	Neg.	0	0
Carmenere – RM	Neg.	Neg.	40	5
C.Sauvignon – RM	Neg.	Neg.	0	0
C.Sauvignon – RM	Neg.	Neg.	0	0
Thompson – RM	Neg.	Neg.	0	0
Thompson – IV	Neg.	Neg.	0	0
Crimson – IV	Neg.	Neg.	0	0
Crimson – IV	Neg.	Neg.	0	0
Crimson – V	<b>Pos.</b>	Neg.	230	0
Petit Syrah – RM	Neg.	Neg.	0	0
Chardonnay – RM	Neg.	Neg.	120	0
Carmenere – RM	Neg.	Neg.	25	0
Chardonnay – RM	Neg.	Neg.	30	0
Merlot – RM	Neg.	Neg.	0	50
C.Sauvignon – RM	<b>Pos.</b>	Neg.	170	0
C.Sauvignon – RM	<b>Pos.</b>	Neg.	280	0

C.Sauvignon – RM	<b>Pos.</b>	Neg.	450	0
Thompson – RM	Neg.	Neg.	10	0
Red Globe – RM	Neg.	Neg.	15	0
C.Sauvignon – VI	Neg.	Neg.	15	35
Carmenere – VI	Neg.	Neg.	10	20
Carmenere – VI	Neg.	Neg.	0	30
Thompson – IV	Neg.	Neg.	0	0
Red Globe – IV	Neg.	Neg.	0	0
Thompson – IV	Neg.	Neg.	0	0
Red Globe – IV	Neg.	Neg.	0	0
Petit Syrah – RM	Neg.	Neg.	40	0
Petit Syrah – RM	<b>Pos.</b>	Neg.	35	0
Merlot – VI	Neg.	Neg.	0	45
C. Sauvignon - VI	Neg.	Neg.	0	25
Carmenere – RM	Neg.	Neg.	0	0
3309 – VI	Neg.	Neg.	0	0
Merlot – VI	Neg.	Neg.	0	0
Merlot– VII	Neg.	Neg.	0	60
Syrah – VII	Neg.	Neg.	0	45
Autumn Royal – V	<b>Pos.</b>	Neg.	130	0
Autumn Royal - V	<b>Pos.</b>	Neg.	210	0
Serna – V	Neg.	Neg.	15	0
Carmenere - V	Neg.	Neg.	0	15
Carmenere – V	Neg.	Neg.	0	85
Merlot – V	Neg.	Neg.	0	220
Merlot – V	Neg.	Neg.	0	25
Sauvignon Blanc – V	Neg.	Neg.	0	145
Sauvignon Blanc – V	Neg.	Neg.	0	25
Sauvignon Blanc – V	Neg.	Neg.	0	40
Pinot Noir – V	Neg.	Neg.	10	140
Carmenere – RM	Neg.	Neg.	0	15
C.Sauvignon - RM	Neg.	Neg.	0	50
Thompson – IV	Neg.	Neg.	35	20
Thompson – IV	Neg.	Neg.	40	10
Thompson – IV	Neg.	Neg.	110	15
Thompson – IV	Neg.	Neg.	45	0
Thompson – IV	Neg.	Neg.	80	75
Black Seedless - IV	Neg.	Neg.	40	55
Crimson – IV	Neg.	Neg.	155	0
Red Globe –IV	Neg.	Neg.	105	40
Moscatel – IV	Neg.	Neg.	240	0
Red Globe – IV	Neg.	Neg.	150	30

Crimson – IV	Neg.	Neg.	115	0
Thompson – IV	Neg.	Neg.	0	20
Black Seedless - IV	Neg.	Neg.	0	105
Thompson – IV	Neg.	Neg.	195	45
Black Seedless - IV	Neg.	Neg.	75	40
Thompson – IV	Neg.	Neg.	550	100
Flame – IV	Neg.	Neg.	240	55
Thompson – IV	Neg.	Neg.	420	110
Thompson – IV	Neg.	Neg.	335	25
Merlot – VII	Neg.	Neg.	0	20
Merlot – VII	Neg.	Neg.	0	30
Merlot – VII	Neg.	Neg.	0	15
Merlot – VII	Neg.	Neg.	0	30
Syrah – VII	Neg.	Neg.	0	10
Merlot – VII	Neg.	Neg.	0	130
Syrah – VII	Neg.	Neg.	0	0
Thompson – V	Neg.	Neg.	0	10
Thompson – V	Neg.	Neg.	10	5
Thompson –IV	Neg.	Neg.	10	25
Syrah – IV	Neg.	Neg.	0	110
Syrah – IV	Neg.	Neg.	0	75
Merlot – VII	Neg.	Neg.	0	30
C. Sauvignon - VII	Neg.	Neg.	0	80
Carmenere - VII	Neg.	Neg.	0	0

De los 135 suelos analizados en 88 se encontró *Xiphinema americanum* s.l. (vector de ToRSV), mientras en 72 se detectó la presencia de *Xiphinema index* (vector de GFLV).

Como se observa en el cuadro anterior, no siempre hay correspondencia entre la presencia de infección por GFLV y su vector específico en el suelo. Como ya se dijo anteriormente en ningún caso hemos encontrado vides infectadas por ToRSV, pero sí hay abundancia de suelos con *X. americanum* s.l. Este grupo de nemátodos incluye un gran número de especie, o probables especies, todavía pocos conocidas. Por lo tanto, tampoco son claras las relaciones de especificidad con los diferentes nepovirus.

La cantidad de predios positivos a GFLV es de 33, de los cuales 27 también presentan a *X. index*. Por otro lado hay 45 predios con el nematodo sin que se hayan detectado infecciones del virus en las plantas. En este caso es probable que los vectores no sean infectivos por no haber nunca adquirido el virus y así poderlo transmitir a las plantas. En el caso de ausencia del vector en el suelo y presencia de plantas positivas, se presume que estas llegaron al predio ya infectadas.

La situación es sin duda alarmante, en cuanto la abundante presencia de nematodos vectores de virus en los suelo, es una amenaza para la viticultura del país. Es importante trabajar firmes para bajar la presión de los vectores, preocupándose al mismo tiempo de

propagar plantas libres de nepovirus, para que los nemátodos no los adquieran. Lamentablemente se ha visto como es difícil interrumpir el ciclo de la enfermedad, sobretodo en el caso de GFLV, en presencia de *X. index* infectivos.

### **Actividad 2.1**

Se han desarrollado los protocolos ELISA para los siguientes virus: Grapevine fanleaf (GFLV), Tomato ringspot (ToRSV), Arabis mosaic (ArMV), Grapevine virus A (GVA), Grapevine virus B (GVB), Grapevine leafroll associated virus-1, 2, 3 (GLRaV-1, 2, 3), Strawberry latent ringspot (SLRSV) y Grapevine fleck (GFkV). Esto ha permitido realizar a la brevedad la prospección en las regiones de interés para el proyecto.

Se detectó por primera vez en Chile la presencia de virus de importancia económica como GFkV y GVB. Además aunque existen informaciones sobre la presencia de GLRaVs en Chile, en este proyecto se planteó distinguir las tres especies más difundidas (GLRaV-1, 2 y 3) de las nueve reportadas a escala mundial. Estos resultados han sido confirmados posteriormente a través de la técnica de RT-PCR.

En las muestras que presentaban antecedentes sintomatológicos, tales como decaimiento de plantas, atraso en la brotación y falta de color, disminución de la concentración de azúcar en bayas de variedades rojas, se detectaron a través de ELISA principalmente los GLRaVs acompañados en algunos casos por GFkV, GVA y GVB. En el caso de infección múltiple, los síntomas resultaron ser más acentuados.

También en muestras de plantas que presentaban síntomas de amarilleces y mosaicos de las hojas se detectó GFLV.

### **Actividad 2.2**

Como indicado en el Informe de Avance Técnico N° 5, con la técnica ELISA se ha logrado detectar solo GFLV en una muestra de 100 nematodos. Mientras en ningún caso ha sido posible detectar ToRSV en nematodos cuando se utilizaron en número de 50 como de 100. Estos resultados confirman que no es fácil la detección de los virus antes mencionados directamente en los nematodos vectores, porque al parecer el nivel de infección es muy bajo, debido al bajo número de nematodos infectados y/o porque los que resultan infectados poseen una baja carga viral.

Esto ha obligado a probar con otra técnica de diagnóstico, en específico con RT-PCR para los dos virus, logrando detectar solo GFLV en muestras de 100 nematodos. Mientras en ningún caso ha sido posible detectar ToRSV en nematodos extraídos de suelo con vides, cuando se utilizaron en número de 50 como de 100.

La imposibilidad de encontrar muestras de vid positivas a ToRSV, y por consecuencia, *Xiphinema americanum* s.l. positivos a ToRSV nos ha obligado a utilizar nematodos

extraídos de suelos con ciruelos positivos a ToRSV. En este caso se ha logrado detectar ToRSV solo en muestras de 100 *Xiphinema americanum* s.l..

### Actividad 2.3

En el Informe de Avance Técnico N° 2 se detallan los protocolos de extracción de ácidos nucleicos para la detección de virus y de fitoplasmas. Además se detallan los protocolos para realizar la RT-PCR para GLRaV-2, GVA, GVB, GRSPaV y GLRaV-2 Red Globe – RG- (nueva denominación de Grapevine rootstock stem lesion-associated virus - GRSPaV). En el Informe de Avance Técnico N° 3 se encuentran los protocolos de RT-PCR para GFkV y de Nested-PCR para la detección de fitoplasmas en vid. En el Informe de Avance Técnico N° 4 se incluyeron los protocolos de RT-PCR para GFLV y GLRaV-3. En el Informe de Avance Técnico N° 5 se detallan los protocolos de RT-PCR para GLRaV-1 y ToRSV. En el Informe de Avance Técnico N° 6 se anexaron los protocolos de RT-PCR para ArMV y SLRV.

#### *Resultados en virus*

Se ha podido averiguar en forma preliminar y con algunas muestras infectadas con GLRaV-2, que RT-PCR es más sensible con respecto a ELISA.

Mediante RT-PCR se pudo confirmar los resultados obtenidos con ELISA, especialmente en relación a GVB que no había aun sido encontrado en Chile. Además se detectó GRSPaV y GLRaV-2 RG (antes GRSLaV), también nunca antes encontrado en Chile. Estos últimos dos virus solo se pueden diagnosticar mediante RT-PCR no existiendo anticuerpos para poder detectarlos a través de ELISA.

GLRaV-2 RG es un virus asociado a fenómenos de incompatibilidad en la variedad de uva de mesa Red Globe injertada.

También se observa que aquellas muestras de la variedad Red Globe positivas a GLRaV-2 a través de ELISA, resultan negativas a este mismo virus cuando se efectúa un análisis a través de la técnica de RT-PCR. Sin embargo, las mismas son positivas para GLRaV-2 RG, indicando con eso que existe una reacción cruzada de los anticuerpos de GLRaV-2 utilizados en ELISA con el virus GLRaV-2 RG. Esto tiene su justificación en el hecho que los dos virus comparten casi el 75% de su genoma.

En el caso de algunas muestras de vid resultadas positivas a ToRSV al inicio del proyecto, no ha sido posible confirmar el diagnóstico con RT-PCR. Sin embargo la técnica de RT-PCR montada para ToRSV funciona adecuadamente, en cuanto ha sido probada sobre material vegetal procedente de ciruelo positivo a ToRSV.

A raíz de los resultados obtenidos en vid con RT-PCR para ToRSV, hemos repetidos los análisis utilizando otro kit ELISA en las muestras de vid que el primer año de proyecto nos dieron un resultados positivo (todas estas muestras produjeron valores de absorbancia de

poco superiores al doble del control negativo). Los chequeos se realizaron tanto en noviembre como en abril, respectivamente sobre material vegetal verde y lignificado. En ambos casos los resultados han sido negativos, confirmando así el de RT-PCR. Con esto se concluye que utilizando la técnica ELISA en vid es muy importante la elección del kit de anticuerpo, porque es probable obtener falsos positivos. Así también se explica porque nunca ha sido posible detectar ToRSV, tanto con ELISA como con RT-PCR realizados en nematodos extraídos de los suelos con las vides supuestamente positivas al virus.

### *Resultados en fitoplasmas*

El protocolo de extracción desde nervaduras de vides, ha dado como resultados la obtención de DNA de buena calidad que ha sido utilizado para Nested-PCR.

Se ha podido detectar y caracterizar a través de digestión enzimática los aislamientos de fitoplasmas encontrados en Chile, estableciendo que pertenecen al los grupos 16SrI-B (Michigan aster yellow), 16SrI-C (Clover phyllody), 16SrVII-A (Ash yellow), 16SrIII-J (Western X-disease group), 16SrXII-A (Bois noir). A tal propósito, muy valiosa ha sido la colaboración con el laboratorio de Fitoplasmología (a cargo de la Dra. Assunta Bertaccini) del Instituto de Patología Vegetal de la Universidad de Bologna.

Los antecedentes recopilados constituyen el primer informe sobre caracterización de fitoplasmas que infectan la vid en Chile.

### **Actividades 3.1, 3.2 y 3.3**

Se realizó la caracterización genética, a través de análisis de secuencias, de 2 aislados virales y 4 de fitoplasmas.

*Comparación de secuencias de los productos de amplificación de aislados chilenos de GLRaV-2 y GLRaV-2 RG con aquellas presentes en GenBank.*

El largo de las porciones secuenciadas obtenidas a partir de los amplificadores de GLRaV-2 y de GLRaV-2 RG ha sido respectivamente de 332 bp y 266 bp.

GLRaV-2 ha sido alineado con dos secuencias presentes en GenBank:

[gi|3123909|gb|AF039204.1|AF039204](https://www.ncbi.nlm.nih.gov/nuclot/gi|3123909|gb|AF039204.1|AF039204)  Grapevine leafroll-associated virus 2 methyltransferase/helicase  
polyprotein gene, partial cds; and RNA-dependent RNA  
polymerase, putative transmembrane small hydrophobic  
protein, 65 kDa chaperone protein, 63 kDa protein, 25 kDa

diverged coat protein, >  
Length = 15000

Score = 611 bits (308), Expect = e-172  
Identities = 326/332 (98%)  
Strand = Plus / Minus

Query: 121 gccctccgcgcaactaatgacagccttaataaagagagctatcaacccccggcagatgagc  
180

|||||  
Sbjct: 9467 gccctccgcgcaactaatgacagccttaataaagagagctatcaaccctggcagatgagc  
9408

Query: 181 ctcagacttaacagtgccccgaagttccaattgaaacagtttcggtcaagccagggcc  
240

|||||  
Sbjct: 9407 ctcagacttaacagtgccccgaagttccaattgaaacagtttcggtcaagccagagcc  
9348

Query: 241 gatcttaaccaagcggaccgggtaatgaggttttaaacgggtcaaggtacgcgctcgaggtt  
300

|||||  
Sbjct: 9347 gatcttaaccaagcggaccgagtaatgaggttttaaacgggtcaaggtacgcgctcgaggtt  
9288

Query: 301 actcgaatcgcaaccacccaacgttttaaatctctataaaaacgaacctttaactttcaa  
360

|||||  
Sbjct: 9287 actcgaatcgcaaccacccaacgttttaaatctctataaaaacgaacctttaactttcag  
9228

Query: 361 attactcatcagtgattcggcctcataacccaaaagtcatgtgggttagaatcggagaagag  
420

|||||  
Sbjct: 9227 attactcatcagtgattcggcctcgtaacccaaaagtcatgtgggttagaatcggagaagag  
9168

Query: 421 atagagataagtggggatgtacgccgaattat 452

|||||  
Sbjct: 9167 atagagataagtggggatgtacgccgaattat 9136

gi|2765391|emb|Y14131.1|GLAV4131 Grapevine leafroll-associated virus 2  
genes encoding RNA polymerase  
and coat protein, hsp70, hsp90 gene and ORF2, ORF7 and  
ORF8  
Length = 8590

Score = 611 bits (308), Expect = e-172  
Identities = 326/332 (98%)



Query: 101  
gcgactccagcaacttttagtngactacttttagatncgcctngaagccacactatngcngg160  
|||||  
Sbjct: 10778  
gcgactccagcaacttttagt-gactacttt-gat-cgcct-gaagccacactat-gc-gg 10831

Query: 161  
ttcgcccgnataaaaataggtactaggtctagaatgatactggtgattataggaaactac220  
|||||  
Sbjct: 10832  
ttcgcccgt-ataaaaataggtact-ggtct-gaatgatac-ggtgattataggaaactac 10887

Query: 221  
ngggggtaccgttcgttccgaagtgcatttgccaggactaatagcttcctttatcaaggc280  
|||||  
Sbjct: 10888  
-gggggtaccgttcgttccgaagtgcatttgccaggactaatagcttcctttatcaaggc 10946

Query: 281  
gatggttagttgtgccgagaatgctttttcttgcaacttgccacgggagtgatagttcagt340  
|||||  
Sbjct: 10947 gatggttagttgtgccgagaatgctttttcttgcaacttgccacgggagtgatagttcagt  
11006

Query: 341 gccagcngaattatgacagtgttcag 366  
|||||  
Sbjct: 11007 gccagc-gaattatgacagtgttcag 11031

*Comparación de secuencias de los productos de amplificación de aislados chilenos de fitoplasmas de aproximadamente 1200 bp (Chile I y VII) y de aislados de aproximadamente 1500 bp (Chile a y b) con aquellas presentes en GenBank.*

El largo de las porciones secuenciadas obtenidas a partir del amplificado de Chile I ha sido de 1141 bp.

**Resultado de la alineación de Chile I con una secuencia presente en GenBank:**

gi|56785865|gb|AY734453.1| Barley deformation phytoplasma 16S ribosomal  
RNA gene, partial  
sequence; 16S-23S rRNA intergenic spacer and tRNA-Ile gene,  
complete sequence; and 23S ribosomal RNA gene, partial  
sequence  
Length=1830  
Score = 2181 bits (1100), Expect = 0.0  
Identities = 1136/1141 (99%), Gaps = 0/1141 (0%)



|||  
 Sbjct1019TTGCACAGGTGGTGCATGGTTGTCGTCAGCTCGTGTGAGATGTTGGGTTAAGTCCCG1078  
 Query841 CAACGAGCGCAACCCTTATTGTTAGTTACCAGCACGTAATGGTGGGGACTTTAGCAAGAC 900  
 |||  
 Sbjct1079CAACGAGCGCAACCCTTATTGTTAGTTACCAGCACGTAATGGTGGGGACTTTAGCAAGAC1138  
 Query901 TGCCAGTGATAAATTGGAGGAAGGTGGGGACGACGTCAAATCATCATGCCCCCTTATGACC 960  
 |||  
 Sbjct1139TGCCAGTGATAAATTGGAGGAAGGTGGGGACGACGTCAAATCATCATGCCCCCTTATGACC1198  
 Query961 TGGGCTACAAACGTGGTACAATGGCTGTTACAAAGGGTAGCTGAAGCGCAAGTTTTTGGC1020  
 |||  
 Sbjct1199TGGGCTACAAACGTGATACAATGGCTGTTACAAAGGGTAGCTGAAGCGCAAGTTTTTGGC1258  
 Query1021GAATCTCnnnnnnnCAGTCTCAGTTCGGATTGAAGTCTGCAACTCGACTTCATGAAGTTG1080  
 |||  
 Sbjct1259GAATCTCAAAAAACAGTCTCAGTTCGGATTGAAGTCTGCAACTCGACTTCATGAAGTTG1318  
 Query1081GAATCGCTAGTAATCGCGAATCAGCATGTCGCGGTGAATACGTTCTCGGGGTTGTACAC1140  
 |||  
 Sbjct1319GAATCGCTAGTAATCGCGAATCAGCATGTCGCGGTGAATACGTTCTCGGGGTTGTACAC1378  
 Query 1141 A 1141  
 |  
 Sbjct 1379 A 1379

**La secuencia de Chile I se incluyó en el GenBank con el Código AY741532:**

LOCUS AY741532 1141 bp DNA linear BCT 17-  
 OCT-2004  
 DEFINITION Aster yellows phytoplasma 16S ribosomal RNA gene, partial  
 sequence.  
 ACCESSION AY741532  
 VERSION AY741532.1 GI:54072621  
 KEYWORDS .  
 SOURCE Aster yellows phytoplasma  
 ORGANISM Aster yellows phytoplasma  
 Bacteria; Firmicutes; Mollicutes; Acholeplasmatales;  
 Acholeplasmataceae; Candidatus Phytoplasma; Candidatus  
 Phytoplasma  
 asteris.  
 REFERENCE 1 (bases 1 to 1141)  
 AUTHORS Botti,S., Fiore,N., Gajardo,A., Montealegre,J.R. and  
 Bertaccini,A.F.  
 TITLE Identification of phytoplasmas infecting grapevines with  
 yellows  
 symptoms in Chile  
 JOURNAL Unpublished  
 REFERENCE 2 (bases 1 to 1141)  
 AUTHORS Botti,S., Fiore,N., Gajardo,A., Montealegre,J.R. and  
 Bertaccini,A.F.  
 TITLE Direct Submission

JOURNAL Submitted (03-SEP-2004) DiSTA, University of Bologna, viale  
Fanin,

42, Bologna 40127, Italy

FEATURES Location/Qualifiers  
source 1..1141  
/organism="Aster yellows phytoplasma"  
/mol\_type="genomic DNA"  
/isolation\_source="grapevine"  
/db\_xref="taxon:35779"  
/country="Chile"  
rRNA <1..>1141  
/product="16S ribosomal RNA"

ORIGIN

1 attagttagt tgggtgggta aaggcctacc aagactatga tgtgtagccg  
ggctgagagg  
61 ttgaacggcc atattgggac tgagacacgg cccaaactcc tacgggaggg  
agcagtaggg  
121 aattttcggc aatggaggaa actctgaccg agcaacgccg cgtgaacgat  
gaagtatttc  
181 ggtacgtaaa gttcttttat tagggaagaa taaatgatgg aaaaatcatt  
ctgacgggtac  
241 ctaatgaata agccccggct aactatgtgc cagcagccgc ggtaatacat  
agggggcaag  
301 cgttatccgg aattattggg cgtaaagggt gcgtaggcgg ttaaataagt  
ttatggtcta  
361 agtgcaatgc tcaacattgt gatgctataa aaactgttta gctagagtaa  
gatagaggca  
421 agtggaaattc catgtgtagt ggtaaaatgc gtaaataat ggaggaacac  
cagtagcgaa  
481 ggcggcttgc tgggtcttta ctgacgctgg ggcacgaaag cgtggggagc  
aaacaggatt  
541 agataccctg gtagtccacg ccgtaagcga tgagtactaa acgttgggta  
aaaccagtgt  
601 tgaagttaac acattaagta ctccgcctga gtagtacgta cgcaagtatg  
aaactcaaag  
661 gaattgacgg gactccgcac aagcgggtgga tcatgttgtt taattcgaag  
gtacccgaaa  
721 aacctcacca ggtcttgaca tgcttctgca aagctgtaga aacacagtgg  
aggttatcag  
781 ttgcacaggt ggtgcatggt tgctcgtcagc tcgtgtcgtg agatgttggg  
ttaagtcccg  
841 caacgagcgc aacccttatt gttagttacc agcacgtaat ggtggggact  
ttagcaagac  
901 tgccagtgat aaattggagg aaggtgggga cgacgtcaaa tcatcatgcc  
ccttatgacc  
961 tgggctacaa acgtggtaca atggctgtta caaaggtag ctgaagcgca  
agtttttggc  
1021 gaatctcaaa aaaacagtct cagttcggat tgaagtctgc aactcgactt  
catgaagttg  
1081 gaatcgctag taatcgcgaa tcagcatgtc gcggtgaata cgttctcggg  
gtttgtacac  
1141 a

El largo de las porciones secuenciadas obtenidas a partir del amplificado de Chile VII ha sido de 1232 bp.

**Resultado de la alineación de Chile VII con una secuencia presente en GenBank:**

gi|3860033|gb|AF092209.1|AF092209 Ash yellows phytoplasma 16S ribosomal RNA gene, 16S-23S ribosomal RNA intergenic spacer region, and tRNA-Ile gene, complete sequence  
Length=1722

Score = 2403 bits (1212), Expect = 0.0  
Identities = 1227/1232 (99%), Gaps = 0/1232 (0%)  
Strand=Plus/Plus

```

Query1    TGCTAAGACTGGATAGGAAATAAAAAGGCATCTTTTTATTTTTAAAAGACCTTTTTCGGA 60
          |||
Sbjct115  TGCTAAGACTGGATAGGAAATAAAAAGGCATCTTTTTATTTTTAAAAGACCTTTTTCGAA 174

Query61   AGGTATGCTTAAAGATGAGCTTGCGCCACATTAGTTTGTGGTGGGGTAATGGCCTACCA 120
          |||
Sbjct175  AGGTATGCTTAAAGATGAGCTTGCGCCACATTAGTTTGTGGTGGGGTAATGGCCTACCA 234

Query121  AGACGATGATGTGTAGCTGGACTGAGAGGTCGAACAGCCACATTGGGACTGAGACACGGC 180
          |||
Sbjct235  AGACGATGATGTGTAGCTGGACTGAGAGGTCGAACAGCCACATTGGGACTGAGACACGGC 294

Query181  CCAAACCTCTACGGGAGGCAGCAGTAGGGAATCTTCGGCAATGGAGGAAACTCTGACCGA 240
          |||
Sbjct295  CCAAACCTCTACGGGAGGCAGCAGTAGGGAATTTTCGGCAATGGAGGAAACTCTGACCGA 354

Query241  GCAACGCCGCGTGAACGATGAAGTATTTCCGGTATGTAAAGTTCTTTTATTGAAGAAGAAA 300
          |||
Sbjct355  GCAACGCCGCGTGAACGATGAAGTATTTCCGGTATGTAAAGTTCTTTTATTGAAGAAGAAA 414

Query301  AAATAGTGGA AAAACTATCTTGACGTTATTCAATGAATAAGCCCCGGCTAACTATGTGCC 360
          |||
Sbjct415  AAATAGTGGA AAAACTATCTTGACGTTATTCAATGAATAAGCCCCGGCTAACTATGTGCC 474

Query361  AGCAGCCGCGGTAAGACATAGGGGGCGAGCGTTATCCGGAATTATTGGGCGTAAAGGGTG 420
          |||
Sbjct475  AGCAGCCGCGGTAAGACATAGGGGGCGAGCGTTATCCGGAATTATTGGGCGTAAAGGGTG 534

Query421  CGTAGGCGGTTAGGAAAGTCTATAATTTAATTTTCAGTGCTTAACGCTGTCTTGTTATAGA 480
          |||
Sbjct535  CGTAGGCGGTTAGGAAAGTCTATAATTTAATTTTCAGTGCTTAACGCTGTCTTGTTATAGA 594

Query481  AACTACCTTGACTAGAGTTAGATAGAGGCAAGCGGAATTCATGTGTAGCGGTAAAATGT 540
          |||
Sbjct595  AACTACCTTGACTAGAGTTAGATAGAGGCAAGCGGAATTCATGTGTAGCGGTAAAATGT 654

Query541  GTAATATATATGGAGGAACACCAGAAGCGTAGGCGGCTTGCTGGGTCTTGACTGACGCTGA 600
  
```

```

|||||
Sbjct655 GTAAATATATGGAGGAACACCAGAAGCGTAGGCCGGCTTGCTGGGTCTTGACTGACGCTGA 714

Query601 GGCACGAAAGCGTGGGTAGCAAACAGGATTAGATACCCTGGTAGTCCACGCCGTAAACGA 660
|||||
Sbjct715 GGCACGAAAGCGTGGGTAGCAAACAGGATTAGATACCCTGGTAGTCCACGCCGTAAACGA 774

Query661 TGAGTACTAAGTGTCTGGGATAAAAACCTCGGTACTGAAGTTAACACATTAAGTACTCCGCCT 720
|||||
Sbjct775 TGAGTACTAAGTGTCTGGGATAAAAACCTCGGTACTGAAGTTAACACATTAAGTACTCCGCCT 834

Query721 GAGTAGTACGTACGCAAGTATGAAACTTAAAGGAATTGACGGGACTCCGCACAAGCGGTG 780
|||||
Sbjct835 GAGTAGTACGTACGCAAGTATGAAACTTAAAGGAATTGACGGGACTCCGCACAAGCGGTG 894

Query781 GATCGTGTGTTTAAATTCGAAGATACACGAAAAATCTTACCAGGTCTTGACATGCTCTGC 840
|||||
Sbjct895 GATCATGTTGTTTAAATTCGAAGATACACGAAAAATCTTACCAGGTCTTGACATGCTCTGC 954

Query841 AAAGCTATAGAAATATAGTGGAGGTTATCAGGGACACAGGTGGTGCATGGTTGTCGTCAG 900
|||||
Sbjct955 AAAGCTATAGAAATATAGTGGAGGTTATCAGGGACACAGGTGGTGCATGGTTGTCGTCAG1014

Query901 TTCGTGTCGTGAGATGTTAGGTTAAGTCCTAAAACGAGCGCAACCCTTGTCGTTAGTTAC 960
|||||
Sbjct1015TTCGTGTCGTGAGATGTTAGGTTAAGTCCTAAAACGAGCGCAACCCTTGTCGTTAGTTAC1074

Query961 CAGCACGTAATGGTGGGCACTTTAACGAGACCGCCAATTAACATTGGAGGAAGGTGAGG1020
|||||
Sbjct1075CAGCACGTAATGGTGGGCACTTTAACGAGACTGCCAATTAACATTGGAGGAAGGTGAGG1134

Query1021ATTACGTCAAATCATCATGCCCCCTTATGATCTGGGCTACAAACGTGATACAATGGCTGTT1080
|||||
Sbjct1135ATTACGTCAAATCATCATGCCCCCTTATGATCTGGGCTACAAACGTGATACAATGGCTGTT1194

Query1081ACAAAGAGTAGCTGAAGCGCGAGTTTTTAGCCAATCTCAAAAAAGCAGTCTCAGTTCGGA1140
|||||
Sbjct1195ACAAAGAGTAGCTGAAGCGCGAGTTTTTAGCCAATCTCAAAAAAGCAGTCTCAGTTCGGA1254

Query1141TTGAAGTCTGTAACCTGACTTCATGAAGTTGGAATCGCTAGTAATCGCGAATCAGCATGT1200
|||||
Sbjct1255TTGAAGTCTGTAACCTGACTTCATGAAGTTGGAATCGCTAGTAATCGCGAATCAGCATGT1314

Query1201CGCGGTGAATACGTTTACGGGGTTTGTACACA 1232
|||||
Sbjct1315CGCGGTGAATACGTTTCTCGGGGTTTGTACACA 1346

```

La secuencia de Chile VII se incluyó en el GenBank con el Código AY741531:

LOCUS AY741531 1232 bp DNA linear BCT 17-  
OCT-2004  
DEFINITION Candidatus Phytoplasma fraxini 16S ribosomal RNA gene,  
partial  
sequence.  
ACCESSION AY741531  
VERSION AY741531.1 GI:54072620  
KEYWORDS .  
SOURCE Candidatus Phytoplasma fraxini  
ORGANISM Candidatus Phytoplasma fraxini  
Bacteria; Firmicutes; Mollicutes; Acholeplasmatales;  
Acholeplasmataceae; Candidatus Phytoplasma; 16SrVII (Ash  
yellows  
group).  
REFERENCE 1 (bases 1 to 1232)  
AUTHORS Botti,S., Fiore,N., Gajardo,A., Montealegre,J.R. and  
Bertaccini,A.F.  
TITLE Identification of phytoplasmas infecting grapevines with  
yellows  
symptoms in Chile  
JOURNAL Unpublished  
REFERENCE 2 (bases 1 to 1232)  
AUTHORS Botti,S., Fiore,N., Gajardo,A., Montealegre,J.R. and  
Bertaccini,A.F.  
TITLE Direct Submission  
JOURNAL Submitted (03-SEP-2004) DiSTA, University of Bologna, viale  
Fanin,  
42, Bologna 40127, Italy  
FEATURES Location/Qualifiers  
source 1..1232  
/organism="Candidatus Phytoplasma fraxini"  
/mol\_type="genomic DNA"  
/isolation\_source="grapevine"  
/db\_xref="taxon:35780"  
/country="Chile"  
rRNA <1..>1232  
/product="16S ribosomal RNA"  
ORIGIN  
1 tgctaagact ggataggaaa taaaaaggca tctttttatt tttaaagac  
ctttttcgga  
61 aggtatgctt aaagatgagc ttgcccaca ttagtttgtt ggtggggtaa  
tggcctacca  
121 agacgatgat gtgtagctgg actgagaggt cgaacagcca cattgggact  
gagacacggc  
181 ccaaactcct acgggaggca gcagtaggga atcttcggca atggaggaaa  
ctctgaccga  
241 gcaacgccgc gtgaacgatg aagtatttcg gtagttaaag ttcttttatt  
gaagaagaaa  
301 aaatagtgga aaaactatct tgacgttatt caatgaataa gccccggcta  
actatgtgcc  
361 agcagccgcy gtaagacata gggggcgagc gttatccgga attattgggc  
gtaaagggtg

```

421 cgtaggcggg taggaaagtc tataatttaa tttcagtgc taacgctgct
ttggtataga
481 aactaccttg actagagtta gatagaggca agcgggaattc catgtgtagc
ggtaaaatgt
541 gtaaataatat ggaggaacac cagaagcgta ggcggcttgc tgggtcttga
ctgacgctga
601 ggcacgaaag cgtgggtagc aaacaggatt agatacctg gtagtccacg
ccgtaaacga
661 tgagtactaa gtgtcgggat aaaactcggg actgaagtta acacattaag
tactccgct
721 gagtagtacg tacgcaagta tgaaacttaa aggaattgac gggactccgc
acaagcggtg
781 gatcgtggtg ttttaattoga agatacacga aaaatcttac caggtcttga
catgctctgc
841 aaagctatag aaatatagtg gaggttatca gggacacagg tgggtcatgg
ttgtcgtcag
901 ttcgtgctgt gagatgtag gttaagtcct aaaacgagcg caacccttgt
cgtagttac
961 cagcacgtaa tgggtggcac tttaacgaga ccgccaatta aacattggag
gaagtgagg
1021 attacgcaa atcatcatgc cccttatgat ctgggctaca aacgtgatac
aatggctgtt
1081 acaaagagta gctgaagcgc gagtttttag ccaatctcaa aaaagcagtc
tcagttcga
1141 ttgaagtctg taactcgact tcatgaagtt ggaatcgcta gtaatcgca
atcagcatgt
1201 cgcggtgaat acgttcacgg ggtttgtaga ca

```

El largo de las porciones secuenciadas obtenidas a partir del amplificado de Chile a ha sido de 1542 bp.

**Resultado de la alineación de Chile a con una secuencia presente en GenBank:**

gi|62750872|emb|AJ964960.1| Candidatus Phytoplasma solani 16S rRNA gene, partial 16S-23S

IGS and tRNA-Ile gene, isolate 2642BN  
Length=1684

Score = 2642 bits (1333), Expect = 0.0  
Identities = 1381/1396 (98%), Gaps = 1/1396 (0%)  
Strand=Plus/Plus

```

Query1   AGGCATCTTCTTATTTTTTAAAAGACCTAGCAATAGGTATGCTTAGGGAAGAGCTTGCCTC   60
||||||| |
Sbjct172 AGGCATCTTTTATTTTTTAAAAGACCTAGCAATAGGTATGCTTAGGGAAGAGCTTGCCTC   231

Query61  ACATTAGTTAGTTGGTGGGGTAATGGCCTACCAAGACGGTGATGTGTAGCCGGGCTGAGA   120
||||||| |
Sbjct232 ACATTAGTTAGTTGGTGGGGTAATGGCCTACCAAGACGATGATGTGTAGCCGGGCTGAGA   291

Query121 GGTCGAACGGCCACATTGGGGCTGAGACACGGCCAACTCCTACGGGAGGCAGCAGTAA   180
||||||| |
Sbjct292 GGTCGAACGGCCACATTGGGGCTGAGACACGGCCAACTNCTACGGGAGGCAGCAGTAA   351

```

Query181 GGAATTTTCGGCAATGGAGGAAACTCTGACCGAGCAATGCCGCGTGAACGATGAAGTATT 240  
 |||  
 Sbjct352 GGAATTTTCGGCAATGGAGGAAACTCTGACCGAGCAATGCCGCGTGAACGATGAAGTATT 411  
  
 Query241 TCGGTACGTAAAGTTCTTTTATTAGGGAAGAAAAGATGGTGGAAAAACCATTATGACGGT 300  
 |||  
 Sbjct412 TCGGTACGTAAAGTTCTTTTATTAGGGAAGAAAAGATGGTGGAAAAACCATTATGACGGT 471  
  
 Query301 ACCTAATGAATAAGCCCCGGCTAACTATGTGCCAGCAGCCGCGGTAATACATAGGGGGCA 360  
 |||  
 Sbjct472 ACCTAATGAATAAGCCCCGGCTAACTATGTGCCAGCAGCCGCGGTAATACATAGGGGGCA 531  
  
 Query361 AGCGTTATCCGGAATTATTGGGCGTAAAGGGTGCCTAGGCGGTAAATAAGTTTATGGTC 420  
 |||  
 Sbjct532 AGCGTTATCCGGAATTATTGGGCGTAAAGGGTGCCTAGGCGGTAAATAAGTTTATGGTC 591  
  
 Query421 TAAGTGCAACGCTCAACGTTGTGATGCTATAAAAACTGTTTAGCTAGAGTTGGATAGAGG 480  
 |||  
 Sbjct592 TAAGTGCAACGCTCAACGTTGTGATGCTATAAAAACTGTTTAGCTAGAGTTGGATAGAGG 651  
  
 Query481 CAAGTGGAAATCCGTGTGTAGTGGTAAAATGCGTAAATATACGGAGGAACACCAGAAGCG 540  
 |||  
 Sbjct652 CAAGTGGAAATCCGTGTGTAGTGGTAAAATGCGTAAATATACGGAGGAACACCAGAAGCG 711  
  
 Query541 AAGGCGGCTTGCTGGGTCTTAACTGACGCTGAGGCACGAAAAGCGTGGGGAGCAAACAGGA 600  
 |||  
 Sbjct712 AAGGCGGCTTGCTGGGTCTTAACTGACGCTGAGGCACGAAAAGCGTGGGGAGCAAACAGGA 771  
  
  
 Query601 TTAGATACCCTGGTAGTCCACGCCCTAAACGATGAGTACTAAACGTTGGATAAAAACCGT 660  
 |||  
 Sbjct772 TTAGATACCCTGGTAGTCCACGCCCTAAACGATGAGTACTAAACGTTGGATAAAAACCGT 831  
  
 Query661 GTTGAAGTTAACACATTAATACTCCGCCTGAGTGGTACGTACGCAAGTATGAACTTAA 720  
 |||  
 Sbjct832 GTTGAAGTTAACACATTAAGTACTCCGCCTGAGTAGTACGTACGCAAGTATGAACTTAA 891  
  
 Query721 AGGAATTGACGGGACTCCGCACAAGCGGTGGATCATGTTGTTAATTCTGAAGGTGCCCGA 780  
 |||  
 Sbjct892 AGGAATTGACGGGACTCCGCACAAGCGGTGGATCATGTTGTTAATTCTGAAGGTACCCGA 951  
  
 Query781 AAAACCTCACCAGGTCTTGACATGCTTTTGCAAAGCCGTAGAAATACAGTGGAGGTTATC 840  
 |||  
 Sbjct952 AAAACCTCACCAGGTCTTGACATGCTTTTGCAAAGCTGTAGAAATACAGTGGAGGTTATC1011  
  
 Query841 AGAAGCACAGGTGGTGCATGGTTGTCGTCAGCTCGTGTGAGATGTTGGGTTAAGTCC 900  
 | |||  
 Sbjct1012AAAAGCACAGGTGGTGCATGGTTGTCGTCAGCTCGTGTGAGATGTTGGGTTAAGTCC1071  
  
 Query901 CGCAACGAGCGCAACCCCTTGTGTTAATTGCCATCATTAGTTGGGGACTTTAGCAAGAC 960  
 |||  
 Sbjct1072CGCAACGAGCGCAACCCCTTGTGTTAATTGCCATCATTAGTTGGGGACTTTAGCAAGAC1131  
  
 Query961 TGCCAATGATAAATTGGAGGAAGGTGGGGACGACGTC-AATCATCATGCCCTTATGACC1019  
 |||

Sbjct1132TGCCAATGATAAATTGGAGGAAGGTGGGGACGACGTCAAATCATCATGCCCTTATGACC1191

Query1020CGGGCTACAAACGTGATAACAATGGCTGCTACAAAGGGTAGCTAAAGCGTAAGCTTCTGGC1079  
 |||

Sbjct1192TGGGCTACAAACGTGATAACAATGGCTGTTACAAAGGGTAGCTAAAGCGTAAGCTTCTGGC1251

Query1080GAATCTCAAAAAAGCAGTCTCAGTTCGGATTGAAGTCTGCAACTCGACTTCATGAAGTTG1139  
 |||

Sbjct1252GAATCTCAAAAAAGCAGTCTCAGTTCGGATTGAAGTCTGCAACTCGACTTCATGAAGTTG1311

Query1140GAATCGCTAGTAATCGCGAATCAGCATGTCGCGGTGAATACGTTCTCGGGTCTGTACAC1199  
 |||

Sbjct1312GAATCGCTAGTAATCGCGAATCAGCATGTCGCGGTGAATACGTTCTCGGGTTGTACAC1371

Query1200ACCGCCCGTCAAACCACGAAAGTTGGCAATACCCAAAGCTGGTGGCCTAACTTGAGCAAT1259  
 |||

Sbjct1372ACCGCCCGTCAAACCACGAAAGTTGGCAATACCCAAAGCCGGTGGCCTAACTTGAGCAAT1431

Query1260CAAGAAGGAGCCGTCTAAGGTAGGGTTGATGATTGGGGTTAAGTCGTAACAAGGTATCCC1319  
 |||

Sbjct1432CAAGAAGGAGCCGTCTAAGGTAGGGTTGATGATTGGGGTTAAGTCGTAACAAGGTATCCC1491

Query1320CACCGAAGGTGGGGATGGATCACCTCCTTCTAAGGATAAAGTTATCATCTTCAGTTTT1379  
 |||

Sbjct1492TACCGAAGGTGGGGATGGATCACCTCCTTCTAAGGATAAAGTTATCATCTTCAGTTTT1551

Query1380GAGAGACTTAAGAAAG 1395  
 |||

Sbjct1552GAGAGACTTAAGAAAG 1567

Score = 192 bits (97), Expect = 2e-45  
 Identities = 102/104 (98%), Gaps = 0/104 (0%)  
 Strand=Plus/Plus

Query1409AAGATTCGGCCTATAGCTCAGCTGGTTAGAGCACACGCCTGATAAGTGTGAGGTCGGTG1468  
 |||

Sbjct1581AAGATTCGGCCTATAGCTCAGCTGGTTAGAGCACACGCCTGATAAGCGNGAGGTCGGTG1640

Query1469GTTCAAGTCCATTTAGGCCACCAAATAGGTCACATCTTAAAA 1512  
 |||

Sbjct1641GTTCAAGTCCATTTAGGCCACCAAATAGGTCACATCTTAAAA 1684

**La secuencia de Chile a se incluyó en el GenBank con el Código AY739654:**

LOCUS AY739654 1541 bp DNA linear BCT 03-  
 OCT-2004  
 DEFINITION Stolbur phytoplasma clone a 16S ribosomal RNA gene and 16S-  
 23S  
 ribosomal RNA intergenic spacer, partial sequence; and tRNA-  
 Ile  
 gene, complete sequence.  
 ACCESSION AY739654  
 VERSION AY739654.1 GI:52789116

KEYWORDS .

SOURCE Candidatus Phytoplasma solani

ORGANISM Candidatus Phytoplasma solani  
 Bacteria; Firmicutes; Mollicutes; Acholeplasmatales;  
 Acholeplasmataceae; Candidatus Phytoplasma; 16SrXII (Stolbur  
 group).

REFERENCE 1 (bases 1 to 1541)

AUTHORS Botti,S., Fiore,N., Gajardo,A., Montealegre,J.R. and  
 Bertaccini,A.F.

TITLE Identification of phytoplasmas infecting grapevine with  
 yellow in  
 Chile

JOURNAL Unpublished

REFERENCE 2 (bases 1 to 1541)

AUTHORS Botti,S., Fiore,N., Gajardo,A., Montealegre,J.R. and  
 Bertaccini,A.F.

TITLE Direct Submission

JOURNAL Submitted (01-SEP-2004) DiSTA, University of Bologna, viale  
 Fanin,  
 42, Bologna 40127, Italy

FEATURES Location/Qualifiers

source 1..1541  
 /organism="Candidatus Phytoplasma solani"  
 /mol\_type="genomic DNA"  
 /isolation\_source="Chilean grapevine with Stolbur  
 disease"  
 /db\_xref="taxon:69896"  
 /clone="a"

rRNA <1..1350  
 /product="16S ribosomal RNA"

misc RNA 1351..>1541  
 /product="16S-23S ribosomal RNA intergenic spacer"

tRNA 1417..1492  
 /product="tRNA-Ile"

ORIGIN

1 aggcattctt ttatttttaa aagacctagc aataggtatg cttaggggaag  
 agcttgcgtc

61 acattagtta gttggtgggg taatggccta ccaagacggt gatgtgtagc  
 cgggctgaga

121 ggtcgaacgg ccacattggg gctgagacac ggcccaaact cctacgggag  
 gcagcagtaa

181 ggaattttcg gcaatggagg aaactctgac cgagcaatgc cgcgtgaacg  
 atgaagtatt

241 tcggtacgta aagttctttt attaggggaag aaaagatggt ggaaaaacca  
 ttatgacggt

301 acctaatagaa taagccccgg ctaactatgt gccagcagcc gcggtataac  
 atagggggca

361 agcgttatcc ggaattattg ggcgtaaagg gtgcgtaggc ggttaaataa  
 gtttatggtc

421 taagtgaac gctcaacggt gtgatgctat aaaaactggt tagctagagt  
 tggatagagg

481 caagtggaat tccgtgtgta gtggtaaaat gcgtaaatat acggaggaac  
 accagaagcg

541 aaggcggctt gctgggtctt aactgacgct gaggcacgaa agcgtgggga  
 gcaaacagga

601 ttagatacc tggtagtcca cgcctaacc gatgagtact aaacgttggg  
 taaaaccagt

```

661 gttgaagtta acacattaa tactccgcct gagtggtagc tacgcaagta
tgaaacttaa
721 aggaattgac gggactccgc acaagcggg gatcatggtg ttttaattcga
aggtgcccga
781 aaaacctcac caggtcttga catgcttttg caaagccgta gaaatacagt
ggaggttatac
841 agaagcacag gtgggtgcatg gttgtcgtca gctcgtgctg tgagatggtg
ggttaagtcc
901 cgcaacgagc gcaacccttg ttgttaattg ccatcattaa gttggggact
ttagcaagac
961 tgccaatgat aaattggagg aagggtggga cgacgtcaat catcatgccc
cttatgaccc
1021 gggctacaaa cgtgatacaa tggctgctac aaagggtagc taaagcgtaa
gcttctggcg
1081 aatctcaaaa aagcagtctc agttcggatt gaagtctgca actcgacttc
atgaagttgg
1141 aatcgctagt aatcgcgaat cagcatgctg cggtgaatac gttctcgggg
tctgtacaca
1201 ccgcccgtca aaccacgaaa gttggcaata cccaaagctg gtggcctaac
ttgagcaatc
1261 aagaaggagc cgtctaaggt agggttgatg attgggggta agtcgtaaca
aggtatcccc
1321 accggaaggt ggggatggat cacctccttt ctaaggataa agttatcatc
ttcagttttg
1381 agagacttaa gaaagttttt cattttttaa gattcgggcc tatagctcag
ctggttagag
1441 cacacgctg ataagtgtga ggtcgggtgt tcaagtccat ttaggccac
caaaataggt
1501 cacatcttaa aaaagctctt tgaaggtag ataaacaaag g

```

El largo de las porciones secuenciadas obtenidas a partir del amplificado de Chile b ha sido de 1544 bp.

**Resultado de la alineación de Chile b con una secuencia presente en GenBank:**

gi|13649444|gb|AF248959.1|AF248959 Stolbur phytoplasma 16S ribosomal RNA gene, complete sequence;  
trNA-Ile gene, complete sequence; and 23S ribosomal RNA gene, partial sequence  
Length=1783

Score = 2922 bits (1474), Expect = 0.0  
Identities = 1530/1546 (98%), Gaps = 2/1546 (0%)  
Strand=Plus/Plus

```

Query1      AAGAAGGCATCTTCTTATTTTTAAAAGACCTAGCAATAGGTATGCTTAGGGAAGAGCTTG 60
            |||
Sbjct173    AAGAAGGCATCTTTTTATTTTTAAAAGACCTAGCAATAGGTATGCTTAGGGAAGAGCTTG 232

Query61     CGTCACATTAGTTAGTTGGTGGGGTAACGGCCTACCAAGACGGTGATGTGTAGCCGGGCT 120
            |||
Sbjct233    CGTCACATTAGTTAGTTGGTGGGGTAATGGCCTACCAAGACGATGATGTGTAGCCGGGCT 292

```

Query121 GAGAGGTGGAACGGCCACATTGGGACTGAGACACGGCCCAAACCTCCTACGGGAGGCAGCA 180  
 |||  
 Sbjct293 GAGAGGTGGAACGGCCACATTGGGACTGAGACACGGCCCAAACCTCCTACGGGAGGCAGCA 352  
  
 Query181 GTAAGGAATTTTCGGCAATGGAGGAAACTCTGACCGAGCAATGCCGCGTGAACGATGAAG 240  
 |||  
 Sbjct353 GTAAGGAATTTTCGGCAATGGAGGAAACTCTGACCGAGCAATGCCGCGTGAACGATGAAG 412  
  
 Query241 TATTTCCGGTACGTAAAGTTCTTTTATTAGGGAAGAAAAGATGGTGGAAAAACCATTATGA 300  
 |||  
 Sbjct413 TATTTCCGGTACGTAAAGTTCTTTTATTAGGGAAGAAAAGATGGTGGAAAAACCATTATGA 472  
  
 Query301 CGGTACCTAATGAATAAGCCCCGGCTAACTATGTGCCAGCAGCCGCGGTAATACATAGGG 360  
 |||  
 Sbjct473 CGGTACCTAATGAATAAGCCCCGGCTAACTATGTGCCAGCAGCCGCGGTAATACATAGGG 532  
  
 Query361 GGCAAGCGTTATCCGGAATTATTGGGCGTAAAGGGTGCCTAGGCGGTTAAATAAGTTTAT 420  
 |||  
 Sbjct533 GGCAAGCGTTATCCGGAATTATTGGGCGTAAAGGGTGCCTAGGCGGTTAAATAAGTTTAT 592  
  
 Query421 GGTCTAAGTGCAACGCTCAACGTTGTGATGCTATAAAAACTGTTTAGCTAGAGTTGGATA 480  
 |||  
 Sbjct593 GGTCTAAGTGCAACGCTCAACGTTGTGATGCTATAAAAACTGTTTAGCTAGAGTTGGATA 652  
  
 Query481 GAGGCAAGTGAATTCCTGTGTAGTGGTAAAAATGCGTAAATATACGGAGGAACACCAGA 540  
 |||  
 Sbjct653 GAGGCAAGTGAATTCCTGTGTAGTGGTAAAAATGCGTAAATATACGGAGGAACACCAGA 712  
  
 Query541 AGCGAAGGCGGCTTGCTGGGTCTTAACGACGCTGAGGCACGAAAGCGTGGGGAGCAAAC 600  
 |||  
 Sbjct713 AGCGAAGGCGGCTTGCTGGGTCTTAACGACGCTGAGGCACGAAAGCGTGGGGAGCAAAC 772  
  
 Query601 AGGATTAGATACCCTGGTAGTCCACGCCCTAAACGATGAGTACTAAACGTTGGATAAAAC 660  
 |||  
 Sbjct773 AGGATTAGATACCCTGGTAGTCCACGCCCTAAACGATGAGTACTAAACGTTGGATAAAAC 832  
  
 Query661 CAGTGTGGAAGTTAACACATTAATACTCCGCCTGAGTAGTACGTACGCAAGTATGAAAC 720  
 |||  
 Sbjct833 CAGTGTGGAAGTTAACACATTAAGTACTCCGCCTGAGTAGTACGTACGCAAGTATGAAAC 892  
  
 Query721 TTAAAGGAATTGACGGGACTCCGCACAAGCGGTGGATCATGTTGTTTAAATTCGAAGGTAC 780  
 |||  
 Sbjct893 TTAAAGGAATTGACGGGACTCCGCACAAGCGGTGGATCATGTTGTTTAAATTCGAAGGTAC 952  
  
 Query781 CCGAAAAACCTCACCAGGTCTTGACATGCTTTTGCAAAGCTGTAGAAATACAGTGGAGGT 840  
 |||  
 Sbjct953 CCGAAAAACCTCACCAGGTCTTGACATGCTTTTGCAAAGCTGTAGAAATACAGTGGAGGC1012  
  
 Query841 TATCAGACGCACAGGTGGTGCATGGTTGTCGTCAGCTCGTGTGCGTACGATGTTGGGTTAA 900  
 |||  
 Sbjct1013 TATCAGAACGCACAGGTGGTGCATGGTTGTCGTCAGCTCGTGTGCGTACGATGTTGGGTTAA1072  
  
 Query901 GTCCCGCAACGAGCGCAACCCTTGTTGTTAATTGCCATCATTAAAGTTGGGGACTTTAGCA 960  
 |||  
 Sbjct1073 GTCCCGCAACGAGCGCAACCCTTGTTGTTAATTGCCATCATTAAAGTTGGGGACTTTAGCA1132  
  
 Query961 AGACTGCCAATGATAAATTGGAGG-AGGTGGGGACGACGTCAAATCATCATGCCCTTAT1019

```

|||||
Sbjct1133GACTGCCAATGATAAATTGGAGGAAGGTGGGGACGACGTCAAATCATCATGCCCTTAT1192
Query1020GACCCGGGCTACAAACGTGATACAATGGCTGTTACAAAGGGTAGCTAAAGCGTAAGCTTC1079
|||||
Sbjct1193GACCTGGGCTACAAATGTGATACAATGGCTGTTACAAAGGGTAGCTAAAGCGTAAGCTTC1252
Query1080TGGCGAATCTCAAAAAAGCAGTCTCAGTTCGGATTGAAGTCTGCAACTCGACTTCATGAA1139
|||||
Sbjct1253TGGCGAATCTCAAAAAAGCAGTCTCAGTTCGGATTGAAGTCTGCAACTCGACTTCATGAA1312
Query1140GTTGGAATCGCTAGTAATCGCGAATCAGCATGTCGCGGTGAATACGTTCTCGGGGTTTGT1199
|||||
Sbjct1313GTTGGAATCGCTAGTAATCGCGAATCAGCATGTCGCGGTGAATACGTTCTCGGGGTTTGT1372
Query1200ACGCACCGCCCGTCAAACCACGAAAGTTGGCAATACCCAAAGCTGGTGGCCTAACTTGAG1259
||
Sbjct1373ACACACCGCCCGTCAAACCACGAAAGTTGGCAATACCCAAAGCCGGTGGCCTAACTTGAG1432
Query1260CAATCAAGAAGGAGCCGTCTAAGGTAGGGTTGATGATTGGGGTTAAGTCGTAACAAGGTA1319
|||||
Sbjct1433CAATCAAGAAGGAGCCGTCTAAGGTAGGGTTGATGATTGGGGTTAAGTCGTAACAAGGTA1492
Query1320TCCCTACCGGAAGGTGGGGATGGATCACCTCCTTTCTAAGGATAAAGTTATCATCTTCAG1379
|||||
Sbjct1493TCCCTACCGGAAGGTGGGGATGGATCACCTCCTTTCTAAGGATAAAGTTATCATCTTCAG1552
Query1380TTTTGAGAGACTTAAGAAAGTTTTTCA-TTTTTAAGATTGGGCCTATAGCTCAGCTGGT1438
|||||
Sbjct1553TTTTGAGAGACTTAAGAAAGTTTTTCATTTTTTAAGATTGGGCCTATAGCTCAGCTGGT1612

Query1439TAGAGCACACGCCTGATAAGTGTGAGGTGGTGGTTCAAGTCCATTTAGGCCACCAAAA1498
|||||
Sbjct1613TAGAGCACACGCCTGATAAGCGTGAGGTGGTGGTTCAAGTCCATTTAGGCCACCAAAA1672

Query1499TAGGTCACATCTTAAAAAAGCTCTTTGAAAGGTAGATAAACAAAGG 1544
|||||
Sbjct1673TAGGTCACATCTTAAAAAAGCTCTTTGAAAGGTAGATAAACAAAGG 1718

```

**La secuencia de Chile b se incluyó en el GenBank con el Código AY739653:**

```

LOCUS      AY739653                1544 bp    DNA      linear   BCT 03-
OCT-2004
DEFINITION  Stolbur phytoplasma clone b 16S ribosomal RNA gene and 16S-
23S
            ribosomal RNA intergenic spacer, partial sequence; and tRNA-
Ile
            gene, complete sequence.
ACCESSION  AY739653
VERSION    AY739653.1  GI:52789115
KEYWORDS   .
SOURCE     Candidatus Phytoplasma solani
ORGANISM   Candidatus Phytoplasma solani
            Bacteria; Firmicutes; Mollicutes; Acholeplasmatales;

```

Acholeplasmataceae; Candidatus Phytoplasma; 16SrXII (Stolbur group).

REFERENCE 1 (bases 1 to 1544)  
AUTHORS Botti,S., Fiore,N., Gajardo,A., Montealegre,J.R. and Bertaccini,A.F.  
TITLE Identification of phytoplasmas infecting grapevine with yellow in  
Chile  
JOURNAL Unpublished

REFERENCE 2 (bases 1 to 1544)  
AUTHORS Botti,S., Fiore,N., Gajardo,A., Montealegre,J.R. and Bertaccini,A.F.  
TITLE Direct Submission  
JOURNAL Submitted (01-SEP-2004) DiSTA, University of Bologna, viale Fanin,  
42, Bologna 40127, Italy

FEATURES Location/Qualifiers  
source 1..1544  
/organism="Candidatus Phytoplasma solani"  
/mol\_type="genomic DNA"  
/isolation\_source="Chilean grapevine with Stolbur disease"  
/db\_xref="taxon:69896"  
/clone="b"  
rRNA <1..1354  
/product="16S ribosomal RNA"  
misc RNA 1355..>1544  
/product="16S-23S ribosomal RNA intergenic spacer"  
tRNA 1420..1495  
/product="tRNA-Ile"

ORIGIN

1 aagaagggcat cttcttattt ttaaagacc tagcaatagg tatgcttagg  
gaagagcttg  
61 cgtcacatta gttagttggt ggggtaacgg cctaccaaga cggatgatgtg  
tagccgggct  
121 gagaggtcga acggccacat tgggactgag acacggcca aactcctacg  
ggaggcagca  
181 gtaaggaatt ttoggcaatg gaggaaactc tgaccgagca atgccgcgtg  
aacgatgaag  
241 tatttcggta cgtaaagttc ttttattagg gaagaaaaga tgggtgaaaa  
accattatga  
301 cggtacctaa tgaataagcc cgggctaact atgtgccagc agccgcggta  
atacataggg  
361 ggcaagcgtt atccggaatt attgggcgta aagggtgcgt aggcgggtaa  
ataagtttat  
421 ggtctaagtg caacgctcaa cgttgtgatg ctataaaaac tgttttagcta  
gagttggata  
481 gaggcaagtg gaattccgtg tgtagtggta aatgcgtaa atatacggag  
gaacaccaga  
541 agcgaaggcg gcttgctggg tcttaactga cgctgaggca cgaaagcgtg  
gggagcaaac  
601 aggattagat accctggtag tccacgcctt aaacgatgag tactaaacgt  
tggataaac  
661 cagtgttgaa gttaacacat taaatactcc gcctgagtag tacgtacgca  
agtatgaaac

721 ttaaaggaat tgacgggact cgcacaagc ggtggatcat gttgtttaat  
 tcgaaggtac  
 781 ccgaaaaacc tcaccaggtc ttgacatgct tttgcaaagc tgtagaaata  
 cagtggaggt  
 841 tatcagacgc acagggtggtg catgggtgct gtcagctcgt gtcgtgagat  
 gttgggttaa  
 901 gtcccgaac gagcgcaacc cttgttgta attgccatca ttaagttggg  
 gactttagca  
 961 agactgcaa tgataaattg gaggagggtg ggacgacgtc aatcatcat  
 gcccttatg  
 1021 acccgggcta caaacgtgat acaatggctg ttacaaagg tagctaaagc  
 gtaagcttct  
 1081 ggcgaatctc aaaaaagcag tctcagttcg gattgaagtc tgcaactcga  
 cttcatgaag  
 1141 ttggaatcgc tagtaatcgc gaatcagcat gtcgcggtga atacgttctc  
 ggggtttgta  
 1201 cgcaccgcc gtcaaaccac gaaagttggc aatacccaa gctggtggcc  
 taacttgagc  
 1261 aatcaagaag gagccgtcta aggtagggtt gatgattggg gttaagtcgt  
 aacaaggtat  
 1321 ccctaccgga aggtgggat ggatcacctc ctttctaagg ataaagttat  
 catcttcagt  
 1381 tttgagagac ttaagaaagt ttttcatttt taagattcgg gcctatagct  
 cagctggta  
 1441 gagcacacgc ctgataagtg tgaggtcggt ggttcaagtc catttaggcc  
 cacaaaata  
 1501 ggtcacatct taaaaaagct ctttgaagg tagataaaca aagg

### Actividad 3.4

Se estableció en invernadero un bloque de plantas infectadas con los aislados virales y de fitoplasmas secuenciados en las actividades anteriores. Se mantendrán en colección para poder tener fácil acceso a estos patógenos para eventuales futuros trabajos.

### Actividad 4.1

#### *Costo de las técnicas de detección*

Los valores que se expresan a continuación se refieren al costo por muestra y por un patógeno.

*Técnica ELISA (detección virus)*

<b>Item de costo</b>	<b>Costo en \$</b>
Reactivos	3.310
Personal	590
Gasto de administración	952
Uso de infraestructura, mantenimiento equipos, gastos básicos	230
<b>TOTAL</b>	<b>5.082</b>

*Técnica RT-PCR (detección virus)*

<b>Item de costo</b>	<b>Costo en \$</b>
Reactivos	7.427
Personal	6.875
Gasto de administración	4.930
Uso de infraestructura, mantenimiento equipos, gastos básicos	1.342
<b>TOTAL</b>	<b>20.574</b>

*Técnica Nested-PCR (detección fitoplasmas)*

<b>Item de costo</b>	<b>Costo en \$</b>
Reactivos	7.067
Personal	6.875
Gasto de administración	7.140
Uso de infraestructura, mantenimiento equipos, gastos básicos	1.342
<b>TOTAL</b>	<b>22.424</b>

*Especificidad y sensibilidad de las técnicas de detección*

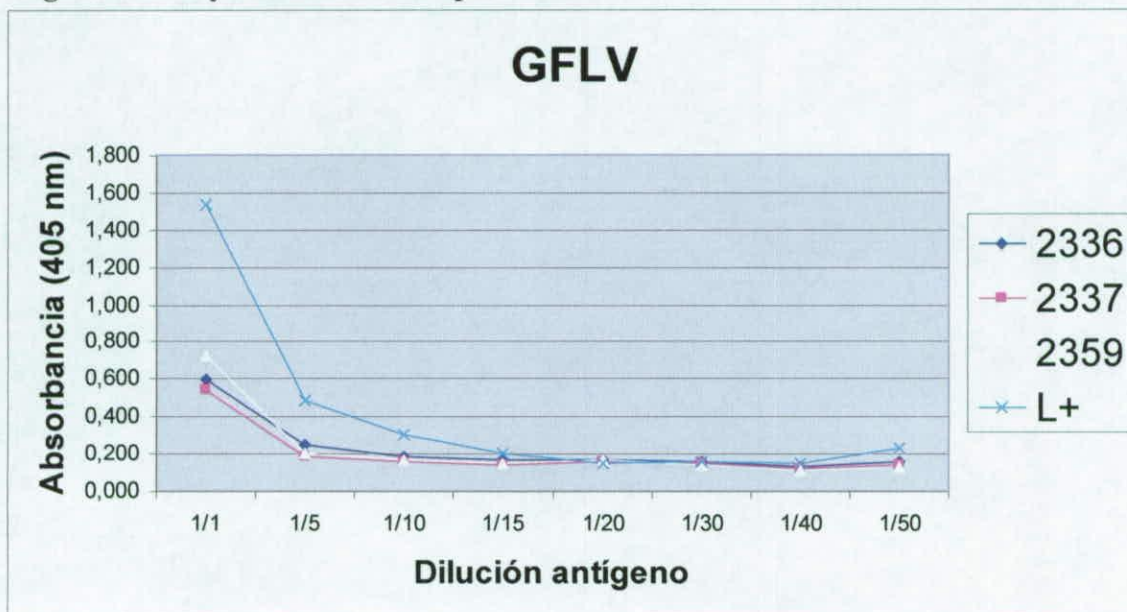
*Especificidad*

En todos los ensayos realizados, tanto para la técnica ELISA como para RT-PCR no se han observado reacciones cruzadas.

*Sensibilidad*

1. Resultados ensayos con la técnica ELISA

**Figura 1. Ensayo de sensibilidad para GFLV**



**Figura 2. Ensayo de sensibilidad para GLRaV-1**

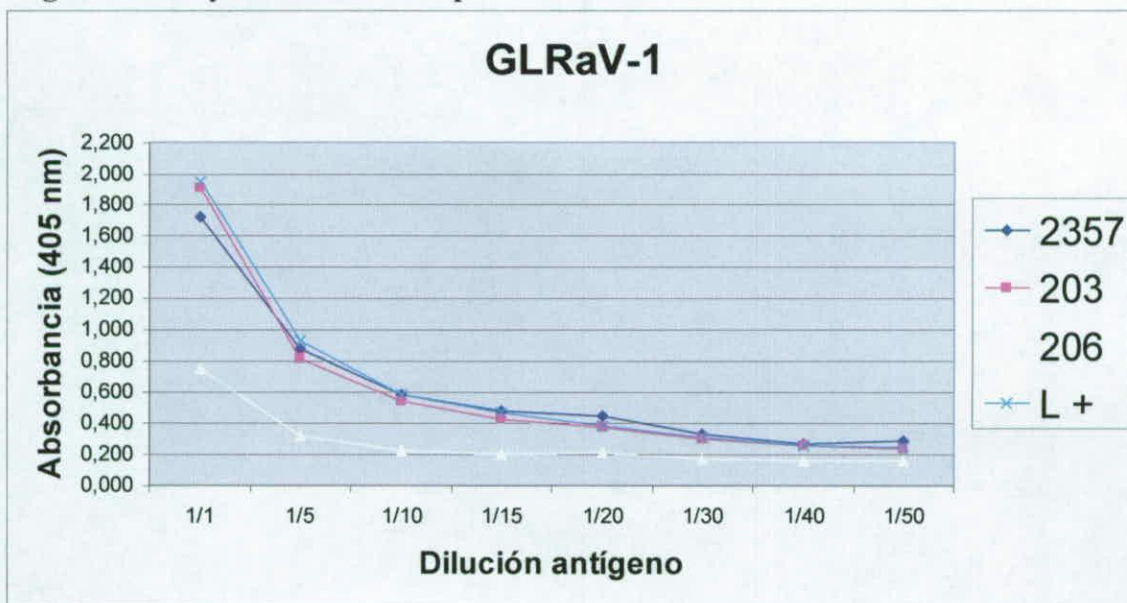


Figura 3. Ensayo de sensibilidad para GLRaV-2

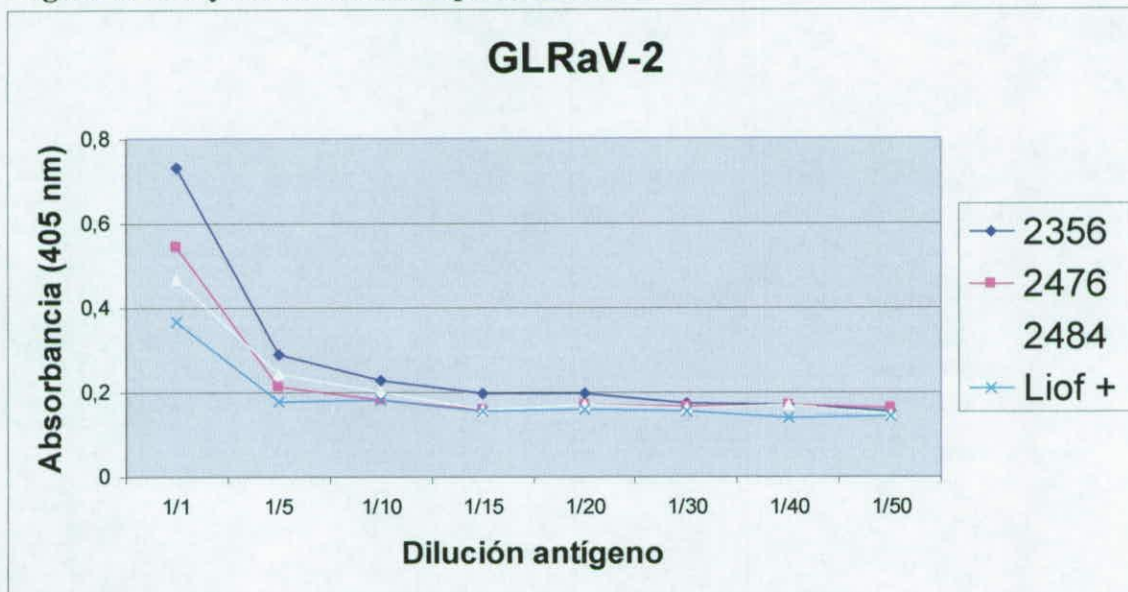
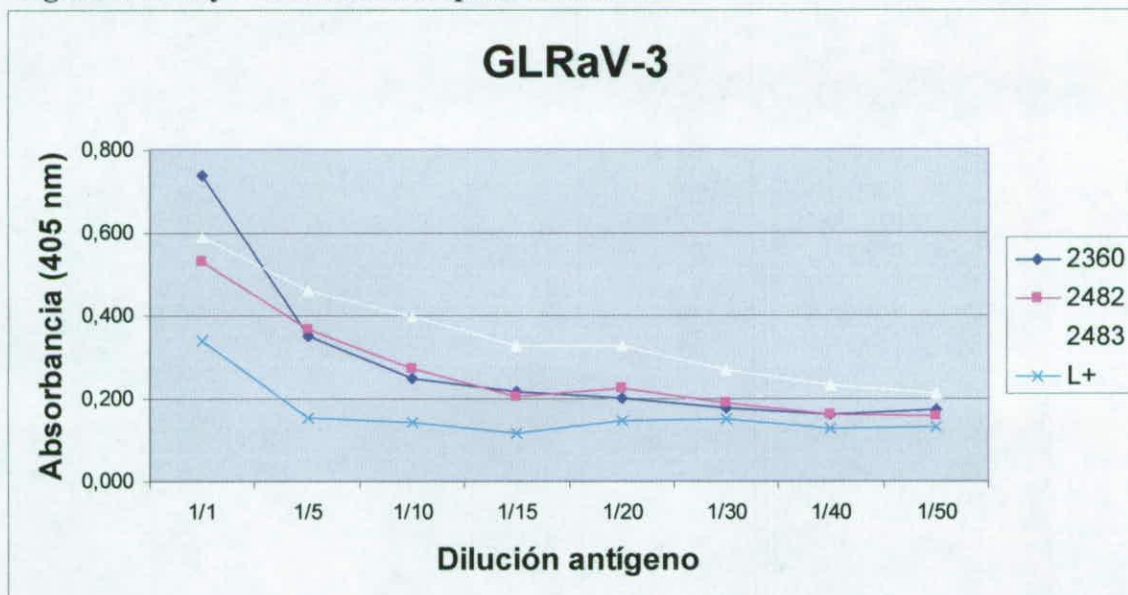
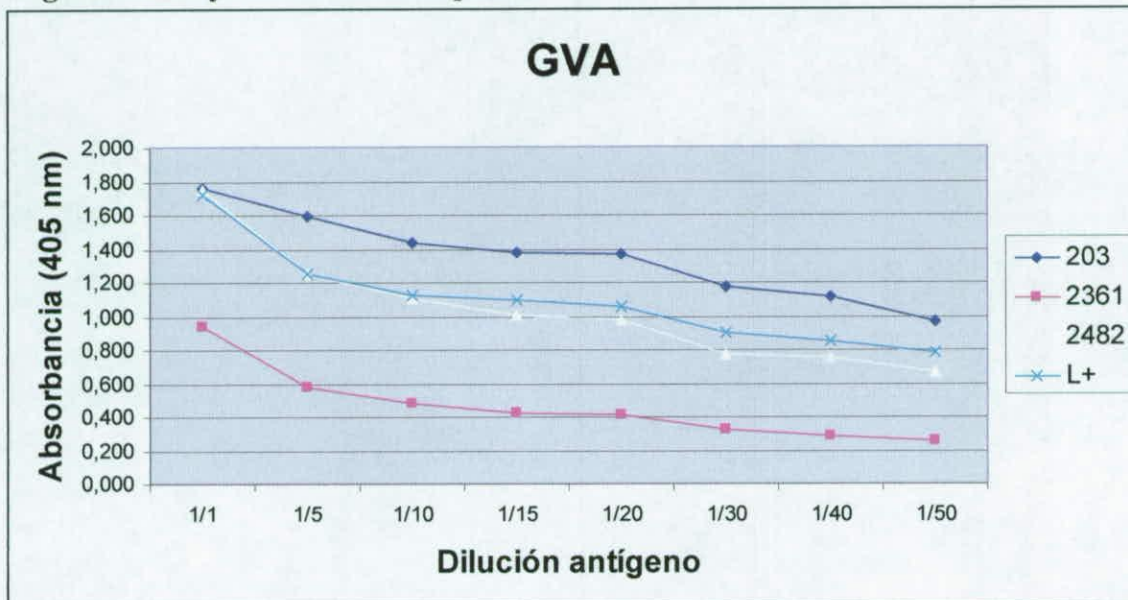


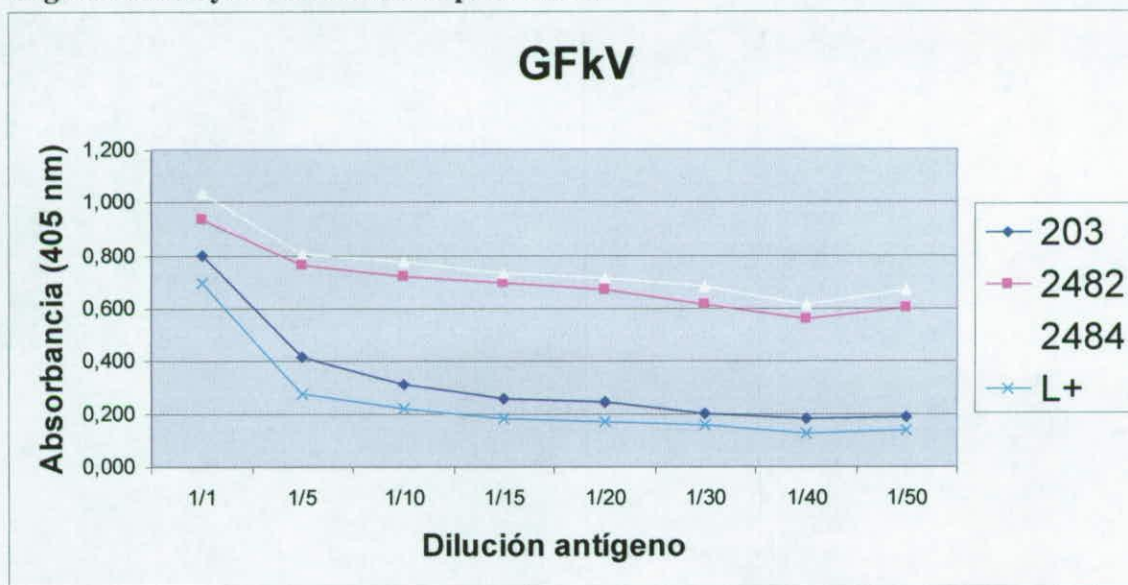
Figura 4. Ensayo de sensibilidad para GLRaV-3



**Figura 5. Ensayo de sensibilidad para GVA**



**Figura 6. Ensayo de sensibilidad para GFkV**



L+ corresponde a tejido vegetal liofilizado infectado.

Los datos de absorbancia corresponden a la lectura de las placas a tres horas de haber agregado el sustrato para la fosfatasa alcalina.

En todos los anteriores ensayos la absorbancia de los controles negativos no supera en promedio el valor de 0,100 nm.

Los valores de absorbancia observados en las diferentes muestras de un mismo ensayo dependen de la concentración del virus en cada muestra utilizada. Donde hay más partículas virales, los valores de absorbancia son más altos.

En el caso de figura 1 y figura 3 los valores de absorbancia de las muestras 2359 y 2337 (GFLV) y 2476 (GLRaV-2) a la dilución de 1/5 no logran el doble del control negativo. Por lo tanto el umbral de detección es de 1/1. Con GLRaV-1 (figura 2) lo anterior ocurre con la muestra 206 a la dilución 1/10, por lo tanto el umbral de detección es de 1/5. Con GLRaV-3 (figura 4) y GVA (figura 5) las respectivas muestras 2482 y 2361 no alcanzan el valor doble de absorbancia del control negativo, y de consecuencia el umbral de detección de 1/10. GFkV es el kit que presenta el mejor umbral de detección que corresponde a la dilución 1/20 (figura 6).

## 2. Resultados ensayos con la técnica RT-PCR

**Cuadro 6. Ensayo de sensibilidad para los diferentes virus**

<b>GFLV</b>	<b>1/1</b>	<b>1/5</b>	<b>1/10</b>	<b>1/15</b>	<b>1/20</b>	<b>1/30</b>	<b>1/40</b>	<b>1/50</b>	<b>1/100</b>	<b>1/200</b>	<b>1/300</b>	<b>1/500</b>
2336	+	+	+	+	+	+	+	+	+	-	-	-
2337	+	+	+	+	+	+	+	+	+	+	-	-
2359	+	+	+	+	+	+	+	+	+	-	-	-
<b>GLRaV-2</b>												
<b>GLRaV-2</b>	<b>1/1</b>	<b>1/5</b>	<b>1/10</b>	<b>1/15</b>	<b>1/20</b>	<b>1/30</b>	<b>1/40</b>	<b>1/50</b>	<b>1/100</b>	<b>1/200</b>	<b>1/300</b>	<b>1/500</b>
2356	+	+	+	+	+	+	+	+	+	+	+	-
2476	+	+	+	+	+	+	+	+	+	-	-	-
2484	+	+	+	+	+	+	+	+	+	-	-	-
<b>GVA</b>												
<b>GVA</b>	<b>1/1</b>	<b>1/5</b>	<b>1/10</b>	<b>1/15</b>	<b>1/20</b>	<b>1/30</b>	<b>1/40</b>	<b>1/50</b>	<b>1/100</b>	<b>1/200</b>	<b>1/300</b>	<b>1/500</b>
203	+	+	+	+	+	+	+	+	+	+	+	-
2361	+	+	+	+	+	+	+	+	+	-	-	-
2482	+	+	+	+	+	+	+	+	+	-	-	-
<b>GLRaV-1</b>												
<b>GLRaV-1</b>	<b>1/1</b>	<b>1/5</b>	<b>1/10</b>	<b>1/15</b>	<b>1/20</b>	<b>1/30</b>	<b>1/40</b>	<b>1/50</b>	<b>1/100</b>	<b>1/200</b>	<b>1/300</b>	<b>1/500</b>
203	+	+	+	+	+	+	+	+	+	-	-	-
206	+	+	+	+	+	+	+	+	+	-	-	-
2357	+	+	+	+	+	+	+	+	+	+	+	-
<b>GLRaV-3</b>												
<b>GLRaV-3</b>	<b>1/1</b>	<b>1/5</b>	<b>1/10</b>	<b>1/15</b>	<b>1/20</b>	<b>1/30</b>	<b>1/40</b>	<b>1/50</b>	<b>1/100</b>	<b>1/200</b>	<b>1/300</b>	<b>1/500</b>
2360	+	+	+	+	+	+	+	+	+	+	+	+
2483	+	+	+	+	+	+	+	+	+	+	-	-
2482	+	+	+	+	+	+	+	+	+	+	+	+
<b>GFkV</b>												
<b>GFkV</b>	<b>1/1</b>	<b>1/5</b>	<b>1/10</b>	<b>1/15</b>	<b>1/20</b>	<b>1/30</b>	<b>1/40</b>	<b>1/50</b>	<b>1/100</b>	<b>1/200</b>	<b>1/300</b>	<b>1/500</b>
203	+	+	+	+	+	+	+	+	+	+	-	-
2482	+	+	+	+	+	+	+	+	+	-	-	-
2484	+	+	+	+	+	+	+	+	+	+	-	-

Tomando en consideración el peor resultado en cada ensayo, se puede definir el umbral de detección para cada virus. Esto corresponde a 1/100 para GFLV, GLRAV-1, GLRAV-2, GVA y GFkV. Solo para GLRaV-3 corresponde a 1/200.

Para ambas técnicas (ELISA y RT-PCR) no hubo diferencia de resultado cuando se realizaron las diluciones mezclando floema infectado con sano en lugar de diluir los extractos.

### *Mejor época de muestreo*

Los resultados se detallan en los cuadros 7, 8 y 9 presentes en anexo.

### **Actividad 5.1**

Se capturaron insectos tanto en vid como en plantas de especies diferentes (generalmente malezas) presentes en los viñedos o alrededor de ellos. En el cuadro 10 se detalla la cantidad de insectos recolectados durante los dos años de duración del proyecto de alargue.

**Cuadro 10. Número de insectos que se capturaron en las regiones de muestreo.**

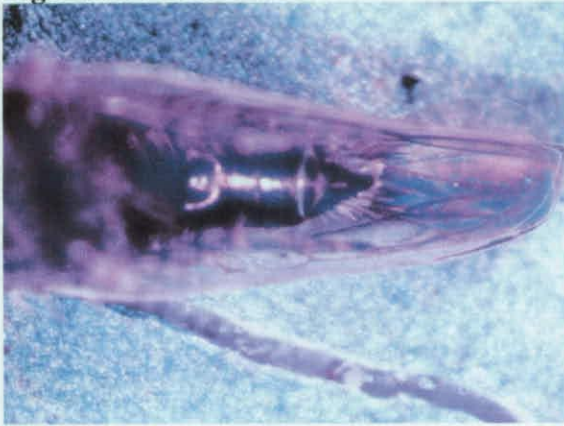
<b>Región</b>	<b>Número de insectos</b>
V	174
VI	50
VII	94
RM	191
<b>Total</b>	<b>509</b>

### **Actividad 5.2**

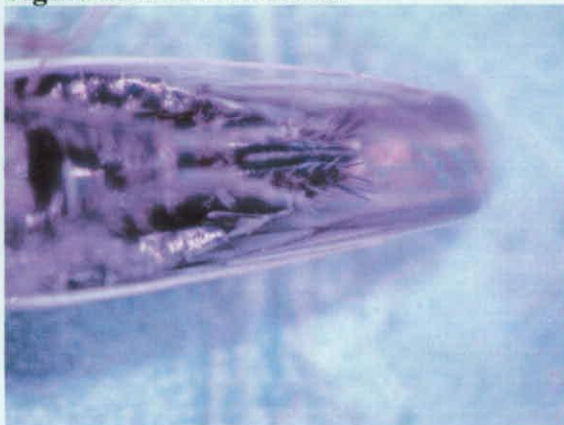
La observación a la lupa de los insectos capturados, ha permitido separarlos en 18 grupos morfológicos, sobre la base de conformación y dibujos presentes en la superficie del cuerpo del insecto. Al interior de cada grupo se han podido separar los machos de las hembras en cuanto estas últimas poseen, al final del abdomen (último urite) las espadas ó térebras que sirven para la ovodeposición en los tejidos vegetales (Figura 7 y 8).

Los insectos recolectados con trampas se han dañados de forma tal que no ha sido posible realizar una caracterización de los mismos. Para obviar a este problema se prefirió utilizar las redes entomológicas.

**Figura 7. Insecto macho.**



**Figura 8. Insecto hembra.**



### Actividad 5.3

El número de insectos analizados para fitoplasmas es inferior a aquellos capturados, en cuanto varios se enviaron a Italia para la caracterización.

El nested-PCR ha funcionado bien también para análisis en insectos. No ha habido ningún problema también con los insectos capturado con las trampas.

Detalles se encuentran en el cuadro 11.

**Cuadro 11. Resultados análisis nested-PCR en langostinos por región**

Región	Número de insectos analizados	Número de insectos positivos	Porcentaje de positivos
V	141	16	11,3%
VI	42	6	14,3%
VII	87	10	11,5%
RM	168	9	5,4 %
<b>Total</b>	<b>438 insectos</b>	<b>41 insectos</b>	<b>9,4%</b>

### Actividad 5.4

#### *Caracterización de langostinos asociados a viñedos*

Utilizando la clave de identificación simplificada de los hemípteros *Auchenorrhyncha* que ha sido elaborada por el Dr. Alberto Alma, ha sido posible agrupar algunos insectos en la Familia *Cicadellidae*, Subfamilias *Deltocephalinae*, *Agallinae*, *Cicadellinae*, *Dorycephalinae* y *Typhlocybinae*. Otros insectos han sido identificados como pertenecientes a las Familias *Delphacidae* y *Cixiidae*.

Para los *Deltocephalinae* y *Agallinae* ha sido posible aclarar el género y especie de algunos insectos capturados. El Dr. Alberto Alma está realizando la determinación de la especie de los insectos recolectados.

Otros insectos han sido capturados utilizando trampas pegajosa que han dañado los insectos y por lo tanto con ellos se ha podido realizar solamente el análisis para fitoplasmas sin poderlo caracterizar.

En el cuadro 12 se especifica lugar de recolección y agrupación de los insectos capturados.

**Cuadro 12. Clasificación de los insectos y región de captura.**

Insectos	Número de insectos capturados por región				Total
	VII	VI	V	RM	
<b>1) Familia Cicadellidae</b>					
<b>a) Subfamilia Deltocephalinae</b>					
-clasificación incompleta	45	29	47	60	<b>181</b>
-ninfas	1	2	3	-	<b>6</b>
-Género y especie					
<i>Euscelis</i> ó <i>Euscelidius</i> sp.		1		1	<b>2</b>
<i>Circulifer</i> sp.	-	-	1	-	<b>1</b>
<i>Amplicephalus</i> sp.	1	-	-	2	<b>3</b>
<i>Amplicephalus curtulus</i>	25	17	37	15	<b>94</b>
<b>b) Subfamilia Agallinae</b>					
-ninfas	3	-	1	-	<b>4</b>
-Género y especie					
<i>Anaceratagallia laevis</i>	5		4	11	<b>20</b>
<b>c) Subfamilia Typhlocybinae</b>					
-ninfas clasificación incompleta	-	-	15	-	<b>15</b>
-adultos clasificación incompleta	-	-	49	1	<b>50</b>
<b>d) Subfamilia Cicadellinae</b>					
-adultos clasificación incompleta	-	-	1	-	<b>1</b>
<b>e) Subfamilia Dorycephalinae</b>					
-adultos clasificación incompleta	1		2		<b>3</b>
<b>2) Familia Delphacidae</b>					
-ninfas clasificación incompleta	-	1	-	-	<b>1</b>
-adultos clasificación incompleta	2	-	3	3	<b>8</b>
<b>3) Familia Cixiidae</b>					
-adultos clasificación incompleta	-	-	1	-	<b>1</b>
<b>4) Insectos no clasificados desde trampas</b>	8	-	5	91	<b>104</b>
<b>5) Ninfas no clasificadas</b>	3	-	5	7	<b>15</b>
<b>Total</b>	<b>94</b>	<b>50</b>	<b>174</b>	<b>191</b>	<b>509</b>

*Caracterización de fitoplasmas encontrados en langostinos asociados a viñedos*

De los langostinos que han sido analizados en Chile (véase tabla 11) 41 han dado resultado positivo para fitoplasmas. Para algunos de estos se realizó la restricción enzimática (RFLP) y se secuenció el producto de amplificación con el fin de determinar a cual grupo y subgrupo de fitoplasmas pertenecen. De los insectos *Deltocephalinae*, por los cuales se está todavía realizando la caracterización para conocer género y especie, seis resultaron infectados por el subgrupo ribosomal 16SrIII-J, tres por el 16SrVII-A, uno por el 16SrXII-A y otro por el grupo 16SrII. Con el *Amplicephalus curtulus*, también perteneciente a la subfamilia *Deltocephalinae*, se han encontrado cinco individuos infectados por el fitoplasma 16SrI-B, otros cinco por el 16SrXII-A y uno con infección mixta con los dos fitoplasmas mencionados. Finalmente el Cixiidae resultó positivo al 16SrI-B y la ninfa de *Anaceratagallia laevis* al 16SrIII-J (ver cuadro 13).

Se adjuntan fotos de los insectos encontrados que estimamos potenciales vectores de fitoplasmas (Figuras 9, 10, 11 y 12).

**Cuadro 13. Fitoplasmas encontrados en insectos.**

Código insecto	Clasificación	Región de recolección	Resultado RFLP	Resultado secuencia	Tipo de fitoplasma
52	<i>Deltocephalinae</i>	VII	n.d.	n.d.	n.d.
53	<i>Deltocephalinae</i>	VII	n.d.	n.d.	n.d.
57	<i>Deltocephalinae</i>	VII	n.d.	n.d.	n.d.
60	<i>Deltocephalinae</i>	VII	16SrIII-J	16SIII	X-disease group
61	<i>Amplicephalus curtulus</i>	VII	n.d.	n.d.	n.d.
67	<i>Amplicephalus</i> sp.	VII	n.d.	n.d.	n.d.
68	<i>Amplicephalus curtulus</i>	VII	n.d.	n.d.	n.d.
78	<i>Deltocephalinae</i>	VII	16SrII	n.d.	Peanut witches' broom group
100	<i>Deltocephalinae</i>	VII	16SrIII-J	n.d.	X-disease group
121	<i>Deltocephalinae</i>	V	16SrXII-A	n.d.	Stolbur group
132	<i>Deltocephalinae</i>	V	16SrIII-J	n.d.	X-disease group
175	<i>Deltocephalinae</i>	V	16SrIII-J	n.d.	X-disease group
179	<i>Amplicephalus curtulus</i>	V	16SrXII-A	n.d.	Stolbur group
185	<i>Amplicephalus curtulus</i>	V	n.d.	n.d.	n.d.
202	<i>Amplicephalus curtulus</i>	V	16SrI-B	n.d.	Aster yellows group
209	<i>Amplicephalus curtulus</i>	V	16SrXII-A	n.d.	Stolbur group
211	<i>Amplicephalus curtulus</i>	V	16SrXII-A y 16SrI-B	n.d.	Stolbur group y Aster yellows groups
213	<i>Amplicephalus curtulus</i>	V	n.d.	n.d.	n.d.
216	<i>Amplicephalus curtulus</i>	V	16SrI-B	n.d.	Aster yellows group
219	<i>Cixiidae</i>	V	16SrI-B	n.d.	Aster yellows group
220	<i>Amplicephalus curtulus</i>	V	16SrXII-A	n.d.	Stolbur group
223	<i>Amplicephalus curtulus</i>	V	16SrXII-A	n.d.	Stolbur group
224	<i>Amplicephalus curtulus</i>	V	n.d.	n.d.	n.d.
226	<i>Amplicephalus curtulus</i>	V	16SrXII-A	n.d.	Stolbur group
264	<i>Amplicephalus curtulus</i>	RM	16SrI-B	n.d.	Aster yellows group
265	<i>Amplicephalus curtulus</i>	RM	16SrI-B	n.d.	Aster yellows group
266	<i>Amplicephalus curtulus</i>	RM	16SrI-B	n.d.	Aster yellows group
284	<i>Delphacidae</i>	RM	n.d.	n.d.	n.d.
324	<i>Deltocephalinae</i>	RM	n.d.	n.d.	n.d.
325	<i>Deltocephalinae</i>	RM	n.d.	n.d.	n.d.
329	<i>Deltocephalinae</i>	RM	n.d.	n.d.	n.d.
379	<i>Deltocephalinae</i>	V	n.d.	n.d.	n.d.
399	Ninfa de <i>Anaceratagallia laevis</i>	VII	n.d.	16SrIII	X-disease group
499	<i>Deltocephalinae</i>	VI	n.d.	n.d.	n.d.
500	<i>Deltocephalinae</i>	VI	16SrVII-A	16SrVII	Ash yellows group
504	<i>Deltocephalinae</i>	VI	n.d.	16SrVII	Ash yellows group
507	<i>Deltocephalinae</i>	VI	16SrIII-J	16SrIII	X-disease group
510	<i>Deltocephalinae</i>	VI	16SrIII-J	16SrIII	X-disease group
514	<i>Deltocephalinae</i>	VI	n.d.	16SrVII	Ash yellows group
543	No clasificado	RM	n.d.	n.d.	n.d.
544	No clasificado	RM	n.d.	n.d.	n.d.

n.d.: no determinado

**Figura 9. Adulto de *Amplicephalus curtulus***



**Figura 10. Adulto de *Anaceratagallia laevis***



**Figura 11. Adulto de *Deltocephalinae***



**Figura 12. Adulto de *Cixiidae***



### Actividad 6.1

Se recolectaron plantas de especies diferentes (generalmente malezas) presentes en los viñedos o alrededor de ellos. En el cuadro 14 se detalla la cantidad de plantas recolectadas durante los dos años de duración del proyecto de alargue.

**Cuadro 14. Número de plantas recolectadas en las regiones de muestreo.**

Región	Número de plantas recolectadas en cada región
V	36
VI	6
VII	21
RM	26
<b>Total</b>	<b>89</b>

### Actividad 6.2

La observación de las plantas recolectadas, ha permitido separarlas en 26 grupos morfológicos, de los cuales solo 19 han sido caracterizadas como especie (véase el cuadro número 16).

### Actividad 6.3

El total de plantas asociadas a viñedos, positivas a fitoplasmas se encuentra en el cuadro 15, y en el cuadro 17 se detallan las especies infectadas. Las que resultaron positivas a fitoplasmas son: doce *Convolvulus arvensis* L., dos *Polygonum aviculare* L., una *Galega officinalis* L. y una maleza no caracterizada.

**Cuadro 15. Resultados análisis nested-PCR en plantas asociadas a viñedos.**

Región	Número de plantas analizadas	Número de plantas positivas	Porcentaje de positivos
V	36	9	25%
VI	6	2	33%
VII	21	0	0%
RM	26	5	19%
<b>Total</b>	<b>89</b>	<b>16</b>	<b>18%</b>

#### Actividad 6.4

##### *Caracterización de plantas asociadas a viñedos*

Utilizando los manuales de reconocimiento de malezas indicados anteriormente y con la asesoría de la profesora Verónica Días, ha sido posible reconocer las especies más comunes asociadas a los viñedos visitados. Además se ha recolectado muestras de Espino con “Escoba de bruja” para analizar y definir si los síntomas observados se deben a presencia de fitoplasmas.

**Cuadro 16. Nombre de las especies de plantas y región de recolección.**

Especie		Número de plantas recolectadas por región				Total
		VII	VI	V	RM	
<b>Nombre botánico</b>	<b>Nombre común</b>					
<i>Convolvulus arvensis</i> L.	Correhuela	6	3	13	7	29
<i>Polygonum aviculare</i> L.	Sanguinaria ó pasto del pollo	3	1	6	6	16
<i>Galega officinalis</i> L.	Galega	-	-	-	1	1
<i>Brassica rapa</i> L.	Yuyo	-	-	2	3	5
<i>Malva nicaensis</i> All.	Malva	3	-	1	3	7
<i>Taraxacum officinale</i> Weber	Diente de león ó lechuguilla	3	-	-	-	3
<i>Trifolium repens</i> L.	Trebol blanco	1	1	-	-	2
<i>Portulaca oleracea</i> L.	Verdolaga	1	-	-	-	1
<i>Galium aparine</i> L.	Lengua de gato	-	-	1	-	1
<i>Erodium cicutarium</i> L.	Alfilerillo	-	-	4	1	5
<i>Senecio vulgaris</i> L.	Senecio	-	-	-	1	1
<i>Fumaria officinalis</i> L.	Fumaria ó Hierba de la culebra	-	-	-	2	2
<i>Baccharis pingraea</i> DC.	Chilquilla	-	-	1	-	1
<i>Cerastium arvensis</i> (L.) Scop.	Cerastium	-	-	1	-	1
<i>Stellaria media</i> (L.) Vill.	Quilloi-quilloi	-	-	1	-	1
<i>Modiola caroliniana</i> (L.) G. Don	Falsa frutilla	2	-	-	-	2
<i>Medicago sativa</i> L.	Alfalfa	-	1	-	-	1
<i>Madia sativa</i> Mol.	Melosa	-	-	-	1	1
<i>Acacia caven</i> (Mol.) Mol.	Espino		-	2	1	3
No clasificadas		2	-	4	-	6
<b>Total</b>		<b>21</b>	<b>6</b>	<b>36</b>	<b>26</b>	<b>89</b>

*Caracterización de fitoplasmas encontrados en plantas asociadas a viñedos*

De las plantas analizadas, 16 han dado resultado positivo para fitoplasmas. Para algunos de estos positivos se realizó la restricción enzimática (RFLP) y se secuenció el producto de amplificación con el fin de determinar a cual grupo y subgrupo de fitoplasmas pertenecen.

De los *Convolvulus arvensis* L., uno resultó positivo al fitoplasma 16SrVII-A y otro al 16SrIII-J. En un *Polygonum aviculare* L. se determinó la presencia de una infección mixta con 16SrI-B y 16SrVII-A. La *Galega officinalis* L. resultó estar infectada por el 16SrVII-A y finalmente la maleza no clasificada es positiva al 16SrIII-J (ver cuadro 17).

Se adjuntan fotos de las tres malezas que pueden ser reservorio de fitoplasmas en los viñedos (Figuras 13, 14 y 15).

**Cuadro 17. Fitoplasmas encontrados en plantas asociadas a viñedos.**

Código maleza	Especie botánica	Región de recolección	Resultado RFLP	Resultado secuencia	Tipo de fitoplasma
119	<i>Convolvulus arvensis</i> L.	V	n.d.	n.d.	n.d.
123	<i>Convolvulus arvensis</i> L.	V	n.d.	n.d.	n.d.
153	<i>Convolvulus arvensis</i> L.	VI	n.d.	n.d.	n.d.
154	<i>Convolvulus arvensis</i> L.	VI	n.d.	n.d.	n.d.
155	<i>Convolvulus arvensis</i> L.	V	n.d.	n.d.	n.d.
158	<i>Convolvulus arvensis</i> L.	V	n.d.	n.d.	n.d.
159	<i>Convolvulus arvensis</i> L.	RM	n.d.	16SrVII	Ash yellows group
160	<i>Convolvulus arvensis</i> L.	RM	n.d.	n.d.	n.d.
161	<i>Galega officinalis</i> L.	RM	16SrVII-A	16SrVII	Ash yellows group
162	<i>Convolvulus arvensis</i> L.	RM	n.d.	n.d.	n.d.
163	<i>Polygonum aviculare</i> L.	RM	16SrI-B y VII-A	16Sr-VII	Aster y Ash yellows groups
234	No clasificada	V	n.d.	16SrIII	X-disease group
235	<i>Convolvulus arvensis</i> L.	V	n.d.	16SrIII	X-disease group
259	<i>Convolvulus arvensis</i> L.	V	n.d.	n.d.	n.d.
261	<i>Convolvulus arvensis</i> L.	V	n.d.	n.d.	n.d.
262	<i>Polygonum aviculare</i> L.	V	n.d.	n.d.	n.d.

n.d.: no disponible

**Figura 13. *Convolvulus arvensis* L.**



**Figura 14. *Polygonum aviculare* L.**



**Figura 15.** *Galega officinalis* L.



## 5. ANÁLISIS ECONÓMICO

Véase cuadro 18 y supuesto del análisis económico en anexo.

## 6. IMPACTOS Y LOGROS DEL PROYECTO

El proyecto ha sido de gran interés para los productores de uva vinífera y de mesa en todos los lugares muestreados, porque se contribuyó a clarificar la etiología de ciertos desordenes (ej: falta de color en producción de uva de mesa y amarilleces del follaje). Además ha demostrado que los langostinos, a pesar de no ser causa de daño directo para las vides, están abundantemente presentes en los viñedos y representan, junto con las malezas, un importante medio de diseminación de fitoplasmas.

El éxito obtenido con las Charlas Técnicas, los Días de Campo y el Seminario Internacional demuestra el interés sobre las actividades desarrolladas y resultados obtenidos en el marco del proyecto.

El haber desarrollado las técnicas de diagnóstico con el presente proyecto, ha permitido al grupo de trabajo poder participar en la postulación y adjudicación de un proyecto financiado por el Fondo de Desarrollo e Innovación INNOVA CORFO en la III región del país. Se trata del proyecto "Incremento de la productividad en parronales de la tercera región a través de un mejoramiento sanitario del sistema radical y de la prevención de infecciones por virus y fitoplasmas", código 05CR11IAT-07. Esto permitirá derivar los beneficios generados por el presente proyecto también a la tercera región.

## 7. PROBLEMAS ENFRENTADOS DURANTE EL PROYECTO

En general se ha logrado desarrollar con éxito las actividades programadas.

Sin embargo no ha sido posible encontrar nematodos positivos a ToRSV en suelos plantados con vides. Además, según las últimas investigaciones realizadas, tampoco se encontraron vides positivas al virus antes mencionado.

A pesar de esto se pudo poner a punto la técnica de diagnóstico para el ToRSV, utilizando material vegetal infectado de ciruelo y nematodos (*X.americanum* s.l.) extraídos desde suelos con ciruelos positivos al virus.

Tampoco ha sido posible encontrar plantas de vid positivas a SLRV. También para este caso se pudo poner a punto la técnica de RT-PCR, utilizando material vegetal infectado de durazno positivo al virus.

La caracterización de los insectos no ha sido simple, en cuanto no se dispone de suficiente información sobre los langostinos presentes en Sudamérica y en especial en Chile. Esto ha significado un atraso en la clasificación, que todavía no está completa. De toda manera el Dr. Alberto Alma sigue en su labor de clasificación aunque los resultados completo se obtendrán más allá de la duración del proyecto y serán disponibles para un eventual trabajo de investigación que se entregará a FIA una vez publicado.

## **8 OTROS ASPECTOS DE INTERÉS**

Se entregaron personalmente los resultados de los análisis realizados en vides a los administradores y/o gerentes de los principales predios muestreados, haciéndose los comentarios pertinentes para cada situación.

Se incluyó el desarrollo de la técnica de detección de GLRaV-2 RG (nueva denominación del virus conocido con el acrónimo: GRSLaV) por la importancia que ha tenido en especial manera para la variedad de uva de mesa Red Globe.

Nuestro grupo de trabajo ha adquirido una notable experiencia en la detección y caracterización de fitoplasmas, tanto en vid y malezas asociadas, como en insectos. Esto nos permitirá averiguar las condiciones fitosanitaria y aclarar algunos aspectos epidemiológicos relacionados con fitoplasmas, también en otras especies vegetales.

## **9. CONCLUSIONES Y RECOMENDACIONES**

Con el desarrollo de la técnica ELISA se ha logrado establecer la condición sanitaria de las plantas de los predios muestreados con respecto a los virus investigados.

Se ha determinado la presencia de GFLV, GLRaV-1, 2, 3, GFkV, GVA y GVB.

En ningún caso se ha encontrado SLRV, ToRSV. ArMV ha sido detectado por ELISA en algunas muestras, presentando una señal muy débil. Así que en este caso se ha realizado un análisis confirmatorio con RT-PCR, cuyo resultado ha sido negativo. Por lo tanto, se puede concluir que SLRV, ToRSV y ArMV no son de importancia para la vid en Chile.

Ha sido posible distinguir dentro de los "leafroll" la presencia de las especies 1, 2 y 3.

Han sido detectados por primera vez en Chile los virus GFkV y GVB.

Con el desarrollo de la técnica RT-PCR ha sido posible confirmar los resultados obtenidos con ELISA y además se han podido encontrar los virus GRSPaV y GLRaV-2 RG (antes denominado GRSLaV) por primera vez en las vides chilenas.

El kit ELISA utilizado para GLRaV-2 reacciona también con la cepa RG. Para determinar de cuales de los dos virus está infectada la planta analizada, se debe recurrir a la técnica de RT-PCR.

Aplicando la técnica ELISA para la detección de GFLV, ToRSV, ArMV, GVA, GVB, GLRaV-1, 2, 3, GFkV en material vegetal recolectado al azar, se han obtenidos resultados que indican presencia de algunos de estos virus con porcentajes de infección preocupantes. Esto indica que hay una importante presencia de virus en viñas y parronales chilenos que indudablemente afectan los niveles de producción en cuanto a cantidad y calidad.

Preocupa la abundante presencia de nematodos ectoparásitos vectores de virus *Xiphinema index* y *X. americanum* s.l. en los diferentes suelos analizados. Sabemos también que no es infrecuente encontrar plantas infectadas por GFLV. Esto genera una situación de máxima alerta por los daños que se pueden producir en la viticultura chilena, ya que están dadas las condiciones para iniciar y mantener por largo tiempo el ciclo de la enfermedad viral. Es importante que los nemátodos no adquieran el virus y para eso es oportuno introducir, en estas condiciones de suelos, plantas libres de GFLV.

Se ha desarrollado la técnica ELISA y RT-PCR en nematodos para detectar GFLV y ToRSV. Más sensible ha resultado la RT-PCR con respecto a ELISA. Para GFLV ambas técnicas han funcionado. Mientras para ToRSV solo ha sido posible la detección con RT-PCR.

Las pruebas para ToRSV se han realizados utilizando nematodos extraídos desde suelo con ciruelos positivos al virus, no encontrándose vides infectadas con ToRSV.

Esta herramienta permite establecer si los nematodos presentes en el suelo son infectivos, ayudando así a completar las informaciones para una mejor toma de decisión.

Los resultados de los análisis de fitoplasmas ponen en evidencia una situación preocupante. Se observan porcentajes de infección altos, a pesar de la dificultad de detectar estos patógenos en plantas debido a su baja concentración. En su mayoría las que se analizaron fueron plantas sintomáticas, por lo tanto los datos obtenidos no definen la incidencia de los fitoplasmas en los viñedos y parronales de Chile. Si embargo en algunos sitios muestreados las plantas positivas a fitoplasmas han sido más del 50%, lo que indica una situación de epidemia.

Ha sido posible determinar la presencia de fitoplasmas pertenecientes al grupo 16SrI subgrupos B y C en algunas de las vides analizadas, siendo este el primer informe sobre la caracterización de estos fitopatógenos en *Vitis vinifera* L. en Chile.

La información relativa a la identificación del subgrupo de fitoplasmas ha sido posible gracias a la colaboración con la Doctora Assunta Bertaccini de la Universidad de Bologna, Italia.

Cabe destacar que también se encontró el fitoplasma asociado a la enfermedad epidémica llamada “madera negra” (Bois noir), subgrupo ribosomal 16SrXII-A; el subgrupo 16SrIII-J y se identificó por primera vez en vid a nivel mundial el subgrupo 16SrVII-A.

Estos antecedentes son de gran importancia para empezar a entender el origen de algunas sintomatologías -observadas en viñas y parronales chilenos- de las cuales no se conocen los factores desencadenantes.

El trabajo de caracterización y análisis de fitoplasmas para insectos *Auchenorrhyncha* y malezas presentes en viñedos, ha dado valiosas informaciones sobre la modalidad de diseminación de estos patógenos. El insecto *Aplicephalus curtulus* es muy común en los viñedos chilenos y probablemente se definirá como un nuevo vector de los fitoplasmas pertenecientes a los grupos Stolbur (16SrXII-A) y Aster yellows (16SrI-B y C). Una vez caracterizadas las otras *Deltocephalinae*, será posible determinar cuales especies serían las más comunes en Chile como vectores de fitoplasmas pertenecientes a los grupos Ash yellows (16SrVII-A) y X-disease (16SrIII-J).

Sin embargo, es importante establecer la eficiencia de transmisión de los langostinos positivos a fitoplasmas, a través de ensayos de invernadero. Pero para esto es imprescindible disponer de ulteriores financiamientos.

Parecen ser un importante reservorio de fitoplasmas las malezas Correhuela (*Convolvulus arvensis* L.), Sanguinaria ó pasto del pollo (*Polygonum aviculare* L.) y Galega (*Galega officinalis* L.). Las primeras dos muy comunes en viñedos chilenos.

Se determinó la mejor época de muestreo para la detección de cuatro virus. Los resultados obtenidos con este ensayo permitieron poder elegir el mejor tejido vegetal a muestrear en relación al virus y al período del año en que se necesite realizar los análisis. Para la detección de todos los virus, desde brotación hasta que estén disponibles los sarmientos verdes, es aconsejable realizar los análisis utilizando la RT-PCR tanto en brotes como en hojas no completamente desarrolladas. En períodos sucesivos se puede realizar una ELISA utilizando los sarmientos verdes y lignificados.

La RT-PCR confirmó ser la técnica más sensible respecto a ELISA cuando la carga viral es baja (durante brotación), sin embargo su eficiencia disminuye en la medida que aumentan en la planta los azúcares y polifenoles, inhibidores de la enzima polimerasa.

Para todos los virus, el tejido más reactivo (100% de resultados positivos), tanto con ELISA como con RT-PCR, es el floema procedente de sarmientos lignificados.

Con la técnica ELISA se obtienen buenos resultados también con los sarmientos verdes. De toda manera en los meses en que se encuentran contemporáneamente en la planta sarmientos verdes y lignificados, estos últimos resultan ser los más sensible. Además, los sarmientos lignificados están disponibles para el muestreo por un mayor número de meses durante el año incluyendo julio y agosto.

Los protocolos de análisis utilizados en nuestro laboratorio para realizar este ensayo permitieron la detección de GFLV y GFkV con ELISA durante los 12 meses con un éxito del 96 y 97% respectivamente, mientras el valor más alto obtenido con RT-PCR correspondió a GVA con el 91%.

Se ha podido constatar que las diferentes enzimas utilizadas para la realización de la PCR hacen que los costos totales de los reactivos aumenten considerablemente con esta técnica. Además, para la realización de la PCR se necesita de más espacio en el laboratorio y un mayor número de equipos cuyo mantenimiento es caro.

Los costos del personal y de administración resultan más altos con la PCR porque es menor el número de muestras que se pueden procesar en una unidad de tiempo. Por ejemplo, en el caso del personal de laboratorio, si se consideran tres personas trabajando jornada completa, es posible procesar 400 muestras al mes con ELISA y 240 con PCR, en este último caso tanto para la detección de virus como para fitoplasmas.

Los resultados obtenidos durante los ensayos de especificidad de demuestran que los kits de ELISA y los protocolos de RT-PCR utilizados son virus específicos, por lo tanto de alta confiabilidad para su uso en forma rutinaria.

Se ha podido comprobar que con ELISA, la sensibilidad de la técnica baja rápidamente. Esto nos confirma la necesidad de evitar analizar muestras compuestas (juntar material vegetal de diferentes plantas a formar una muestra), en cuanto es muy alta la probabilidad de obtener resultados falsos negativos, cuando la carga viral en la planta es baja.

Se subraya la buena calidad del kit para la detección de GFkV, que presenta una sensibilidad mucho más alta con respecto a los otros.

Se confirma la mayor sensibilidad de RT-PCR con respecto a ELISA. Es de tomar en cuenta este dato cuando se quiera aconsejar una técnica de detección en los programas de selección sanitaria y certificación.

Se obtuvo la secuencia del amplicon de GLRaV-2 (tamaño de 332 bp) y de GLRaV-2 RG (tamaño de 266 bp). Sucesivamente se alinearon estas secuencias con las presentes en el GenBank para la comparación. El GLRaV-2 se alineó con dos secuencias del GenBank presentando una similitud del 98% en ambos casos. GLRaV-2 RG se alineó con la única secuencia presente en GenBank con una similitud del 95%. Estos resultados confirman que los dos aislados chilenos corresponden a los virus antes mencionados. La mayor variabilidad del GLRaV-2 RG depende en larga parte por los errores ocurridos en fase de secuencias y que corresponden al 4% del fragmento secuenciado.

Se obtuvieron también las secuencias de los amplicones de los fitoplasmas denominados Chile I (tamaño de 1141 bp), Chile VII (1232 bp), Chile a (1542 bp) y Chile b (1544 bp). Se realizó el alineamiento de estas con aquellas secuencias presentes en el GenBank.

Chile I se alineó con diferentes secuencias del GenBank presentando en todos los casos una similitud del 99%. Estos resultados confirman que el aislado chileno de fitoplasma es un "aster yellows", grupo I, subgrupo B (16SrI-B).

Chile VII se alineó con diferentes secuencias presentando alta similitud con aislados de ash yellows (grupo VII). Con la secuencia AY034608 (fitoplasma 16SrVII-B) presentó una similitud de 98%, mientras con la secuencia AF092209 (fitoplasma 16SrVII-A) presentó una similitud de 99%. Esto significa que el aislado chileno es un "ash yellows" y corresponde al grupo VII, subgrupo A.

Chile "a" se alineó con diferentes secuencias presentando alta similitud con aislados de "stolbur" (grupo XII). Con la secuencia AJ964960 (fitoplasma 16SrXII-A) presentó una similitud del 98%, sin embargo al aislado chileno faltan 14 bp en la región intergénica, esto permite colocarlo en el grupo XII, sin pero poder asignarle a un subgrupo. Ulteriores estudios son necesarios para establecer si se trata de un nuevo subgrupo.

Chile "b" se alineó con diferentes secuencias presentando alta similitud (98%) con AF248959 (fitoplasma 16SrXII-A). A diferencia de Chile "a", en este caso no faltan los 14 bp de la región intergénica, por lo tanto se puede concluir que Chile "b" pertenece al grupo XII (stolbur) subgrupo A. Esto significa que el aislado chileno es el fitoplasma de la "madera negra" ó "bois noir".

Las actividades de difusión se han traducido en una eficaz promoción del proyecto, con gran beneficio para el desarrollo de las actividades.

Tanto el seminario internacional, las charlas técnicas, los día de campo, como también la participación a los congresos nacionales e internacionales y las publicaciones, han permitido dar a conocer el trabajo realizado en el marco del proyecto FIA. Además han

permitido consolidar, tanto a nivel nacional como internacional, el grupo de trabajo en enfermedades producidas por virus y fitoplasmas en vid de la Facultad de Ciencias Agronómicas de la Universidad de Chile.

La presencia de virus y fitoplasmas en las vides chilenas representa una seria amenaza para el cultivo. Además, en los mismos viñedos hemos también encontrado malezas y langostinos infectados por fitoplasmas, aumentado así el riesgo de diseminación de estos patógenos.

La detección es el primer paso para tomar conciencia de la situación y así evitar futuros problemas. Se recuerda que en el caso de virus y fitoplasmas la prevención es la única medida de control a tomar.

#### ***IV. INFORME DE DIFUSIÓN***

**Se hace referencia a las actividades 7.1, 7.2, 7.3, 7.4, 7.5 y 7.6**

##### ***Organización de tres Charlas Técnicas***

Junto con el informe N° 4 se entregó la información y el material relativos a la realización de la primera charla técnica, en la Facultad de Ciencias Agronómicas de la Universidad de Chile.

Junto con el informe N° 6 se entregó la información y el material relativos a la realización de la segunda charla técnica, en el Campus Limarí de la Universidad de La Serena.

La tercera “Charla Técnica” se organizó en conjunto con el segundo “Día de Campo”. Esto permitió realizar un evento en el cual se unieron aspectos teóricos y demostrativos relativos las actividades desarrolladas a lo largo del proyecto de alargue.

El título del evento fue: “Fitoplasmas en vid: aspectos epidemiológicos”. Se realizó con fecha 30 de mayo de 2007 en la Universidad de Chile, Facultad de Ciencias Agronómicas, Salón Video Conferencia Campus Sur de la biblioteca Ruy Barbosa y laboratorios de Certificación Frutal y Fitovirología (véase en anexo “Actividades de Difusión” el programa de la actividad y copia de las presentaciones).

La finalidad del evento era informar a productores, viveristas, investigadores y técnicos del rubro vitivinícola de los avances del proyecto de alargue.

Los asistentes al evento fueron 33 (véase hojas de firmas en anexo “Actividades de Difusión” y algunas fotos del evento).

La actividad ha sido exitosa cumpliendo plenamente con el objetivo planteado.

### ***Organización de un Seminario Internacional***

Junto con el informe N° 7 se entregó la información y el material relativos a la realización del Seminario Internacional del proyecto, cuyo título fue: “Situación actual de la vid en relación a virus, viroides y fitoplasmas”. El evento se celebró en el centro de extensión Los Almendros, Camino La Pirámide 5625, Huechuraba, Santiago, el 5 y 6 de abril 2005.

El evento se cofinanció a través del Programa de Captura y Difusión Tecnológica de FIA. Mayores detalles sobre el Seminario Internacional se encuentran en el informe técnico final del Programa de Captura y Difusión Tecnológica (código FIA-CD-V-2005-1-A-004) que se presentó a FIA.

### ***Organización de un Día de Campo***

Junto con el informe N° 5 se entregó la información y el material relativos a la realización del Día de Campo, en la Facultad de Ciencias Agronómicas de la Universidad de Chile.

Como explicado anteriormente, el segundo “Día de Campo” se realizó en conjunto con la tercera “Charla Técnica”.

### ***Participación a Congresos Nacionales***

Junto con el informe N° 3 se entregó la información y el material relativos a la presentación de cuatro trabajos. Tres de ellos se presentaron al XII Congreso de la Sociedad Chilena de Fitopatología (SOCHIFIT) y uno al 53° Congreso Agronómico de Chile.

Junto con el informe N° 5 se entregó la información y el material relativos a la presentación de un trabajo al XIII Congreso de la Sociedad Chilena de Fitopatología (SOCHIFIT).

Junto con el informe N° 7 se entregó la información y el material relativos a la presentación de dos trabajos al XIV Congreso de la Sociedad Chilena de Fitopatología (SOCHIFIT).

Junto con el informe N° 8 se entregó la información y el material relativos a la presentación de un trabajo al XV Congreso de la Sociedad Chilena de Fitopatología (SOCHIFIT).

El 5 y 6 de noviembre 2007 se participó en la II Reunión de Biología Vegetal, congreso celebrado en Santiago, en la Casa Central de la Universidad Católica de Chile.

Se presentó el siguiente trabajo: “Grapevines yellows in Chile”.

Autores: Angela Gajardo, Simona Prodan, Samanta Paltrinieri, Simona Botti, Ana Maria Pino, Jaime Montealegre, Alan Zamorano, Assunta Bertaccini, Nicola Fiore.

(Presentación formato Poster).

Copias del resumen del trabajo antes mencionado y del póster se encuentran en el anexo “Actividades de Difusión”.

Desde el 28 hasta el 30 de noviembre 2007 se participó en XVII Congreso de la Sociedad Chilena de Fitopatología (SOCHIFIT), celebrado en Concepción, en la Universidad de Concepción, Facultad de Ciencias Forestales y Centro de Biotecnología.

Se presentó el siguiente trabajo: “Aspectos epidemiológicos de los fitoplasmas que afectan la vid (*vitis* spp.) en Chile”.

Autores: Alan Zamorano, Ana Maria Pino, Samanta Paltrinieri, Alberto Calari, Assunta Bertaccini, Alberto Alma, Jaime Montealegre, Jaime Araya, Nicola Fiore.

(Ponencia realizada por Nicola Fiore).

Copias del resumen del trabajo antes mencionado y de la presentación se encuentran en el anexo “Actividades de Difusión”.

### ***Participación a Congresos Internacionales***

En el informe N° 4 se entregó la información y el material relativos a la presentación de tres trabajos al 14<sup>th</sup> Meeting of International Council for the Study of Virus and Virus-Like Diseases of Grapevine (ICVG), celebrado en Locorotondo (Bari), Italia.

En el informe N° 5 se entregó la información y el material relativos a la presentación de un trabajo al IX Congreso Latinoamericano de Viticultura y Enología, celebrado en Santiago, Chile.

En el informe N° 7 se entregó la información y el material relativos a la presentación de un trabajo al XII Congreso Latinoamericano de Fitopatología (ALF)/III Taller de la Asociación Argentina de Fitopatólogos, celebrado en Vila Carlos Paz, Córdoba, Argentina.

En el informe N° 9 se entregó la información y el material relativos a la presentación de tres trabajos al 15<sup>th</sup> Meeting of International Council for the Study of Virus and Virus-Like Diseases of Grapevine (ICVG), celebrado en Stellenbosch, Sudáfrica, del 3 hasta el 7 de abril del 2006.

Desde el 12 hasta el 15 de noviembre 2007 se participó en el “First International Phytoplasma Working Group Meeting (IPWG)”, celebrado en Bologna (Italia), en la Università di Bologna.

Se presentó el siguiente trabajo: “Molecular characterization of phytoplasmas in Chilean grapevines”.

Autores: Nicola Fiore, Simona Prodan, Samanta Paltrinieri, Angela Gajardo, Simona Botti, Ana Maria Pino, Jaime Montealegre, Assunta Bertaccini.

(Ponencia realizada por Nicola Fiore).

Copias del resumen del trabajo antes mencionado y de la presentación se encuentran en el anexo “Actividades de Difusión”.

### ***Publicaciones internacionales***

- 1) S. Prodan, J. Montealegre and N. Fiore (2003). Aetiology of decline in Thompson Seedless grafted plants. *Extended Abstract* of 14<sup>th</sup> Meeting of ICVG, Locorotondo, Bari, Italia 2003, 142-143.
- 2) A. Gajardo, S. Botti, J. Montealegre, N. Fiore and A. Bertaccini (2003). Survey on Phytoplasmas identified in chilean grapevines. *Extended Abstract* of 14<sup>th</sup> Meeting of ICVG, Locorotondo, Bari, Italia 2003, 85-86.
- 3) S. Prodan, J. Montealegre, E. Aballay, A.M. Pino, P. Fernández, R. Reyes and N. Fiore (2003). Report of new viral disease in chilean grapevines. *Extended Abstract* of 14<sup>th</sup> Meeting of ICVG, Locorotondo, Bari, Italia 2003, 145

Las informaciones sobre estas tres publicaciones se han entregado en el informe N° 4

- 4) A. Bertaccini, S. Paltrinieri, S. Botti, B. Duduk, N. Fiore, M. Kolber, D. Skoric, E. Torres, M. Conti (2006). Diversity of 16SrXII phytoplasmas detected in grapevine growing areas worldwide. *Extended Abstract* of 15th Meeting of ICVG, Stellenbosch, South Africa 2006, 88-89.
- 5) E. Engel, V. Arredondo, C. Girardi, A. Gonzalez, P. Escobar, N. Fiore, P. Arce and P.D.T. Valenzuela (2006). Grapevine viruses in Chile: genomics and detection based on immunocapture and microarray technologies. *Extended Abstract* of 15th Meeting of ICVG, Stellenbosch, South Africa 2006, 118-119.
- 6) M. Digiario, N. Fiore, L. Tarricone, S. Prodan and T. Elbeaino (2006). Influence of viruses on the performance and quality of cv. Crimson Seedless. *Extended Abstract* of 15th Meeting of ICVG, Stellenbosch, South Africa 2006, 186-188.

Las informaciones sobre estas tres publicaciones se han entregado en el informe N° 9

- 7) N. Fiore, S. Prodan, S. Paltrinieri, A. Gajardo, S. Botti, A.M. P., J. Montealegre, A. Bertaccini (2007). Molecular characterization of phytoplasmas in Chilean grapevines. *Extended Abstract*. *Bulletin of Insectology*, Vol. LX (2): 331-332.

Copia del trabajo se encuentra en el anexo "Actividades de Difusión".

- 8) N. Fiore, S. Prodan, J. Montealegre, E. Aballay, A.M. Pino, and A. Zamorano (2008). Survey of grapevine viruses in Chile. *Journal of Plant Pathology* (en prensa).

El artículo ha sido recibido por el editor el 11 de septiembre de 2007 y aceptado para publicación el 18 de octubre 2007.

Copia de la versión aceptada por el editor se encuentra en el anexo "Actividades de Difusión". Cuando se publique se enviará copia a FIA.

## ***Publicaciones nacionales***

### *Resúmenes*

En la revista Aconex N° 78 de Enero, Febrero y Marzo 2003, se publicó el resumen de un trabajo presentado al XII Congreso de la SOCHIFIT:

Fiore N., Botti S., Montealegre J., Bertaccini, A. (2003). Reporte de fitoplasmas pertenecientes al subgrupo 16SrI en vides chilenas. *Aconex* N° 78: 8.

Se adjunta copia en anexo “Actividades de difusión” en informe N° 4.

En la revista Simiente N° 72 de Julio-Diciembre 2002, se publicó el resumen del trabajo presentado en 53° Congreso Agronómico de Chile:

Fiore N., Montealegre J., Aballay E., Prodan S., Fernández P., Reyes R. Botti S., Bertaccini A. y Pino, A. (2002). Nuevos reportes de enfermedades producidas por virus y fitoplasmas en vides chilenas. *Simiente* 72 (3-4): 97.

Se adjunta copia en informe N° 4.

Fiore N., Montealegre J., Aballay E., Prodan S., Fernández P., Reyes R. y Pino, A.(2003). Nuevos reportes de enfermedades virales en vides chilenas. *Fitopatología* Vol.38, N°2: 93.

Se adjunta copia en informe N° 5.

Fiore N., Botti S., Montealegre J., Bertaccini, A. (2003). Reporte de fitoplasmas pertenecientes al subgrupo 16SrI en vides chilenas. *Fitopatología* Vol.38, N°2: 93-94.

Se adjunta copia en informe N° 5.

Fiore N., Montealegre J., Prieto, H., Prodan S. (2003). Resultados preliminares sobre la etiología del decaimiento en plantas de uva de mesa injertadas. *Fitopatología* Vol.38, N°2: 101-102.

Se adjunta copia en informe N° 5.

Gajardo A., Botti S., Montealegre J., Bertaccini A. y Fiore N. (2004). Caracterización enzimática de fitoplasmas aislados de vides chilenas. *Fitopatología* Vol.39, N°1: 19-20.

Se adjunta copia en informe N° 6.

### *Artículos*

En la Revista del Campo N° 1406 de *El Mercurio* del 23 de junio de 2003, se publicó un artículo sobre el decaimiento de plantas de uva de mesa injertadas:

N. Fiore y J. Montealegre (2003). Decaimiento en vides: Un mal sin nombre. *Revista del Campo – EL MERCURIO* N° 1406: A14-15.

Se adjunta copia en anexo “Actividades de difusión” en informe N° 4.

En la Revista del Campo, del diario El Mercurio, del 2 de agosto de 2004, N° 1464 ha sido publicado un artículo sobre parte de los resultados obtenidos con el presente proyecto. En particular en el artículo se presenta la situación actual sobre los fitoplasmas que afectan a la vid en Chile.

Se adjunta copia en informe N° 6.

***V. ANEXOS***

# CUADROS

Resultados de los análisis realizados con el fin de determinar la mejor época de muestreo de la vid para la detección de cuatro virus.

Cuadro N° 7

Virus		Resultados obtenidos con ELISA en los meses de muestreo y respecto al material vegetal utilizado para los análisis (+/t)																																	
		Sep.			Oct.			Nov.			Dic.			Ene.			Feb.			Mar.			Abr.			May.			Jun.						
B	H*	PH	H*	SV	PH	H	SV	PH	H	SV	PH	H	SV	PH	H	SV	PH	H	SV	PH	H	SV	PH	H	SV	PH	H	SV	PH	H	SV				
GFL	3/3	3/3	1/3	3/3	3/3	3/3	3/3	3/3	3/3	3/3	3/3	3/3	3/3	3/3	3/3	3/3	3/3	3/3	3/3	3/3	3/3	3/3	3/3	3/3	3/3	3/3	3/3	3/3	3/3	3/3	3/3	3/3			
LR-3	0/3	0/3	0/3	0/3	3/3	3/3	3/3	3/3	3/3	3/3	3/3	3/3	3/3	3/3	3/3	3/3	3/3	3/3	3/3	3/3	3/3	3/3	3/3	3/3	3/3	3/3	3/3	3/3	3/3	3/3	3/3	3/3	3/3		
GVA	0/3	0/3	0/3	0/3	3/3	3/3	3/3	3/3	3/3	3/3	3/3	3/3	3/3	3/3	3/3	3/3	3/3	3/3	3/3	3/3	3/3	3/3	3/3	3/3	3/3	3/3	3/3	3/3	3/3	3/3	3/3	3/3	3/3	3/3	
GFK	3/3	n.d.	3/3	3/3	3/3	3/3	3/3	3/3	3/3	3/3	3/3	3/3	3/3	3/3	3/3	3/3	3/3	3/3	3/3	3/3	3/3	3/3	3/3	3/3	3/3	3/3	3/3	3/3	3/3	3/3	3/3	3/3	3/3	3/3	
<b>Total</b>																																			
N.	6/12	3/9	4/12	6/12	12/12	12/12	9/12	12/12	12/12	12/12	12/12	12/12	12/12	12/12	12/12	12/12	9/9	12/12	12/12	12/12	12/12	12/12	12/12	12/12	12/12	12/12	12/12	12/12	12/12	12/12	12/12	12/12	12/12	12/12	
%	50	33	33	50	100	100	75	100	100	100	100	100	100	100	100	100	92	100	100	100	100	100	100	100	100	100	100	100	100	100	100	100	100	100	100

Cuadro N° 8

Virus		Resultados obtenidos con RT-PCR en los meses de muestreo y respecto al material vegetal utilizado para los análisis (+/t)																																			
		Sep.			Oct.			Nov.			Dic.			Ene.			Feb.			Mar.			Abr.			May.			Jun.								
B	H*	PH	H*	SV	PH	H	SV	PH	H	SV	PH	H	SV	PH	H	SV	PH	H	SV	PH	H	SV	PH	H	SV	PH	H	SV	PH	H	SV	PH	H	SV			
GFL	3/3	3/3	2/3	3/3	3/3	3/3	3/3	2/3	3/3	3/3	3/3	3/3	3/3	3/3	3/3	3/3	3/3	3/3	3/3	3/3	3/3	3/3	3/3	3/3	3/3	3/3	3/3	3/3	3/3	3/3	3/3	3/3	3/3	3/3	3/3		
LR-3	3/3	3/3	3/3	3/3	3/3	3/3	3/3	3/3	3/3	3/3	3/3	3/3	3/3	3/3	3/3	3/3	3/3	3/3	3/3	3/3	3/3	3/3	3/3	3/3	3/3	3/3	3/3	3/3	3/3	3/3	3/3	3/3	3/3	3/3	3/3	3/3	
GVA	3/3	3/3	3/3	3/3	3/3	3/3	3/3	3/3	3/3	3/3	3/3	3/3	3/3	3/3	3/3	3/3	3/3	3/3	3/3	3/3	3/3	3/3	3/3	3/3	3/3	3/3	3/3	3/3	3/3	3/3	3/3	3/3	3/3	3/3	3/3	3/3	3/3
GFK	3/3	n.d.	3/3	3/3	3/3	3/3	3/3	3/3	3/3	3/3	3/3	3/3	3/3	3/3	3/3	3/3	3/3	3/3	3/3	3/3	3/3	3/3	3/3	3/3	3/3	3/3	3/3	3/3	3/3	3/3	3/3	3/3	3/3	3/3	3/3	3/3	3/3
<b>Total</b>																																					
N.	12/12	9/9	11/12	12/12	8/12	11/12	10/12	9/12	9/12	8/12	4/12	3/3	2/12	7/12	4/12	9/9	5/12	6/12	6/9	12/12	9/12	6/12	9/12	12/12	12/12	12/12	12/12	12/12	12/12	12/12	12/12	12/12	12/12	12/12	12/12	12/12	
%	100	100	92	100	67	92	83	75	92	75	67	33	100	17	58	33	100	42	50	67	100	75	92	100	100	100	100	100	100	100	100	100	100	100	100	100	100

GFL: Grapevine fanleaf virus; LR-3: Grapevine leafroll associated-virus 3; GVA: Grapevine virus A; GFK: Grapevine fleck virus; B: brotes; H\*: hojas no completamente desarrollada; PH: peciolo de hoja; H: hoja completamente desarrollada; SV: floema de sarmiento verde; SL: floema de sarmiento lignificado; n.d.: material vegetal no disponible al momento del muestreo; (+/t): muestras positivas / total de muestras analizadas. En rojo las mejores prestaciones.



**Cuadro 8: Evaluación económica**



	2002	2003	2004	2005	2006	2007	2008	2009	2010	2011	2012
<b>\$502IUS\$</b>											
superficie pl vm ha	52.366	52.685	53.426	53.426	53.426	53.426	50.755	48.084	45.413	42.742	40.071
prod cajas /ha	2.000	2.000	2.000	2.000	2.000	2.000	2.000	2.000	2.000	2.000	2.000
\$/c/ (10 dol/c)	5.020	5.020	5.020	5.020	5.020	5.020	5.020	5.020	5.020	5.020	5.020
prod cajas	104.732.376	105.370.000	106.852.000	106.852.000	106.852.000	106.852.000	101.510.000	96.188.000	90.826.000	85.484.000	80.142.000
<b>ingresos por c/ vm</b>	<b>525.754.640.000</b>	<b>528.957.400.000</b>	<b>536.397.040.000</b>	<b>536.397.040.000</b>	<b>536.397.040.000</b>	<b>536.397.040.000</b>	<b>509.580.200.000</b>	<b>482.763.360.000</b>	<b>455.946.520.000</b>	<b>429.129.680.000</b>	<b>402.312.840.000</b>
ha repl vm			2.671	2.671	2.671	2.671	2.671	5.342	8.013	10.684	13.355
prod c/ /ha repl							2.400	2.400	2.400	2.400	2.400
prod cajas ha repl							6.410.400	12.820.800	19.231.200	25.641.600	32.052.000
<b>Ingreso 1</b>	<b>525.754.640.000</b>	<b>528.957.400.000</b>	<b>536.397.040.000</b>	<b>536.397.040.000</b>	<b>536.397.040.000</b>	<b>536.397.040.000</b>	<b>32.180.208.000</b>	<b>64.360.416.000</b>	<b>96.540.624.000</b>	<b>128.720.832.000</b>	<b>160.901.040.000</b>
sup pl v/ ha	108.569	110.097	112.056	112.056	112.056	112.056	106.453	130.853	95.247	89.644	84.041
prod vino miles de l	526.496	640.848	605.206	735.991	735.991	735.991	735.991	735.991	735.991	735.991	735.991
litros/ha	4.849	5.821	5.401	6.568	6.568	6.568	6.568	6.568	6.568	6.568	6.568
US\$/l	853.4	853.4	853.4	853.4	853.4	853.4	853.4	853.4	853.4	853.4	853.4
pro vino en l	526.496.000	640.848.000	605.206.000	735.991.000	735.991.000	735.991.000	699.183.304	625.582.296	588.781.792	551.981.288	511.060.831.179
<b>ingresos por vino</b>	<b>449.311.686.400</b>	<b>546.899.683.200</b>	<b>516.482.800.400</b>	<b>628.094.719.400</b>	<b>628.094.719.400</b>	<b>628.094.719.400</b>	<b>596.683.031.634</b>	<b>565.277.481.520</b>	<b>533.871.931.406</b>	<b>502.466.351.293</b>	<b>471.060.831.179</b>
ha repl v			5.603	5.603	5.603	5.603	5.603	11.206	16.809	22.412	28.015
prod vino miles l por rp							7.882	7.882	7.882	7.882	7.882
prod vino miles l p/ha rp							44.162.846	88.325.692	132.488.538	176.651.384	220.814.230
<b>Ingreso 2</b>	<b>449.311.686.400</b>	<b>546.899.683.200</b>	<b>516.482.800.400</b>	<b>628.094.719.400</b>	<b>628.094.719.400</b>	<b>628.094.719.400</b>	<b>37.688.572.776</b>	<b>75.377.145.553</b>	<b>113.065.718.329</b>	<b>150.754.291.106</b>	<b>188.442.863.882</b>
5% ha a repl vm	0	0	2.671	2.671	2.671	2.671	2.671	2.671	2.671	2.671	2.671
p/ha vm			1.200	1.200	1.200	1.200	1.200	1.200	1.200	1.200	1.200
p/para rep vm			3.205.200	3.205.200	3.205.200	3.205.200	3.205.200	3.205.200	3.205.200	3.205.200	3.205.200
5% ha a repl vv	0	0	5.602	5.602	5.602	5.602	5.602	5.602	5.602	5.602	5.602
p/ha vv			1.800	1.800	1.800	1.800	1.800	1.800	1.800	1.800	1.800
p/para rep vv			10.083.600	10.083.600	10.083.600	10.083.600	10.083.600	10.083.600	10.083.600	10.083.600	10.083.600
<b>egresos</b>			<b>320.520.000</b>								
<b>\$100/planta vm libre</b>			<b>1.008.360.000</b>								
<b>\$100/planta vv libre</b>											

Debido al replante de vides libres de virus y fitoplasmas, las nuevas hectáreas replantadas darían:  
 20% aumento de producción de uva de mesa por hectárea (a partir de 2008)  
 16% aumento en litros de vino por hectárea (a partir de 2008)  
 Primer replante año 2004

Primer replante entra en producción el año 2008

Se considera como egreso el valor adicional (\$100/planta) de las nuevas plantas libres de virus y fitoplasmas

El costo de las plantas, trabajos de replante y mantenimiento de las vides no debiera variar y en caso de hacerlo sería menor, debido a menos uso de agroquímicos

# ***ACTIVIDADES DE DIFUSIÓN***

## LUGAR

Sala de Video Conferencia  
BIBLIOTECA RUY BARBOSA  
Facultad de Ciencias Agronómicas  
Universidad de Chile. Campus Antumapu.  
Santa Rosa 11315. La Pintana.

## VALOR INSCRIPCIÓN

Sin costo  
Capacidad limitada

## INSCRIPCIÓN E INFORMACIÓN

Consulta: Sra. Carolina Caroca  
Fono: 9785960 - 9785961  
Fax: 9785726  
E-mail: [anpino@uchile.cl](mailto:anpino@uchile.cl)

## PARTICIPANTES

Ing. Agr. Jaime E. Araya  
Ing. Agr. Nicola Fiore  
Ing. Agr. Jaime R. Montealegre

## COORDINADORES

Ana Maria Pino  
Nicola Fiore  
Jaime R. Montealegre

FINANCIADO POR FUNDACIÓN PARA LA  
INNOVACIÓN AGRARIA (FIA)  
PROYECTO CÓDIGO BID-PI-C-2001-1-A-013  
"Elaboración de un sistema confiable para la  
detección y caracterización de virus y fitoplasmas  
que afectan a la vid"



**UNIVERSIDAD DE CHILE**  
FACULTAD DE CIENCIAS AGRONÓMICAS  
DEPARTAMENTO DE SANIDAD VEGETAL  
DEPARTAMENTO DE PRODUCCIÓN  
AGRÍCOLA

## CHARLA TÉCNICA Y DÍA DE CAMPO

***"FITOPLASMAS EN VID:  
ASPECTOS EPIDEMIOLÓGICOS"***

30 de mayo de 2007

SANTIAGO, CHILE

## Elaboración de un Sistema Confiable para la Detección y caracterización de Virus y Fitoplasmas que afectan a la Vid

### FINANCIAMIENTO

## Fundación para la Innovación Agraria

FIA-BIOT-BID-PI-C-2001-1-A-013  
2001-2005

1 Diciembre 2005 al 30 de noviembre 2007



### OBJETIVO GENERAL

Desarrollar un sistema de diagnóstico basado en técnicas moleculares (serología y amplificación génica) y caracterización de los principales virus y fitoplasmas que afectan la vid.

### OBJETIVO GENERAL

Determinar presencia de fitoplasmas en insectos vectores y plantas reservorios (V, Metropolitana, VI y VII)

## OBJETIVOS ESPECÍFICOS

Determinar langostinos infectados por fitoplasmas

Determinar plantas infectadas por fitoplasmas asociadas al cultivo de la vid

Difundir los resultados obtenidos en el proyecto

## UNIDADES PARTICIPANTES

Universidad de Chile Fac. de Cs. Agronómicas  
Deptos. de Producción Agrícola y Sanidad Vegetal  
Laboratorios de Certificación Frutal, Microbiología y Nematología.

Università di Bologna - ITALIA  
Università di Torino - ITALIA

## EMPRESAS PARTICIPANTES

Vina Santa Rita S.A.  
Viñedos Emiliana S. A.

## EQUIPO DE TRABAJO

Nicola Fiore Ing. Agr. Fitopatólogo-Virologo  
Jaime Araya Ing. Agr. Ph. D. Entomólogo  
Erwin Aballeo Ing. Agr. MSc. Nematólogo  
Ana M. Pino Ing. Alimentos  
Jaime Montealegre Ing. Agr. Fitopatólogo

Assunta Bertaccini Ing. Agr. Dr. Fitoplasmatóloga  
Università di Bologna - Italia  
Alberto Alma Ing. Agr. Ph. D. Entomólogo  
Università di Torino- Italia

## HEMIPTERA

### AUCHENORRHYNCHA

JAIME ARAYA CLERICUS



## HEMIPTERA

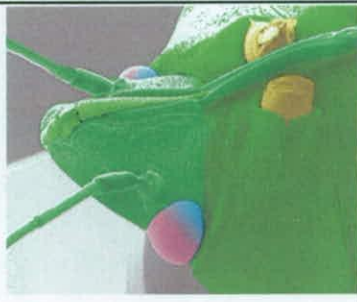
- Orden cosmopolita de insectos con > 67,500 spp. en 3 subórdenes (recientemente 4).
- Estas taxa se agrupaban en 2 órdenes, **Homoptera** y **Heteroptera** (que se usa a menudo como sinónimo de Hemiptera).

## HEMIPTERA

- Homoptera es ahora obsoleto, y Heteroptera está siendo reemplazado por Prosorrhyncha.
- Hemiptera {subórdenes Auchenorrhyncha y Sternorrhyncha}.
- Recientemente, el suborden Auchenorrhyncha se divide en dos, Archaeorrhyncha y Clypeorrhyncha.

## Hemiptera = Heteroptera

- Incluye Homoptera, aunque algunos lo consideran un orden separado.
- Aparato bucal picador-chupador.
- Opistognatos.



## HEMIPTERA

- Chinchas verdaderos.
- *Heteroptera*: 1<sup>er</sup> par de alas membranosas desde la mitad.
- *Hemiptera*: media-ala (*en griego*).



## Heteroptera

- Hemiptera se distinguen de otros insectos por su proboscis (ninfas y adultos) con un canal de saliva y otro de alimentación.
- Con la proboscis chupan jugos de plantas, pero también hay depredadores de animales pequeños, y algunos hematófagos en mamíferos.

## AUCHENORRHYNCHA

- Suborden de Hemiptera que agrupa a la mayoría de los Homoptera tradicionales, como las chicharras (cicadas), langostinos (cicadélidos), membrácidos, fulgóridos y cercópodos.

## AUCHENORRHYNCHA

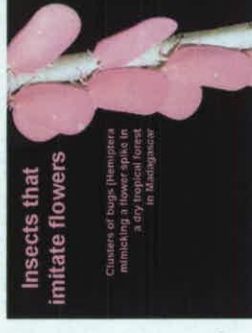
- Suborden de Hemiptera que agrupa a las cicadas, langostinos, membrácidos, fulgóridos y cercópodos.
- Muchos Auchenorrhyncha producen sonidos audibles o vibraciones para comunicarse.

## AUCHENORRHYNCHA

- Los áfidos (pulgones), escamas y conchuelas ("Homoptera"), están en el suborden Sternorrhyncha.

## FULGOROIDEA (AUCHENORRHYNCHA)

- Parecen hojas o pétalos.
- A menudo saltan (treehoppers) para desplazarse, pero generalmente caminan lentamente para no ser notados.



## FULGOROIDEA (AUCHENORRHYNCHA)

- Treehoppers distribuidos en todo el mundo, pero con pocas plagas.
- Se distinguen de los otros "Homoptera" clásicos por la vena anal bifurcada con forma de Y en alas delanteras, y antenas gruesas con 3 segmentos, el 3º globoso con una arista fina.

## CICADIDAE (AUCHENORRHYNCHA)

- ≈ 2.500 especies en el mundo.
- Mayoría tropicales y subtropicales.
- Algunas tienen ciclos de varios años.



### CICADIDAE (AUCHENORRHYNCHA)

- Cabezas anchas con ojos separados y membrana de sonido (hasta > 120 dB).
- Grandes alas transparentes.



17-yr  
cicada

### CICADIDAE (AUCHENORRHYNCHA)

- Debilitan el follaje y dejan heridas por ovipositora en ramillas.



### CICADIDAE (AUCHENORRHYNCHA)

- Sirven de alimento en Asia, Australia, Norte y Sudamérica y África (y en Grecia antigua).
- Se usan en medicina tradicional china y japonesa para tratar dolencias auditivas.

### CERCOPIIDAE (AUCHENORRHYNCHA)

- Las ninfas se cubren con espuma de savia para evitar deshidratación y depredadores.



## MEMBRACIDAE (AUCHENORRHYNCHA)

- Ca. 3000 especies en >600 géneros.
- Treehoppers con pronoto alargado y ornamentado, que a menudo parece una espina (camuflaje).



Bizarre Membracid  
from Mexico



Algunos membrácidos  
con formas espinosas

Spiny Membracid  
from Costa Rica



## CICADELLIDAE (AUCHENORRHYNCHA)

- Se encuentran en todo el mundo.
- 2ª familia más numerosa de [Hemiptera](#), con ca. 20.000 spp. descritas.



*Empoasca fabae*

## ALGUNAS CARACTERÍSTICAS DE CICADELLIDAE

- Antena muy corta con base gruesa y arista terminal.
- 2 ojos simples (ocelos) en corona o frente.
- Tarsos con 3 segmentos.
- Fémures de 1<sup>er</sup> par de patas pueden tener espinas débiles.

### CARACTERÍSTICAS DE CICADELLIDAE...

- Tibias traseras con 1 o más quillas, c.u. con una hilera de espinas móviles, a veces sobre bases grandes.
- Base del 2º par de patas muy cerca cuando nacen bajo el tórax.
- 1º par de alas no particularmente engrosadas.

### CICADELLIDAE (AUCHENORRHYNCHA)

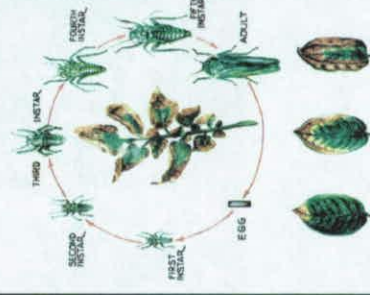


- Se alimentan de savia (a veces de insectos pequeños) y pueden transmitir virus y bacterias.

### CICADELLIDAE (AUCHENORRHYNCHA)

- Algunos langostinos son plagas agrícolas severas, como los de la papa, remolacha, chicharrita de alas cristalinas y del manzano.

### Langostino de la papa



Ciclo

Daño (hopperburn) en alfalfa

## Quemadura disminuye rendimiento

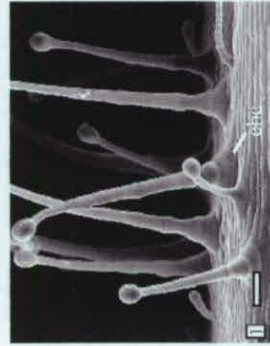


## Langostino de la papa

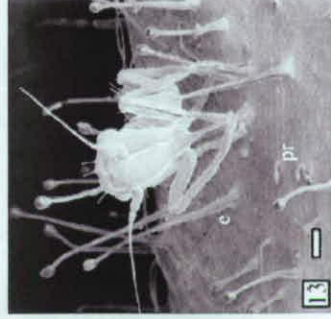


- Control conjunto con sistémicos contra pulgones.

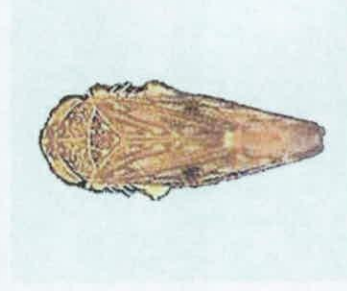
## Uso de variedades resistentes



Tricomas glandulares en alfalfa y ninfa atrapada



## Langostino de la remolacha



- Vector de la amarillez virosa.
- BMVY y BYV causan hojas gruesas y quebradizas. Reducen azúcar hasta 20%.

## Amarillez virosa

- Enfermedad causada por BYV y BMV, transmitidos por pulgones y langostinos.



## Amarillez virosa

- Los vectores adquieren virus en plantas infectadas o cultivos de remolacha aún no cosechados, chenopodiáceas (espinaca, quingüilla y atriplex) o plantas voluntarias de remolacha.
- Control con insecticidas al detectarse los primeros alados.

## Langostino del manzano



## Adulto y ninfa de *E. crataegui*



## Langostino del manzano

- Plaga secundaria.
- Adulto: 2-3 mm; amarillo marrón; alas anteriores tornasol característico.
- Causa decoloración punteada en hojas, y manchas negras de excrementos que disminuyen calidad de la fruta.
- Inverna como huevo encastrado en ramillas.

## Daños del langostino del manzano



Punteado en hojas



Manzana manchada

## Langostino del manzano

- Comúnmente en huertos abandonados.
- Aumento de densidad en huertos bajo aplicaciones de fosforados contra *Cydia pomonella*.
- ¿Tolerancia o resistencia a estos insecticidas, como en NZ hacia azinfosmetil?

## Chicharrita de alas cristalinas

- Se introdujo en Pascua desde Tahiti.
- Hospederos variados, especialmente cítricos.
- Transmite enfermedad de Pierce en vid.



Adulto con manchas de brocosomas

## Estados de desarrollo



Ninfa



Huevos en hoja desde arriba



Huevos en envés de hoja

## Control biológico y daños



Huevos parasitados por *Gonatocerus triguttatus*



Fruta manchada



## Enfermedad de Pierce



- El vector y la enfermedad tienen control cuarentenario para Chile continental.
- *Xylella fastidiosa* no se ha encontrado en Pascua.

## Bacteria *Xylella fastidiosa*



Daños en hojas, sarmientos y racimo



Daño en hojas de almendro



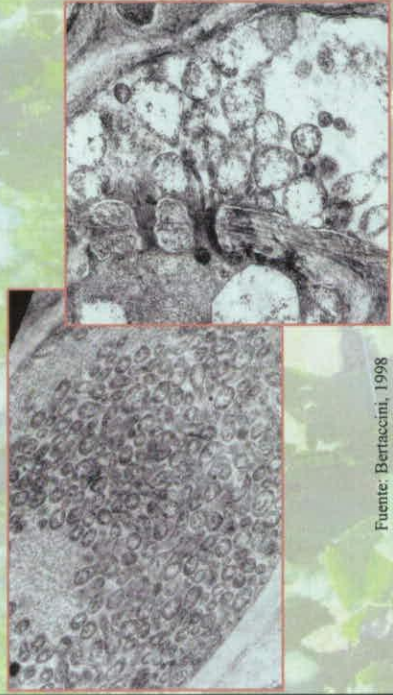

 UNIVERSIDAD DE CHILE  
 FACULTAD DE CIENCIAS  
 AGRONÓMICAS


 GOBIERNO DE CHILE  
 FUNDACIÓN PARA LA  
 AGRICULTURA  
 MINISTERIO DE AGRICULTURA

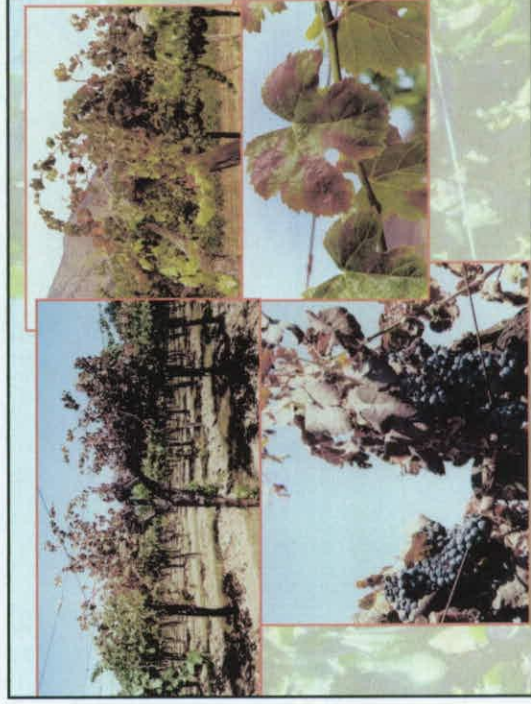
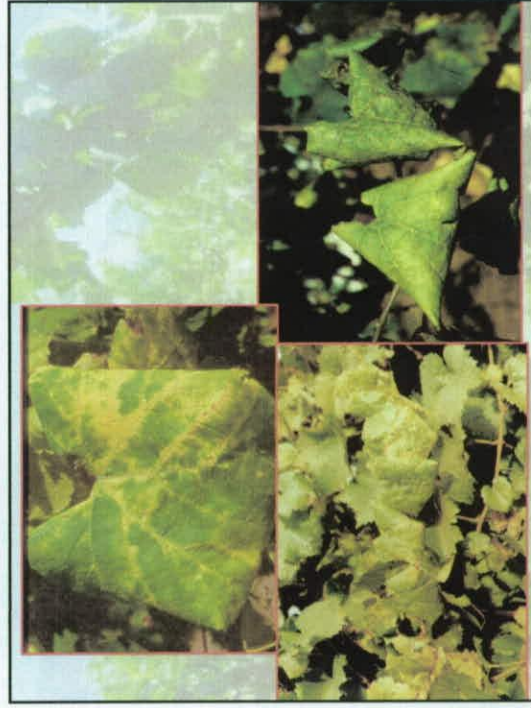
# Potenciales insectos vectores y plantas reservorios de fitoplasmas asociados a los viñedos chilenos

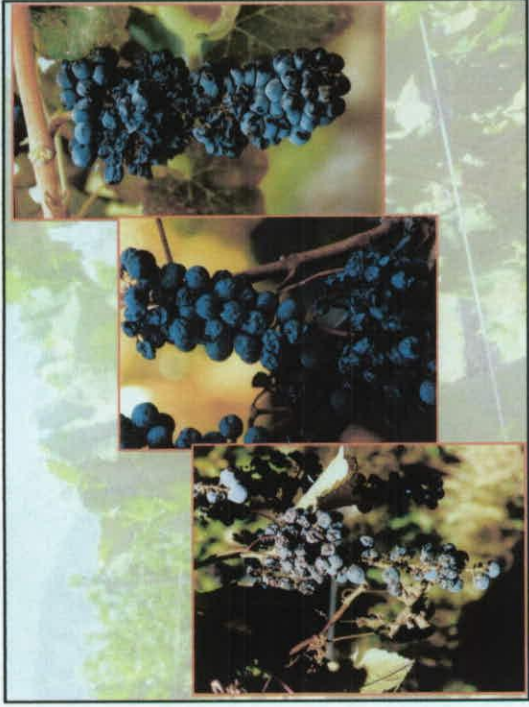
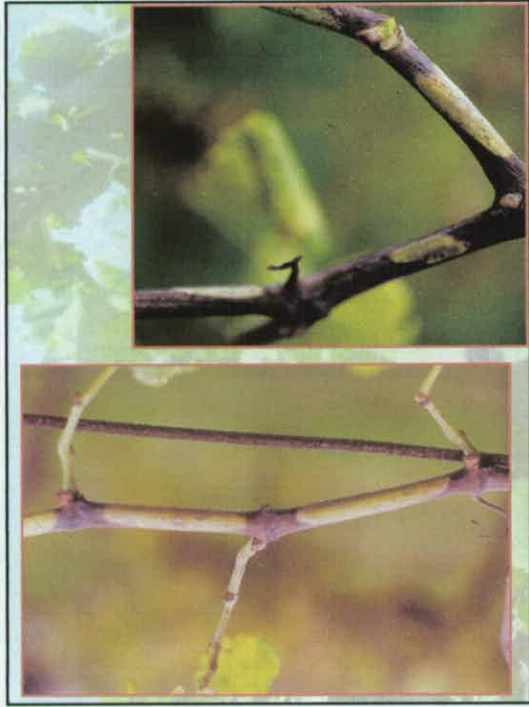
Ing. Agr. Nicola Fiore

# FITOPLASMAS



Fuente: Bertaccini, 1998





## Fitoplasmas de importancia epidémica en vid en Europa

16SrV-C e-D Flavecencia dorada o *Flavescence dorée*

- Genéticamente variable en el tiempo
- Epidémico
- Objeto de normas de cuarentena
- Transmitido por el cicadélido ampelófago *Scaphoideus titanus*

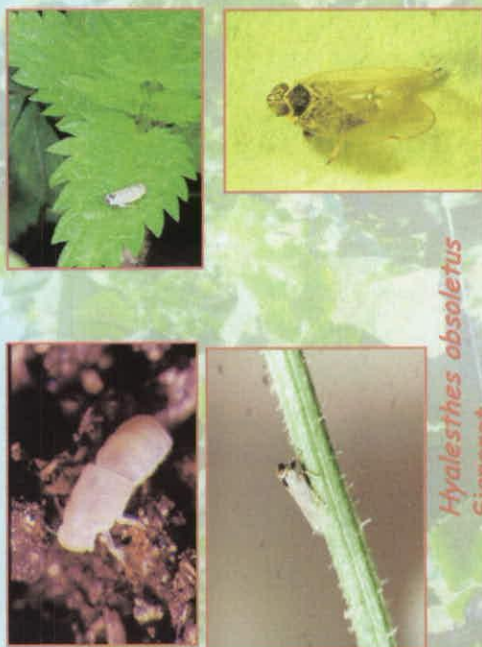
Estado juvenil de *Scaphoideus titanus* Ball

# Fitoplasmas de importancia epidémica en vid en Europa

16SrXII-A Madera Negra o

Bois Noir

- Genéticamente estable
  - Normalmente endémico
  - Transmitido por el Cixíde no ampelófago
- Hyalesthes obsoletus* y por .... ????



*Hyalesthes obsoletus*  
Signoret



*Reptalus panzeri*

## PORCENTAJE DE INFECCIÓN DE FITOPLASMAS EN VIDES



**Muestras positivas: 73/183 → 40%**

Carménère, Chardonnay, Petit Syrah, C. Sauvignon, Merlot, Pinot Noir, Sauvignon Blanc.

Thompson Seedless, Autumn Royal, Flame, Red Globe. Freedom, Harmony.

-Pisqueras, Tintoreria.

## Fitoplasmas detectados en vides en el mundo (listado actualizado con datos chilenos)

<b>16SrI</b> (Aster yellows group)	16SrI-A
Tomato big bud (EEUU; Virginia)	16SrI-B
Aster yellows (Italia, Chile)	16SrI-C
Clover phyllody (Italia, Chile)	16SrII-D
<b>16SrII</b> (Peanut witches' broom)	16SrIII-J
Sweet potato little leaf (Australia)	16SrV-A
<b>16SrIII</b> (X-disease group)	16SrV-C
Virginian Grapevine yellows (EEUU)	y 16SrV-D
<b>16SrIV</b> (Elm yellows group)	<b>16SrVII-A</b>
Elm yellows (Alemania, Italia)	16SrX-B
Flavescencia dorada (Francia, España, Norte de Italia, Serbia)	16SrXII-A
<b>16SrVII</b> (Ash yellow group)	16SrXII-B
Ca. Phytoplasma fraxini (Chile)	<b>16SrXII-C?</b>
<b>16SrX</b> (Apple proliferation group)	
European stone fruit yellows (Hungria, Serbia)	
<b>16SrXII</b> (Stolbur group)	
Madera Negra (U. Europea, Croacia, Serbia, Israel, Chile)	
Ca. Phytoplasma australiense (Australia)	
Grapevine yellows (Chile)	

## DAÑOS POR FITOPLASMAS EN VID

flavescencia dorada en Italia

**1995: Vicenza/Verona (Veneto)**

- ✓ Reducción del 50% de la producción
- ✓ Cierre de algunas bodegas

**1999: Piacenza-Pavia (Emilia/Lombardia)**

- ✓ Reducción del 50-80% de la producción

## DAÑOS POR FITOPLASMAS EN VID

en Chile

**2004: Var. Merlot**

- ✓ ¿Deshidratación de las bayas al momento de la cosecha?

**2002: Var. Carménère y Petit Syrah**

- ✓ Deshidratación de las bayas al momento de la cosecha.
- ✓ Muerte de plantas asociada a presencia de hongos fitopatógenos.
- ✓ Baja producción.

Doble influencia en la planta infectada:

- 1) interfieren sobre el normal funcionamiento de los tubos cribosos determinando reducción de velocidad o bloqueo de la savia;
- 2) alteran el equilibrio de los reguladores de crecimiento (hormonas) induciendo malformaciones y anomalías del desarrollo.

# CONTROL

Basado principalmente en la prevención

Para la prevención de enfermedades debidas a fitoplasmas.....

Controlar la sanidad vegetal del material vegetal de propagación

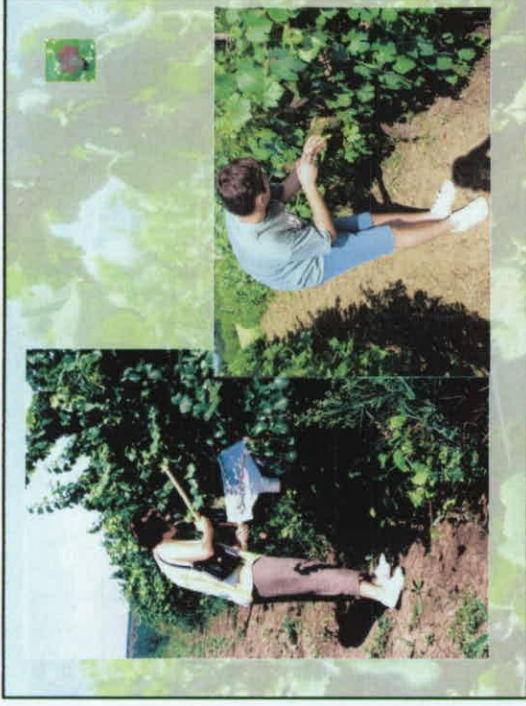


Uso de material vegetal sano (mejor si es certificado)



Para la prevención de enfermedades debidas a fitoplasmas.....

Controlar la presencia de insectos vectores y plantas hospederas secundarias



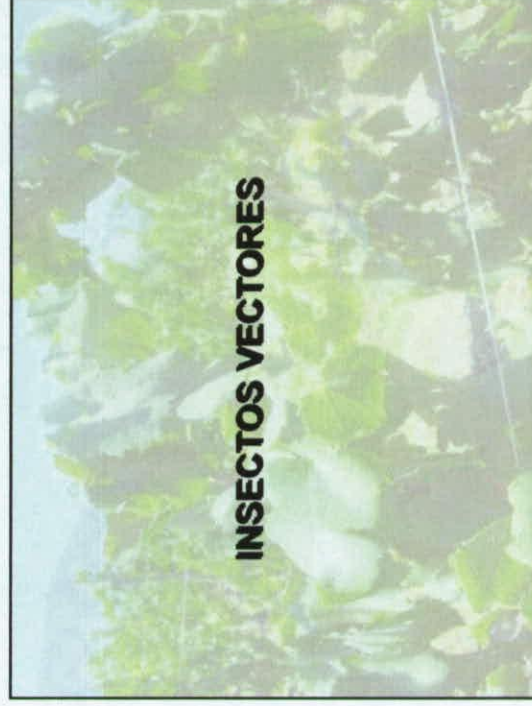
Periodo de latencia después de la infección con insectos:

una temporada

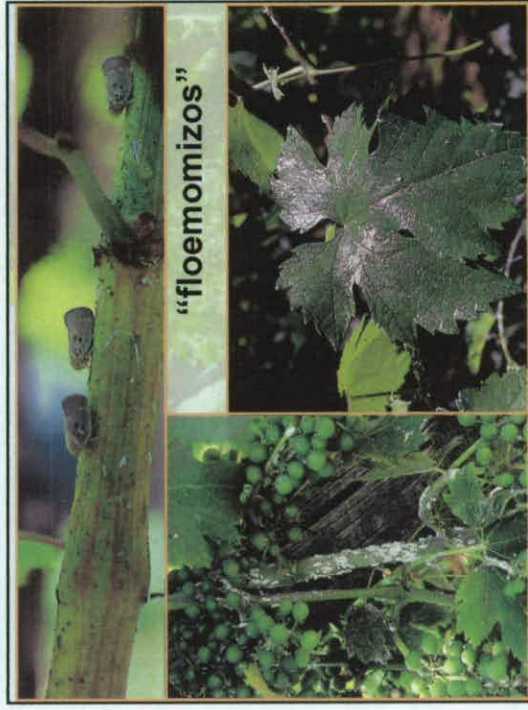
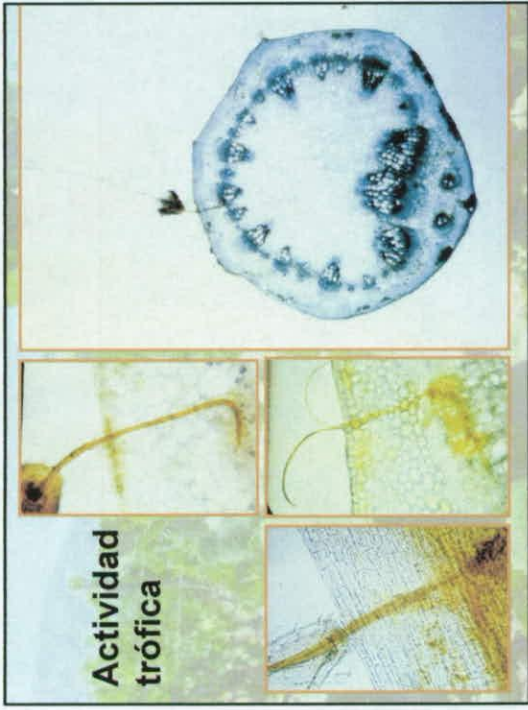
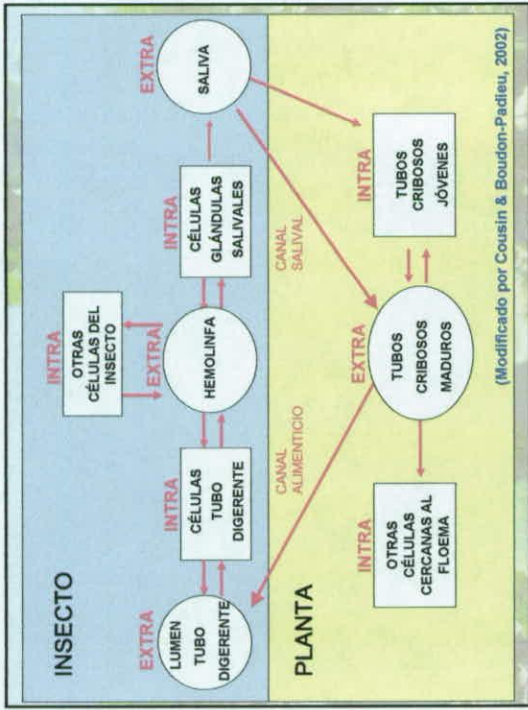


Periodo de latencia después de la transmisión a través del material de propagación:

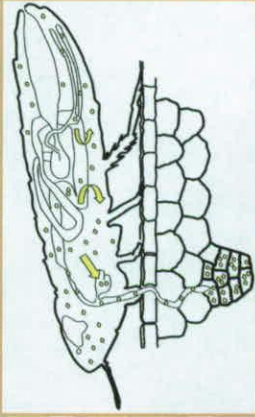
1-2 ..... 3 ??? años



INSECTOS VECTORES



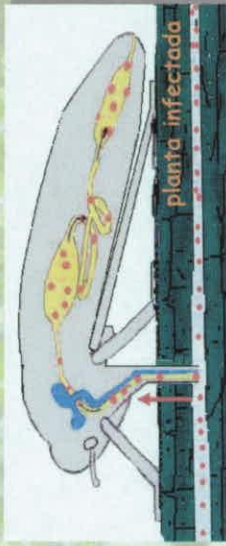
## Los fitoplasmas son transmitidos según la modalidad persistente-propagativa



1. adquisición
2. latencia
3. inoculación

## Vectores / fitoplasmas

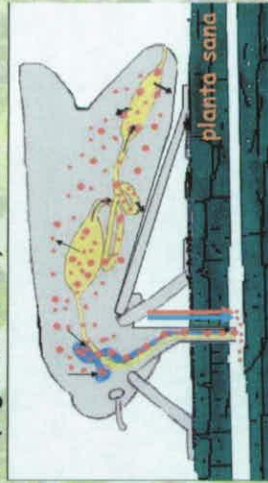
**Adquisición:** los fitoplasmas son adquiridos por las formas juveniles durante la alimentación y se acumulan en el intestino (horas - días)



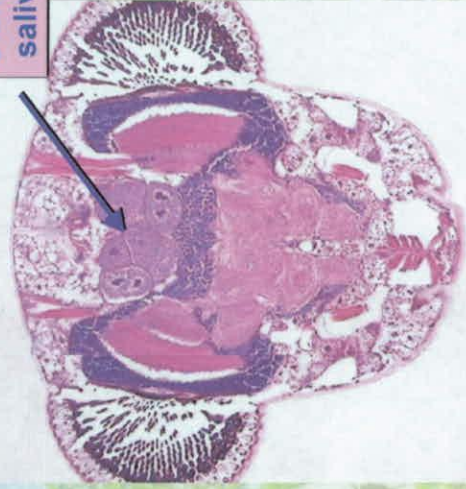
## Vectores / fitoplasmas

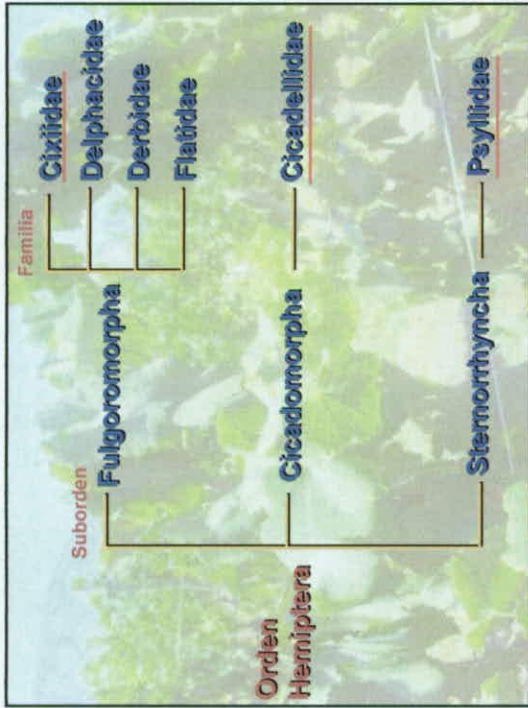
**Latencia:** el fitoplasma circula, se multiplica en el vector y alcanza las glándulas salivales (14-28 días)

**Inoculación:** el fitoplasma durante la actividad trófica es transmitido a través de la introducción de la saliva (algunas horas)



## Glándulas salivales





## AUQUENORRINCOS VECTORES DE AGENTES FITOPATÓGENOS DE INTERÉS VITÍCOLA

*Fulgoromorpha y Cicadomorpha*

- fam. Cixiidae
- fam. Delphacidae
- fam. Derbidae
- fam. Flatidae
- fam. Cicadellidae

sección *Auchenorrhyncha*

### Fulgoromorpha y Cicadomorpha

- fam. Cixiidae
- fam. Delphacidae
- fam. Derbidae
- fam. Flatidae

*Hyalestes absoletus*

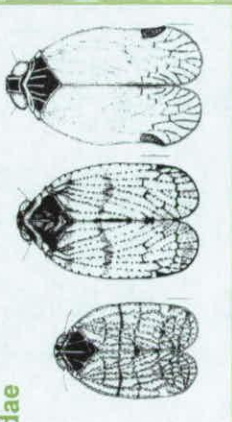
*Metcalfa pruinosa*

- fam. Cicadellidae

Subfamilia

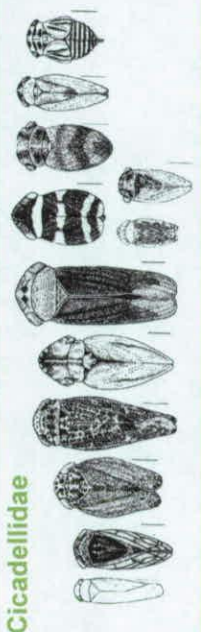
- Deltoccephalinae: Euscelidius, Euscelis, Macrosteles
- Macropsinae: Fieberiella, Scaphoideus, Psammotettix, Amplicephalus.
- Macropsinae: Macropsis, Oncopsis
- Agallinae: Anaceratagallia (=Agallia)

### Cixiidae



*Hyalestes absoletus*

### Cicadellidae



*Scaphoideus titanus*

## AUQUENORRINCOS VECTORES DE FITOPLASMAS EN EUROPA

## VECTORES NATURALES DE FITOPLASMAS EN VID EN EUROPA

*Scaphoideus titanus*

FD

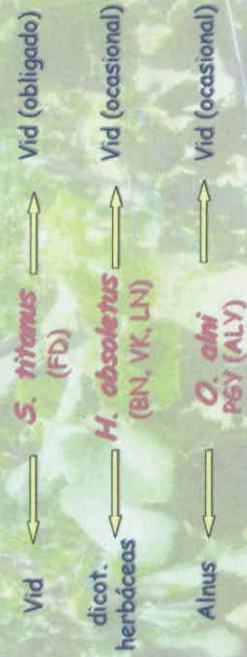
*Hyaletthes obsoletus*

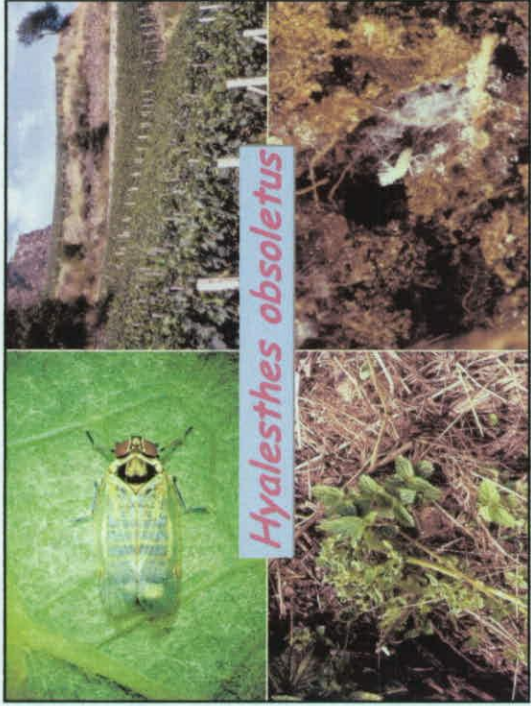
BN, VK, LN

*Oncopsis alni*

PGY (ALY)

## RELACIONES VECTOR - PLANTA





El fitoplasma de lo Stolbur es muy común en malezas herbáceas (*Urtica*, *Convolvulus*, *Calystegia*, *Ranunculus*...)

Síntomas de enanismo y enrojecimiento en *Convolvulus arvensis*

Amarillices en *Parietaria diffusa*

El fitoplasma de lo Stolbur es muy común en poblaciones naturales de *H. obsoletus*.



Muchas otras especies de auquenorrincos son potenciales vectores del agente causal de Madera Negra. Las especies siguientes se han encontrado positivas a los fitoplasmas del grupo Stolbur:

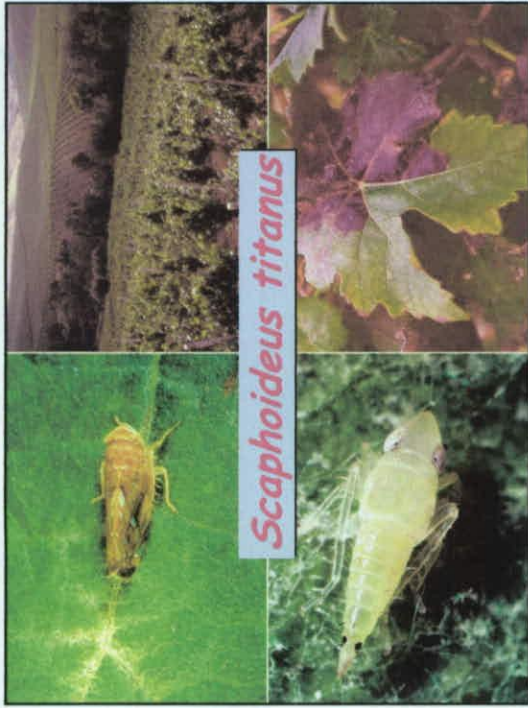
- *Laodelphax striatellus*
- *Stictiocephala bisonia*
- *Aphrodes* sp.
- *Zyginidia scutellaris*
- *Balclutha* sp.
- *Macrosteles* sp.
- *Mocydia crocea*
- *Euscelis* sp.
- *Psammotettix* sp.

(Fos et al., 1992)

CICLO CERRADO  
ENTRE VID Y VID



- *Neolaliturus fenestratus* (Fos et al., 1992; Orenstein et al., 2003)
- *Pentastiridius beieri* (Gatineau et al., 2001)
- *Orosius orientalis* (Klein et al., 2001)
- *Circulifer haematoceps* (Orenstein et al., 2003)
- *Macrosteles quadripunctulatus* (Orenstein et al., 2003)
- *Gonlagnathus guttulinervis* (Garau et al., 2004)
- *Reptalus panzeri* (Palermo et al., 2004)



**Scaphoideus titanus**

**Especies de Scaphoideus vectores o potenciales de fitoplasmas en plantas leñosas**

Especie	Fitoplasmas
<i>Scaphoideus densus</i> Delong	Ash yellows, X-disease
<i>Scaphoideus elongatus</i> Delong	Ash yellows, X-disease
<i>Scaphoideus intricatus</i> Uhler	Ash yellows

Especie	Fitoplasmas
<i>Scaphoideus luteolus</i> Van Duzee	Elm phloem necrosis
<i>Scaphoideus minor</i> Osborn	Ash yellows, X-disease
<i>Scaphoideus obtusus</i> Osborn	Ash yellows, X-disease
<i>Scaphoideus titanus</i> Ball	Ash yellows, X-disease, Grapevine yellows
	Elm yellows (FD)



## CICLO NATURAL (cerrado)



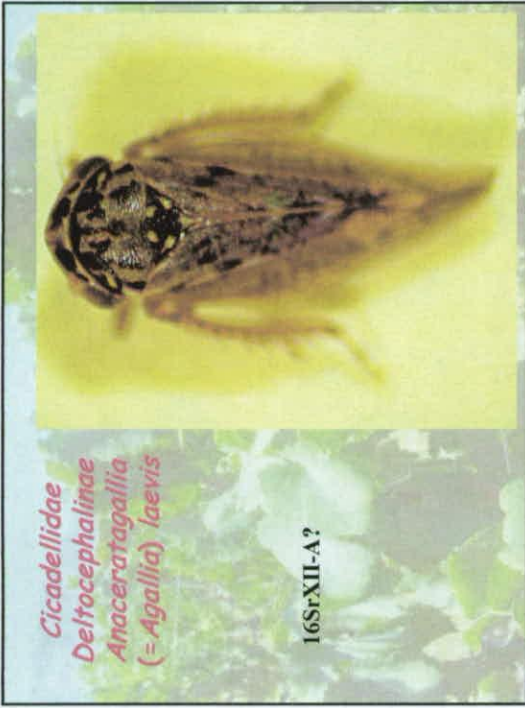
## Insectos y plantas asociadas a viñedos chilenos

### Fitoplasmas detectados en vides en el mundo (listado actualizado con datos chilenos)

- 16SrI (Aster yellows group)  
Tomato big bud (EEUU; Virginia)
- Aster yellows (Italia, Chile)
- Clover phyllody (Italia, Chile)
- 16SrII (Peanut witches' broom)
- Sweet potato little leaf (Australia)
- 16SrIII (X-disease group)  
Virginian Grapevine yellows (EEUU)
- 16SrV (Elm yellows group)  
Elm yellows (Alemania, Italia)
- Flavescencia dorata (Francia, España, Norte de Italia, Serbia)
- 16SrVII (Ash yellow group)  
Ca. *Phytoplasma fraxini* (Chile)
- 16SrX (Apple proliferation group)  
European stone fruit yellows (Hungría, Serbia)
- 16SrXIII (Stolbur group)  
Madera Negra (U. Europea, Croacia, Serbia, Israel, Chile)
- Ca. *Phytoplasma australiense* (Australia)
- Grapevine yellows (Chile)

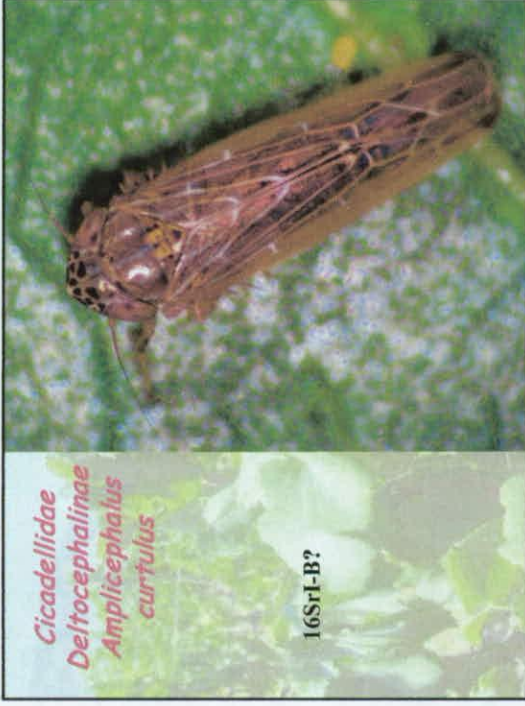
- 16SrI-A
- 16SrI-B
- 16SrI-C
- 16SrII-D
- 16SrIII-J
- 16SrV-A
- 16SrV-C
- y 16SrV-D
- 16SrVII-A
- 16SrX-B
- 16SrXII-A
- 16SrXII-B
- 16SrXII-C





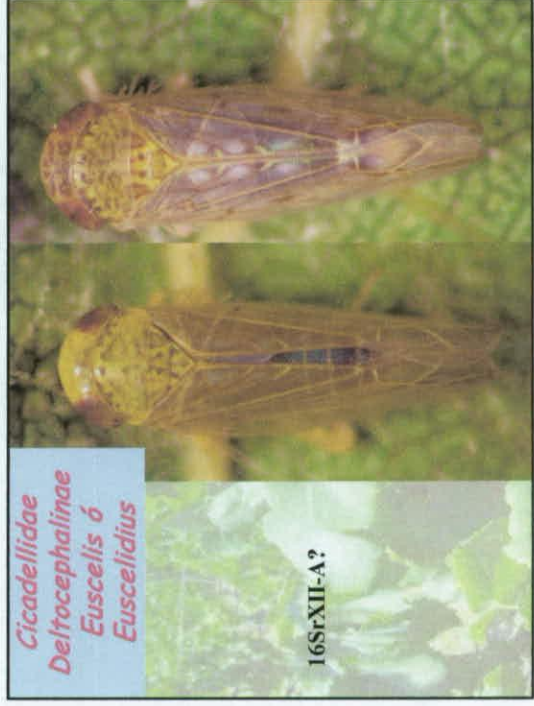
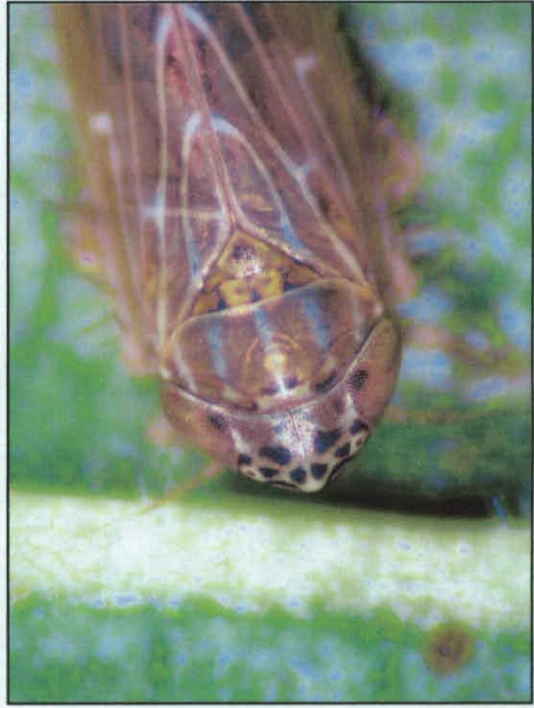
*Cicadellidae*  
*Deltocephalinae*  
*Anaceratagallia*  
(= *Agallia*) *laevis*

16SrXII-A?



*Cicadellidae*  
*Deltocephalinae*  
*Amplicephalus*  
*curtulus*

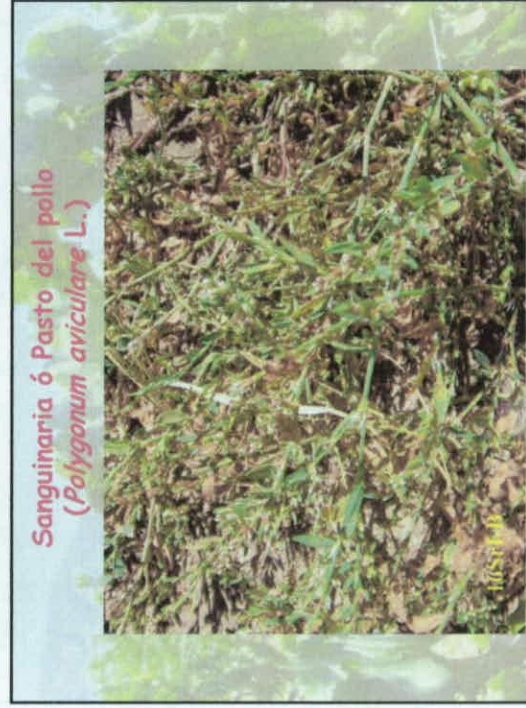
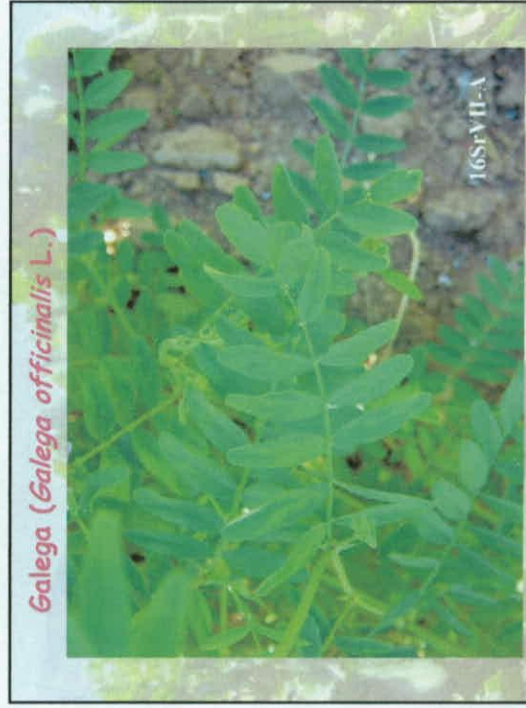
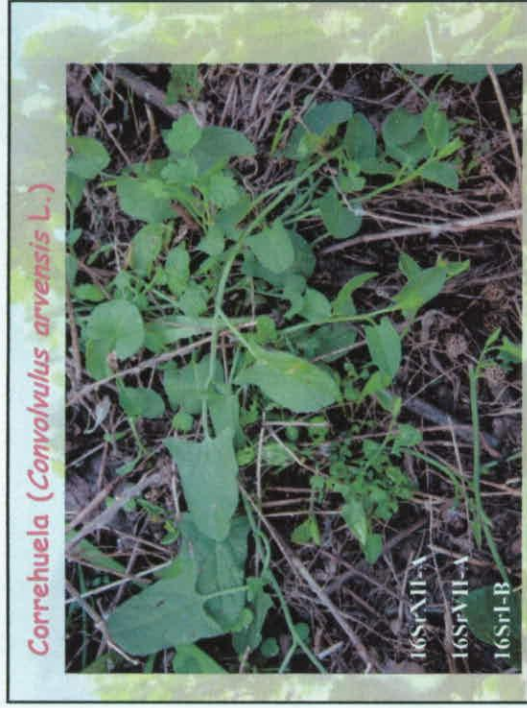
16SrI-B?



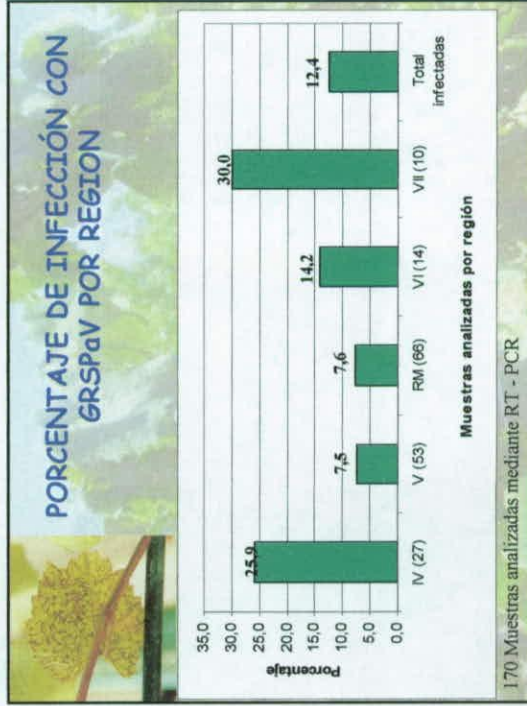
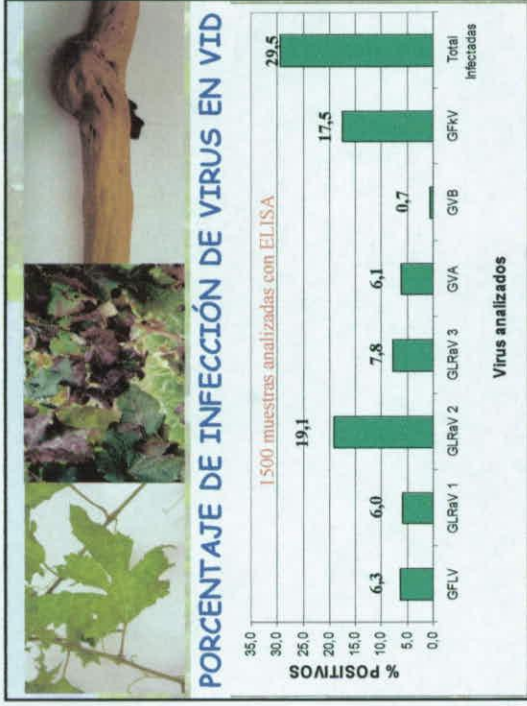
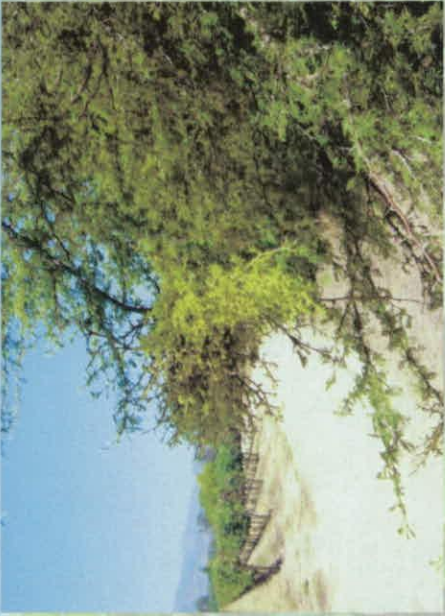
*Cicadellidae*  
*Deltocephalinae*  
*Euscelis* ♂  
*Euscelidius*

16SrXII-A?





Espino  
Acacia caven (Mol.) Mol.



# Registro Asistencia a Charla Técnica:

Nombre Actividad: Charla Técnica y Día de campo "Fitoplasmas en vid: Aspectos Epidemiológicos"

Fecha: 30 de Mayo de 2007

Asistentes:

Lugar: Salón Video Conferencia Campus Sur  
BIBLIOTECA RUY BARBOSA

Nombres	Apellido	Empresa	E-mail	Firma
Ricardo	Bravo Burgos	Particular	nastie - anson@hotmail.com	
Jorge Valen	Vidal	Sa Rur	R. Vidal C. UTR	
Pablo Barbosini	Valenzuela	UNA Stz. Niz	jvalen@unab.cl	
Tomislav	Garbini	VINA Luis Felipe Edwards	lpedwards@unab.cl	
Carolina Riquelme	Curkovic	U. Chile	carukovi@uchile.cl	
Isabel Margarita	del Real	SAG	Carolina_riquelme@sag.gob.cl	
Fab. Ramirez	Varon	U. Mayor	ISADCPRE@HOTMAIL.COM	
Martene (Prado)	Robles	U. de Chile	martinez@uchile.cl	
Sebastián Anores	Miranda	Particular	Sebastianalejandro@unab.cl	
Pamela	Chavez	Programa Magister UdeChile	Sebastianalejandro@unab.cl	
Maria Eugenia	Moreno	Aserer Aluma Magister	Sebastianalejandro@unab.cl	
Leonel Francisco	Inostroza	U. de Chile	Sebastianalejandro@unab.cl	
Carolina	Ugualde	Particular	Sebastianalejandro@unab.cl	
Lacolei	Leferos	Particular	Sebastianalejandro@unab.cl	
Rebeca	Castillo	SAG. Lo Aguirre	Sebastianalejandro@unab.cl	
FELIPE	SILVA	SAG Lo Aguirre	Sebastianalejandro@unab.cl	
Maniella	Barbosa	SAG. Lo Aguirre	Sebastianalejandro@unab.cl	

# Registro Asistencia a Charla Técnica:

Nombre Actividad: Charla Técnica y Día de campo "Fitoplasmas en vid: Aspectos Epidemiológicos"

Fecha: 30 de Mayo de 2007

Asistentes:

Lugar: Salón Video Conferencia Campus Sur  
BIBLIOTECA RUY BARBOSA

Nombres	Apellido	Empresa	E-mail	Firma
Claudia	Conalán	FNIA	claudia.ced@yahoo.com	
Rafaela	Obispo	FNIA	RafaelaObispo@yahoo.com	
Paola	Valdés	U Chile	paola.valdes@zazul.cl	
Valentina	Valenzuela	U. de Chile	carixarenas@gmail.com	
Lebestian	Terreño	Ste. Caroline	sherene@autocarro.com	
Carolina	Orchard	Agricultura Chena	carolina.orchard@gmail.com	
Manuel Tomasaide	Toro	Servicio Agrícola y Ganadero	MANUEL.TORO@SAG.GOB.CL	
Paula Andrea	Ordones	Particular	andreaod@yahoo.com	
Eduardo Fuentes	FUENTES	U. Guillermo C. Miller SA	FUENTES@GREENWICH.CL	
Marco	Muniz	SAG - Central	marco.muniz@reg.gob.cl	
Cecilia	Miccóli	SAG - Central	cecilia.miccocoli@sag.gob.cl	
Fernando Torres	Torres	SAG - Central	fernando.torres@sag.gob.cl	
Jenny	Frias	U. de Chile	JFriasmi@trials.com	
Paulina de pulido		FNIA	paulina@fnia.cl	
MA. VALENTINA MUJICA	MUJICA TEJIZ	U. DE TALCA	mmujica@utalca.cl	





# MENBRACIADAE (AUCHENORHYNCHIA)

- Ca. 3500 especies en >600 géneros.
- Treshoppers con pronoto alargado y ornamentado, que a menudo parece una espina (camuflaje).

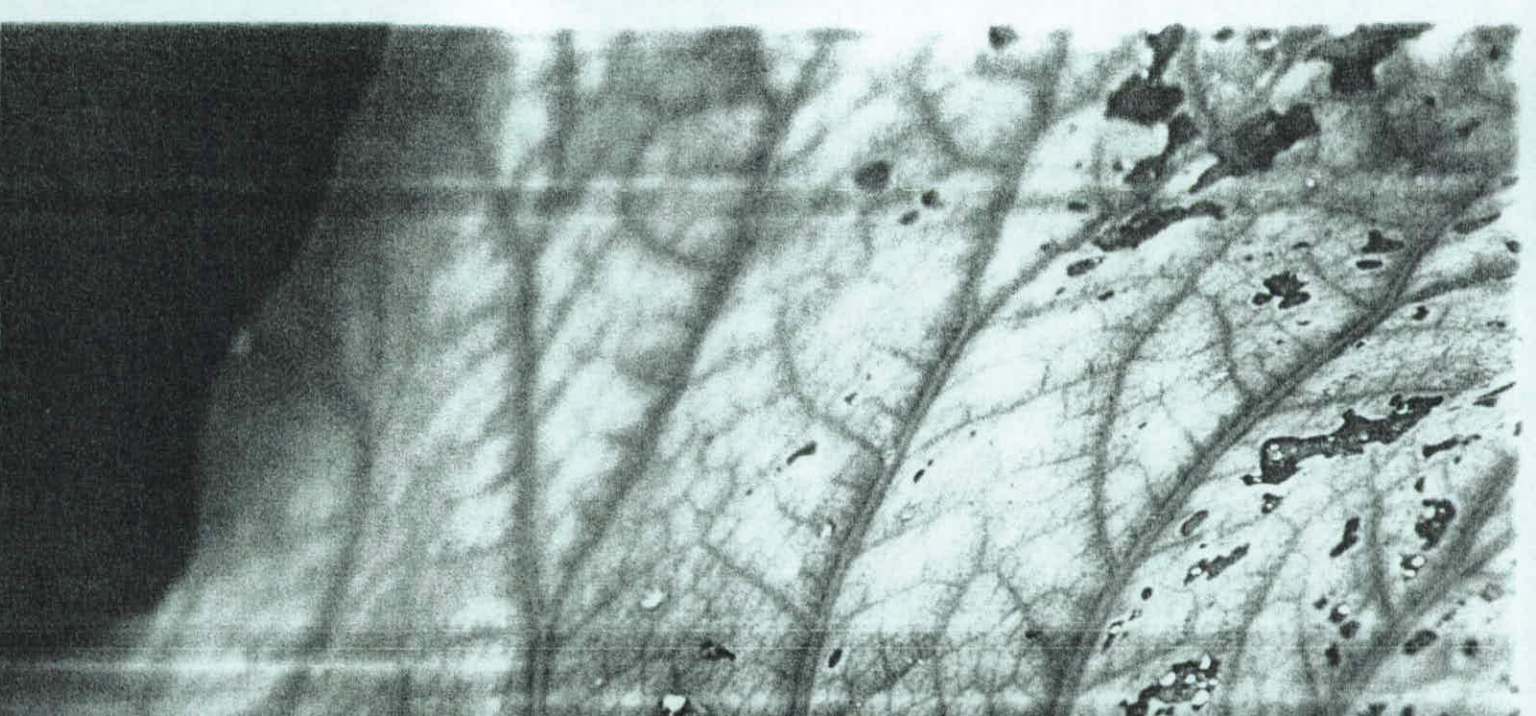


GOBIERNO DE CHILE  
Ministerio del Medio Ambiente y Desarrollo Sustentable  
Instituto de Conservación de Recursos Acuáticos

www.bic.gov.cl







5-6 de Noviembre 2007

Casa Central P. Universidad Católica de Chile, Santiago

II reunión de **biología**  
**vegetal**



**COMITE ORGANIZADOR**

Patricio Arce  
P. Universidad Católica de Chile

Marlene Ayala  
P. Universidad Católica de Chile

Virginia Garretón  
Austral Biotech & Universidad Santo Tomás

Rodrigo A. Gutiérrez (Coordinador)  
P. Universidad Católica de Chile

Xavier Jordana  
P. Universidad Católica de Chile

Michael Handfor  
Universidad de Chile

Loreto Holuigue  
P. Universidad Católica de Chile

Erwin Krauskopf  
Universidad Andrés Bello

Alejandra Moya  
Universidad de Talca

Ariel Orellana  
Universidad Andrés Bello

Marlene Rosales  
Instituto de Investigaciones Agropecuarias

Herman Silva  
Universidad Andrés Bello

## MEETING PROGRAM

**Monday November 5<sup>th</sup>**

### MORNING

**9:00 – 9:45** Registration and poster set up.

**9:45 – 10:10** Welcome (Rodrigo Gutiérrez)

---

**10:10-11:10** Seminar

**Dr. Pamela Green.** Delaware Biotechnology Institute. University of Delaware. **“Elucidating the small RNA Component of Plant Transcriptomes”.**

Host: Dr. Rodrigo Gutiérrez

11:10-11:30 Coffee break

---

**11:30 – 13:00 Session 1: Genomics, Bioinformatics and Systems Biology**

Chairs: Dr. Herman Silva and Dr. Marlene Rosales

**11:30 - 12:00 Dr. Hugo Peña,** Universidad Técnica Federico Santa María. **Co-relation of transcriptional profiles and metabolic profiles to characterize the development and ripening of grapevine berries.** Hugo Peña-Cortés, Alvaro Cuadros, Fernando Dorta, Ingrid Ramírez, Simón Ruíz, Enrique González, Fernando Poblete, Camila Caldana, Patricio Giavalescco and Lothar Willmitzer.

**12:00 Felipe Aceituno,** P. Universidad Católica de Chile.

**Microarray data analysis reveals gene body methylation is a key factor for regulation of gene expression in *Arabidopsis thaliana*.** Felipe F. Aceituno and Rodrigo A. Gutiérrez

**12:15 Patricio Ramos,** Universidad de Talca.

**Differential expression of genes involves in gravitropic response of *Pinus radiata* D. Don.** Ramos, P., Moya, M., and Herrera.R

**12:30 Loreto Prat,** Universidad Andres Bello.

**Expression of aroma genes and accumulation of volatile compounds in cultivated strawberry (*Fragaria x ananassa*) and white strawberry (*Fragaria chiloensis*) during ripening.** Prat, L., Marchant, L., Maldonado, J., Sanhueza, D., Agosin, E. and Silva, H.

**12:45 Susana Rasmussen**, Universidad Andres Bello.

**A first glance at the *Eucalyptus globulus* cold-activated regulatory pathway.** Erwin Krauskopf, Susana Rasmussen-Poblete, Pablo D.T. Valenzuela, Maria Cecilia Gamboa.

13:00 – 14:30 Lunch break

## Monday November 5<sup>th</sup>

### AFTERNOON

---

#### 14:30 – 15:30 Seminar

**Dr. Hugo K. Dooner**, Waksman Institute & Department of Plant Biology, Rutgers University. **“Genome structure diversity and meiotic recombination in maize”**.

Host: Dr. Herman Silva

---

#### 15:30 – 17:00 Session 2: Biochemistry and Molecular Biology

Chairs: Xavier Jordana and Michael Handford

**15:30 – 16:00 Dr. Jorge Casal**. IFEVA - Universidad de Buenos Aires, Argentina. **“Regulation of input-output relationships in phytochrome A signaling”**

**16:00 Hannetz Roschztardt**, P. Universidad Católica de Chile.

**Regulation of *SDH2-3* expression in *Arabidopsis thaliana* seeds. Binding studies of transcription factors to the promoter.** Roschztardt, H., Vásquez, M., Gómez, I, Alonso, R., Vicente-Carbajosa, J., Araya, A., Jordana, X.

**16:15 Francisca Blanco**, P. Universidad Católica de Chile.

**Glutaredoxin C9 as a model gene for the study of the early response to salicylic acid in *Arabidopsis thaliana*. NPR1 dependence, promoter analysis and pathogen infection response.** Blanco F., Herrera A, Cechinni N., Alvarez M, Laporte D, Holuigue L.

**16:30 Carlos Figueroa**, Universidad de Talca.

**Differences in softening rates of strawberry fruits are related to differential pectin metabolism.** Figueroa, C.R., Rosli, H.G., Civello, P.M., Pimentel, P., Gaete-Eastman, C., Herrera, R., Caligari, P.D.S., Moya-León, M.A.

**16:45 Nilo Mejia**, Instituto de Investigaciones Agropecuarias (INIA – La Platina).

**Positional candidate genes for seedlessness and berry weight in table grape.**  
Nilo Mejia, Braulio Soto, Marcos Guerrero, Anne-Françoise Adam-Blondon and Patricio Hinrichsen.

---

**17:00- 19:00 Poster presentations (Coffee and Beer)**

**Tuesday November 6<sup>th</sup>**

**MORNING**

---

**9:00-10:00 Seminar**

**Dr. Nina Fedoroff.** Evan Pugh Professor of Biology and Willaman Professor of life Sciences. The Pennsylvania State University. Biology Department and Huck Institutes of the life Sciences. **“The role of the Arabidopsis HYL1 protein in miRNA processing”.**

Host: Virginia Garretón

---

**10:00-11:30 Round Table**

***National policy for scientific and technological development.***

The Biofuels case study

Session Chair: Virginia Garretón

10:00 – 10:30 **Maria Olivia Recart**, Subsecretaria Ministerio de Hacienda del Gobierno de Chile.

10:30 - 11:00 **Dr. Nina Fedoroff**, Science and Technology Advisor to the U.S. Secretary of the State, Condoleezza Rice. Biology Department and Huck Institutes, Penn State University.

11:00 - 11:30 Discusión.

11:30:12:00 Coffee break

---

**12:00-13:30 Session 3: Cell Biology**

Chairs: Loreto Holuigue and Ariel Orellana.

**12:00 – 12:30 Kristiina Himanen.** Ghent University. VIB Flanders Institute for Biotechnology, Belgium.. **The arabidopsis ortholog of yeast BRE1 has a function in chromatin regulation during early organ growth.** Himanen K., Fleury D., Cnops G., Nelissen H., Boccardi T., Inzé D., Van Lijsebettens M.

**12:30 Dr. Gabriel León,** Universidad Andrés Bello

**UDP-Glucose transporters *AtUTr1* and *AtUTr3* are partially redundant and essential for pollen development in *Arabidopsis thaliana*.** Gabriel León, Francisca Reyes and Ariel Orellana

**12:45 Ingrid Letelier,** P. Universidad Católica de Chile.

**Expression of C/D-snoRNAs in *Arabidopsis thaliana*.** Letelier I., Holuigue and Echeverría M.

**13:00 Andrea Vega,** P. Universidad Católica de Chile.

**Changes in gene expression in response to compatible viral infection in grapevine berries.** Vega, A., Medina C., Arce-Johnson, P.

**13:15 Elena Vidal,** P. Universidad Católica de Chile.

**Nitrate:auxin interaction in the development of *Arabidopsis thaliana* roots.** Vidal, EA., Araus, V. and Gutiérrez, RA.

13:30-15:00 Lunch break

## Tuesday November 6<sup>th</sup>

### AFTERNOON

---

**15:00 - 16:30 Session 4: Plant Physiology**

Chairs: Erwin Krauskopf and Alejandra Moya

**15:00 – 15:30 Dr. Luis Corcuera,** Universidad de Concepción. **“A physiological approach to study the intriguing distribution of *Notophagus dombeyi* and *Notophagus nitida*”.** Corcuera LJ, Reyes-Díaz M, Piper F, Alberdi M, Bravo LA.

II REUNION DE BIOLOGÍA VEGETAL  
5-6 Noviembre 2007

**15:30 Andrés Zurita**, Centro de Estudios Avanzados en Zonas Áridas - CEAZA.  
**Assessment of salinity and boron toxicity on *Arabidopsis thaliana* root architecture: physiological responses and expression of target genes.** C. Saguas, C. Cornejo, A. Milla, M-L Guillemin, K. Ruiz and A. Zurita.

**15:45 Pablo Zamora**, Universidad de Santiago de Chile  
**Abiotic factors associated with the climate change and their effect on the *Deschampsia antarctica* biology.** Pablo Zamora, Marcelo Ortega, Humberto Prieto, Gustavo E. Zúñiga.

**16:00 Alvaro Castro**, Instituto de Investigaciones Agropecuarias (INIA – La Platina).

**Evaluation for tolerance against *Botrytis cinerea* in a population of field lines of grapes cv. Thompson seedless genetically modified with antifungal genes.** Álvaro Castro; Fernando Reyes<sup>1</sup>; Blanca Olmedo; Catalina Álvarez; Marisol Muñoz; Mario Pastén; María Antonieta Reyes; Manuel Acuña; Eduardo Tapia; Carlos Muñoz; Patricio Hinrichsen; Paola Dell'Orto<sup>1</sup>; Mike Moynihan<sup>1</sup>; Leonel Gonzalez<sup>2</sup>; Humberto Prieto.

**16:15 Marcela Esterio**, Universidad de Chile  
**Molecular characterization of the genetic structure of *Botrytis cinerea* populations from table grapes (*Vitis vinifera* L.) in Chile.** Marcela Esterio, Jaime Auger, Cecilia Ramos, M. José Araneda, G. Muñoz y M. Rosales.

---

**16:30 - 17:10 Organizational Session – III Plant Biology Meeting**

Host: Organizing Committee.

[Open to all attendants]

---

**17:10 - 18:30 Poster Session II**

**18:30 – 20:00 Meeting Reception**

## GRAPEVINES YELLOWS IN CHILE

Angela Gajardo<sup>1</sup>, Simona Prodan<sup>1</sup>, Samanta Paltrinieri<sup>2</sup>, Simona Botti<sup>2</sup>, Ana Maria Pino<sup>1</sup>, Jaime Montealegre<sup>3</sup>, Alan Zamorano<sup>1</sup>, Assunta Bertaccini<sup>2</sup>, Nicola Fiore<sup>1</sup>

<sup>1</sup> *Departamento de Producción Agrícola, Facultad de Ciencias Agronómicas, University of Chile*

<sup>2</sup> *Dipartimento di Scienze e Tecnologie Agroambientali, Patologia vegetale, Alma Mater Studiorum-University of Bologna, Bologna, Italy*

<sup>3</sup> *Departamento de Sanidad Vegetal, Facultad de Ciencias Agronómicas, University of Chile*

Detection and identification of phytoplasmas associated with Chilean grapevines was performed. Symptomatic and/or asymptomatic grapevine plants were sampled and tested by nested PCR, that allows the detection of phytoplasmas in 30 out of 91 samples. Identification by RFLP analyses assigned the detected phytoplasmas to 16SrI-B, 16SrI-C, 16SrVII-A and 16SrXII-A ribosomal subgroups. Cloning and sequencing selected isolates allow the detection of genetic variability in 16SrXII-A Chilean strains.

The finding of 16SrVII-A phytoplasmas is new for grapevine, while appear to be detected in different host species. *Flavescence doree* was not detected in Chilean grapevines.

Infection with more than one type of phytoplasma is not uncommon in Chilean grapevines. Mixed infections between phytoplasmas and viruses frequently occur, that difficult the visual diagnosis.

There is no evidence of epidemic spreading of yellows symptoms in the surveyed vineyards, nevertheless, future danger of 16SrXII-A epidemic spreading is not totally excluded. Survey to verify the presence and identity of insect vector or potential vector and also possible herbaceous weed hosts plants, acting as reservoir of phytoplasmas, are in progress.

This work was financed by Fundación para la Innovación Agraria (FIA), project BIOT-BID-PI-C-2001-1-A-013.

*Corresponding autor:* N. Fiore

Fax: +56 2 9785812

E-mail: [nfiore@uchile.cl](mailto:nfiore@uchile.cl)

# GRAPEVINE YELLOWS IN CHILE

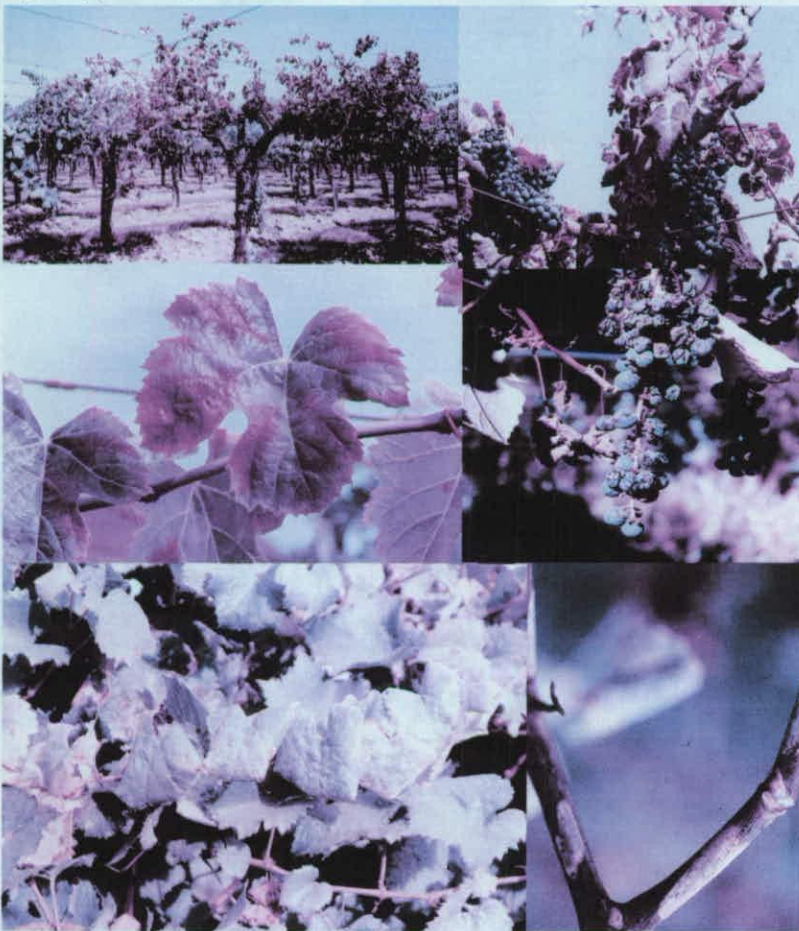
Angela Gajardo, Simona Prodan, Samanta Paltrinieri<sup>1</sup>, Simona Botti<sup>1</sup>, Ana Maria Pino, Jaime Montealegre, Alan Zamorano, Assunta Bertaccini<sup>1</sup>, Nicola Fiore

Universidad de Chile, Facultad de Ciencias Agronómicas, Avenida Santa Rosa 11315 La Pintana, Santiago, Chile  
<sup>1</sup>Università di Bologna, DiSTA Patologia Vegetale, Bologna, Italy  
 E-mail: [nfiore@uchile.cl](mailto:nfiore@uchile.cl) Phone: +56 2 9785726

In Chile the yellows presence in *Vitis vinifera* L. was visual reported by Caudwell in 1988 and the first immunological, microscopic and molecular evidence of phytoplasmas in grape was published in 2003 (Gajardo *et al.*; Herrera and Madariaga). Field observation in the last years revealed the presence of plants exhibiting symptoms typical of grapevine yellows (Fig. 1) in five regions of Chile (Coquimbo, Valparaíso, Metropolitana de Santiago, Libertador General Bernardo O'Higgins, Maule). Detection and characterization of phytoplasmas was performed using molecular tools.

Samples from 91 plants with yellows symptoms and also symptomless plants of table and wine grapes varieties were collected. To verify phytoplasma presence, nucleic acids was extracted from a mixture of main leaf midribs and phloem tissues with a chloroform/phenol method. After direct PCR using universal primer pairs P1/P7, nested PCR with F1/B6 and R16F2/R2 was performed. Further nested PCR were performed with R16(I)F1/R1 and/or M1/B6 primer pairs. Restriction fragment length polymorphism (RFLP) analyses were employed to identify phytoplasmas. Selected F1/B6 and R16F2/R2 amplification fragments from the diverse phytoplasmas identified after RFLP analyses were purified and DNA fragments were ligated into T/A cloning vector pTZ57R/T. Amplicons obtained from 5 colonies per cloned fragment were subjected to RFLP analyses and selected fragments from cloned DNA were sequenced in both directions. The sequences were then aligned with BLAST engine for local alignment for Nucleotide-nucleotide BLAST (BLAST-N) (version Blast N 2.2.12) and a phylogenetic tree was constructed using CLUSTAL X program.

Figure 1. Symptoms on vine plants.



16SrI (Aster yellows group)	16SrI-A
Tomato big leaf (ESLA, Virginia)	16SrI-B
Aster yellows (China, Italy)	16SrI-C
Clover phytoflora (Italy, China)	
16SrII (Pearl-necked brown)	16SrII-D
Sweet potato little leaf (Australia)	
16SrIII (D-disease group)	16SrIII-E
Virginia grapevine yellows (ESLA)	
16SrIV (Iris yellows group)	16SrIV-A
Iris yellows (Austria, Italy)	16SrIV-B
Flavescens dorata (France, Spain, N. of Italy, Serbia)	16SrIV-C
	16SrIV-D
16SrVII (Ash yellows group)	16SrVII-A
GL Phytoplasma fraxus (China)	
16SrIX (Apple proliferation group)	16SrIX-B
European stone fruit yellows (Serbia, Serbia)	
16SrXII (Stolbur group)	16SrXII-A
Makara Negra (I, Europe, Greece, Serbia, Texas) (China)	16SrXII-B
Ca Phytoplasma australis (Australia)	16SrXII-C
European yellows (China)	16SrXII-D

Figure 2. Phytoplasmas detected in grapevine in the world. In red results originated with this work.

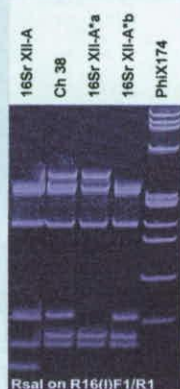


Figure 3. Polyacrylamide gel showing RFLP profiles of stolbur group phytoplasmas, obtained with *RsaI* on R16(I)F1/R1 fragment from direct PCR. Molecular variability was also present in different cloned fragments from the same PCR product. 16SrXII-A: control; Ch38, PhiX174: 16SrXII-A\*a and 16SrXII-A\*b: cloned fragments from Ch38, PhiX174: marker ØX174.

Nested PCR allows the detection of phytoplasmas in 30 out of 91 samples. The phytoplasmas detected in Chilean grapevines with yellow symptoms were assigned by RFLP analyses to four different ribosomal subgroups: 16SrI-B, 16SrI-C, 16SrXII-A (related to Stolbur) and 16SrVII-A (Fig. 2). Mixed phytoplasma infection occur in Chilean grapevines, thus for a precise identification, complementation of both RFLP and sequencing was required, to complete the diagnostic. Considering results of both molecular tools, group 16SrI and 16SrI-B as a single infection was identified in two samples and 16SrI-C in four samples; 16SrI-B and 16SrXII-A were present in mixed phytoplasma infection in one sample; 16SrVII-A was detected in single infection in eight samples, and in mixed infection with 16SrI-B and I-C in one sample, with 16SrI-B in another one, and with a not more identified 16SrI group in another sample; 16SrXII-A was present as single infection in ten samples and combined with 16SrVII-A in another one. One sample present infection with phytoplasmas belonging to the stolbur group but with different RFLP profile (Fig. 3). Analysis by successive alignment and clustering of 16S rRNA sequences of 23 selected members of the genus 'Ca. Phytoplasma' with highest similarity, permitted the design of a cluster phenogram (Fig. 4), whose branching order was in agreement with the RFLP findings hereby reported. This tree showed that Chilean isolates are clustering close to the known members of their RFLP ribosomal groups. The BLAST-N search on 16SrRNA gene and calculation of sequence percentage similarity showed the close homology of each Chilean sequence with the members of their assigned group. There is no evidence of epidemic spreading of yellows symptoms in the surveyed vineyards, nevertheless, future danger of 16SrXII-A epidemic spreading is not totally excluded. Survey to verify the presence and identity of insect vector or potential vector and also possible herbaceous weed hosts plants, acting as reservoir of phytoplasmas, are in progress.

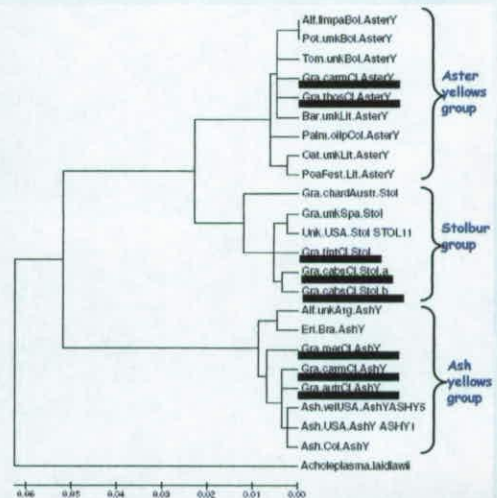


Figure 4. Phylogenetic tree, reporting placement of phytoplasmas associated with the Chilean isolates (underlined). *Achleoplasma laidlawii* was employed as the out-group taxon.



**“XVII CONGRESO DE LA SOCIEDAD CHILENA  
DE FITOPATOLOGIA”**

Facultad de Ciencias Forestales 28 al 30 de Noviembre de  
2007

**LIBRO DE RESUMENES**

Con el patrocinio de

Facultad de Ciencias Forestales  
Centro de Biotecnología  
Sociedad Chilena de Fitopatología

Concepción-Chile 2007

PROGRAMA

MARTES 27 DE NOVIEMBRE

08:30 - 10:00 h	Inscripción de participantes
10:00 - 10:30 h	Inauguración XVII Congreso de la Sociedad Chilena de Fitopatología
10:30 - 11:00 h	Café
PRIMERA SESION	Presidente: Gastón Apablaza Secretaria: Laura Böhm
11:00 - 11:15 h	S1-1 "Determinación de la población de nematodos asociada a diferentes patrones de <i>Vitis</i> bajo dos condiciones de suelo en la zona central de Chile" Fialdo P., Aballay E. y Casanova M.
11:15 - 11:30 h	S1-2 "Uso de aceites minerales en el control de Oidio de la vid <i>Uncinula necator</i> (Schwein)" Sánchez F. y Riveros F.
11:30 - 11:45 h	S1-3 "Comportamiento de dos aceites minerales aplicados post infección de <i>Uncinula necator</i> " Riveros F.
11:45 - 12:00 h	S1-4 "Cancrosis y muerte regresiva en ramillas de arándano. ( <i>Vaccinium spp.</i> )" Espinoza J.G., Briceño E.X., Chávez E. y Latorre B.A.
12:00 - 12:15 h	S1-5 "Control biológico de <i>Rhizoctonia solani</i> (Kühn) en tomates con mutantes de <i>Trichoderma harzianum</i> (Rifai)" Monteleone J., Valderrama L., Sanchez S., Herrera R., Perez L.M. y Besoin X.
12:15 - 12:30 h	S1-6 "Concentración de anhídrido sulfuroso en cajas con diferentes generadores y condiciones de empaque y su efecto en el control de la pudrición gris en uva de mesa" Henríquez J.L., Alarcón P. y Pinochet S.
12:30 - 14:30 h	Almuerzo

COMITE ORGANIZADOR

Dr. Eugenio Santfuentes von Stowasser  
Dra. Matilde Uribe Moraga  
Dra. Katherine Sossa Fernández

COMITE CIENTIFICO

Dr. Bernardo Latorre G.  
M. Sc. Ximena Besoin C.  
Ing. Agr. Marco Muñoz F.  
Dr. Claudio Sandoval B.

SEGUNDA SESION		MIÉRCOLES 28 DE NOVIEMBRE	
Presidente: Fernando Rivero Secretario: Francisco Sánchez		Presidenta: Blanca Luz Pinilla. Secretario: Mauricio Lolas.	
4:30 - 14:45 h	S2-1 " <i>Phytophthora pinifolia</i> una nueva especie asociada a pino radiata en Chile" Ahumada R., Duran A., Rotella A., Flores F. y Wingfield M.	09:00 - 09:15 h	S3-1 "Resultados de prospección de <i>Xylella fastidiosa</i> en cultivos de vides y cítricos de Chile" Muñoz M. y Vega E.
4:45 - 15:00 h	S2-2 "Caracterización del Daño Foliar del Pino (DFP)" Rotella A., Ahumada R. y Flores F.	09:15 - 09:30 h	S3-2 "Estudio etiológico de <i>Botryosphaeria</i> en diferentes frutales y evaluación de su virulencia en palto y sarmientos de vid" Morales A., Besoain X. y Piontelli E.
5:00 - 15:15 h	S2-3 "Etiología y aspectos epidemiológicos de la mortalidad en jardín de setos de <i>Pinus radiata</i> D. Don" Castillo M., González G. y Sanfuentes E.	09:30 - 09:45 h	S3-3 "Aspectos epidemiológicos de los fitoplasmas que afectan la vid ( <i>Vitis</i> spp.) en Chile" Zamorano A., Pino A.M., Paltrinieri S., Calari A., Bertaccini A., Alma A., Montealegre J., Araya J. y Fiore N.
5:15 - 15:30 h	S2-4 "Análisis de la distribución espacial del daño foliar de pino (DFP)" Flores F., Ahumada R. y Rotella A.	09:45 - 10:00 h	S3-4 "Control de <i>Botrytis cinerea</i> en manzanas" López C., Montealegre J., Henríquez J.L. y Herrera R.
5:30 - 15:45 h	S2-5 "Evaluación del efecto de biocidas sobre biopelículas de <i>Pseudomonas syringae</i> " Lobos P., Cárcamo G., Sossa K., Morris C. y Urrutia H.	10:00 - 10:15 h	S3-5 "Descripción de <i>Pestalotia</i> sp. en arándano ( <i>Vaccinium corymbosum</i> L.) y evaluación <i>in vitro</i> de la susceptibilidad a diferentes fungicidas" France A. y Garrido C.
5:45 - 16:00 h	S2-6 "Aislamiento y caracterización de metabolitos con actividad antagonista de cepas de <i>Bacillus</i> sp. hacia los agentes fitopatógenos <i>Erwinia carotovora</i> (Dye) Hall y <i>Rhizoctonia solani</i> Kühn." Garay Y. y Ciampi L.	10:15 - 10:30 h	S3-6 "Determinación de <i>Chondrostereum purpureum</i> en arándano y su epidemiología en el país." France A., Buddie A. y Santelices C.
6:00 - 16:30 h	Cafe	Cafe.	
6:30 - 18:00 h	Mesa Redonda "Daño foliar del pino (DFP)" Empresa Forestal, SAG e Investigadores. Moderadora: María Eugenia Murillo.	10:30 - 11:00 h	Seminario I "Enfermedades en arándano" Donald Ramdell Plant Pathology, Michigan State University
9:30 - 21:30 h	Cóctel de Recepción	11:00 - 12:30 h	Moderador: Andrés France
		12:30 - 14:00 h	Almuerzo

#### CUARTA SESION

Presidente: Ricardo Madariaga  
Secretaria: Paulina Sepúlveda

14:00 - 14:15 h  
**S4-1** "Enfermedad de la Vena Ancha en lechuga: relación entre intensidad de síntomas y acumulación de proteínas y RNAs virales"

Araya C., Román L., Peña E., Mora R. y Rosales, M.

14:15 - 14:30 h  
**S4-2** "Identificación de *Gaeumannomyces graminis* var. *avenae* (E. M. Turner) Dennis, un nuevo patógeno de avena en Chile"

Gutierrez M., Asejo C., Oyarzo O. y Peña P.

14:30 - 14:45 h  
**S4-3** "Efectividad de distintos fungicidas recomendados para el control de la mancha foliar o septoriosis (*Mycosphaerella graminicola* [Fueckel] Schroeter) de la hoja del trigo en Chile"

Andrade O. y Contreras E.

14:45 - 15:00 h  
**S4-4** "Detección de *Erysiphe cichoracearum* (D.C.) y *Alternaria alternata* (Fries) en el cultivo de achicoria (*Cichorium intybus* var. *sativum*) en Chile."

Almaraz M., Riegel R., Andrade N. y Arismendi N.

15:00 - 15:15 h  
**S4-5** "Control de la mancha café en alcachofas"

Sepúlveda P., Blanco C. y Rebufel P.

15:15 - 15:30 h  
**S4-6** "Desinfección de semilla de maíz con tres fungicidas para el control de *Fusarium moniliforme*"

Apablaza G. y Silva J.

Café - **SESION DE POSTER**

15:30 - 16:30 h

#### Seminario 2

"Patógenos para el control biológico de malezas"

Nick Waipara

Landscare Research, New Zealand

Moderador: Ximena Besoain

#### QUINTA SESION

Presidente: Claudio Sandoval  
Secretario: Germán Sepúlveda

17:30 - 17:45 h

**S5-1** "Comportamiento e identificación genómica de *Botrytis cinerea* aislada de esclerocios de sarmentos y frutos de vides provenientes de distintas zonas geográficas de Chile"

Pinilla B. y Corvalán C.

17:45 - 18:00 h

**S5-2** "Identificación genética de las variedades de *Botrytis cinerea* que atacan a la frutilla: *Fragaria chilensis* y *Fragaria x ananassa*."

Valdés J., Lavandero B., Brevis P. y Caligari P.D.S.

18:00 - 18:15 h

**S5-3** "Control preventivo de la pudrición "Ojo de Buey" en manzanas cv. Pink Lady, mediante aplicaciones de un fertilizante foliar y fungicidas inorgánicos"

Pinilla B. y Lolas M.

18:15 - 18:30 h

**S5-4** "Evaluaciones y validación del comportamiento de portainjertos de vid a diferentes poblaciones de nematodos fitoparásitos en plantaciones comerciales de más de tres años"

Escobar M. y Aballay E.

18:30 - 18:45 h

**S5-5** "Evaluación de la eficacia de cepas nativas del hongo biocontrolador *Trichoderma* spp. en la disminución de la severidad de la enfermedad Muerte de Brazos y en la estimulación del crecimiento en kiwi"

Lolas M., Donoso E., Muñoz C., Sandoval C. y Diaz J.

18:45 - 19:00 h

**S5-6** "Sensibilidad de diez cepas de *Clavibacter michiganensis* subsp. *michiganensis* a kasugamicina"

Besoain X. y Chahuán J.P.

19:00 - 19:45 h

#### Reunión SOCHIFIT

20:30 h

#### Cena de Camaradería

#### JUEVES 29 DE NOVIEMBRE

#### SEXTA SESION

Presidenta: Ivette Acuña  
Secretaria: Rosa Arancibia

09:00 - 09:15 h

**S6-1** "Enfermedad de la Vena Ancha de la lechuga: estudios de incidencia, variación en la expresión de síntomas y herramientas para su diagnóstico y control"

Rosales M., Araya C., Román L., Peña E., Mora R., Salazar E. y Aljaro A.

09:15 - 09:30 h

**S6-2** "Expresión de genes en hojas de *Fragaria chiloensis* en respuesta a la infección de *Botrytis cinerea*"

González G.R., Sandoval C., Moya M., Herrera R.

09:30 - 09:45 h

**S6-3** "Sensibilidad *in vitro* de cinco fungicidas y su efecto sobre los agentes causales de pudrición del racimo en uva de mesa"

Besoain X., Mora G., Salgado E. y Sánchez F.

09:45 – 10:00 h	S6-4 "Sensibilidad <i>in vivo</i> de cinco fungicidas y su efecto sobre pudrición del racimo en uva de mesa cv. red globe" <u>Besoain X., Mora G. y Sánchez F.</u>	14:45 – 15:00 h	S7-4 "Evaluación de aislados nativos de <i>Pasteuria penetrans</i> (Lycopersicum esculentum Mill.) en cultivos de tomates <u>Donoso E., Lolas M., Muñoz C., Sandoval C. y Davies K.</u>
10:00 – 10:15 h	S6-5 "Evaluación del ciruelo ( <i>Prunus domestica</i> L.) transgénico C-5 frente a distintos aislados chilenos del virus Plum pox (PPV)" <u>Wong W., Rosales M. y Prieto H.</u>	15:00 – 15:15 h	S7-5 "Actividad del anhídrido sulfuroso sobre <i>Penicillium</i> spp. aislados de uva de mesa" <u>Alarcón P. y Henríquez J.L.</u>
10:15 – 10:30 h	S6-6 "Especies de <i>Aspergillus</i> ocratoxigénicos asociados a la vid ( <i>Vitis vinifera</i> ) en la zona central de Chile" <u>Díaz G.A., Torres R. y Latorre B.A.</u>	15:15 – 15:30 h	S7-6 "Efecto de la aplicación de aficidas en la dinámica poblacional de los afidos que transmiten BYDV, y el rendimiento y calidad de <i>Triticum turgidum</i> L. ssp. <i>durum</i> " <u>Garcés C.E., Araya J.E. y Madariaga R.P.</u>
10:30 – 10:45 h	S6-7 "Pudrición al cuello y raíces del arándano causada por especies de <i>Phytophthora</i> " <u>Larach A. y Besoain X.</u>	15:30 – 15:45 h	S7-7 "Control de peca bacteriana ( <i>Pseudomonas syringae</i> pv. <i>tomato</i> ) en tomate con Nacillus®, formulado en base a cepas nativas de <i>Bacillus</i> spp." <u>Lillo C., Donoso E., Lolas M., Hettich W. y Muñoz C.</u>
10:45 – 11:15 h	Café	15:45 – 16:00 h	S7-8 "Sensibilidad de diez cepas de <i>Clavibacter michiganensis</i> subsp. <i>michiganensis</i> a kasugamicina" <u>Besoain X. y Cahuán J.P.</u>
11:15 – 12:30 h	Seminario 3 "Aplicaciones de biopelículas en control de enfermedades de plantas" Dr. Homero Urrutia. Universidad de Concepción Moderadora: Ximena Besoain	16:00 – 16:15 h	S7-9 Evaluación de Trichonativa® en el control de <i>Botrytis cinerea</i> en uva de mesa cv. Thomson seedless. <u>Donoso E., Lolas M., Fuentes J., Sandoval C., Hettich W. y Guerra C.</u>
12:30 – 14:00 h	Almuerzo Presidente: Nicola Fiore Secretario: Rodrigo Herrera	16:15 – 16:45 h	Café
14:00 – 14:15 h	S7-1 "Uso de un sistema de alerta temprana para el desarrollo de estrategias de manejo integrado del tizon tardío en el sur de Chile" Acuña I., Sagredo B., Bravo R., Gutiérrez M., Maldonado I., Gaete N., Inostroza J., Secor G., Rivera V., Kalazich J., Solano J. y Rojas J.	16:45 – 17:45 h	Seminario 4 "Plantas GM para control de enfermedades" Dra. Sofía Valenzuela A. Universidad de Concepción Moderadora: Marlene Rozales
14:15 – 14:30 h	S7-2 "Control de nemátodos y hongos fitopatógenos del suelo con biofumigantes en el valle de Azapa" Magnan I., Ugalde S., Rojas M., Gallo P. y Sepúlveda G.	17:45 – 18:15 h	Premiación mejores trabajos-Cierre
14:30 – 14:45 h	S7-3 "Determinación de geminivirus en cultivos de tomate ( <i>Lycopersicum esculentum</i> L.) del valle de Azapa, Región de Arica y Parinacota" <u>Cabrera M.; Silva F.; Baldera M.; Carrasco J.; Soto I. y MuñozM.</u>	<b>VIERNES 30 DE NOVIEMBRE</b>	
		08:30 – 18:00 h	Gira Técnica Activad Opcional



## FORMULARIO DE INSCRIPCIÓN DE TRABAJOS



XVII CONGRESO DE LA SOCIEDAD CHILENA DE FITOPATOLOGÍA  
27 AL 30 DE NOVIEMBRE DE 2007  
FACULTAD DE CIENCIAS FORESTALES - UNIVERSIDAD DE CONCEPCIÓN

### Resumen de Trabajo

#### “ASPECTOS EPIDEMIOLÓGICOS DE LOS FITOPLASMAS QUE AFECTAN LA VID (*VITIS* SPP.) EN CHILE”

“Epidemiological aspects concerning phytoplasmas infecting Chilean grapevine (*Vitis* spp.)”

**ALAN ZAMORANO, ANA MARIA PINO, SAMANTA PALTRINIERI<sup>1</sup>, ALBERTO CALARI<sup>1</sup>, ASSUNTA BERTACCINI<sup>1</sup>, ALBERTO ALMA<sup>2</sup>, JAIME MONTEALEGRE, JAIME ARAYA, NICOLA FIORE**

Universidad de Chile, Facultad de Ciencias Agronómicas. Av. Santa Rosa 11315, La Pintana, Santiago de Chile. Teléfono: 9785726, Fax: 9785961. E-mail: nfiore@uchile.cl

<sup>1</sup>Università di Bologna, DiSTA Patologia Vegetale, Bologna, Italia.

<sup>2</sup>Università di Torino, DiVaPRA Entomologia e Zoologia applicate all' Ambiente, Grugliasco, Torino, Italia.

Las amarilleces de la vid en Chile actualmente están asociadas a fitoplasmas pertenecientes a los grupos ribosomales 16SrI-B, 16SrI-C (ambos del género '*Candidatus* Phytoplasma asteris', 16SrVII-A ('*Ca. P. fraxini*') y 16SrXII-A (stolbur). La presencia de estos patógenos en las plantas depende de la propagación de material vegetal infectado y la diseminación natural ocurre por medio de diferentes especies de insectos vectores auquenorrincos (langostinos). Con la finalidad de averiguar la presencia de langostinos en los viñedos chilenos y determinar su rol en la transmisión de fitoplasmas, se ha procedido a la captura de individuos que han sido caracterizados y analizados para detectar fitoplasmas. Se ha podido así recolectar insectos pertenecientes a la subfamilia *Delthocephalinae* (familia *Cicadellidae*) y a las familias *Cixiidae* y *Delphacidae*, todos potenciales vectores de fitoplasmas. Varios insectos han resultado positivos a fitoplasmas y el 16SrXII-A (madera negra) se encontró en individuos que, según una primera caracterización, pertenecerían a los géneros *Macrosteles* ó *Exitianus*.

Proyecto FIA BIOT-BID-PI-C-2001-1-A-013

Los resúmenes de los trabajos según instrucciones y formulario adjuntos, deberán ser enviados vía correo electrónico (en línea) a [congreso-fitopatologia@udec.cl](mailto:congreso-fitopatologia@udec.cl); para mayor seguridad se sugiere enviar además CD por correo certificado a nombre de Comisión Organizadora, XVII Congreso Sociedad Chilena de Fitopatología, Victoria 631, Ciudad Universitaria, Concepción, Chile.


 UNIVERSIDAD DE CHILE  
 FACULTAD DE CIENCIAS  
 AGRONÓMICAS

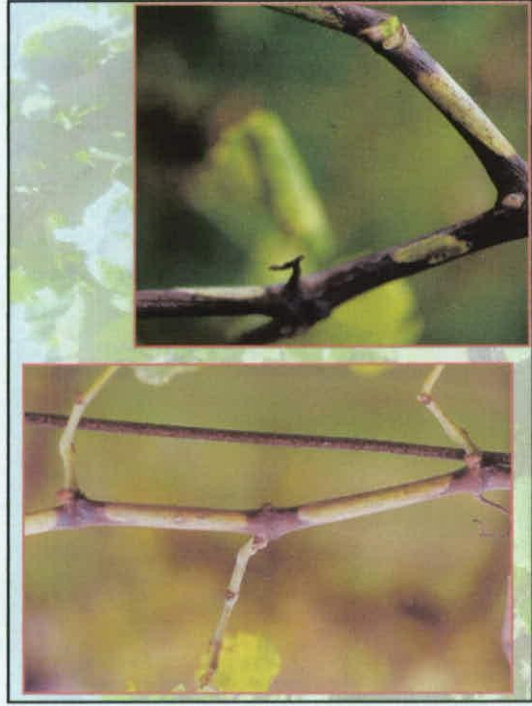
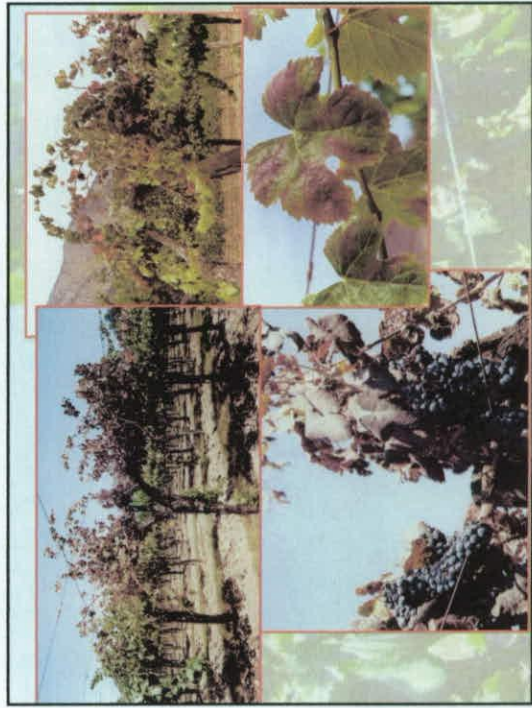
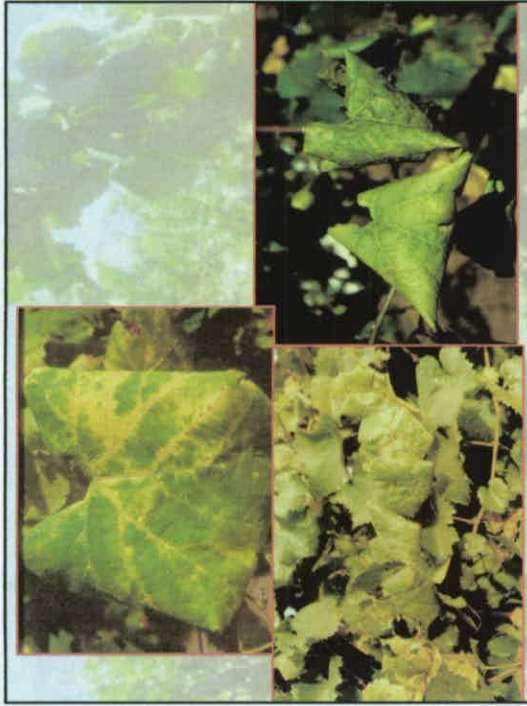

 GOBIERNO DE CHILE  
 FUNDACIÓN PARA LA  
 INNOVACIÓN AGRARIA  
 MINISTERIO DE AGRICULTURA

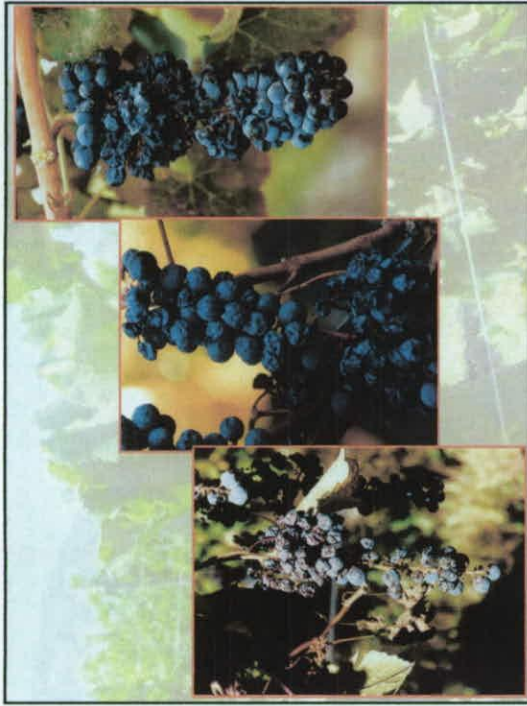
Proyecto FIA BIOT-BID-  
 PI-C-2001-1-A-913

## ASPECTOS EPIDEMIOLÓGICOS DE LOS FITOPLASMAS QUE AFECTAN LA VID (*VITIS* SPP.) EN CHILE

**A. Zamorano, A. M. Pino, S. Paltrinieri<sup>1</sup>, A. Calari<sup>1</sup>,  
 A. Bertaccini<sup>1</sup>, A. Alma<sup>2</sup>, J. Montealegre,  
 J. Araya, N. Fiore**

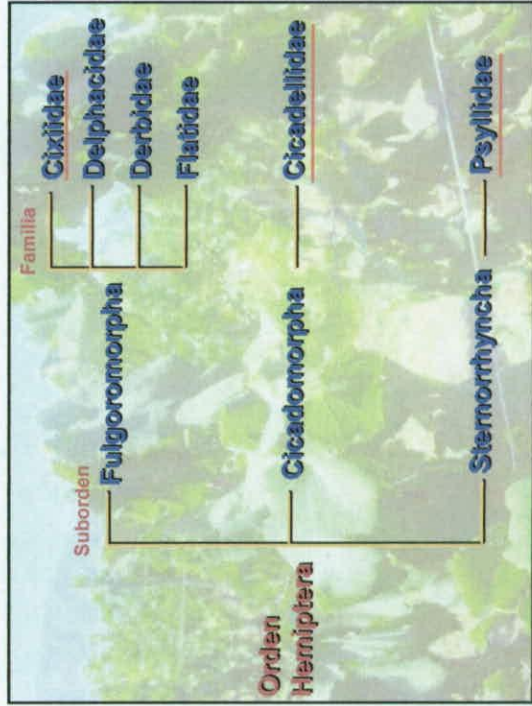
Universidad de Chile, Facultad de Ciencias Agronómicas, Santiago de Chile.  
<sup>1</sup>Università di Bologna, DiSTA Patologia Vegetale, Bologna, Italia.  
<sup>2</sup>Università di Torino, DiVaPRA Entomologia e Zoologia applicate all'Ambiente,  
 Grugliasco, Torino, Italia.





**Fitoplasmas detectados en vides en el mundo (listado actualizado con datos chilenos)**

<b>16SrI (Aster yellows group)</b> Tomato big bud (EEUU; Virginia) Aster yellows (Italia, Chile) Clover phyllody (Italia, Chile)	16SrI-A 16SrI-B 16SrI-C
<b>16SrII (Peanut witches' broom)</b> Sweet potato little leaf (Australia)	16SrII-D
<b>16SrIII (X-disease group)</b> Virginian Grapevine yellows (EEUU)	16SrIII-J
<b>16SrIV (Elm yellows group)</b> Elm yellows (Alemania, Italia) Flavescencia dorata (Francia, España, Norste de Italia, Serbia)	16SrV-A 16SrV-C Y 16SrV-D
<b>16SrVII (Ash yellow group)</b> Ca. Phytoplasma fraxini (Chile)	16SrVII-A
<b>16SrX (Apple proliferation group)</b> European stone fruit yellows (Hungría, Serbia)	16SrX-B
<b>16SrXII (Stalbur group)</b> Madera Negra (U. Europea, Croacia, Serbia, Israel, Chile) Ca. Phytoplasma australiense (Australia) Grapevine yellows (Chile)	16SrXII-A 16SrXII-B 16SrXII-?



**AUQUENORRINCOS VECTORES  
DE FITOPLASMAS  
EN EUROPA**

**VECTORES NATURALES DE  
FITOPLASMAS EN VID  
EN EUROPA**

*Scaphoideus titanus* FD

*Hyalesthes obsoletus* BN, VK, LN, MN  
(...y 16 especies más)

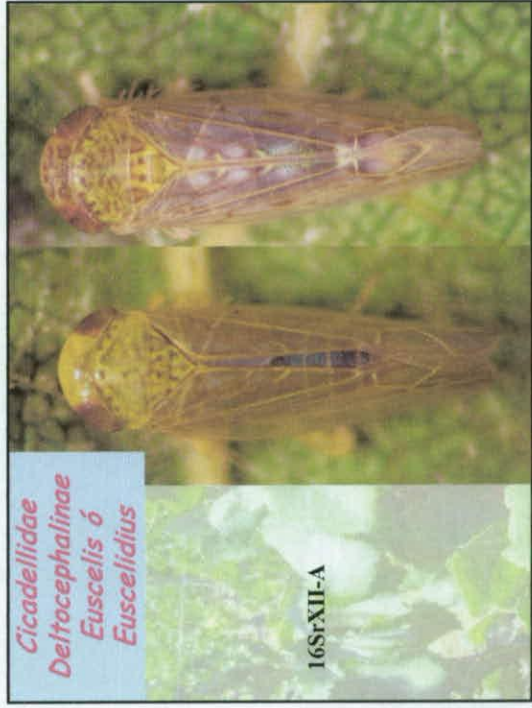
*Oncopsis alni* PGY (ALY)

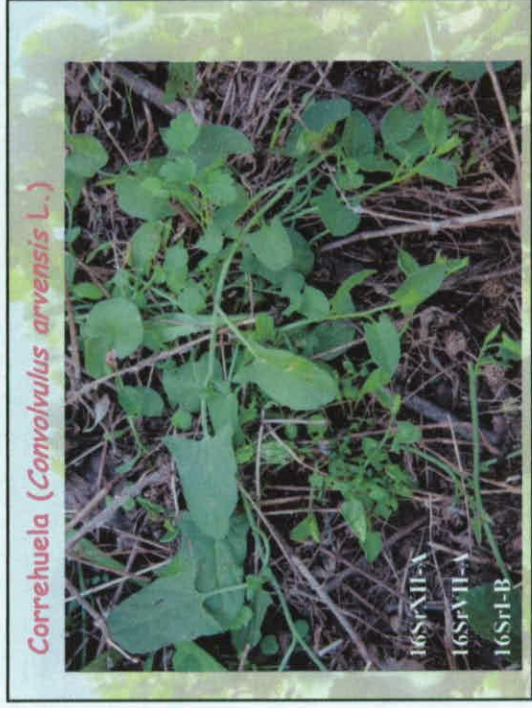
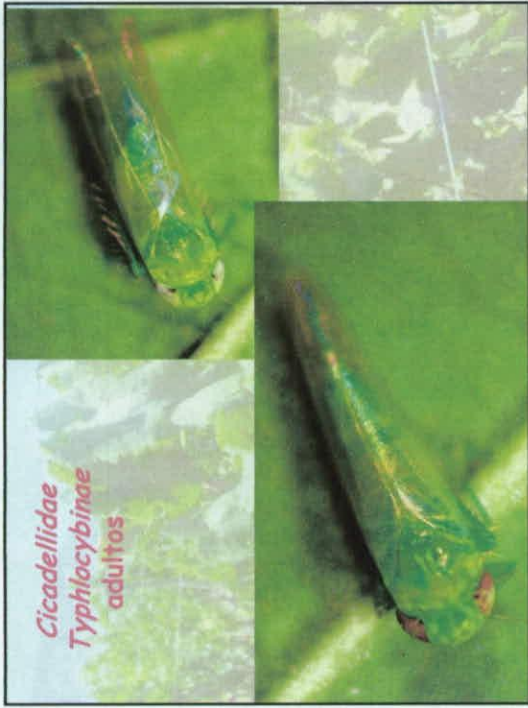
**Insectos asociados  
a viñedos chilenos**

*Cicadellidae*  
*Deltocephalinae*  
*Macrosteles* ó  
*Exitianus*

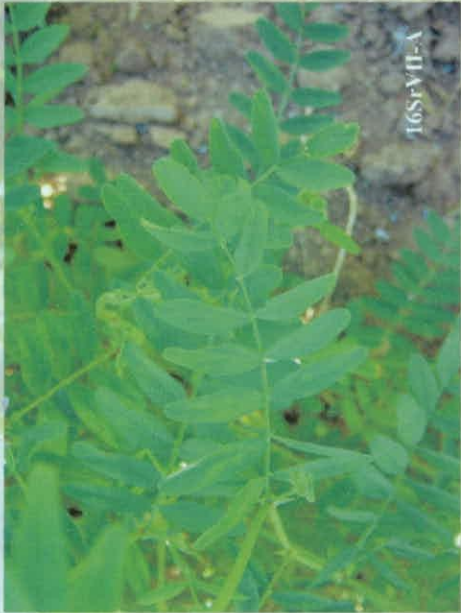
16SrXII-A







Galega (*Galega officinalis* L.)



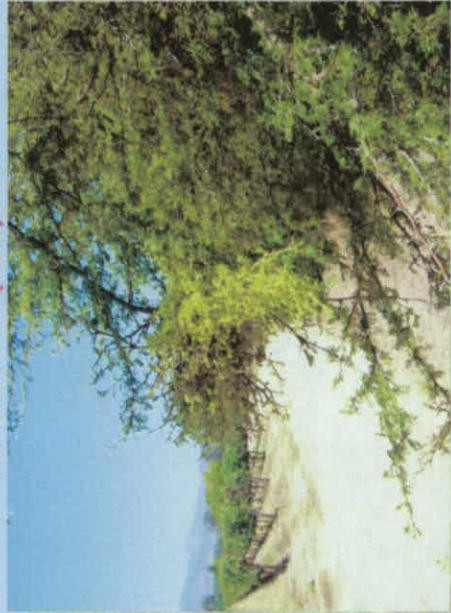
T6SRV11-A

Sanguinaria ó Pasto del pollo  
(*Polygonum aviculare* L.)



T6SRV11-B

Espino  
*Acacia caven* (Mol.) Mol.



Under the patronage of



MINISTERO DELLE POLITICHE AGRICOLE  
ALIMENTARI E FORESTALI



COMUNE DI BOLOGNA

Sponsored by



**Fermentas**  
LIFE SCIENCES



Bayer CropScience



**VITRO** <sup>TALIA</sup> **plant**  
TECNOLOGIE PER AGRICOLTORI E FIORAI



**SARSTEDT**



Contact Research Organization  
**AGREA**  
www.agrea.it

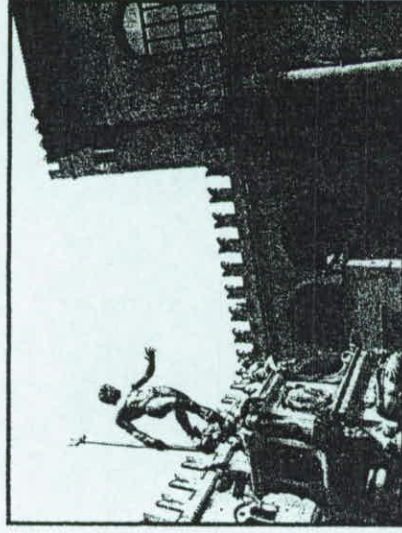


ALMA MATER STUDIORUM  
UNIVERSITA' DI BOLOGNA



FACOLTA' DI AGRARIA  
ANNA MARTELLI CUNEO V. UNIVERSITA' DI BOLOGNA

# First International Phytoplasma Group Working Group Meeting



November 12-15, 2007  
Bologna – Italy



Faculty of Agriculture, Viale Fanin 46  
Aula Magna, Ground Floor, North Wing

First  
International  
Phytoplasmologist  
Working Group  
Meeting  
November 12-15, 2007  
Bologna – Italy

*Parasos tantummodo  
in rerum natura investiganda  
fortuna iuvit*

## Monday November 12

From 8:00 Registration - Posters set up

9:00 Welcome addresses

10:00 Introduction Molecular biology and genomics of *Mollitricutes*

Shmuel Razin - The Hebrew University-Hadassah Medical School, Jerusalem, Israel

10:30 Coffee break

11:00 Host-parasite interaction of phytoplasmas from a molecular biological perspective

Shigetou Namba - The University of Tokyo, Tokyo, Japan

Phytoplasma genomics

Saskia Hogenhout & Matt Dickinson

11:45 An overview of the genome sequence of '*Candidatus* Phytoplasma australiense' - Australian strain

Lucy Tran-Nguyen, M. Kube, B. Schneider, R. Reinhardt, K. Gibb

12:00 First look into the genome sequence of '*Candidatus* Phytoplasma mali' in comparison to '*Candidatus* Phytoplasma asteris' strains OY-M and AY-WB

Michael Kube, B. Schneider, R. Reinhardt, E. Seemüller

12:15 Purification of phytoplasma DNA for sequencing the "flavescence dorée" and stolbur phytoplasma genomes

Patricia Carle, S. Malembic-Maher, X. Foissac

12:30 Progress towards a chromosome map of the "flavescence dorée" phytoplasma

Sylvie Malembic-Maher, F. Constable, A. Cimerman, G. Arnaud, P. Carle, X. Foissac, E. Boudon-Padieu

12:45 Dynamic structures in phytoplasma genomes: sequence-variable mosaics (SYMs) of clustered genes

Robert E. Davis, R. Jomantiene, Y. Zhao

13:00 Lunch

Phytoplasma diseases worldwide I

Jana Franova & Phil Jones

14:30 Detection and identification of phytoplasmas in *Ribes rubrum*

Milan Navrátil, J. Příbylová, P. Válová, R. Fialová, D. Šafářová, J. Spak, D. Kubelková, K. Petrzik, R. Karšová, V. Špaková

14:45 Detection of '*Candidatus* Phytoplasma pyri' in Turkey

Mona Gazel, Ç. Ulubaş Serçe, K. Çağlayan, H. Özlürek

15:00 Molecular identification of 16Srl-A, 16Srl-B, 16Srl-C, and 16Srl-L subgroups of phytoplasmas in gramineous plants in Lithuania

Laima Urbanavičienė, R. Jomantiene, D. Valiūnas, R.E. Davis

15:15 List of phytoplasma hosts in Brazil

Helena G. Montano, P.S.T. Brioso, J.P. Pimentel

15:30 Phytoplasma associated diseases in tomato and pepper in the state of BCS, Mexico: a brief overview

V. Lebsky, Arevik Poghosyan

15:45 Identification of phytoplasma associated with witches' broom and virescence diseases of sesame in Oman

Akthar Jamal Khan, K. Böttner, N. Al-Saadi, A. M. Al-Subhi, I.-M. Lee

16:00 Coffee break

Phytoplasma diseases worldwide II

Cristina Marzachi & Wayne Myrie

16:15 Phytoplasma detected in reverted black currants in Finland

Anne Lemmerly, J. Příbylová, J. Spak

Phytoplasma strains detected in ornamental plants in Lithuania

Marija Samuiliėnė, R. Jomantiene, D. Valiūnas, M. Navalskienė, R.E. Davis

Phytoplasmas detected in cultivated fruit plants in Lithuania

Deividas Valiūnas, R. Jomantiene, R.E. Davis

Deividas Valiūnas

16:30 Detection and molecular characterization of phytoplasmas infecting sesame and solanaceous crops in Turkey - G. Sertkaya, Marta Martini, R. Musetti, R. Osler

Diversity of the known phytoplasmas in Israel - Phyllis G. Weintraub, M. Zeidan, S. Spiegel, A. Gera

Marta Martini

Molecular evidence for the presence of '*Candidatus* Phytoplasma cynodontis', the Bermuda grass white leaf agent, in India - G.P. Rao, S.K. Raj, S.K. Snehi, S. Mall, M. Singh, Carmine Marcone

16:45 Phytoplasma in "fava d'anta" tree (*Dimorphandra gardeniana*) in Brazil  
Helena G. Montano, G.S. Silva, R.C. Rocha, N.Z.A. Jimenez, R.C. Pereira, P.S.T. Brioso

Is a phytoplasma responsible for fig mosaic disease? - Kadriye Çağlayan, M. Gazel, Ç. Ulubaş Serçe, S. Soylu, S. Yalçın

Arty Gungoosingh-Bunwaree

Presence of phytoplasma infections in tomato plants in Mauritius

Arty Gungoosingh-Bunwaree, A. Bertaccini, S.P. Benimadhu

17:00 Molecular identification of "bois noir" phytoplasmas in grapevine in Bulgaria - Dimitrijka Sakaljeva, S. Patrineri, A. Calari, A. Bertaccini

Evangelos Velios

Geographical distribution of "bois noir" phytoplasmas infecting grapevines in the Republic of Macedonia

Saša Mitrev, E. Nakova, F. Pejčinovski, E. Angelini

Detection and characterization of phytoplasmas infecting tomato plants in Greece - Evangelos Velios, F. Liolopoulou

17:15 Molecular detection and characterization of phytoplasmas associated with lethal yellowing disease of coconut palms in Jamaica

Wayne Myrie, N. Harrison, M. Dollet, B. Been

Are phytoplasmas the etiological agent of yellow leaf disease of *Areca catechu* in India? - C.R. Ajadkar, Purushothama, J. Gottiravalli Ramanayaka, T. Sano, P. Casati, Pier Affilio Bianco

Detection of different types of phytoplasmas in stone fruit orchards in northern Italy - F. Landi, A. Prandini, S. Patrineri, Nicola Mori, A. Bertaccini

Wayne Myrie

Phytoplasma diseases in New Zealand - Lia W. Liefing, R. E. Beever, M.T. Andersen, G.R.G. Clover

17:30 IPWG discussion

Tuesday November 13

9:00 Insect vector of phytoplasmas and their control – an update  
*Phyllis Weintraub* – Volcani Agricultural Research Organization, Gilat Research Center, Israel

Insect vectors of phytoplasmas I *Phyllis Weintraub & Michael Mairner*

9:45 A handbook of leafhopper and planthopper vectors of plant disease  
*Michael Wilson*

10:00 An introduction to Auchenorrhyncha phytoplasma vectors  
*Michael Wilson, P.G. Weintraub*

10:15 Search for the vector of Cape Saint Paul wilt (coconut lethal yellowing) in Ghana  
*R. Philippe, J.P. Nkansah, S. Fabre, R. Quaikeo, F. Pliet, Michel Dollé*

10:30 Phytoplasma diseases and insect vectors in potatoes of the Pacific northwest of the United States  
*Joseph E. Munyaneza, J.M. Crosslin, L.-M. Lee*

10:45 *Coffee break*

Insect vectors of phytoplasmas II *Barbara Jarasusch & Alberto Alma*

11:00 '*Candidatus* Phytoplasma prunorum': the phytoplasma status of *Cacopsylla pruni* from apricot orchards and from overwintering habitats in Moravia (Czech Republic)  
*Renata Fialová, M. Navrátil, P. Lauterer, V. Navrkalová*

11:15 Are there several biotypes of *Cacopsylla pruni*?  
*Nicolas Sauvion, O. Lachenaud, G. Genson, J.-Y. Rasplus, G. Labonne*

11:30 '*Candidatus* Phytoplasma mali': the current situation of insect vectors in northwestern Italy  
*Rosemarie Tedeschi, A. Alma*

11:45 *Cacopsylla picta* as most important vector for '*Candidatus* Phytoplasma mali' in Germany and neighbouring regions  
*Barbara Jarasusch, A. Fuchs, N. Schwind, G. Krzcal, W. Jarasusch*

12:00 Molecular tests to determine pear decline phytoplasma presence in psyllid vectors from pear tree orchard in the Czech Republic – preliminary report  
*Jana Kucerová, L. Taláček, P. Lauterer, M. Navrátil, R. Fialová*

Survey of *Cacopsylla pruni* in different fruit tree producing areas of Spain  
*J. Sabaré, Amparo Lawiña, A. Balle*  
*Federica Pedrazzoli*

Acquisition capacities of the overwintering adults of the psyllid vectors of '*Candidatus* Phytoplasma mali' – *Federica Pedrazzoli, V. Gualandri, F. Forno, L. Mattedi, V. Malagnoli, A. Salvadori, G. Stoppa, C. Ionatti*

12:15 Occurrence and distribution of *Scaphoideus titanus* in multiple outbreaks of "Flavescence dorée" in Serbia – *Sllobodan Krnjić, M. Mitrović, T. Čvrković, J. Jović, A. Petrović, V. Fortić, E. Angelini, I. Toševski*

*Scaphoideus titanus* identified in Hungary – *Z. Dér, S. Koczor, B. Zsolnai, I. Ember, Mária Kolber, A. Bertaccini, A. Alma*

12:30 Lunch

Interactions among phytoplasmas and hosts I *Shigetou Namba & Lia Liefing*

14:00 Behaviour and interaction of two '*Candidatus* Phytoplasma mali' strains in artificial infections  
*Paola Ermacora, M. Marini, L. Carraro, F. Ferrini, N. Loi*

14:15 Effect of different strains of '*Candidatus* Phytoplasma mali' in susceptible and resistant *Malus* genotypes inoculated by *in vitro* grafting  
*Claudia Bisognin, A.M. Ciccofati, A. Salvadori, M. Moser, M.S. Grando, W. Jarasusch*

14:30 Gene expression study in different '*Candidatus* Phytoplasma mali' – infected micropropagated *Malus* genotypes  
*M. Moser, C. Sprenger, C. Bisognin, R. Velasco, Wolfgang Jarasusch*

14:45 Chemo-ecologically mediated interactions among '*Candidatus* Phytoplasma mali', its vector *Cacopsylla picta*, and their host plant *Malus domestica*  
*Christoph J. Mayer, A. Vilcinskas, J. Gross*

15:00 Production of polyclonal and monoclonal antibodies specific against membrane proteins of '*Candidatus* Phytoplasma asteris', *chrysanthemum yellows* isolate  
*Luciana Galetto, D. Bosco, J. Fletcher, C. Marzachi*

15:15 Effect of pear decline phytoplasma on gene expression in *Catharanthus roseus*  
*V. Carginale, V. De Luca, C. Capasso, M.R. Baldi, G. Maria, M. Pastore, A. Bertaccini, L. Carraro, Antonio Capasso*

15:30 Phytoplasma induced changes in gene expression in *in poinsettia*  
*Mogens Nicolaisen, N. Meyn Christensen*

15:45 A secreted effector protein of AY-WB phytoplasma accumulates in nuclei and alters gene expression of host plant cells, and is detected in various tissues of the leafhopper *Macrostelus quadrilineatus*  
*X. Bai, A. El-Desouky, Saskia A. Hogenhout*

16:00 *Coffee break*

Interactions among phytoplasmas and hosts II *Alain Blanchard & Yaima Arocha*

16:15 Gene expression and enzymatic activity of invertases and sucrose synthase in *Spiroplasma citri* or strobilur phytoplasma infected plants  
*J. Machenaud, R. Henri, M. Dieunade-Noubhani, P. Pracros, J. Renaudin, Sandrine Evellard*

16:30 Strobilur phytoplasma-infected tomato showed alteration of S1DEF methylation status and deregulation of methyltransferase genes expression  
*P. Pracros, M. Hernould, E. Taysier, Sandrine Evellard, J. Renaudin*

16:45 Double infection of '*Candidatus* phytoplasma asteris' and "Flavescence dorée" phytoplasma in the vector *Euscelidius variegatus*  
*Romina D'Amelio, C. Marzachi, D. Bosco*

- 17:00 Aster yellows phytoplasma witches' broom (AY-WB; '*Candidatus* Phytoplasma asteris') increases survival rates of *Macrosteles quadrilineatus* and *Dalbulus maidis* on various plant species - Heather N. Kingdom, S.A. Hogenhout
- Pattern of chrysanthemum yellows phytoplasma multiplication in three leafhopper vector species (Cicadellidae Deltocephalinae) - Domenico Bosco, L. Galetho P. Leoncini, P. Saracco, B. Raccach, C. Marzachi
- Maize bushy stunt phytoplasma transmission by *Dalbulus maidis* is affected by spiriplasma acquisition and environmental conditions  
Elizabeth de Oliveira, J.C. Santos, P.C. Magalhães, I. Cruz

Elizabeth  
de  
Oliveira

- 17:15 Protein extraction for *Cocos nucifera* with and without lethal yellowing phytoplasma: gel-based proteomic - Celso Reyes-Martínez, D. Morales-Angales, M. Narvaez-Cab, J.A. Osuna-Castro, D. Zizumbo-Villarreal, C.M. Oropeza-Salín, E. Peña-Beltrán
- Productive parameters in Chardonnay and Vermentino grapevines infected with "bois noir" and recovered in Sardinia - Raimondo Garau, A. Sechi, V.A. Prota, G. Moro
- Recovery phenomena in grapevines affected by grapevine yellows in Friuli Venezia Giulia  
C. Bellomo, L. Carraro, P. Ermacora, Francesco Pavari, R. Osler, C. Frausin, G. Governatori

Paolo  
Ermacora

## 20:00 Social Dinner



## Wednesday November 14

- 9:00 Prospects of DNA-based systems for differentiation and classification of phytoplasmas  
Ing-Ming Lee - Molecular Plant Pathology Laboratory, Beltsville, MD, USA

## Phytoplasma detection methods I

- 9:45 Evaluation of SSCP analysis as a tool for detection of phytoplasma molecular variability  
Dijana Skoric & Josef Spak  
Martina Šeruga Musić, M. Kraljčić, D. Skorić
- 10:00 Experiences with phytoplasma detection and identification by different methods  
Jana Fránková, K. Petrzik, F. Paprštein, J. Kučerová, M. Navrátil, P. Válová, J. Nebesářová, H. Jakesšová
- 10:15 Optimization of extraction procedure can improve phytoplasma diagnostics  
Jana Boben, N. Mehle, M. Ravnikar
- 10:30 A real-time PCR method for detection and quantification of '*Candidatus* Phytoplasma prunorum' in its natural hosts  
Marta Martini, N. Loi, P. Ermacora, L. Carraro, M. Pastore

## 10:45 Coffee break

## Phytoplasma detection methods II

- 11:00 Detection of "flavescence dorée" in grapevines by RT-PCR  
Marta Marlini & Ing Ming Lee  
Sabrina Palmano, P. Margaria, C. Marzachi, M. Turina
- 11:15 Establishing a real-time PCR detection procedure of "flavescence dorée" and "bois noir" phytoplasmas for mass screening  
M. Gori, R. Monnanni, M. Buiatti, E. Gotti, S. Carnevale, L. Da Prato, A. Bertaccini, Stefano Birciochi
- 11:30 Developing a method for phytoplasma identification in cactus pear samples from California  
Assunta Bertaccini, A. Calari, P. Felker  
Rasa Jomantiene, RE. Davis  
Rasa  
Jomantiene
- 11:45 Problems in detection of European stone fruit yellows phytoplasma in apricot trees in the Czech Republic - Jaroslav Polák, J. Salava, M. Bryxiová, J. Svoboda  
Seasonal occurrence of '*Candidatus* phytoplasma pyri' in pear trees in the Czech Republic - Jana Kučerová, R. Karašová, M. Navrátil, P. Válová  
Jana  
Kučerová
- Detection of latent apple proliferation infection in two differently aged apple orchards in South Tyrol (northern Italy) - Sanja Baric, C. Kerschbamer, J. Dalla Via

## New phytoplasmas and new phytoplasma diseases I

- 12:00 A new phytoplasma associated with witches' broom of *Cassia italica* in Oman  
A.J. Khan, A.M. Al-Subhi, Alberto Calari, N.A. Al-Saad, A. Bertaccini
- 12:15 A new disease causing stunting and shoot proliferation in *Gypsophila* is associated with phytoplasma  
Abdullah Gera, P.G. Weintraub, L. Maslenn, S. Spiegel, M. Zeidan
- 12:30 Detection and characterization of a phytoplasma associated with frog skin disease in cassava  
Elizabeth Alvarez, J.F. Mejía, G.A. Llano, J.B. Loke  
Elizabeth Alvarez
- 12:45 A severe disease induced by '*Candidatus* Phytoplasma asteris' in *Digitalis lanata*  
M.G. Ballard, A. Benni, S. Patrinieri, Assunta Bertaccini
- 13:00 Lunch

## New phytoplasmas and new phytoplasma diseases II

- 14:30 First report of group 16SrIII phytoplasma in loofah (*Luffa cylindrica*)  
Helena G. Montano, P.S.T. Brioso, J.D. Cunha Jr, D.V. Figueiredo, J.P. Pimentel
- 14:45 Virescence of tenweeks stock associated to phytoplasma  
S. Davino, A. Calari, M. Davino, Marilde Tessitori, A. Bertaccini, M.G. Bellard
- 15:00 Phytoplasma infection in the four o'clock flower (*Mirabilis jalapa*)  
I. Sobolev, P.G. Weintraub, A. Gera, Y. Tam, Sara Spiegel
- 15:15 A new phytoplasma associated with a zigzag line pattern in leaves of *Lilium* spp. in Mexico  
N.E. Cortés-Martínez, Ernestina Valadez-Moctezuma, L.X. Zelaya-Molina, J. Aguilar-Ríos
- 15:30 "Al-Wijam", a new phytoplasma disease of date palm in Saudi Arabia  
Khalid Alhudaib, Y. Arocha, M. Wilson, P. Jones
- 15:45 *Sicana odorifera* (Cucurbitaceae): a new phytoplasma host - Helena G. Montano, P.S.T. Brioso, R.C. Pereira, J.P. Pimentel  
Molecular characterization of phytoplasma associated with *Echinops* witches' broom disease - Ali Masoud Al-Subhi, N.A. Al-Saad, A.J. Khan  
Ali  
Masoud  
Al-Subhi
- 16:00 Coffee break

- 16:15 Effects induced by fungal endophytes in *Catharanthus roseus* tissues infected by phytoplasmas **Rita Musetti, R. Polizzotto, S. Grisan, M. Martini, S. Borselli, L. Carraro, R. Osler**
- 16:30 Factors affecting the spread of "bois noir" disease in grapevine cv Lambrusco in northern Italy **Nicola Mori, F. Pavan, R. Bondavalli, N. Reggiani, S. Palmieri, A. Bertaccini**
- 16:45 Push and pull strategy to reduce *Hyalesthes obsletus* population in vineyards by *Vitex agnus castus* as trap plant **Tirza Zahavi, S. Peles, A. Harari, V. Soroker, R. Sharon**
- 17:00 Breeding of apple rootstocks resistant to 'Candidatus Phytoplasma mali' **Wolfgang Jarausch, C. Bisognin, B. Schneider, S. Grand, R. Velasco, E. Seemüller**
- 17:15 *Malus sieboldii*-based rootstocks mediate apple proliferation resistance to grafted trees **Erich Seemüller, E. Moll, B. Schneider**
- 17:30 Screening and development of resistant sesame varieties against phytoplasma **P.K. Singh, Mohammad Akram, M. Vaiphey, R.L. Srivastava, K. Kumar, R. Nareesh**
- 17:45 Survey of sweet orange cultivars for stubborn disease resistance in Iran **Magnieh Neyaf, M. Salehi, M. Fayyazi, K. Izadpanah**
- 18:00 Occurrence of 'Candidatus Phytoplasma mali' in apple cultivars or selections grown in Trentino (north Italy) orchards - *Franco Roberto De Salvador, M. Fischella, M. Fontanari, S. Palmieri, E. Galassi, S. Tartagni, A. Bertaccini*
- Responses of six Turkish apricot cultivars to 'Candidatus Phytoplasma prunorum' under greenhouse conditions - **Çiğdem Ulubas Serre, M. Gazel, S. Yalcin, K. Çalgayan**
- 18:00 Hot water treatment and field coverage of mother plant vineyards to prevent propagation material from phytoplasma infections - **Franco Manni**
- Activity of synthetic and natural compounds for phytoplasma control **S. Chiesa, S. Prati, Gemma Assante, D. Marfi, P.A. Bianco**
- Attempts to eliminate phytoplasmas from grapevine clones by tissue culture techniques - **Ivana Grubauo, P. Ruffa, D. Guizzo, G. Gambino, C. Marzachi**
- Preliminary results on the evaluation of the effects of elicitors of plant resistance in chrysanthemum yellows phytoplasma infection - **R. D'Amelio, N. Massa, E. Gamalero, G. D'Agostino, S. Sampo, G. Bertra, F. Faoro, M. Irfi, D. Bosco, Cristina Marzachi**
- 18:15 Management of pear decline caused by "Candidatus Phytoplasma pyri" in Hungary **Sándor Szele, G. Jenser, É. Sita**
- Verification of phytoplasma presence in certified fruit tree material in Emilia Romagna region - **R. Bissani, S. Botti, Marco Cardoni**
- Investigation on European stone fruit yellows in experimental apricot orchards in the province of Trento (Italy) - **Carlo Poggi Pollini, L. Bianchi, F. Forno, S. Franchini, L. Giunchedi, M. Gobber, L. Mattiadi, P. Miorrelli, D. Pignatta, D. Proftazer, C. Ratti, N. Reggiani**

Phytoplasma phylogeny and characterization I **Marina Barba & Xavier Foissac**

- 9:00 Occurrence and diversity of phytoplasmas detected in clematis and their relationships with grapevine "flavescence dorée" phytoplasmas **Luisa Filippin, J. Jović, V. Forte, T. Cvrković, I. Toševski, M. Borigo, E. Angelini**
- 9:15 Detection and diversity of "flavescence dorée" related phytoplasmas in alders surrounding infected vineyards in Aquitaine - France **Sylvie Malembic-Maher, P. Salar, D. Vergnes, X. Foissac**
- 9:30 Molecular characterization of phytoplasmas in Chilean grapevines **Nicola Fiore, S. Prodan, S. Palmieri, A. Gajardo, S. Botfi, A.M. Pino, J. Monteleone, A. Bertaccini**
- 9:45 Genetic structure of *Scaphoides titanus* populations and genetic diversity of the epidemic strains of "flavescence dorée" phytoplasma: the situation in France **Darciana Papura, M. van-Helden, X. Gressac, P. Salar, J.-L. Danet, X. Foissac, S. Malembic-Maher**
- 10:00 Distribution and molecular characterization of apple proliferation phytoplasma in Turkey **Didem Canik, F. Ertunc**
- 10:15 Molecular investigation on the genetic polymorphism of 'Candidatus Phytoplasma prunorum' detected in plum and apricot fruit trees **Luca Ferretti, G. Pasquini, G. Albanese, M. Barba**
- 10:30 *Imp* and *secY*, two new markers for MLST (Multi-locus Sequence Typing) in the 16SrX phytoplasma taxonomic group **Jean-Luc Danet, P. Bonnet, W. Jarausch, L. Carraro, D. Skoric, G. Labonne, X. Foissac**
- 10:45 *Coffea* break
- Phytoplasma phylogeny and characterization II **Fiona Constable & Paolo Ermacora**
- 11:00 Identification of phytoplasmas belonging to aster yellows ribosomal group in vegetables in Serbia **Bojan Duduk, A. Bulajic, N. Duduk, A. Calari, S. Palmieri, B. Krstić, A. Bertaccini**
- 11:15 Phylogenetic analysis of phytoplasmas based on sequences derived from the *secA* and 23S rDNA genes **Jennifer Hodgett, N. Harrison, R. Mumford, N. Bootham, M. Dickinson**
- 11:30 Genetic diversity of Italian and French "bois noir" phytoplasma isolates - *Gavda Pacifica*, X. Foissac, F. Veratti, C. Marzachi **Genetic diversity of Italian and French "bois noir" phytoplasma isolates - *Gavda Pacifica*, X. Foissac, F. Veratti, C. Marzachi**
- Phylogenetic relationships of sugarcane grassy shoot phytoplasma with closely related agents - *Govind P. Rao, S. Srivastava, M. Singh, C. Marcone*
- Virtual RFLP analysis of 16S rDNA sequences identifies new subgroups in the clover proliferation phytoplasma group - *W. Wei, L.-M. Lee, R.E. Davis, X. Sun, Yan Zhao*

Epidemiology II		Gabi Krzczal & Wolfgang Jarausch	
14:30	Detection of phytoplasma DNA in embryos from coconut palms in Ghana, and kernels from maize in Peru	J.O. Nipah, P. Jones, J. Hodgetts, Matt Dickinson	
14:45	Transmission of 'Candidatus Phytoplasma mali' by root bridges under natural and experimental conditions	A.M. Ciccoffi, P.L. Bianchedi, P. Bragagna, M. Deromedi, M. Filippi, F. Forno, Luisa Malfredi	
15:00	Research on European stone fruit yellows (ESFY) in Germany	Barbara Jarausch, A. Fuchs, I. Mühlenz, I. Lampe, U. Harzer, W. Jarausch	
14:30	Phytoplasma infected plants in Austrian forests: role as a reservoir?	E. G. Borroto Fernández, A. Calari, V. Hanzer, H. Katinger, A. Bertaccini, Margit Laimer	
15:30	Bunchy top symptom of papaya in Cuba: new insights	Yaima Arocha, B. Piñol, M. López, I. Miranda, R. Almeida, M. Wilson, P. Jones	
15:45	The syndrome "basses richesses" of sugar beet in France is associated with different pathogen types and insect vectors	A. Bressan, O. Séméty, B. Nusillard, Elisabeth Boudon-Padiou	
16:00	Maize redness in Serbia caused by stolbur phytoplasma is transmitted by <i>Reptalus panzeri</i>	Jelena Jović, T. Cvrković, M. Mitrović, S. Krnjanić, A. Petrović, M.G. Redinbaugh, R.C. Pratt, S.A. Hogenhout, I. Toševski	
16:15	Host plant specificity of <i>Hyalosthes absoletus</i> and consequences for "bois noir" epidemiology	Michael Maixner, J. Johannesen, K. Michel, B. Lux, A. Seltz	
16:30	Posters down		
year 20??	Second International Phytoplasma Working Group meeting		IPWG

Epidemiology I		Margaret Redinbaugh & Abdullah Gera	
11:45	Grapevine yellows survey in grape growing areas of four districts in Bologna province - Valerio Vicchi, P. Grillini, A.R. Babin, G. Ghermandi, R. Cornale		
	Relationships among <i>Hyalosthes obsoletus</i> , its herbaceous host plant and "bois noir" phytoplasma strain in vineyard ecosystems in the Marche region (central-eastern Italy) - Paola Riola, L. Landi, S. Nardi, N. Isidoro		
	Molecular characterization of stolbur isolates collected in grapevines, weeds and insects in central and southern Italy - Graziella Pasquini, L. Ferretti, A. Gentili, B. Bagnoli, V. Cavaleri, M. Barba		
12:00	Phytoplasmas in Lebanon: characterization of 'Candidatus Phytoplasma pyri' and stolbur phytoplasma respectively associated with pear decline and grapevine "bois noir" diseases - Pascal Salar, E. Choueiri, F. Jreijiri, S. El Zannar, J.-L. Danet, X. Foissac		
	Molecular diversity in 'Candidatus Phytoplasma mali' in Lombardia - Paola Casati, A. Stern, P. Spadone, M. Calvi, D. Bulgari, P.A. Bianco, G. Belli		
	Sequencing of the ribosomal protein gene <i>rpl16</i> from 'Candidatus Phytoplasma ulmi' infecting a historic <i>Ulmus minor</i> - G. Durante, F. Quaglino, Pier Athilio Bianco, P. Casati		
		Pier Athilio Bianco	
12:15	Uneven distribution of stolbur phytoplasma in Italian grapevines as revealed by nested-PCR - F. Terlizzi, Rino Credi		
	Incidence of "bois noir" phytoplasma in different wine-growing regions of Spain and its relation to <i>Hyalosthes obsoletus</i> - J. Sabaté, A. Lavilla, J. Legorburu, J. Fortaneta, J.J. Perez de Obanos, J.L. Perez Marín, J. Reyes, Assumpció Batlle		
	Surveys for grapevine yellows phytoplasmas in Bosnia and Herzegovina - Duška Delić, G. Seljak, M. Marhini, P. Ermacora, L. Carraro, A. Myrta, G. Đunić	Duška Delić	
12:30	Detection and incidence of FD and BN phytoplasmas in vineyards of different grapevine cultivars in Serbia - S. Kuzmanovic, M. Martini, Zarko Ivanovic, D. Josic, S. Živkovic, M. Starovic		
	Presence of <i>Scaphoideus titanus</i> on American grapevine in woodlands, and infection with "flavescence dorée" phytoplasmas - Federica Lessio, R. Tedeschi, A. Alma	Federica Lessio	
	"Flavescence dorée" in Switzerland: spread of the disease in canton of Ticino and of its insect vector, now also in cantons of Vaud and Geneva - Santiago Schaefer, H. Johnston, P. Gugerli, C. Linder, L. Shaub, L. Colombi		
12:45	Occurrence, distribution and detection of potato purple top phytoplasma disease in the Punjab (Pakistan) - Mian Muhammad Nasir, S.M. Mughal, S.M. Khan		
	Detection of phytoplasmas in plantlets grown from different batches of seed-potatoes - Samanta Paltrinieri, A. Bertaccini		
	Study on diverse grafting techniques for their capability in rapid and efficient transmission of apple proliferation disease to different host plants - Magid Aldaghi, S. Massart, S. Steyer, M. Lateur, M.H. Jijakli		
	Molecular identification of phytoplasmas infecting myrtle plantations in Sardinia (Italy) - Vanda Assunta Profa, R. Garau, S. Paltrinieri, S. Botto, S. Nahdi, A. Calari, A. Sechi, A. Bertaccini	Vanda Assunta Profa	
13:00	Lunch		

SCIENTIFIC COMMITTEE

ASSUNTA BERTACCINI UNIVERSITY OF BOLOGNA  
ITALY

ALAIN BLANCHARD UNIVERSITÉ DE BORDEAUX II AND INRA  
BORDEAUX FRANCE

JACQUELINE FLETCHER UNIVERSITY OF OKLAHOMA, STILLWATER, OK, USA

XAVIER FOISSAC INRA, BORDEAUX  
FRANCE

KAREN GIBB CHARLES DARWIN UNIVERSITY, DARWIN  
AUSTRALIA

SASKIA HOGENDOUT THE JOHN INNES CENTRE, NORWICH NORFOLK, UK

BARBARA JARAUSCH ALPLANTA, NEUSTADT AN DER WEINSTRASSE  
GERMANY

WOLFGANG JARAUSCH ALPLANTA, NEUSTADT AN DER WEINSTRASSE  
GERMANY

PHIL JONES ROTHAMSTED RESEARCH, HAREPENDEN HERTS, UK

ING MING LEE USDA, ARS, BELTSVILLE, MD  
USA

LIA LIEFTING MINISTRY OF AGRICULTURE AND FORESTRY  
AUCKLAND NEW ZEALAND

SHIGETOU NAMBA THE UNIVERSITY OF TOKYO, TOKYO  
JAPAN

PHILIS WEINTRAUB GILAT RESEARCH CENTER, D. N. NEGEV  
ISRAEL

ORGANIZING COMMITTEE

Alma Mater Studiorum, University of Bologna, Faculty of Agriculture

ASSUNTA BERTACCINI

MARIA GRAZIA BELLARDI

ALBERTO CALARI

BOJAN DUDUK

SABRINE NAHDI

SAMANTA PALTRINIERI

CARLO POGGI POLLINI

*See you at the Second IPWQ meeting...*

*... year 20???*

Meetings agenda, abstract book will be available at: [www.boluniv.it/inse/technology.org](http://www.boluniv.it/inse/technology.org)  
For further info contact: [ipwq@ipwq.org](mailto:ipwq@ipwq.org) E-MAIL: [ipwq@ipwq.org](mailto:ipwq@ipwq.org) Phone: FAX: ++39-051-2096723



## Molecular characterization of phytoplasmas in Chilean grapevines

Nicola FIORE<sup>1</sup>, Simona PRODAN<sup>1</sup>, Samanta PALTRINIERI<sup>2</sup>, Angela GAJARDO<sup>1</sup>, Simona BOTTI<sup>2</sup>, Ana Maria PINO<sup>1</sup>, Jaime MONTEALEGRE<sup>3</sup>, Assunta BERTACCINI<sup>2</sup>

<sup>1</sup>Departamento de Producción Agrícola, Facultad de Ciencias Agronómicas, University of Chile

<sup>2</sup>Dipartimento di Scienze e Tecnologie Agroambientali, Patologia vegetale, University of Bologna, Italy

<sup>3</sup>Departamento de Sanidad Vegetal, Facultad de Ciencias Agronómicas, University of Chile

### Abstract

Extensive survey to detect and identify phytoplasmas associated with Chilean grapevines was performed from 2003 to 2005 sampling symptomatic or asymptomatic grapevine plants. Nested PCR amplification allow the detection of phytoplasmas in 28 out of 90 samples. RFLP analyses identified phytoplasmas as belonging to ribosomal subgroups 16SrI-B, 16SrI-C, 16SrVII-A and 16SrXII-A. Cloning and sequencing of selected strains allow to detect genetic variability in 16SrXII-A strains.

**Keywords:** Phytoplasmas, grapevine yellows, nested-PCR, RFLP, sequencing.

### Introduction

Grapevine (*Vitis vinifera* L.) is widely cultivated in Chile and visual detection of yellows symptoms was reported (Caudwell, 1988). More recently, plants with symptoms of grapevine yellows (GY) in both table and wine grape varieties were observed and preliminary phytoplasma identification was reported (Gajardo *et al.*, 2003). Further studies carried out on selected phytoplasmas allow to verify the presence of genetic variability in 16S ribosomal gene of Chilean grapevine strains (Bertaccini *et al.*, 2004).

To identify phytoplasmas present in symptomatic and/or asymptomatic grapevines, surveys were intensified in five regions of Chile (Coquimbo, Valparaíso, Metropolitana de Santiago, Libertador General Bernardo O'Higgins, Maule), where the main grapevine production is concentrated.

### Materials and methods

The optimal time-window to visualize yellows in Chile is from the end of January to middle of May. Samples from 90 symptomatic or asymptomatic grapevine plants belonging to table grape: Autumn Royal, Thompson Seedless, Crimson Seedless, and wine grape: Chardonnay, Petit Syrah, Syrah, Cabernet Sauvignon, Merlot, Carménère were collected from summer 2003 to summer/fall 2005. Samples consist of branches with mature leaves, from which both leaf mid-ribs and phloem were quickly separated, tissues that are then immediately frozen in liquid nitrogen and stored at -80 °C.

Total nucleic acids were extracted from 1 g of mixture of main leaf midribs and phloem tissues (Prince *et al.* 1993), dissolved in Tris-EDTA pH 8 buffer, and maintained at 4 °C; 20 ng/μl of nucleic acid were used for amplification.

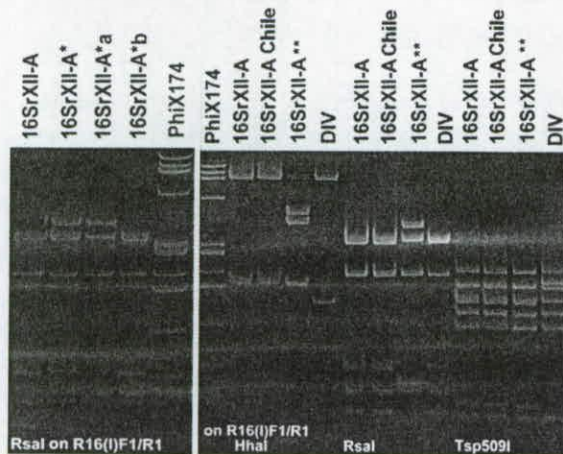
After direct PCR with primer pair P1/P7, nested PCR with R16F2n/R2 primers (Gundersen and Lee, 1996) or

F1/B6 (Duduk *et al.*, 2004) was performed. Further nested PCR were performed with R16(I)F1/R1 (Lee *et al.*, 1995) and 16R<sub>758f</sub>/16S<sub>1232r</sub> (Gibb *et al.*, 1995) primer pairs. PCR and nested PCR reactions were carried out following published protocol (Schaff *et al.*, 1992). Identification of detected phytoplasmas was done using RFLP analyses on amplified ribosomal DNA fragments with *TruI*, *RsaI*, *HhaI*, *Tsp509I*, *TaqI*, *AluI* (Fermentas, MBI, Vilnius, Lithuania) restriction enzymes.

Selected F1/B6, R16F2/R2 and R16(I)F1/R1 amplicons from the diverse phytoplasmas identified after RFLP analyses were purified using Concert Rapid PCR Purification System (Life Technologies, Gaithersburg, MD, USA). DNA fragments were ligated into T/A cloning vector pTZ57R/T following the instructions of the InsT/Aclone PCR Product Cloning Kit (Fermentas, MBI, Vilnius, Lithuania). Putative recombinant clones were analysed by colony-PCR, sometimes in combination with the insert-specific primers. Amplicons obtained from 5 colonies per cloned fragment were subjected to RFLP analyses, as described above. Selected fragments from cloned DNAs were sequenced in both directions using the BIG DYE sequencing terminator kit (PE Biosystems, Warrington, UK). The sequences were then aligned with BLAST engine for local alignment (version Blast N 2.2.12).

### Results and discussion

Positive results were obtained only after nested amplification on P1/P7. Among the 90 samples tested 28 resulted infected by phytoplasmas. The R16F2n/R2, R16(I)F1/R1 and/or 16R<sub>758f</sub>/16S<sub>1232r</sub> nested PCR products were subjected to RFLP analysis that allow the assignment of phytoplasmas to different ribosomal subgroups: 16SrI-B (related to Aster yellows), 16SrI-C (related to Clover Phyllody), 16SrVII-A (related to Ash yellows) and 16SrXII-A (related to Stolbur). In particular 16SrXII-A phytoplasmas were identified in 10 sam-



**Figure 1.** RFLP profiles of phytoplasmas 16SrXII-A from Chilean grapevines. Controls: 16SrXII-A; DIV, *Diplotaxis virescens* (16SrI-B).

ples, 16SrXII-A and 16SrI-B were present in mixed infection in 1 sample, 16SrVII-A was detected in 8 samples, and mixed infection of 16SrI and VII-A (2 samples) and 16SrI-B and 16SrVII-A (1 sample), group 16SrI was also identified in 4 samples. A Chilean isolate referred after RFLP to 16SrXII-A was sequenced and deposited in GenBank (DQ177148).

In one further sample a *Rsal* variability in the RFLP profile of R16(I)F1/R1 was observed; molecular variability was also present in different cloned fragments from the same PCR product. After RFLP with *Rsal*, *HhaI*, *TruI*, and *Tsp509I*, two molecular 16SrDNA variants were identified, revealing that the new profile was a mixed population of two phytoplasmas named 16SrXII-A\*a and 16SrXII-A\*b (figure 1). After sequencing both phytoplasmas showed 98% of homology with phytoplasma AF248959 clone STOL11 (16SrXII-A). They were submitted to GenBank with the accession code AY739654 and AY739653. A last positive sample, named 16SrXII-A\*\*, collected in the same vineyard as the previous one, showed *HhaI* and *Rsal* variability (figure 1). Sequencing of relevant strains from ribosomal subgroup 16SrI-B (AY741532 and DQ177149) and 16SrVII-A (AY741531, DQ194355 and DQ232752) showed respectively 99-100% homology with 16SrI-B phytoplasma sequences world wide from different hosts, and 97-99% similarity with Ash yellows strains from USA, Colombia, Argentina and Brazil in different hosts.

During the extensive survey performed no evidence of "flavescence dorée" was verified; 16SrXII-A phytoplasmas are worldwide spread in viticultural areas therefore their detection in Chilean grapevine was not unsuspected, however the presence of variability in the 16Sr gene was never reported before for this phytoplasma (Bertaccini *et al.*, 2006). The finding of 16SrVII-A phytoplasmas is new for grapevine while the phytoplasma appear to be mainly detected in America

areas in different host species. The 16SrI-B and 16SrI-C phytoplasmas were already reported in some vineyards in Italy where no clear relationship with symptoms was determined. There is no evidence of epidemic spreading of yellows symptoms in the surveyed vineyards, however survey to verify presence and identity of insect vectors or potential vectors are in progress.

## Acknowledgements

This research was financed by Fundación para la Innovación Agraria (FIA), proyect BIOT-BID-PI-C-2001-1-A-013.

## References

- BERTACCINI A., BOTTI S., FIORE N., GAJARDO A., MONTEALEGRE J., 2004.- Identification of a new phytoplasma(s) infecting grapevine with yellows in Chile, pp. 63-64. In: *15<sup>th</sup> Congress of IOM*, July 11-16, 2004, Athens Georgia, USA.
- BERTACCINI A., PALTRINIERI S., BOTTI S., DUDUK B., FIORE N., KOLBER M., SKORIC D., TORRES E., CONTI M., 2006.- Diversity of 16SrXII phytoplasmas detected in grapevine growing areas worldwide, pp. 88-89. In: *15<sup>th</sup> Meeting of the ICVG*, April 3-7, 2006, Stellenbosch, South Africa.
- CAUDWELL A., 1988.- Bois noir and Vergelbungkrankheit. Other grapevine yellows, pp. 46-47. In *Compendium of grape diseases*. (PEARSON R.C., GOHEEN A.C., Eds).- American Phytopathological Society, St. Paul, Minnesota, USA.
- DUDUK B., BOTTI S., IVANOVIĆ M., KRSTIĆ B., DUKIĆ N., BERTACCINI A., 2004.- Identification of phytoplasmas associated with grapevine yellows in Serbia.- *Journal of Phytopathology*, 152: 575-579.
- GAJARDO A., BOTTI S., MONTEALEGRE J., FIORE N., BERTACCINI A., 2003.- Survey on phytoplasmas identified in Chilean grapevines, pp. 85-86. In: *14<sup>th</sup> Meeting of the ICVG*, September 12-17, 2003, Locorotondo (BA), Italy.
- GIBBS K. S., PADOVAN A. C., MOGEN B. A., 1995.- Studies on sweet potato little-leaf phytoplasmas detected in sweet potato and other species growing in Northern Australia.- *Phytopathology*, 85: 169-174.
- GUNDERSEN D. E., LEE I.-M., 1996.- Ultrasensitive detection of phytoplasmas by nested-PCR assays using two universal primer pairs.- *Phytopathologia Mediterranea*, 35: 144-151.
- LEE I.-M., BERTACCINI A., VIBIO M., GUNDERSEN D. E., 1995.- Detection of multiple phytoplasmas in perennial fruit trees with decline symptoms in Italy.- *Phytopathology*, 85: 728-735.
- PRINCE J. P., DAVIS R. E., WOLF T. K., LEE I.-M., MOGEN B. D., DALLY E. L., BERTACCINI A., CREDI R., BARBA M., 1993.- Molecular detection of diverse mycoplasma-like organisms (MLOs) associated with grapevine yellows MLOs.- *Phytopathology*, 83: 1130-1137.
- SCHAFF D. A., LEE I.-M., DAVIS R. E., 1992.- Sensitive detection and identification of mycoplasma-like organisms by polymerase chain reactions.- *Biochemistry Biophysics Research Communications*, 186: 1503-1509.

**Corresponding author:** Nicola FIORE (nfiore@uchile.cl). University of Chile, Avenida Santa Rosa, 11315 la Pintana, Santiago, Chile.

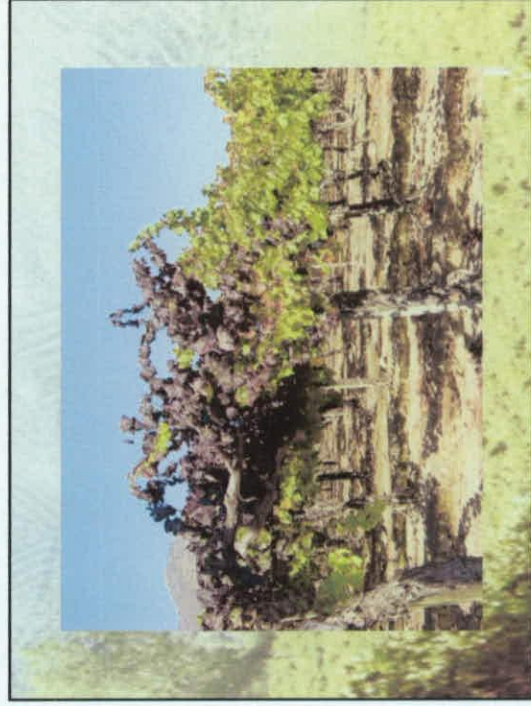
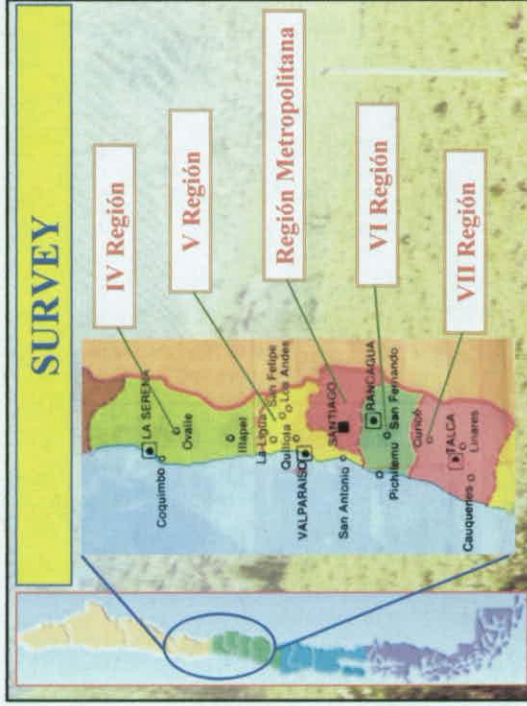
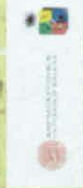
# Molecular characterization of phytoplasmas in Chilean grapevines

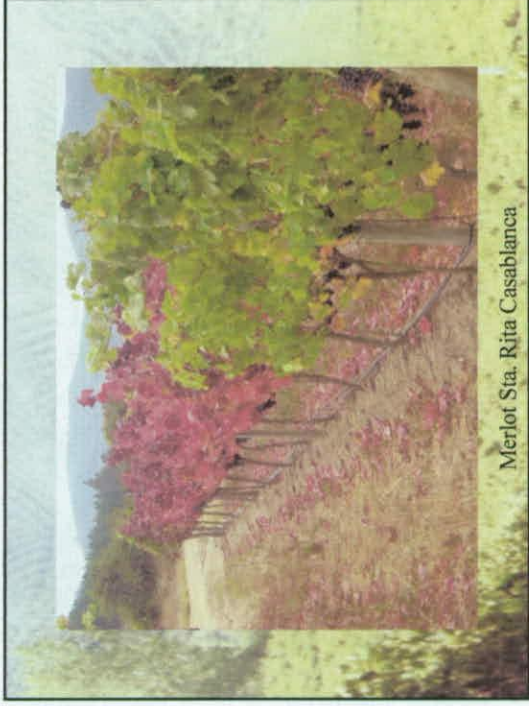
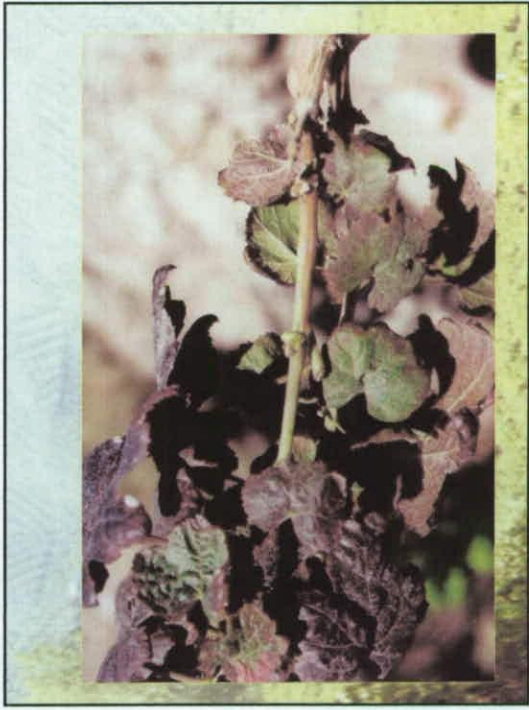
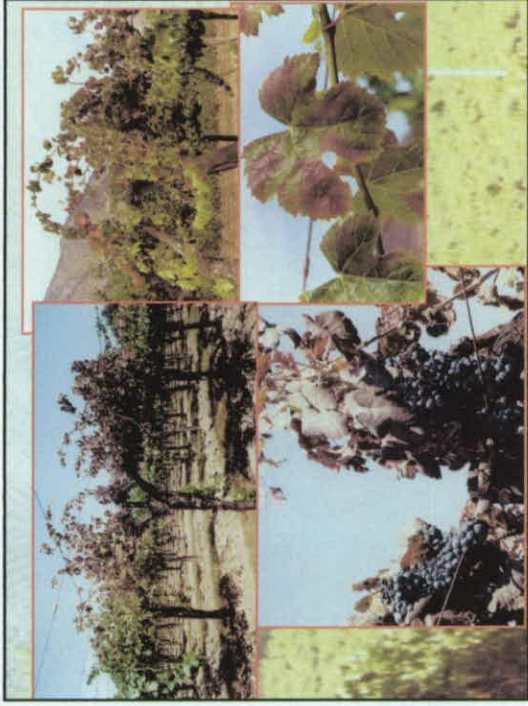
**N. FIORE, S. PRODAN, S. PALTRINIERI, A.  
GAJARDO, S. BOTTI, A.M. PINO, J.  
MONTEALEGRE, A. BERTACCINI**

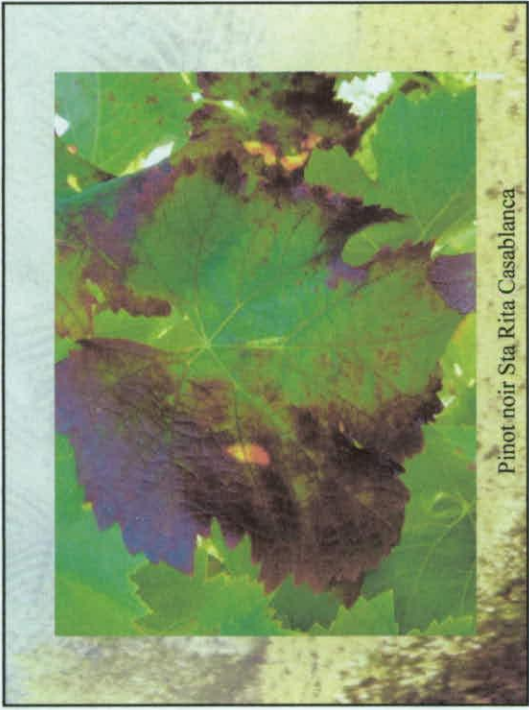
University of Chile, Santiago, Chile

DISTA, Plant Pathology, Alma Mater Studiorum, University of  
Bologna, Italy

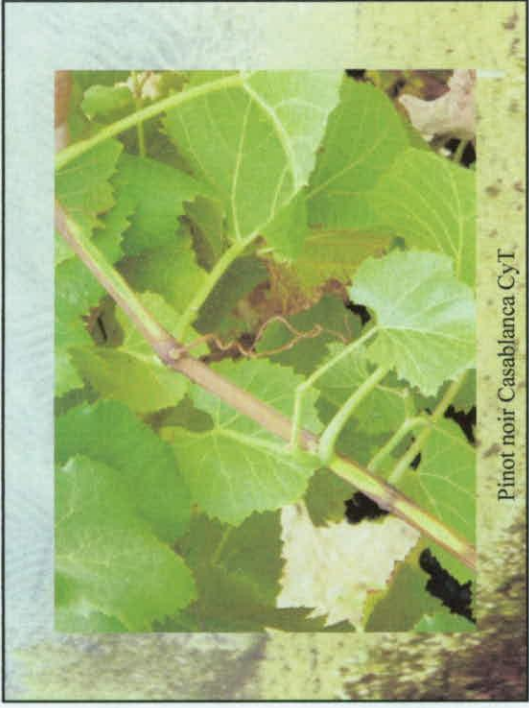
Proyecto FIA BIOT 01-A-013



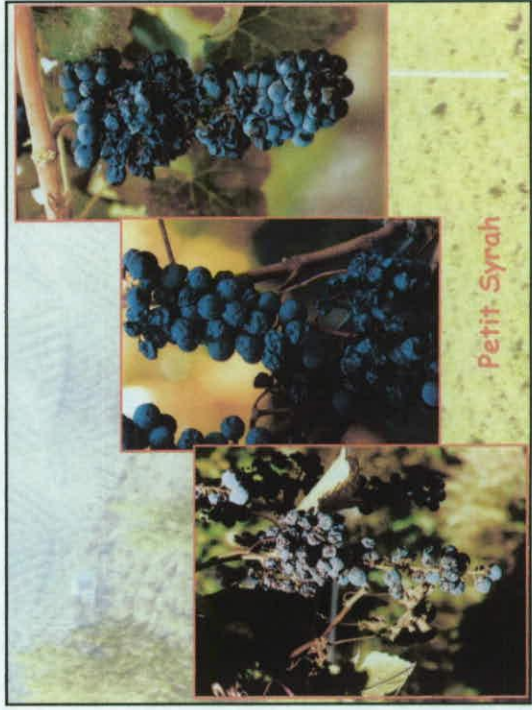




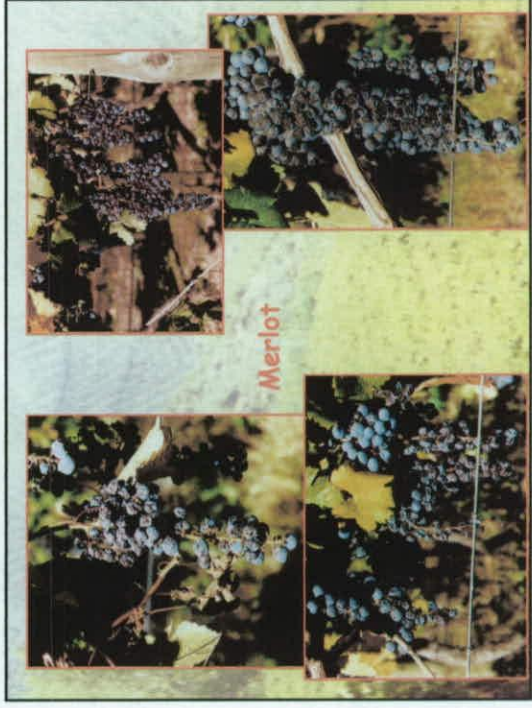
Pinot noir Sta Rita Casablanca



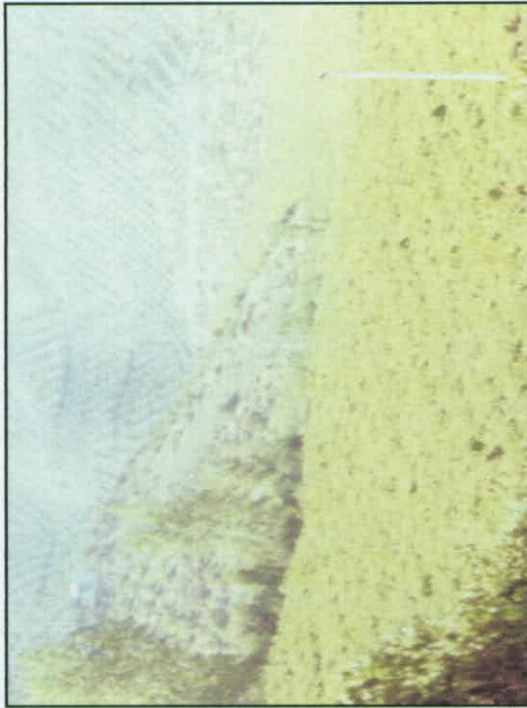
Pinot noir Casablanca CyT



Petit-Syrah

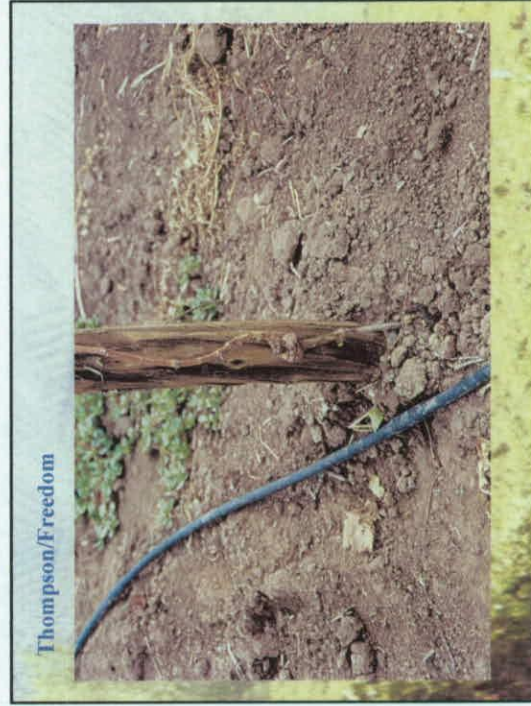
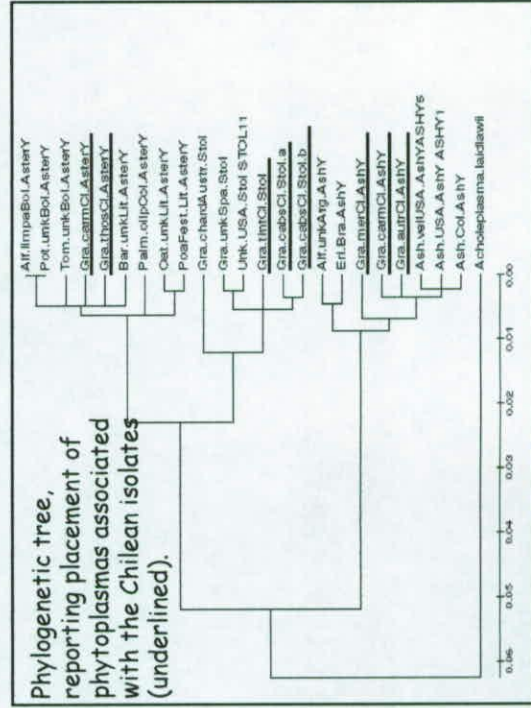


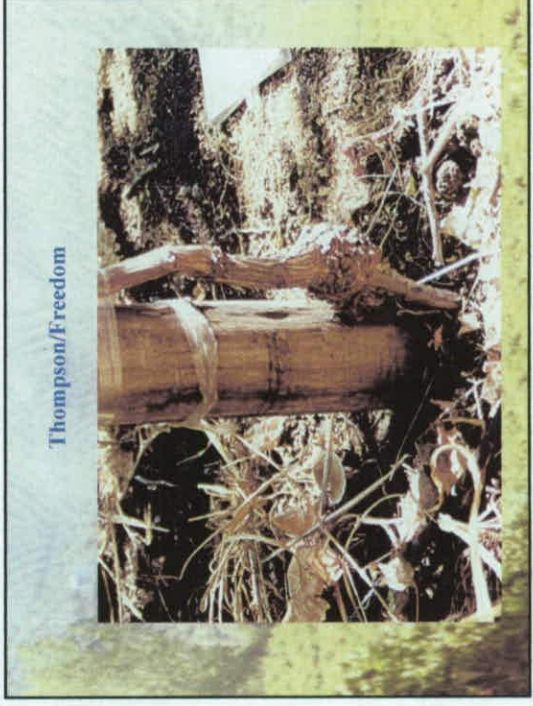
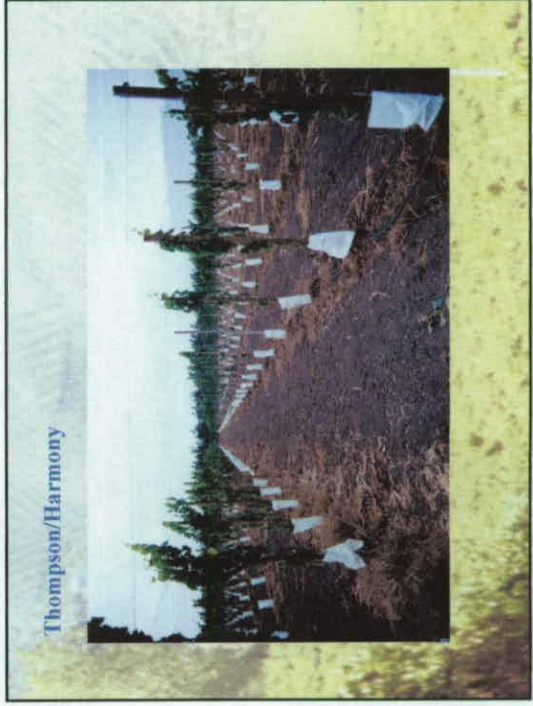
Merlot



**Phytoplasmas detected in grapevine in the world. In red results originated with this work.**

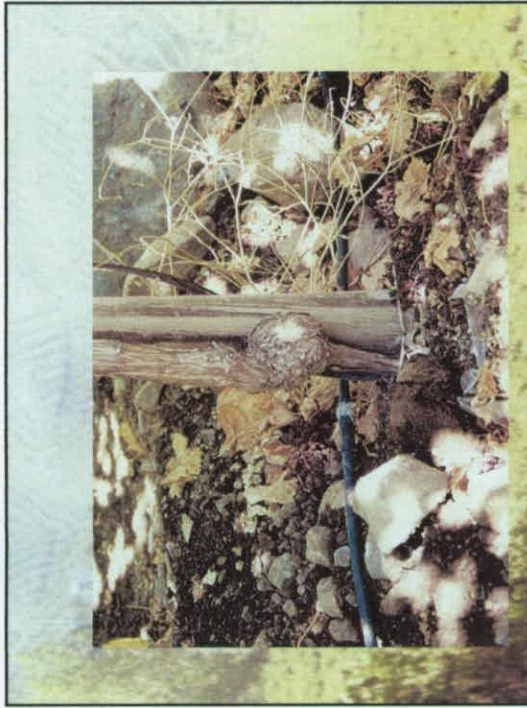
<b>16SrI (Aster yellows group)</b>	16SrI-A
Tomato big bud (EEU:Virginia)	16SrI-B
Aster yellows (Italia, <b>Chile</b> )	16SrI-C
Clover phyllody (Italia, <b>Chile</b> )	
<b>16SrII (Peanut witches' broom)</b>	16SrII-D
Sweet potato little leaf (Australia)	
<b>16SrIII (X-disease group)</b>	16SrIII-J
Virginian grapevine yellows (EEUU)	
<b>16SrIV (Elm yellows group)</b>	16SrIV-A
Elm yellows (Alemania, Italia)	16SrIV-C
Flavescencia dorada (Francia, España, Norte de Italia, Serbia)	Y 16SrIV-D
	16SrVII-A
<b>16SrVII (Ash yellows group)</b>	16SrX-B
Ca. Phytoplasma fraxini ( <b>Chile</b> )	
<b>16SrX (Apple proliferation group)</b>	16SrXII-A
European stone fruit yellows (Hungria, Serbia)	16SrXII-B
<b>16SrXII (Stolbur group)</b>	16SrXII-C?
Madera Negra (U. Europea, Croacia, Serbia, Israel, <b>Chile</b> )	
Ca. Phytoplasma australiense (Australia)	
Grapevine yellows ( <b>Chile</b> )	





Thompson/Freedom

Thompson/Harmony

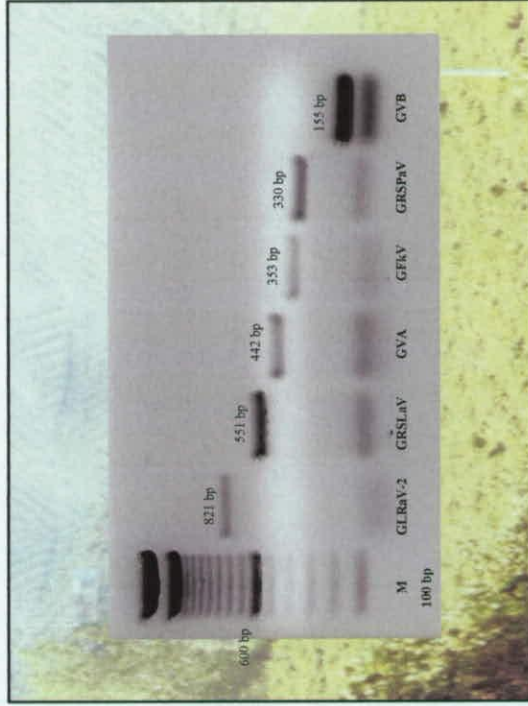


**ELISA ASSAYS**

<b>DAS-ELISA:</b>	<b>DASI-ELISA:</b>
GFLV	GVB
GLRaV-1, 2 and 3	GFRV
ToRSV	
SLRSV	
AcMV	
GVA	

## RT-PCR ASSAYS

<b>GRSPaV:</b>			330nt
48d / 49d	Zhang <i>et al.</i> , 1998		
<b>GRSLaV:</b>			551nt
RGHSIP227V / 777C	Rowhani <i>et al.</i> , 2000		
<b>GLRaV-2</b>			821nt
LRaV-2(1) / (2)	Abou-Ghannem <i>et al.</i> , 1998		
<b>GVA</b>			442nt
H587 / C995	Minufra and Hadidi, 1992		
<b>GVB</b>			155nt
H28 / B-Bo	Minufra and Hadidi, 1992		
<b>GFRV</b>			353nt
L630 / U279	Shi <i>et al.</i> , 2000		

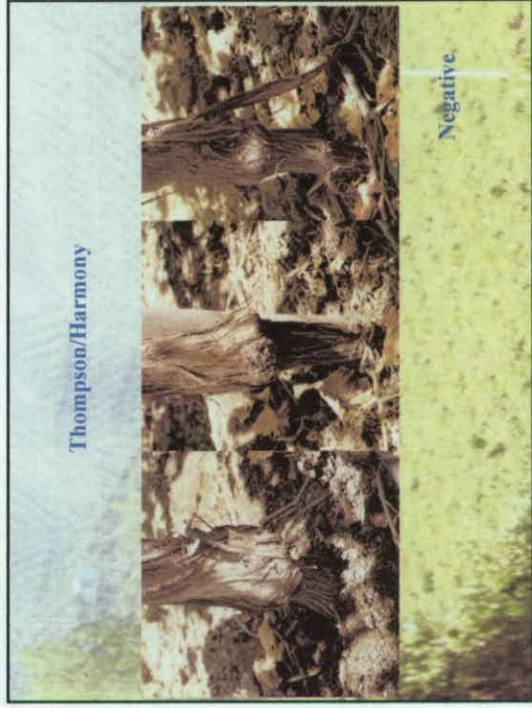
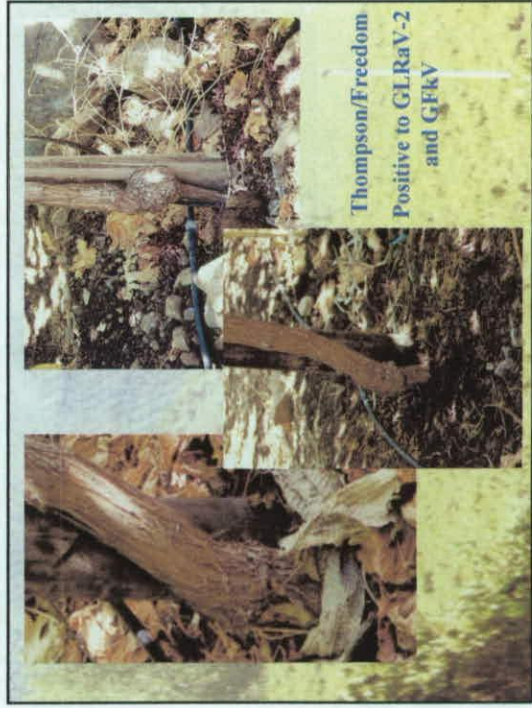
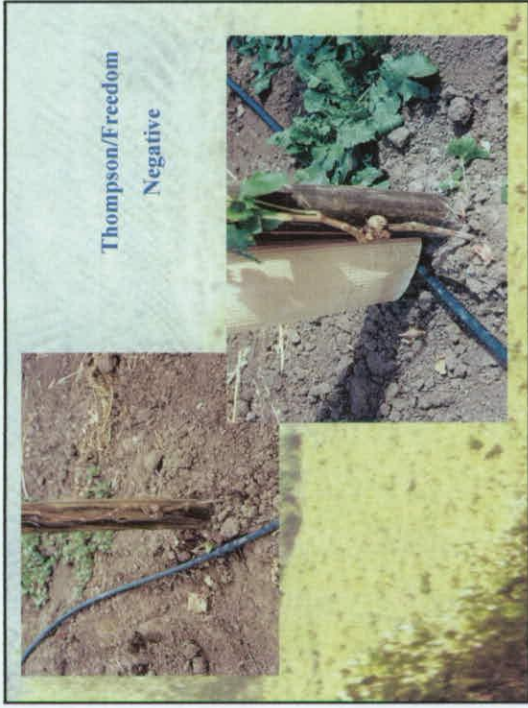
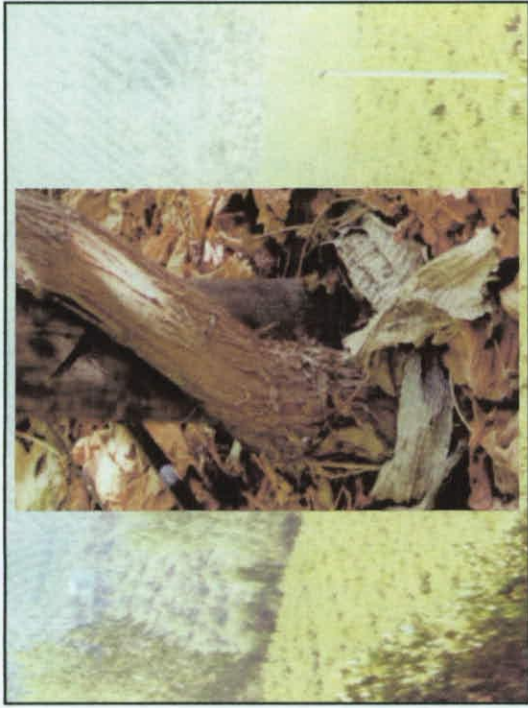


## Results of RT-PCR assay

Scion/ Rootstock	N° plants analyzed	% plants positive	% plants positive to different viruses			
			GLRaV-2	GFRV	GVA	GRSLaV
Thompson /Freedom with symptoms	20	65.0	65.0	60.0	0.0	5.0
with symptoms	17	39.3	58.8	39.8	0.0	0.0
Thompson/ Harmony with symptoms	16	56.3	25.0	31.2	18.7	0.0
with symptoms	13	46.2	23.0	56.8	15.4	0.0

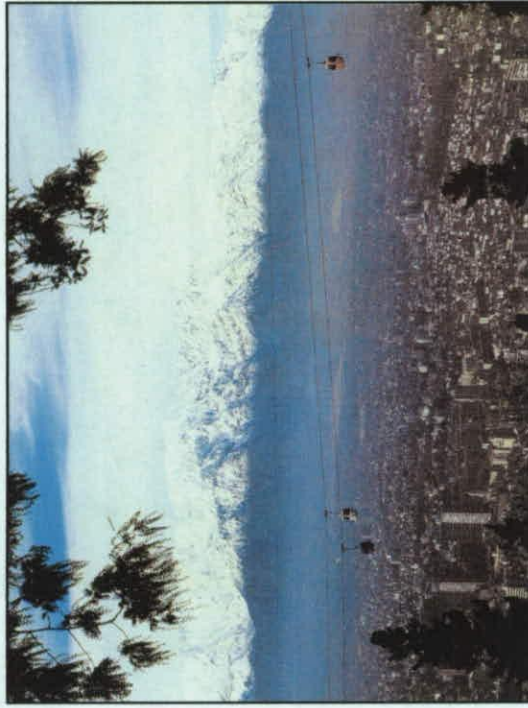
Thompson/Freedom





## CONCLUSIONS

- GVB, GVA, GLRaV-2, GFkV, GRSPaV and GRSLaV not responsible
- Improve grafting techniques and management of plants in vineyards
- Further studies are necessary to clarify the origin of grapevine decline





## 23 SUMMARY

24 Grapevines from six Chilean regions were surveyed for virus diseases and tested for  
 25 the presence of the most important viruses. ELISA testing of 2535 samples and confirmatory  
 26 RT-PCR of some ELISA-negative samples from symptomatic and symptomless vines gave  
 27 the following infection rates: 6.36% for *Grapevine fanleaf virus* (GFLV); 4.67% for  
 28 *Grapevine leafroll associated virus 1* (GLRaV-1); 16.05% for *Grapevine leafroll associated*  
 29 *virus 2* (GLRaV-2); 6.41% for *Grapevine leafroll associated virus 3* (GLRaV-3); 0.26% for  
 30 *Grapevine leafroll associated virus 7* (GLRaV-7); 14.99% for *Grapevine fleck virus* (GFkV);  
 31 5.57% for *Grapevine virus A* (GVA) and 0.78% for *Grapevine virus B* (GVB). *Strawberry*  
 32 *latent ringspot virus* (SLRSV) *Tomato ringspot virus* (ToRSV) and *Arabis mosaic virus*  
 33 (ArMV) were not detected. Overall infection in the surveyed Chilean grapevines, considering  
 34 ELISA and RT-PCR, was 32.35%. Virus infection ratio obtained from ELISA analysis in the  
 35 six regions, varied between 21.19% (Región Metropolitana) and 74.26% (Coquimbo). RT-  
 36 PCR was used for detection of the Red Globe strain of GLRaV-2 and *Grapevine rupestris*  
 37 *stem pitting associated virus* (GRSPaV), and to confirm and extend ELISA results. GVB,  
 38 GFkV, GRSPaV, GLRaV-2 RG and GLRaV-7 are new records for Chile.

39  
 40 *Key words:* Chile, Grapevine viruses, detection, ELISA, RT-PCR.

41  
 42  
 43 In Chile, grapevines represent one of the most valuable crops, being extensively grown  
 44 between Atacama (III) and Maule (VII) regions (Fig.1). The main wine grape varieties are  
 45 Cabernet Sauvignon, Merlot, Carménère, Chardonnay, Sauvignon blanc, Syrah and Pinot  
 46 noir, whereas the prevailing table grape cultivars are Thompson Seedless, Flame Seedless,  
 47 Red Globe, Crimson Seedless and Superior.

48 Between 2002 and 2007, a number of vineyards of different size were repeatedly  
 49 visited to assess their sanitary status, from austral hemisphere late spring until autumn  
 50 (October to May) in the following regions: Atacama (III) and Coquimbo (IV) in the north,  
 51 Valparaiso (V) and Metropolitana de Santiago (RM) in the center, Libertador General  
 52 Bernardo O'Higgins (VI) and Maule (VII) in the south of the country (Fig. 1).

53 A total of 2535 wine and table grape vines were sampled during the whole survey  
 54 period, their geographical position was established by the GPS system and the precise  
 55 coordinates of sampled plants within the vineyard were recorded to facilitate identification if  
 56 further sampling were required.

57 Samples were collected in autumn (April, May and June), primarily from vines that  
 58 showed virus symptoms but also from apparently symptomless plants. Phloem scrapings from  
 59 mature dormant canes were used for testing, to bypass the limits posed by the seasonal  
 60 variation of virus concentration (Kolber *et al.*, 1985; Monis and Bestwick, 1997).

61 Samples were tested for the presence of viruses previously reported from Chile, i.e.  
 62 *Grapevine fanleaf virus* (GFLV), *Grapevine leafroll associated virus 1, 2 and 3* (GLRaV-1, -  
 63 2 and -3), *Tomato ringspot virus* (ToRSV), *Grapevine virus A* (GVA), *Arabis mosaic virus*  
 64 (ArMV), *Strawberry latent ringspot virus* (SLRSV) (Cereceda and Auger, 1979; Auger *et al.*,  
 65 1994; Herrera and Madariaga, 1994, 2001; Herrera, 1996) and for viruses hitherto unrecorded  
 66 in the country, i.e. the Red Globe strain of GLRaV-2, [formerly *Grapevine rootstock stem*  
 67 *lesion-associated virus* (Uyemoto and Rowhani, 2001)], *Grapevine fleck virus* (GFkV),

68 *Grapevine virus B* (GVB), and *Grapevine rupestris stem pitting associated virus* (GRSPaV).  
69 In 2003 – 2004, *Grapevine leafroll associated virus 7* (GLRaV-7) was included in the testing.

70 Not all samples were analyzed for all the above listed agents for, in certain cases, the  
71 range of viruses to be tested for was suggested by the symptoms shown by the vines.

72 Detection of GLRaV-1, -2, -3, GFLV, GFkV, GVA, GVB, ToRSV and ArMV was by  
73 ELISA (Clark and Adams, 1977) and complemented by RT-PCR, while detection of GRSPaV  
74 and GLRaV-2-RG was exclusively by RT-PCR. GLRaV-7 was detected only by ELISA. Two  
75 ELISA commercial kits were used: (i) Agritest (Valenzano, Bari, Italy), DAS-ELISA for  
76 GLRaV-1, -2, -3, -7, GFLV, GVA, ArMV and DASI-ELISA for GFkV and GVB; (ii) Loewe  
77 (Munche, Germany), DAS-ELISA for ToRSV and SLRSV.

78 Testing was done following the manufacturers' instructions except that the minimal  
79 absorbance value considered for a positive reaction was two rather than three times that of the  
80 healthy control. This limit was arbitrarily set to increase the chance of detecting mild  
81 infections. Questionable and weak reactions were, in any case, verified by RT-PCR.

82 Total nucleic acids (TNA) extraction was by the silica capture method (MacKenzie *et al.*,  
83 1997; Malinovski, 1997).

84 TNA aliquots were primed with DNA random hexanucleotides (Roche, Basel,  
85 Switzerland) and reverse transcribed with Moloney murine leukemia virus reverse  
86 transcriptase (M-MLV RT, Promega, Madison, Wisconsin, USA). Target-specific primers  
87 were C995r/H587f, H28/BB<sub>0</sub> and LC1/LC2 for GVA, GVB and GLRaV-3, respectively  
88 (Minafra and Hadidi, 1992); C3310/H2999 and C867/H428 for GFLV and ArMV  
89 (MacKenzie *et al.* 1997); V2dCPr1/V2dCPf2 for GLRaV-2 (Bertazzon and Angelini, 2004);  
90 GFkV-L630/GFkV-U279 for GFkV (Shi *et al.*, 2000); ToRSV-C/ToRSV-H for ToRSV  
91 (Griesbach *et al.*, 1995); 49d/48d for GRSPaV (Zhang *et al.*, 1998) and RGHSP777-  
92 R/RGJSP227-F for GLRaV-2-RG (Rowhani *et al.*, 2000).

93 To improve detection of GLRaV-1, the primers described by Habili *et al.* (1997) were  
94 modified based on the CP sequence of GenBank accession AF195822 (Fazeli and Rezaian,  
95 2000), divergent nucleotides are at positions in bold/underlined: LR-1R– 5'-  
96 GTTACGGCCTTTTGTTTACTATGG – 3' antisense and LR-1F – 5'-  
97 CGACCCCTTTATTGTTTGAGTACG – 3' sense primers.

98 Positive controls for ELISA and RT-PCR were fresh grapevine cortical scrapings or  
99 lyophilized leaf tissues from infected plants.

100 During this survey, virus symptoms were frequently seen in most of the vineyards.  
101 GFLV-infected vines were less vigorous than normal, showed distorted and mottled leaves,  
102 poor fruit setting and irregular ripening and reduced size of the berries. Leafroll symptoms  
103 were frequent, especially in red-berried varieties, whereas, despite of the presence of GVA,  
104 GVB and GRSPaV, symptoms of rugose wood were rare, likely because most of the old  
105 Chilean vineyards are established with self-rooted plants. Typical vein necrosis symptoms,  
106 observed on the rootstock 110R, were associated with the presence of GRSPaV.

107 Graft incompatibility was observed in cv. Red Globe on 1103P infected by GLRaV-2-  
108 RG.

109 Viruses detected by ELISA and their distribution and occurrence in the six regions  
110 surveyed are presented in Table 1 and 2, respectively. Of 2535 ELISA-tested vines, 740 were  
111 positive for at least one virus (29.19%). Results of RT-PCR assays are in Table 3 which,  
112 however, does not include the outcome of a number of tests that confirmed consistently the  
113 presence of GFLV, GLRaV-1, -2, -3, GVA, GFkV and GVB in ELISA-positive samples.

114 Of the three nepoviruses (GFLV, ArMV, ToRSV) looked for, GFLV had an average  
115 infection rate of 6.08% (Tab. 1). This virus occurred in all regions surveyed (Tab. 2) with a

116 prevalence in the Region Metropolitana de Santiago, where the highest infections rate was  
117 detected (9.27%), followed by Coquimbo (7.35%), then, in decreasing order, by Atacama  
118 (5.00%), Valparaiso (4.37%), Libertador General Bernardo O'Higgins (3.27%) and Maule  
119 (1.05%). The wide distribution of this virus probably reflects both the frequent soil infestation  
120 by *Xiphinema index* in all viticultural areas of the country (Aballay *et al.*, 1998) and the high  
121 GFLV inoculum reservoir represented by the traditional vineyards from the Central Zone.  
122 GFLV was detected in *X. index* by RT-PCR in Región Metropolitana (data not shown).

123 Because of the previously reported presence in Chile of ToRSV in grapevines and of  
124 *X. americanum sensu lato* (Lamberti *et al.*, 1988; Aballay *et al.*, 2001; Insunza *et al.*, 2001) a  
125 substantial presence of this virus was expected. This, however, was not the case, for only  
126 seven samples gave a weak and questionable ELISA reaction, which was not confirmed by  
127 RT-PCR. Furthermore, 213 samples ELISA-negative for ToRSV remained negative in RT-  
128 PCR assays (Tab. 3). Since these results did not confirm those of previous investigations  
129 (Herrera and Madariaga, 2001), the seven samples weakly ELISA-positive for ToRSV were  
130 re-assayed several times by ELISA and RT-PCR in different seasons, proving consistently  
131 free from this virus. This was taken as convincing evidence that no ToRSV was present in any  
132 of the 908 vines examined for this virus in our survey.

133 A comparable situation was encountered with ArMV, for only 2 of 775 vines tested by  
134 ELISA gave a reading close to the minimal level of absorbance value considered in this work,  
135 but the presence of this virus was not confirmed by RT-PCR, and it was not found in further  
136 156 samples ELISA-negative for ArMV. It is therefore plausible to conclude that ArMV does  
137 not represent a problem for the Chilean grapevine industry, also because its nematode vector  
138 *Xiphinema diversicaudatum*, does not seem to occur in the country (Gonzales, 1970, 1984;  
139 Magunacelaya, 1996).

140 No evidence was obtained for the presence of the sadwavirus SLRSV, another *X.*  
141 *diversicaudatum* - transmitted pathogen, in any of the 360 vines assayed by ELISA.

142 ELISA detection of GLRaV-2 was 14.84%. RT-PCR was performed on 194 ELISA-  
143 negative samples, using universal GLRaV-2 primer set (Bertazzon and Angelini, 2004) and  
144 more than 15% were successfully amplified (Tab. 3).

145 As to the distribution of GLRaV-2 in the territory (Tab. 2), the highest infection level  
146 was found in Coquimbo (43.38%) followed by Atacama (32.5%), Valparaiso (27.37%),  
147 Maule (20.22%), Libertador General Bernardo O'Higgins (9.72%) and Región Metropolitana  
148 (9.49%).

149 Infections by GFkV accounted for 14.37% (Tab.1), with a prevalence in Coquimbo  
150 (35.29%), followed by Maule (22.47%), Valparaiso (21.58%), Libertador General Bernardo  
151 O'Higgins (15.89%), Atacama (11.54%) and Region Metropolitana (7.91%).

152 GVA showed a moderate level of infection (5.08%) in the whole territory, its  
153 incidence being high in Coquimbo (25%), moderate in Atacama, Valparaiso and Maule (10,  
154 9.97 and 8.99%, respectively) and little significant in Libertador General Bernardo O'Higgins  
155 (3.22%) and Región Metropolitana (1.31%).

156 A relatively low level of global infection by GLRaV-3 (6.17%) and GLRaV-1 (4.08%)  
157 was detected by serology. Coquimbo was the region with the highest infection levels (13.97  
158 for GLRaV-3 and 12.50% for GLRaV-1) followed by Maule (8.99 for GLRaV-3 and 7.86%  
159 for GLRaV-1). Other regions had lower infection levels, not exceeding 8.38% (GLRaV-3)  
160 and 6.98% (GLRaV-1) (Tab. 2).

161 The single plant infected by GLRaV-7 out of 387 tested was in Coquimbo. This is not  
162 a surprising finding, for this virus is relatively rare being more common in eastern than in

163 western Mediterranean (Digiario *et al.*, 1999) and was only recently recorded from a few  
164 varieties in California (Morales and Monis, 2007).

165 A low number of plants infected by GVB were detected by ELISA, the global  
166 infection level being 0.72%, a figure confirmed by RT-PCR, since only one positive was  
167 found out of 129 ELISA-negative samples. GVB highest level of infection (4.41%) was in  
168 Coquimbo (Tab. 2).

169 As shown in Tab. 4, GRSPaV was detected in 57 of 236 vines (24.15%). Infections by  
170 GRSPaV in Chile most probably originate from propagating material because no natural  
171 vector is known, and the experimentally proven presence of the virus in the pollen of *Vitis*  
172 *rupestris* plants and its transmission through seeds (Rowhani *et al.*, 2000; Lima *et al.*, 2006)  
173 may not be significant in *V. vinifera*. GRSPaV alone induces mild or no rugose wood  
174 symptoms and some of its strains are latent in *V. rupestris* (Meng *et al.*, 1998). Mixed  
175 infection with other viruses (e.g. GVA) may be required for rugose wood symptoms to occur  
176 (Bonfiglioli *et al.*, 1998). This means that vines latently infected by GRSPaV may develop the  
177 disease if other viruses are transmitted via grafting or vectors (Gribaudo *et al.*, 2006).

178 To assay for GLRaV-2-RG specific primers were used, since no serological  
179 discrimination from GLRaV-2 type strain (GLRaV-2-TS) is possible. Of 72 samples positive  
180 for GLRaV-2-TS by ELISA, 13 proved to be GLRaV-2-RG, and of 108 samples ELISA-  
181 negative for GLRaV-2-TS, seven were positive for GLRaV-2-RG (Tab. 4). In four samples,  
182 both GLRaV-2 variants were present, indicating that mixed field infections are possible, but  
183 not frequent.

184 GLRaV-2-TS and its variant GLRaV-2-RG were shown to be responsible of graft-  
185 incompatibility in grapevines (Greif *et al.*, 1995; Uyemoto *et al.*, 2001), as determined by the  
186 type of rootstock (Pirolo *et al.*, 2006). Rootstocks are normally used nowadays in Chile,  
187 especially for replants, which makes certification of rootstocks, in addition to scions, of  
188 paramount importance to prevent young vine decline problems in new plantings.

189 A severe disease condition was recently observed in Chilean vineyards of cv. Crimson  
190 Seedless, whose bunches were unmarketable because of the pale color and low sugar content.  
191 It was ascertained that diseased vines were infected by GLRaV-1, -2 and -3 (Digiario *et al.*,  
192 2006). Further examples of mixed infections were registered in the course of the present  
193 survey, the most frequent association being between GLRaV-2 and GFkV. However,  
194 combinations of two, three, four and even five different viruses were found, involving  
195 practically all detected viruses.

196 The highest level of infection of Chilean vines was by GLRaV-2, closely followed by  
197 GFkV. Since both viruses are disseminated by propagating material (Martelli and Boudon  
198 Padieu, 2006), their widespread occurrence is taken as an indication that grape nurseries are  
199 not producing plants free from these viruses. A similar conclusion may be drawn with  
200 reference to GLRaV-1, GLRaV-3, GVA and GVB, whose primary inoculum originates from  
201 commercial stocks, but whose subsequent spread at a site is likely to be mediated by  
202 pseudococcid mealybugs like *Pseudococcus viburni*, *Ps. longispinus* and *Planococcus ficus*  
203 (Martelli and Boudon Padieu, 2006), which are known to occur in Chile (Gonzales and  
204 Volosky, 2006).

205 In conclusion, this survey has determined that seven viruses, i.e. GFLV, GLRaV-1, -2,  
206 -3, GVA, GFkV and GRSPaV, are most frequent in Chilean grapevines. All these viruses  
207 should be taken into consideration if a national certification program for the production and  
208 marketing of sanitarly improved grapevine propagative material will be implemented, as it  
209 appears highly desirable. GVB, although less represented in the field, is no less dangerous  
210 than the other viruses. Thus, its addition to the proscription list is recommended.

211  
212  
213 **ACKNOWLEDGMENTS**

214 Grateful thanks are expressed to Professor G.P. Martelli for his helpful suggestions and  
215 critical reading of the manuscript. This work was financed by Fundación para la Innovación  
216 Agraria (FIA), project BIOT-BID-PI-C-2001-1-A-013.

217  
218  
219 **REFERENCES**  
220

- 221 Aballay E., Benavides F., Vieira A., 1998. Resistance of some grapevine rootstocks to a  
222 Chilean population of *Xiphinema index*. *Nematologia Mediterranea* **26**: 185-188.
- 223  
224 Aballay E., Flores P., Insunza V., 2001. Nematicidal effect of eight plant species on  
225 *Xiphinema americanum sensus lato* in *Vitis vinifera*, var. Cabernet Sauvignon in  
226 Chile. *Nematropica* **31**: 95-102.
- 227  
228 Auger J., Aballay E., Pinto M., Pastenes C., 1994. Efectos del virus de la hoja en abanico  
229 VHA en el desarrollo y productividad de plantas de vid cv. Thompson Seedless.  
230 *Aconex* **46**: 20-23.
- 231  
232 Bertazzon N., Angelini E., 2004. Advances in the detection of *Grapevine leafroll-associated*  
233 *virus 2* variants. *Journal of Plant Pathology* **86**: 283-290
- 234  
235 Bonfiglioli R.G., Habili N., Green M., Schliefert L.F., Symons R.H., 1998. The hidden  
236 problem – Rugose wood associated viruses in Australian viticulture. *Australian*  
237 *Grapegrower and Winemaker* **420**: 9-13
- 238  
239 Cereceda, C., Auger J., 1979. Aislamiento y caracterización del virus Mosaico Amarillo de la  
240 vid (*Vitis vinifera*, cv. Semillon) presente en Chile. *Investigación Agrícola* **5**: 15-16.
- 241  
242 Clarck M.F., Adams A.N., 1977. Characteristics of the microplate method of enzyme-linked  
243 immunosorbent assay for the detection of plant viruses. *Journal of General Virology*  
244 **34**: 475-483.
- 245  
246 Digiario M., Martelli G.P., Savino, V., 1999. Phloem-limited viruses of the grapevine in the  
247 Mediterranean and Near East: a synopsis. *Options Méditerranéennes, Ser. B Studies*  
248 *and Research* **29**: 83-92.
- 249  
250 Digiario M., Fiore N., Tarricone L., Prodan S., Elbeaino T. 2006. Influence of viruses on the  
251 performance and quality of cv. Crimson Seedless. *Extended Abstracts 15<sup>th</sup> Meeting of*  
252 *ICVG, Stellenbosch 2006*: 186-188.
- 253  
254 Fazeli C.F., Rezaian, M.A. 2000. Nucleotide sequence and organization of ten open reading

- 255 frames in the genome of *grapevine leafroll-associated virus 1* and identification of  
256 three subgenomic RNAs. *Journal of General Virology* **81**: 605-615.
- 257
- 258 Gonzales R.H. 1970. Nuevas especies de nematodos que atacan a la vid en Chile. *Agricultura*  
259 *Tecnica* **30**: 31-37.
- 260
- 261 Gonzales R.H. 1984. Diagnostico nematologico en parronales de San Felipe y Los Andes.  
262 *Revista Fruticola* **4**: 94-98.
- 263
- 264 Gonzales R.H., Volosky C., 2006. Seasonal and management strategies for mealybugs,  
265 *Pseudococcus* spp., in pomefruits, table and wine grapes (Hemiptera:  
266 Pseudococcidae). *Fruticola* **27**: 37-47
- 267
- 268 Greif C., Garau R., Boscia D., Prota V.A., Fiori, M. Bass, P. Walter, B., Prota, U. 1995. The  
269 relationship of *grapevine leafroll-associated closterovirus 2* with a graft  
270 incompatibility condition of grapevines. *Phytopathologia Mediterranea* **34**: 167-173.
- 271
- 272 Gribaudo I., Gambino G., Cuozzo D., Manzini F., 2006. Attempts to eliminate *Grapevine*  
273 *rupestris stem pitting-associated virus* from grapevine clones. *Journal of Plant*  
274 *Pathology* **88**: 293-298.
- 275
- 276 Griesbach, J.A., 1995. Detection of *Tomato ringspot virus* by polymerase chain reaction.  
277 *Plant Disease* **79**: 1054-1056.
- 278
- 279 Habili N., Fazeli C., Rezaian M.A., 1997. Identification of a cDNA clone specific to  
280 *Grapevine leafroll-associated virus 1*, and occurrence of the virus in Australia. *Plant*  
281 *Pathology* **46**: 516-522.
- 282
- 283 Herrera G., Madariaga M., 1994. Deteccion de los virus *Tomato ringspot virus* y *Arabis*  
284 *mosaic virus* en vides en Chile. *Fitopatologia* **44**: 42-44.
- 285
- 286 Herrera G., 1996. Panorama de enfermedades causadas por virus en frutales de carozo,  
287 pomaceas y vides. *Simiente* **66**: 35-36.
- 288
- 289 Herrera G., Madariaga M., 2001. Presencia e incidencia de virus de la vid en la zona central  
290 de Chile. *Agricultura Técnica* **61**: 393-400.
- 291
- 292 Insunza V., Aballay E., Macaya J., 2001. *In vitro* nematocidal activity of aqueous plants  
293 extracts on Chilean populations of *Xiphinema americanum sensu lato*. *Nematropica*  
294 **31**: 47-54.
- 295
- 296 Kolber M., Beczner L., Pacsa S., Lehoczky, J., 1985, Detection of *Grapevine chrome mosaic*  
297 *virus* in field grown vines by ELISA. *Phytopathologia Mediterranea* **24**: 135-140.
- 298
- 299 Lamberti F., Roca F., Agostinelli A. 1988. On the identity of *Xiphinema americanum* in Chile

300 with a key to the *Xiphinema* species occurring in Chile. *Nematologia Mediterranea* **16**:  
301 67-68.

302  
303 Lima M.F., Rosa C., Molino D.A., Rowhani A., 2006. Detection of *Rupestris stem pitting*  
304 *associated virus* in seedlings of virus-infected maternal plants. *Extended Abstracts 15<sup>th</sup>*  
305 *Meeting of ICVG, Stellenbosch 2006*: 244-245.

306  
307 Magunacelaya J.C., 1996. Nematodos vectores de virus. In: Esterio M., Magunacelaya J.C.  
308 (eds.) *Avances en Sanidad Vegetal de Frutales y Vides*, pp. 147-153. Universidad de  
309 Chile, Fac. Cs. Agr. y For., Santiago, Chile.

310  
311 MacKenzie D.J., McLean M.A., Mukerij S., Green, M., 1997. Improved RNA extraction  
312 from woody plants for the detection of viral pathogens by reverse transcriptase-  
313 polymerase chain reaction. *Plant Disease* **81**: 222-226.

314  
315 Malinovski T., 1997. Silicacapture-reverse transcription-polymerase chain reaction (SC-RT-  
316 PCR): Application for the detection of several plant viruses. In: Dehne H.W. (ed.)  
317 *Diagnosis and Identification of Plant Pathogens*, pp. 444-448. Kluwer Academic  
318 Publishers, Dordrecht, The Netherlands.

319  
320 Martelli G.P., Boudon-Padieu B., 2006. Directory of infectious diseases of grapevines.  
321 *Options Méditerranéennes Ser. B, Studies and Research* **55**: 7-201

322  
323 Meng B., Pang S.Z., Forsline P.L., McFerson J.R., Gonsalves, D., 1998. Nucleotide sequence  
324 and genome structure of *Rupestris stem pitting-associated virus 1* reveals similarities  
325 to *Apple stem pitting virus*. *Journal of General Virology* **79**: 2059-2069.

326  
327 Minafra A., Hadidi A., 1992. Sensitive detection of Grapevine virus A, B or leafroll-  
328 associated 3 from viruliferous mealybugs and infected tissue by cDNA amplification.  
329 *Journal of Virological Methods* **47**: 175-188

330  
331 Monis J., Bestwick R.K., 1997. Serological detection of grapevine associated closteroviruses  
332 in infected grapevine cultivars. *Plant Disease* **81**: 802-808.

333  
334 Morales R.Z., Monis J., 2007. First detection of Grapevine leafroll-associated virus 7 in  
335 California vineyards. *Plant Disease* **91**: 465.

336  
337 Pirolo C., Boscia D., La Notte P., Campanale A., Savino V., Martelli G.P. 2006. Further  
338 evidence of the involment of *Grapevine leafroll associated virus 2* in graft  
339 incompatibility. *Extended Abstracts 15<sup>th</sup> Meeting of ICVG, Stellenbosch 2006*: 242-  
340 243

341  
342 Rowhani A., Zhang Y.P., Golino D. A., Uyemoto J.K., 2000. Isolation and partial  
343 characterization of two new viruses from grapevine. *Extended Abstracts 13<sup>th</sup> Meeting*  
344 *of ICVG, Adelaide 2000*: 82.

345

346  
347  
348  
349  
350  
351  
352  
353  
354  
355  
356  
357  
358  
359  
360

Shi B.J., Habili N., Symons R.H., 2000. *Grapevine fleck virus*: large sequence variation in a small region of the genome. *Extended Abstracts 13<sup>th</sup> Meeting of ICVG, Adelaide 2000*: 78.

Uyemoto J.K., Rowhani A., Luvisi D., Krag R. 2001. New closterovirus in Red Globe grape causes decline of grafted plants. *California Agriculture* **55 (4)**: 28-31.

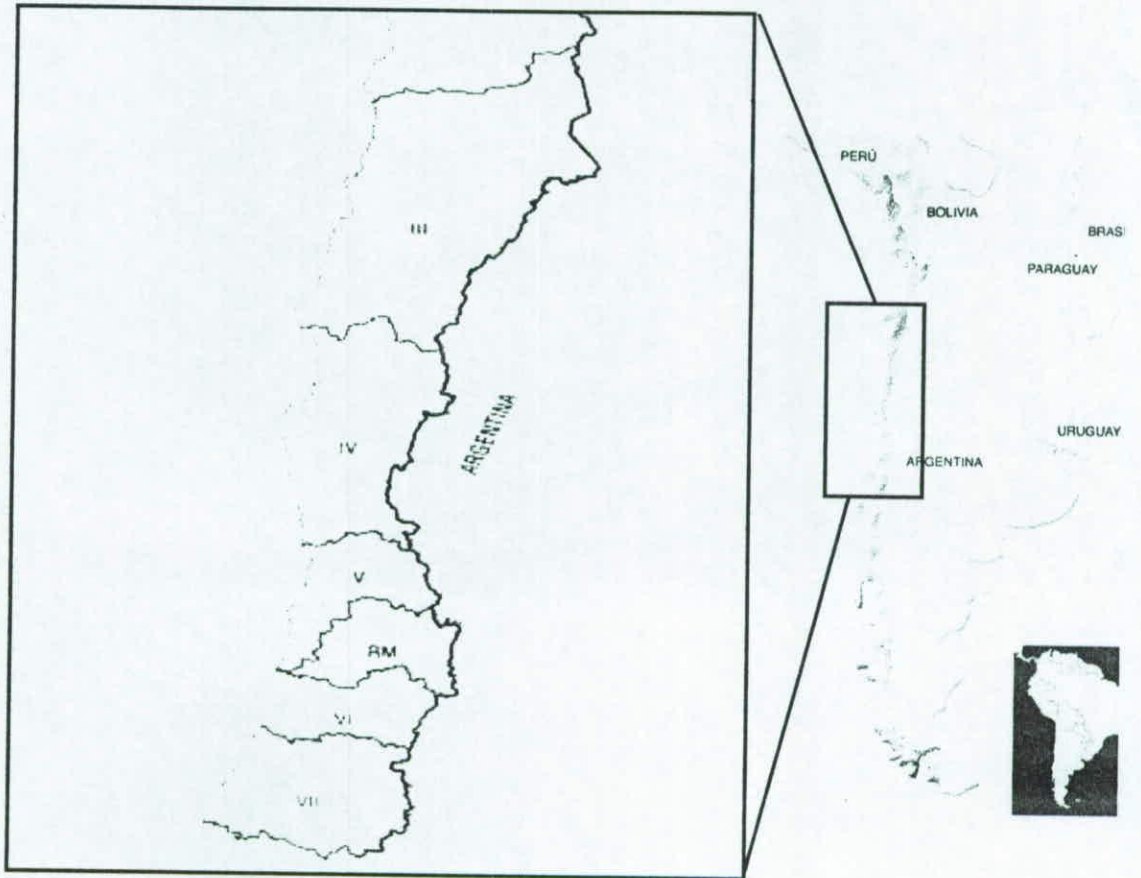
Zhang Y.P., Uyemoto J.K., Golino D.A., Rowhani A., 1998. Nucleotide sequence and RT-PCR detection of a virus associated with grapevine rupestris stem pitting disease. *Phytopathology* **88**: 1231-1237.

Received September 11, 2007  
Accepted October 18, 2007

361 Caption to the figure

362  
363  
364 **Fig. 1.** Map of Chile showing the regions where grapevines were surveyed for the presence of  
365 the most economically important viruses. III: Región Atacama; IV: Región Coquimbo; V:  
366 Región Valparaíso; VI: Región Libertador General Bernardo O'Higgins; VII: Región Maule;  
367 RM: Región Metropolitana.  
368

Figure 1.



368  
 369  
 370  
 371  
 372  
 373  
 374  
 375  
 376  
 377  
 378

**Table 1.** Results of virus testing by ELISA

Virus <sup>a</sup>	Samples tested (No.)	Positive samples (No.)	Positive samples (%)
GFLV	2171	132	6.08
GLRaV-1	2181	89	4.08
GLRaV-2	2479	368	14.84
GLRaV-3	2170	134	6.17
GLRaV-7	387	1	0.26
GFkV	2254	324	14.37
GVA	2261	115	5.08
GVB	2064	15	0.72
ToRSV	908	0	0
ArMV	775	0	0
SLRSV	360	0	0
Overall infection	2535	740	29.19

<sup>a</sup> GFLV = *Grapevine fanleaf virus*; GLRaV-1 to -7 = Grapevine leafroll associated viruses; GFkV = *Grapevine fleck virus*; GVA = *Grapevine virus A*; GVB = *Grapevine virus B*; ToRSV = *Tomato ringspot virus*; ArMV = *Arabis mosaic virus*; SLRSV = *Strawberry latent ringspot virus*.

**Table 2.** Regional distribution of the seven most important viruses detected in Chile based on ELISA results.

Region	Viruses <sup>a</sup>							Overall infection <sup>b</sup>
	GFLV	GLRaV-1	GLRaV-2	GLRaV-3	GFKV	GVA	GVB	
Atacama	2/40 (5.00%)	2/40 (5.00%)	13/40 (32.50%)	1/40 (2.50%)	3/26 (11.54%)	4/40 (10.00%)	0/26 (0%)	19/40 (47.50%)
Coquimbo	10/136 (7.35%)	17/136 (12.50%)	59/136 (43.38%)	19/136 (13.97%)	48/136 (35.29%)	34/136 (25.00%)	6/136 (4.41%)	101/136 (74.26%)
Valparaiso	15/343 (4.37%)	25/358 (6.98%)	104/380 (27.37%)	30/358 (8.38%)	82/380 (21.58%)	37/371 (9.97%)	8/361 (2.21%)	155/384 (40.36%)
Metropolitana	82/884 (9.27%)	14/882 (1.58%)	108/1137 (9.49%)	40/881 (4.54%)	82/1063 (7.91%)	14/1068 (1.31%)	0/991 (0%)	249/1175 (21.19%)
Libertador General								
Bernardo O'Higgins	22/673 (3.27%)	24/676 (3.55%)	66/697 (9.72%)	36/667 (5.39%)	89/560 (15.89%)	18/558 (3.22%)	1/461 (0.21%)	179/705 (25.39%)
Maule	1/95 (1.05%)	7/89 (7.86%)	18/89 (20.22%)	8/89 (8.99%)	20/89 (22.47%)	8/89 (8.99%)	0/89 (0%)	37/95 (38.95%)

381

<sup>a</sup> Number and percentage of positives against all analyzed samples for each virus.<sup>b</sup> Total number of positive samples for at least one virus against all analyzed samples for each region.

382

383

384

385 **Table 3.** RT-PCR results of ELISA-negative samples.

386

Virus	Tested samples (No.)	Positive samples (No.)
GFLV	45	6
GLRaV-1	27	13
GLRaV-2	194	30
GLRaV-3	20	5
GFkV	91	14
GVA	154	11
GVB	129	1
ToRSV	220	0
ArMV	158	0
SLRSV	n.t.	n.t.

387

388

389

390

n.t.= not tested

390  
391  
392

**Table 4.** RT-PCR results of the assay for GLRaV-2-RG and GRSPaV.

Virus <sup>a</sup>	Tested samples (No.)	Positive samples (No.)
GLRaV-2-RG	180	20
GRSPaV	236	57

393  
394  
395

<sup>a</sup> GRSPaV = *Grapevine rupestris stem pitting associated virus*;  
GLRaV-2-RG = *Grapevine leafroll associated virus 2*, Red Globe strain.

# FICHAS DATOS PERSONALES

## ANEXO 1.1 : FICHA DATOS PERSONALES

### Ficha Representantes Legales

Facultad de Ciencias Agronómicas de la Universidad de Chile

<b>Tipo de actor en el Proyecto (A)</b>	Representante legal del Agente postulante o Ejecutor.		
<b>Nombres</b>	Luis Antonio		
<b>Apellido Paterno</b>	Lizana		
<b>Apellido Materno</b>	Malinconi		
<b>RUT Personal</b>			
<b>Nombre de la Organización o Institución donde trabaja</b>	Universidad de Chile. Facultad de Ciencias Agronómicas		
<b>RUT de la Organización</b>			
<b>Tipo de Organización</b>	<b>Pública</b>	<input checked="" type="checkbox"/>	<b>Privada</b>
<b>Cargo o actividad que desarrolla en ella</b>	Decano Facultad de Ciencias Agronómica, Universidad De Chile		
<b>Dirección (laboral)</b>	Avenida Santa Rosa 11315, La Pintana		
<b>País</b>	Chile		
<b>Región</b>	Metropolitana		
<b>Ciudad o Comuna</b>	Santiago		
<b>Fono</b>	9785753		
<b>Fax</b>	9417055		
<b>Celular</b>			
<b>Email</b>	agrodec@uchile.cl		
<b>Web</b>	www. uchile.cl		
<b>Género</b>	<b>Masculino</b>	<input checked="" type="checkbox"/>	<b>Femenino</b>
<b>Etnia (B)</b>	Sin clasificar		
<b>Tipo (C)</b>	Profesional		

**Viña Santa Rita S.A.**

Tipo de actor en el Proyecto (A)	Representante legal del Agente Asociado		
Nombres	Anibal		
<b>Apellido Paterno</b>	Ariztia		
<b>Apellido Materno</b>	Reyes		
<b>RUT Personal</b>			
<b>Nombre de la Organización o Institución donde trabaja</b>	Viña Santa Rita S.A.		
<b>RUT de la Organización</b>			
<b>Tipo de Organización</b>	<b>Pública</b>	<input type="checkbox"/>	<b>Privada</b> <input checked="" type="checkbox"/>
<b>Cargo o actividad que desarrolla en ella</b>	Gerente general		
<b>Dirección (laboral)</b>	Avenida Apoquindo 3669 o. f601		
<b>País</b>	Chile		
<b>Región</b>	Metropolitana		
<b>Ciudad o Comuna</b>	Las Condes, Santiago		
<b>Fono</b>	(2) 3622000		
<b>Fax</b>			
<b>Celular</b>			
<b>Email</b>			
<b>Web</b>			
<b>Género</b>	<b>Masculino</b>	<input checked="" type="checkbox"/>	<b>Femenino</b> <input type="checkbox"/>
<b>Etnia (B)</b>	Sin clasificar		
<b>Tipo (C)</b>			

**Viñedos Emiliana S.A.**

<b>Tipo de actor en el Proyecto (A)</b>	Representante legal del Agente Asociado.		
<b>Nombres</b>	Karel		
<b>Apellido Paterno</b>	Havliczek		
<b>Apellido Materno</b>	Paci		
<b>RUT Personal</b>			
<b>Nombre de la Organización o Institución donde trabaja</b>	Viñedos Emiliana S.A.		
<b>RUT de la Organización</b>			
<b>Tipo de Organización</b>	<b>Pública</b>	<input type="checkbox"/>	<b>Privada</b> <input checked="" type="checkbox"/>
<b>Cargo o actividad que desarrolla en ella</b>	Gerente de Operaciones		
<b>Dirección (laboral)</b>	Av.Nueva Tajamar 481, oficina 702. Las Condes		
<b>País</b>	Chile		
<b>Región</b>	Metropolitana		
<b>Ciudad o Comuna</b>	Santiago		
<b>Fono</b>	3539130		
<b>Fax</b>	2036936		
<b>Celular</b>	-----		
<b>Email</b>	karelh@emiliana.cl		
<b>Web</b>	www. emiliana.cl		
<b>Género</b>	<b>Masculino</b>	<input checked="" type="checkbox"/>	<b>Femenino</b> <input type="checkbox"/>
<b>Etnia (B)</b>	Sin clasificar		
<b>Tipo (C)</b>			

## Univiveros

<b>Tipo de actor en el Proyecto (A)</b>	Representante legal de Agente Asociado.		
<b>Nombres</b>	Luis		
<b>Apellido Paterno</b>	Fernández		
<b>Apellido Materno</b>			
<b>RUT Personal</b>			
<b>Nombre de la Organización o Institución donde trabaja</b>	Sociedad Agrícola Uniagri Copiapó LTDA. (Univiveros)		
<b>RUT de la Organización</b>			
<b>Tipo de Organización</b>	<b>Pública</b>	<input type="checkbox"/>	<b>Privada</b> <input checked="" type="checkbox"/>
<b>Cargo o actividad que desarrolla en ella</b>	Gerente General		
<b>Dirección (laboral)</b>	Av. 18 de Septiembre 6578, Fundo San Miguel		
<b>País</b>	Chile		
<b>Región</b>	Metropolitana		
<b>Ciudad o Comuna</b>	Paine		
<b>Fono</b>	824 13 40		
<b>Fax</b>			
<b>Celular</b>			
<b>Email</b>	lfernandez@univiveros.cl		
<b>Web</b>			
<b>Género</b>	<b>Masculino</b>	<input checked="" type="checkbox"/>	<b>Femenino</b> <input type="checkbox"/>
<b>Etnia (B)</b>	Sin clasificar		
<b>Tipo (C)</b>			

## Ficha Coordinadores y Equipo Técnico

### Coordinador

<b>Tipo de actor en el Proyecto (A)</b>	Coordinador Principal		
<b>Nombres</b>	Jaime, Rolando		
<b>Apellido Paterno</b>	Montealegre		
<b>Apellido Materno</b>	Andrade		
<b>RUT Personal</b>			
<b>Nombre de la Organización o Institución donde trabaja</b>	Universidad de Chile, Facultad de Ciencias Agronómicas		
<b>RUT de la Organización</b>			
<b>Tipo de Organización</b>	<b>Pública</b>	<input checked="" type="checkbox"/>	<b>Privada</b>
<b>Cargo o actividad que desarrolla en ella</b>	Profesor asociado		
<b>Profesión</b>	Ingeniero Agrónomo		
<b>Especialidad</b>	Fitopatología		
<b>Dirección (laboral)</b>	Avenida Santa Rosa, 11315, La Pintana		
<b>País</b>	Chile		
<b>Región</b>	Metropolitana		
<b>Ciudad o Comuna</b>	Santiago		
<b>Fono</b>	9785714		
<b>Fax</b>	9785812		
<b>Celular</b>	09-4894891		
<b>E-mail</b>	jmonteal@uchile.cl		
<b>Web</b>	www.uchile.cl		
<b>Género</b>	<b>Masculino</b>	<input checked="" type="checkbox"/>	<b>Femenino</b>
<b>Etnia (B)</b>	Sin clasificar		
<b>Tipo (C)</b>	Profesional		

**Coordinador Alterno**

<b>Tipo de actor en el Proyecto (A)</b>	Coordinador alternativo		
<b>Nombres</b>	Erwin		
<b>Apellido Paterno</b>	Aballay		
<b>Apellido Materno</b>	Espinoza		
<b>RUT Personal</b>			
<b>Nombre de la Organización o Institución donde trabaja</b>	Universidad de Chile, Facultad de Ciencias Agronómicas		
<b>RUT de la Organización</b>			
<b>Tipo de Organización</b>	<b>Pública</b>	<input checked="" type="checkbox"/>	<b>Privada</b>
<b>Cargo o actividad que desarrolla en ella</b>	Profesor asistente		
<b>Profesión</b>	Ingeniero Agrónomo		
<b>Especialidad</b>	Nematología		
<b>Dirección (laboral)</b>	Avenida Santa Rosa, 11315, La Pintana		
<b>País</b>	Chile		
<b>Región</b>	Metropolitana		
<b>Ciudad o Comuna</b>	Santiago		
<b>Fono</b>	9785821		
<b>Fax</b>	9785821		
<b>Celular</b>	09-4346229		
<b>E-mail</b>	eaballay@uchile.cl		
<b>Web</b>	www.uchile.cl		
<b>Género</b>	<b>Masculino</b>	<input checked="" type="checkbox"/>	<b>Femenino</b>
<b>Etnia (B)</b>	Sin clasificar		
<b>Tipo (C)</b>	Profesional		

### Equipo técnico

<b>Tipo de actor en el Proyecto (A)</b>	Equipo técnico		
<b>Nombres</b>	Jaime		
<b>Apellido Paterno</b>	Araya		
<b>Apellido Materno</b>	Clericus		
<b>RUT Personal</b>			
<b>Nombre de la Organización o Institución donde trabaja</b>	Universidad de Chile, Facultad de Ciencias Agronómicas		
<b>RUT de la Organización</b>			
<b>Tipo de Organización</b>	<b>Pública</b>	<input checked="" type="checkbox"/>	<b>Privada</b>
<b>Cargo o actividad que desarrolla en ella</b>	Profesor titular		
<b>Profesión</b>	Ingeniero Agrónomo		
<b>Especialidad</b>	Entomología		
<b>Dirección (laboral)</b>	Avenida Santa Rosa, 11315, La Pintana		
<b>País</b>	Chile		
<b>Región</b>	Metropolitana		
<b>Ciudad o Comuna</b>	Santiago		
<b>Fono</b>	9785714		
<b>Fax</b>	9785812		
<b>Celular</b>	-----		
<b>E-mail</b>	jearaya@uchile.cl		
<b>Web</b>	www.uchile.cl		
<b>Género</b>	<b>Masculino</b>	<input checked="" type="checkbox"/>	<b>Femenino</b>
<b>Etnia (B)</b>	Sin clasificar		
<b>Tipo (C)</b>	Profesional		

<b>Tipo de actor en el Proyecto (A)</b>	<b>Equipo técnico</b>		
<b>Nombres</b>	Nicola		
<b>Apellido Paterno</b>	Fiore		
<b>Apellido Materno</b>	-----		
<b>RUT Personal</b>	-----		
<b>Nombre de la Organización o Institución donde trabaja</b>	-----		
<b>RUT de la Organización</b>	-----		
<b>Tipo de Organización</b>	<b>Pública</b>	<input type="checkbox"/>	<b>Privada</b>
<b>Cargo o actividad que desarrolla en ella</b>	-----		
<b>Profesión</b>	Ingeniero Agrónomo		
<b>Especialidad</b>	Fitopatología		
<b>Dirección (laboral)</b>	Avenida Lynch Norte 725. La Reina		
<b>País</b>	Chile		
<b>Región</b>	Metropolitana		
<b>Ciudad o Comuna</b>	Santiago		
<b>Fono</b>	2775991		
<b>Fax</b>	-----		
<b>Celular</b>	09-9176519		
<b>E-mail</b>	nicolafiore_2000cl@yahoo.com		
<b>Web</b>	-----		
<b>Género</b>	<b>Masculino</b>	<input checked="" type="checkbox"/>	<b>Femenino</b>
<b>Etnia (B)</b>	Sin clasificar		
<b>Tipo (C)</b>	Profesional		

<b>Tipo de actor en el Proyecto (A)</b>	<b>Equipo técnico</b>		
<b>Nombres</b>	Ana María		
<b>Apellido Paterno</b>	Pino		
<b>Apellido Materno</b>	Elgueta		
<b>RUT Personal</b>			
<b>Nombre de la Organización o Institución donde trabaja</b>	-----		
<b>RUT de la Organización</b>	-----		
<b>Tipo de Organización</b>	<b>Pública</b>	<input type="checkbox"/>	<b>Privada</b>   X
<b>Cargo o actividad que desarrolla en ella</b>	-----		
<b>Profesión</b>	Ingeniero en Alimentos		
<b>Especialidad</b>	-----		
<b>Dirección (laboral)</b>	Doctor Ramón Corbalán 49. Departamento 106.Santiago		
<b>País</b>	Chile		
<b>Región</b>	Metropolitana		
<b>Ciudad o Comuna</b>	Santiago		
<b>Fono</b>	2472081		
<b>Fax</b>	-----		
<b>Celular</b>	09-8240132		
<b>E-mail</b>	ampe@latinmail.com		
<b>Web</b>	Diagnóstico molecular		
<b>Género</b>	<b>Masculino</b>	<input type="checkbox"/>	<b>Femenino</b>   X
<b>Etnia (B)</b>	Sin clasificar		
<b>Tipo (C)</b>	Profesional		

<b>Tipo de actor en el Proyecto (A)</b>	<b>Equipo técnico</b>		
<b>Nombres</b>	Assunta		
<b>Apellido Paterno</b>	Bertaccini		
<b>Apellido Materno</b>	-----		
<b>RUT Personal</b>	-----		
<b>Nombre de la Organización o Institución donde trabaja</b>	Universidad de Bologna		
<b>RUT de la Organización</b>	-----		
<b>Tipo de Organización</b>	<b>Pública</b>	<input checked="" type="checkbox"/>	<b>Privada</b>
<b>Cargo o actividad que desarrolla en ella</b>	Profesora		
<b>Profesión</b>	Bióloga		
<b>Especialidad</b>	Fitopatología		
<b>Dirección (laboral)</b>	Viale Fanin 46		
<b>País</b>	Italia		
<b>Región</b>	Emilia Romagna		
<b>Ciudad o Comuna</b>	Bologna		
<b>Fono</b>	-----		
<b>Fax</b>	-----		
<b>Celular</b>	-----		
<b>E-mail</b>	-----		
<b>Web</b>	-----		
<b>Género</b>	<b>Masculino</b>	<input type="checkbox"/>	<b>Femenino</b> <input checked="" type="checkbox"/>
<b>Etnia (B)</b>	Sin clasificar		
<b>Tipo (C)</b>	Profesional		

<b>Tipo de actor en el Proyecto (A)</b>	Equipo técnico		
<b>Nombres</b>	Alberto		
<b>Apellido Paterno</b>	Alma		
<b>Apellido Materno</b>	-----		
<b>RUT Personal</b>	-----		
<b>Nombre de la Organización o Institución donde trabaja</b>	Universidad de Torino		
<b>RUT de la Organización</b>	-----		
<b>Tipo de Organización</b>	<b>Pública</b>	<input checked="" type="checkbox"/>	<b>Privada</b>
<b>Cargo o actividad que desarrolla en ella</b>	Profesor		
<b>Profesión</b>	Ingeniero Agrónomo		
<b>Especialidad</b>	Entomólogo		
<b>Dirección (laboral)</b>	Via Leonardo da Vinci 44		
<b>País</b>	Italia		
<b>Región</b>	Piemonte		
<b>Ciudad o Comuna</b>	Grugliasco (Turín)		
<b>Fono</b>	-----		
<b>Fax</b>	-----		
<b>Celular</b>	-----		
<b>E-mail</b>	-----		
<b>Web</b>	-----		
<b>Género</b>	<b>Masculino</b>	<input checked="" type="checkbox"/>	<b>Femenino</b>
<b>Etnia (B)</b>	Sin clasificar		
<b>Tipo (C)</b>	Profesional		

<b>Tipo de actor en el Proyecto (A)</b>	Equipo técnico		
<b>Nombres</b>	Simona		
<b>Apellido Paterno</b>	Prodan		
<b>Apellido Materno</b>	-----		
<b>RUT Personal</b>	-----		
<b>Nombre de la Organización o Institución donde trabaja</b>	-----		
<b>RUT de la Organización</b>	-----		
<b>Tipo de Organización</b>	<b>Pública</b>	<input type="checkbox"/>	<b>Privada</b>
<b>Cargo o actividad que desarrolla en ella</b>	-----		
<b>Profesión</b>	Bioquímica		
<b>Especialidad</b>	Diagnóstico molecular		
<b>Dirección (laboral)</b>	Los Laureles 2505. Puente Alto		
<b>País</b>	Chile		
<b>Región</b>	Metropolitana		
<b>Ciudad o Comuna</b>	Santiago		
<b>Fono</b>	2656996		
<b>Fax</b>	-----		
<b>Celular</b>	-----		
<b>E-mail</b>	-----		
<b>Web</b>	-----		
<b>Género</b>	<b>Masculino</b>	<input type="checkbox"/>	<b>Femenino</b> <input checked="" type="checkbox"/>
<b>Etnia (B)</b>	Sin clasificar		
<b>Tipo (C)</b>	Profesional		

<b>Tipo de actor en el Proyecto (A)</b>	Equipo técnico		
<b>Nombres</b>	Mauricio		
<b>Apellido Paterno</b>	Estrada		
<b>Apellido Materno</b>	Llanos		
<b>RUT Personal</b>			
<b>Nombre de la Organización o Institución donde trabaja</b>	-----		
<b>RUT de la Organización</b>	-----		
<b>Tipo de Organización</b>	<b>Pública</b>	<input type="checkbox"/>	<b>Privada</b>
<b>Cargo o actividad que desarrolla en ella</b>	-----		
<b>Profesión</b>	Técnico Agrícola		
<b>Especialidad</b>	Manejo de invernadero		
<b>Dirección (laboral)</b>	Villa Real Audiencia. Calle 429 casa 1564. Peñalolén		
<b>País</b>	Chile		
<b>Región</b>	Metropolitana		
<b>Ciudad o Comuna</b>	Santiago		
<b>Fono</b>	2796139		
<b>Fax</b>	-----		
<b>Celular</b>	09-9331566		
<b>E-mail</b>	m_estrall@yahoo.es		
<b>Web</b>	-----		
<b>Género</b>	<b>Masculino</b>	<input checked="" type="checkbox"/>	<b>Femenino</b>
<b>Etnia (B)</b>	Sin clasificar		
<b>Tipo (C)</b>	Profesional		

Tipo de actor en el Proyecto (A)	Equipo técnico		
Nombres	Fernando Javier		
Apellido Paterno	Reyes		
Apellido Materno	Badilla		
RUT Personal			
Profesión	Licenciado en Ciencias de la Ingeniería		
Especialidad	Biotecnología		
País	Chile		
Región	Metropolitana		
Ciudad o Comuna	Santiago		
Género	Masculino	X	Femenino
Etnia (B)	Sin clasificar		
Tipo (C)	Profesional		

Tipo de actor en el Proyecto (A)	Equipo técnico		
Nombres	Carlos Christian		
Apellido Paterno	Valdivia		
Apellido Materno	Sepúlveda		
RUT Personal			
Profesión	Asesor Agrícola		
Especialidad	Asistente de Laboratorio		
País	Chile		
Región	Metropolitana		
Ciudad o Comuna	Santiago		
Fono	7412191		
Género	Masculino	X	Femenino
Etnia (B)	Sin clasificar		
Tipo (C)	Profesional		

Tipo de actor en el Proyecto (A)	Equipo técnico		
Nombres	Pamela Roxana		
Apellido Paterno	Fernández		
Apellido Materno	Soto		
RUT Personal			
Profesión	Asesora de Microbiología		
Especialidad	Técnicas de diagnóstico		
País	Chile		
Región	Metropolitana		
Ciudad o Comuna	Santiago		
Género	Masculino		Femenino X
Etnia (B)	Sin clasificar		
Tipo (C)	Profesional		

Tipo de actor en el Proyecto (A)	Equipo técnico		
Nombres	Rodrigo Enrique		
Apellido Paterno	Reyes		
Apellido Materno	Vásquez		
RUT Personal			
Profesión	Ingeniero Agrónomo		
Especialidad	Mantenimiento de material vegetal		
País	Chile		
Región	Metropolitana		
Ciudad o Comuna	Santiago		
Fono	2670247		
Celular	09-8659739		
E-mail	reyesrodrigo@latinmail.com		
Género	Masculino	<input checked="" type="checkbox"/>	Femenino
Etnia (B)	Sin clasificar		
Tipo (C)	Profesional		

Tipo de actor en el Proyecto (A)	Equipo técnico		
Nombres	Carolina Del Pilar		
Apellido Paterno	Lagos		
Apellido Materno	Vásquez		
RUT Personal			
Profesión	Técnico Agrícola		
Especialidad	Apoyo en Laboratorio		
País	Chile		
Región	Metropolitana		
Ciudad o Comuna	Santiago		
Fono	2264793		
Género	Masculino	<input type="checkbox"/>	Femenino
Etnia (B)	Sin clasificar		
Tipo (C)	Profesional		

<b>Tipo de actor en el Proyecto (A)</b>	<b>Equipo técnico</b>		
<b>Nombres</b>	Jessica Isabel		
<b>Apellido Paterno</b>	Devia		
<b>Apellido Materno</b>	Parra		
<b>RUT Personal</b>			
<b>Profesión</b>	Asesoría Agrícola		
<b>Especialidad</b>	Apoyo en Laboratorio .Propagación de plantas		
<b>País</b>	Chile		
<b>Región</b>	Metropolitana		
<b>Ciudad o Comuna</b>	Santiago		
<b>Fono</b>	5257255		
<b>Género</b>	<b>Masculino</b>	<input type="checkbox"/>	<b>Femenino</b> <input checked="" type="checkbox"/> X
<b>Etnia (B)</b>	Sin clasificar		
<b>Tipo (C)</b>	Profesional		

<b>Tipo de actor en el Proyecto (A)</b>	<b>Equipo técnico</b>		
<b>Nombres</b>	Andrea Del Carmen		
<b>Apellido Paterno</b>	Riveros		
<b>Apellido Materno</b>	Mora		
<b>RUT Personal</b>			
<b>Profesión</b>	Técnico Agrícola Generalista		
<b>Especialidad</b>	Apoyo en Laboratorio		
<b>País</b>	Chile		
<b>Región</b>	Metropolitana		
<b>Ciudad o Comuna</b>	Santiago		
<b>Fono</b>	8153874		
<b>Género</b>	<b>Masculino</b>	<input type="checkbox"/>	<b>Femenino</b> <input checked="" type="checkbox"/> X
<b>Etnia (B)</b>	Sin clasificar		
<b>Tipo (C)</b>	Profesional		

# FICHAS DATOS ORGANIZACIÓN

## ANEXO 1.2 : FICHA DATOS ORGANIZACIÓN

### Ficha Agentes Postulantes y Asociados

Agente Postulante o ejecutor: Universidad de Chile, Facultad de Ciencias Agronómicas

<b>Tipo de actor en el Proyecto (D)</b>	Agente Postulante o Ejecutor		
<b>Nombre de la organización, institución o empresa</b>	Universidad de Chile, Facultad de Ciencias Agronómicas		
<b>RUT de la Organización</b>			
<b>Tipo de Organización</b>	<b>Pública</b>	<input checked="" type="checkbox"/>	<b>Privada</b>
<b>Dirección</b>	Avenida Santa Rosa 11315, La Pintana		
<b>País</b>	Chile		
<b>Región</b>	Metropolitana		
<b>Ciudad o Comuna</b>	Santiago		
<b>Fono</b>	9785916 – 6785726		
<b>Fax</b>	9785916		
<b>E-mail</b>	agrodec@uchile.cl		
<b>Web</b>	www.uchile.cl		
<b>Tipo entidad (E)</b>	Universidades Nacionales		

Agente asociado: Viña Santa Rita S.A.

<b>Tipo de actor en el Proyecto (D)</b>	Agente Asociado		
<b>Nombre de la organización, institución o empresa</b>	Viña Santa Rita S.A.		
<b>RUT de la Organización</b>			
<b>Tipo de Organización</b>	<b>Pública</b>		<b>Privada</b> <input checked="" type="checkbox"/>
<b>Dirección</b>	Avenida Apoquindo 3669 of.601		
<b>País</b>	Chile		
<b>Región</b>	Metropolitana		
<b>Ciudad o Comuna</b>	Santiago, Las Condes		
<b>Fono</b>	(2) 3622000		
<b>Fax</b>			
<b>Email</b>			
<b>Web</b>	www.santarita.cl		
<b>Tipo entidad (E)</b>	Empresa productiva		

**Agente asociado: Viñedos Emiliana S.A.**

<b>Tipo de actor en el Proyecto (D)</b>	Agente Asociado		
<b>Nombre de la organización, institución o empresa</b>	Viñedos Emiliana S.A		
<b>RUT de la Organización</b>			
<b>Tipo de Organización</b>	<b>Pública</b>	<input type="checkbox"/>	<b>Privada</b> <input checked="" type="checkbox"/>
<b>Dirección</b>	Av. Nueva Tajamar 481. oficina 702, Las Condes		
<b>País</b>	Chile		
<b>Región</b>	Metropolitana		
<b>Ciudad o Comuna</b>	Santiago		
<b>Fono</b>	3539130		
<b>Fax</b>	2036936		
<b>Email</b>	amoya@emiliana.cl		
<b>Web</b>	www.emiliana.cl		
<b>Tipo entidad (E)</b>	Vitivinícola		

**Agente asociado: Univiveros**

<b>Tipo de actor en el Proyecto (D)</b>	Agente Asociado		
<b>Nombre de la organización, institución o empresa</b>	Sociedad Agrícola Uniagri Copiapó LTDA. (Univiveros)		
<b>RUT de la Organización</b>			
<b>Tipo de Organización</b>	<b>Pública</b>	<input type="checkbox"/>	<b>Privada</b> <input checked="" type="checkbox"/>
<b>Dirección</b>	Av. 18 de Septiembre 6578, Fundo San Miguel		
<b>País</b>	Chile		
<b>Región</b>	Metropolitana		
<b>Ciudad o Comuna</b>	Paine		
<b>Fono</b>	824 13 40		
<b>Fax</b>			
<b>Email</b>			
<b>Web</b>			
<b>Tipo entidad (E)</b>	Empresa productiva		

## **VI. BIBLIOGRAFÍA CONSULTADA**

Abou-Ghanem N., Sabanadodzovic S., Minafra A., Saldarelli P. and Martelli G. P. 1998. Some proprieties of grapevine lefroll-associated virus 2 and molecular organization of the 3' region of the viral genome. *Journal of Plant Pathology* 80, 37-46.

Alma A., Davis R.E, Vibio M., Danielli A., Bosco D., Arzone A. and Bertaccini A. 1996. Mixed Infection of grapevines in Northern Italy by phytoplasmas including 16S rRNA RFLP subgroup 16SrI-B strains previously unreported in this host. *Plant Disease* 80: 418-421.

Barros T.S.L., Davis R.E., Resende O.R. and Dally E.L. 2002. Erigeron witches' broom phytoplasma in Brazil represents a new subgroup VI-B in 16S rRNA gen group VII, the Ash yellows phytoplasma group. *Plant Disease* 86: 1142-1148.

Beanland, L. and Wolf, T. 2003 Possible insect vectors of North American grapevine yellows phytoplasma in Virginia. 14th ICVG Meeting. Lcorotondo, Bari, Italy, september 12-17, 2003, 64-65.

Bertaccini, A. 2002 Malattie da fitoplasmi: stato dell'arte. *Petria* 12 (3): 325-343.

Bertaccini A., Murari E., Vibio M., Danielli A., Davis R.E., Borgo M., Consolaro R. and Sancassani P. 1996. Identificazione molecolare dei fitoplasmi presenti in viti affette da giallumi nel Veneto. *L'Informatore Agrario* 20: 55-59.

Bertaccini A., Vallillo E., Murari E. and Martini M. 1999. Presenza di legno nero in Molise. *L'Informatore Agrario* 2: 62-63.

Boudon-Padieu, E., 2003 The situation of grapevine yellows and current research directions: distribution, diversity, vectors, difusión and control. 14th ICVG Meeting. Lcorotondo, Bari, Italy, september 12-17, 2003, 47-53.

Braccini, P., Sfalanga, A., Martini, M., Pondrelli, M. and Bertaccini, A. 1999 Diffusione di fitoplasmosi in vigneti della Toscana centrale. *Petria*. 10: 177-178.

Caudwell A. 1993 Advances in grapevine yellows research since 1990. *Extended Abstracts 11th Meeting ICVG, Montreux, 1993::* 79-83.

Conti, M. 2001 Giallumi della vite. *Informatore Fitopatologico*. 4: 35-40.

Conti, M. y Alma, A. 2002 Fitoplasmi ed insetti vettori. *Petria-* 12 (3): 353-359.

Conti, M., Gallitelli, D., Lisa, V., Lovisolo, O., Martelli, G. P., Ragozzino, A., Rana, G. L., Vovlas, C. 1996 Diagnosi delle malattie virali delle piante ortive. En: I principali virus delle piante ortive. Edagricole, Bologna, Italia, pp. 56-75.

Covarrubias, C. (1993). Virus en frutales: aspectos económicos. En: Virus en frutales de carozo, pomáceas y vides. INIA, La platina, Santiago de Chile.

D'Ascenzo D., Botti S., Paltrinieri S., Di Giovanni R., Di Silvestro D. and A. Bertaccini. 2003. Identification of phytoplasmas associated with grapevine yellows in Abruzzo region (Italy). 14th Meet. Intern. Council for the Study of Virus and Virus-like Diseases of the Grapevine (ICVG) Sept. 12-17, Locorotondo (BA), Italy.

Deng S. and Hiruki C., 1991. Genetic relatedness between two non-culturable mycoplasma-like organisms revealed by nucleic acid hybridization and polymerase chain reaction. *Phytopathology* 81: 1475-1479.

Digiario, M., Boscia, D., Simeone, V., and Savino, V. (1997). Detrimental effects of filamentous viruses to table grape varieties newly introduced in southern Italy. 12th meeting of the international council for the study of viruses and virus-like disease of the grapevine. Lisbon, Portugal.

Gibb K.S., Padovan A.C. and Mogen B.A. 1995. Studies on sweet potato little-leaf phytoplasmas detected in sweet potato and other plant species growing in Northern Australia. *Phytopathology* 85: 169-174.

Golino, D.A. 1993 Potencial interaction between rootstocks and grapevine latent virus. *Am. J. Enol. Vitic.*, 44, 2: 148-152.

Greif, C., Garau, R., Boscia, D., Prota V.A., Fiori, M., Bass, P., Walter, B. and Prota, U. 1995 The relationship of grapevine leafroll-associated closterovirus 2 with a graft incompatibility condition of grapevines. *Phytopath. Medit.*, 34: 167-173.

Lee I.-M., Bertaccini A., Vibio M. and Gundersen D.E. 1995. Detection of multiple phytoplasmas in perennial fruit trees with decline symptoms in Italy. *Phytopathology* 85: 728-735.

Lugli, S. 2000 La certificazione vivaistica in Italia: sintesi delle rassegne regionali. *Rivista di Frutticoltura*, 2: 27-33.

Martelli G.P. y Quacquarelli, A. 1983 Tecniche di risanamento del materiale di propagazione. En: Il vivaismo in frutticoltura. Garda (Verona), Italia, pp. 75-90.

McKenzie D.J., McLean M.A., Mukerij S. and Green M. 1997. Improved RNA extraction from woody plants for the detection of viral pathogens by reverse transcriptase-polymerase chain reaction. *Plant Disease* 81, 222-226.

Minafra A. and Hadidi A. 1992 Sensitive detection of grapevine virus A, B or leafroll-associated 3 from viruliferous mealybugs and infected tissue by c-DNA amplification. *Journal of Virological methods*, 47, 175-188

Prince J.P., Davis R.E., Wolf T.K., Lee I.-M., Mogen B.D., Dally E.L., Bertaccini A., Credi R. and Barba M., 1993. Molecular detection of diverse mycoplasma-like organisms (MLOs) associated with grapevine yellows and their classification with aster yellows, X-disease, and elm yellows MLOs. *Phytopathology* 83: 1130-1137.

Revista Agroeconómico 1999 Producción, comercio y perspectivas de la uva de mesa. 51:8-14.

Rowhani A, Zhang Y.P., Golino D. A. and Uyemoto J.K. 2000. Isolation and partial characterization of two new viruses from grapevine. In: *Proceedings of the 13th ICVG Meetings*. Adelaide, Australia. P.82.

Schneider B., Seemüller E., Smart C.D. and Kirkpatrick B.C., 1995. Phylogenetic classification of plant pathogenic mycoplasma-like organisms or phytoplasmas. In: *Molecular and diagnostic procedures in mycoplasmaology*. Vol. 2: 369-380. S. Razin e J.G. Tully eds., Academic Press, New York.

Shi B.J., Habili N. and Symonds R.H. 2000. Grapevine fleck virus: large sequence variation in a small region of the genome. . In: *Proceedings of the 13th ICVG Meetings*. Adelaide, Australia P. 78.

Walter, B. 1992 The French certification of grapevine. In *Grapevine viruses and certification in EEC countries: state of the art*. Quaderno n.3 CIHEAM. Ed. G.P.Martelli

Zhang Y.P., Uyemoto J.K. and Kirkpatrick B.C. 1998. A small-scale procedure for extracting nucleic acids from woody plants infected with various phytopathogens for PCR assay. *Journal of Virological Methods* 71: 45-50.